

CONTRIBUȚII PRIVIND STUDIUL SISTEMELOR MECANICE CU LEGĂTURI UNILATERALE ȘI FRECARĂ

Teză destinată obținerii
titlului științific de doctor inginer
la
Universitatea "Politehnica" din Timișoara
în domeniul INGINERIE MECANICĂ
de către

...fiz. dipl. Oana Petcoviciu...

Conducător științific:

Prof.univ.dr.ing Liviu Brîndeu

Prof. univ. ing.Dr. EurIng. Tiberiu Dimitrie Babeu

Referenți științifici:

Prof.univ.Dr. Acad. Radu Voinea
Prof.Dr.Doc.ing. P.P. Teodorescu
Prof.univ.Dr.ing. Nicolae Faur

Ziua susținerii tezei: 25.10.200

CUPRINS

1. STADIUL ACTUAL AL CERCETĂRII SISTEMELOR MECANICE CU LEGĂTURI UNILATERALE ȘI FRECARĂ	6
1.1 Funcția legăturii unilaterale	6
1.2 Ecuațiile diferențiale ale mișcării	8
1.3 Studiul ciocnirii	10
1.4 Clasificarea mișcărilor posibile	12
1.5 Legături unilaterale echivalente	12
1.6 Tipuri de legături unilaterale	14
1.7 Prezentarea problemei elastostatice	15
1.8 Formularea legii de frecare a lui Coulomb	25
1.9 Contribuții personale	29
2. MODELE MECANICE ALE SISTEMELOR CU FRECARĂ	30
2.1 Modele cu frecare	31
2.2 Efectul variației armonice a vitezei unidimensionale la caracteristicile frecării	33
2.3 Contribuții personale. Concluzii	51
3. EXISTENȚA ȘI UNICITATEA SOLUȚIILOR SISTEMELOR MECANICE. METODE DE APROXIMARE	53
3.1 Metode de aproximare	53
3.2 Principiul metodei contactului dinamic nenetedit	56
3.3 Algoritmul de studiu	59
3.4 Rezultate privind unicitatea	65
3.6 Problema unilaterală cu forță analitică	95
3.7 Contribuții personale	103
4. SIMULAREA SISTEMELOR MECANICE CU LEGĂTURI UNILATERALE ȘI FRECARĂ	104
4.1 Problema evoluției în spațiul bidimensional	104
4.2 Stabilitatea stărilor de echilibru	108
4.3 Stabilitatea stărilor	123
4.4 Simulări numerice	148
4.5 Contribuții personale	155
5. CONCLUZII. CONTRIBUȚII PERSONALE	156
ANEXA I	158
ANEXA II	159
ANEXA III	160
ANEXA IV	173
BIBLIOGRAFIE	178

1. STADIUL ACTUAL AL CERCETĂRII SISTEMELOR MECANICE CU LEGĂTURI UNILATERALE ȘI FRECARĂ

1.1 Funcția legăturii unilaterale

Pentru studiul mișcării reale a sistemelor vibropercutante se formulează, în continuare, un nou model dinamic prin generalizarea noțiunii de legătură unilaterală. Astfel se admite că pe durata ciocnirii, legătura cedează, ceea ce de fapt are loc în cazul corpurilor reale. Pe această bază se deduc proprietăți ale funcției legăturii unilaterale ca și în cazul idealizat al teoriei ciocnirilor instantanee[14].

În spațiul vectorial real \mathfrak{R}^2 se consideră sistemul dinamic a cărui poziție este determinată prin vectorul:

$$q = \{q_1, q_2, \dots, q^T\}$$

al coordonatelor generalizate. Aici prin T se indică transpusa unei matrice.

Interacțiunile percutante din sistem se evidențiază prin considerarea legăturii unilaterale, care limitează în spațiu și timp mișcările posibile ale sistemului.

Pentru punerea în evidență analitic a legăturii unilaterale se va considera aplicația $f : \mathfrak{R}^n \times \mathfrak{R} \rightarrow \mathfrak{R}$, corespunzătoare legăturii sistemului, definită prin egalitatea:

$$f = f(q, t) \quad (1.1)$$

Se presupune că sistemul se mișcă liber pentru $t \in I \subset \mathfrak{R}$ și $q \in E \subset \mathfrak{R}$, produsul $G = E \times I$, fiind stabilit de restricția determinată de legătura unilaterală (1.1), și anume

$$f_G : E \times I \rightarrow \mathfrak{R}_+^* \quad (1.2)$$

\mathfrak{R}_+^* fiind mulțimea numerelor naturale strict pozitive.

Sistemul se va afla pe legătură într-un interval de timp $t \in J$, cu $J \cap I = \emptyset$. În acest interval nu mai este verificată restricția (1.2). Între sistem și legătură au loc ciocniri în intervalele $K = \{t | f(q, t) < 0\}$. Deoarece ciocnirile au loc numai când sistemul se află pe legătură rezultă $K \subset J$.

Datorită interacțiunii dintre sistem și legătură se produc deformări care modifică natura sistemului, iar pentru studiul mișcării sunt necesare ipoteze suplimentare fizice. Sistemul se mișcă pe legătură fără ciocniri dacă $t \in C_J \mathfrak{R}$, pentru care este satisfăcută egalitatea $F(q) = f(q, t) = 0$. În această situație mișcarea sistemului nu este împiedicată de legătură și deci nu apar interacțiuni percutante.

Intervalul I este compus din subintervale separate de subintervalele J . Presupunând cunoscute condițiile inițiale ale mișcării libere pe un anumit subinterval

$t \in I^* \subset I$, prin integrarea ecuațiilor diferențiale ale mișcării se poate determina $q : I^* \rightarrow E$, care verifică condiția:

$$(F \circ q)(t) > 0 \quad (1.3)$$

Prima rădăcină pozitivă a ecuației

$$(F \circ q)(t) = 0 \quad (1.3')$$

reprezintă momentul trecerii sistemului pe legătură. Se notează prin $t = \tau_0$ această rădăcină care reprezintă momentul inițial al unei ciocniri. Se va nota prin $t = \tau_1$ momentul final al aceleași ciocniri.

Trebuie remarcat că, în mișcarea liberă, funcția legăturii unilaterale

$$(F \circ q)(t) : I \rightarrow \mathfrak{R}^* \quad (1.4)$$

are minimul nul în momentele $t = \tau_0$ și $t = \tau_1$, adică

$$\inf_{t \in (\tau_0, \tau_1)} ((F \circ q)(t) \in J) = 0 \quad (1.5)$$

Pe baza acestei observații se pot deduce concluzii importante privind proprietățile funcției legăturii unilaterale. Astfel, într-o vecinătate foarte mică dinaintea momentului inițial al ciocnirii, funcția (1.4) descrește pe când într-o vecinătate foarte mică după ciocnire crește. Din acest motiv rezultă anumite proprietăți ale derivatei funcției (1.4).

Propoziția 1.1. Ținând seama că funcția legăturii unilaterale (1.4) este descrescătoare, într-o vecinătate $V_0 = (\tau_0 - \varepsilon, \tau_0]$ derivata funcției satisface condiția:

$$\left(\frac{df}{dt} \right)_{t \in V_0} \leq 0 \quad (1.6)$$

Dacă toate derivatele funcției (1.4) până la ordinul $s - 1$ inclusiv, sunt nule pentru $t = \tau_0$, atunci derivata de ordinul s va trebui să fie pozitivă pentru s par și negativ pentru s impar.

Propoziția 1.2. Într-o vecinătate $V_1 = [\tau_1, \tau_1 + \varepsilon)$ derivata funcției legăturii unilaterale (1.4) satisface condiția:

$$\left(\frac{df}{dt} \right)_{t \in V_1} \geq 0 \quad (1.7)$$

Presupunând derivatele până la ordinul $s - 1$ inclusiv nule pentru $t = \tau_1$ următoarea derivată nenulă, este necesar să fie pozitivă.

Propoziția este evidentă deoarece funcția legăturii unilaterale (1.4) este crescătoare în vecinătatea V_1 . Este ușor de remarcat că relația (1.6) rezultă din studiul mișcării, în schimb condiția (1.7) este o consecință a fenomenului de ciocnire.

1.2 Ecuțiile diferențiale ale mișcării

Studiul mișcării sistemului, supus la legătură unilaterală dată de restricția (1.2), se va face cu ajutorul ecuațiilor lui Lagrange.

Dacă se notează prin $A = [a_{ij}]$, ($i, j = 1, 2, \dots, n$), matricea de inerție a sistemului, iar prin q^T vectorul linie al coordonatelor generalizate, energia cinetică este forma pătratică pozitiv definită:

$$E_c = \frac{1}{2} \dot{q}^T A \dot{q} \quad (1.8)$$

Se mai introduce vectorul $Q = \{Q_1, Q_2, \dots, Q_n\}^T$ al forțelor generalizate corespunzătoare forțelor ce acționează în timpul mișcării asupra sistemului.

În mișcarea liberă, pentru $t \in I$, se vor folosi ecuațiile Lagrange

$$G = Q \quad (1.9)$$

unde s-a folosit notația $G = \{G_1, G_2, \dots, G_n\}^T$, având elementele

$$G_i = \frac{d}{dt} \left(\frac{\partial E_c}{\partial \dot{q}_i} \right) - \frac{\partial E_c}{\partial q_i} \quad (1.9')$$

Pe întreaga durată a contactului dintre sistem și legătură, adică pentru $t \in J$, este necesar să se țină seama și de reacțiunea legăturii unilaterale (1.2). Trebuie subliniat că în acest fel se va studia atât fenomenul de ciocnire pentru care $f < 0$ cât și mișcarea pe legătură fără ciocnire ce corespunde la $f = 0$. În ambele cazuri reacțiunea legăturii se va admite că are direcția vectorului $\text{grad } f$.

Cu ajutorul multiplicatorului λ al reacțiunii și al vectorului

$$a = \left\{ \frac{\partial f}{\partial q_1}, \frac{\partial f}{\partial q_2}, \dots, \frac{\partial f}{\partial q_n} \right\}^n, \text{ ecuațiile lui Lagrange pentru } t \in J \text{ se vor scrie}$$

$$G = Q + \lambda a \quad (1.10)$$

Teorema 1.1 În mișcarea fără ciocniri a sistemului pe legătură, multiplicatorul λ al reacțiunii este

$$\lambda : C_j K \rightarrow \mathfrak{R}_+ \quad (1.11)$$

\mathfrak{R}_+ fiind mulțimea numerelor reale pozitive.

Demonstrație. Conform propoziției 2, pentru $t = \tau_1$, este satisfăcută condiția (1.7). Dacă este valabilă inegalitatea (1.7), după ciocnire sistemul nu rămâne pe legătură devenind liber. Astfel $C_j K = \{\tau_0, \tau_1\}$, contactul cu legătura nu se prelungește după ciocnire, deci $\lambda = 0$, accelerațiile nu sunt supuse la nici o condiție din partea legăturii unilaterale.

În ipoteza că este valabilă egalitatea (1.7), atunci, conform propoziției 2 în momentul $t = \tau_1$ trebuie să fie satisfăcută și relația:

$$\left(\frac{d^2 f}{dt^2} \right)_1 \geq 0 \quad (1.12)$$

care reprezintă o condiție impusă accelerațiilor datorită legăturii unilaterale.

Ținând seama de expresia analitică (1.1) a lui f se poate ușor demonstra identitatea

$$\frac{d^2 f}{dt^2} = a^T A^{-1} G + \psi \quad (1.13)$$

unde A^{-1} este matricea inversă a lui A , iar ψ expresie ce nu conține accelerații, adică

$$\frac{\partial \psi}{\partial \ddot{q}_i} = 0 \quad (i = 1, 2, \dots, n)$$

Dacă vectorul Q al forțelor generalizate verifică, pentru $t = \tau_1$ condiția

$$a^T A^{-1} Q + \psi \geq 0 \quad (1.14)$$

mișcarea sistemului se face după legea (1.9) ca și în lipsa legăturii, ceea ce înseamnă că $\lambda = 0$.

În schimb, dacă pentru $t = \tau_1$, forțele generalizate Q satisface inegalitatea

$$a^T A^{-1} Q + \psi < 0 \quad (1.15)$$

rezultă $Q \neq G$, sistemul nu mai este liber, fiind necesar să se introducă și reacțiunea legăturii. Deoarece sistemul rămâne pe legătură, va fi satisfăcută egalitatea (1.12) în care se înglobează și reacțiunea, care, cu ajutorul ecuațiilor lui Lagrange (1.10) și a identității (1.13) se mai poate scrie:

$$\left(\frac{d^2 f}{dt^2} \right)_1 = a^T A^{-1} Q + \psi + \lambda a^T A^{-1} a = 0$$

Din această ecuație rezultă pentru λ valoarea

$$\lambda = \frac{a^T A^{-1} Q + \psi}{B} \quad (1.16)$$

unde

$$B = -a^T A^{-1} a \quad (1.17)$$

După cum se poate ușor constata, valoarea B la fel ca și produsul $\dot{q}^T A^{-1} \dot{q}$ - forma pătratică reciprocă formei (1.8) - este negativ definită și se poate pune sub forma:

$$B = \frac{1}{\det A} \begin{vmatrix} A & a \\ a^T & 0 \end{vmatrix} \quad (1.17')$$

Pe baza inegalității (1.15), deoarece $B < 0$, din expresia (1.16), rezultă $\lambda > 0$. Astfel teorema este demonstrată.

Teorema 1.2. Pe durata ciocnirii, în mișcarea sistemului sunt valabile ecuațiile lui Lagrange (1.10) cu multiplicatorul $\lambda > 0$.

Demonstrație. Legătura fiind unilaterală, sistemul acționează asupra legăturii numai pentru $f \leq 0$. Deoarece, conform teoremei 1.1, chiar și în cazul $f = 0$, s-a obținut $\lambda \geq 0$, atunci pentru $f < 0$ când legătura este solicitată și se deformează, cu atât mai mult trebuie să rezulte $\lambda > 0$.

1.3 Studiul ciocnirii

După cum s-a arătat ciocnirile din sistem vor avea loc pentru $t \in K$, când $f < 0$. Trebuie subliniat că în realitate, acest fenomen se caracterizează printr-o solicitare intensă a legăturii și că durata ciocnirii este întotdeauna foarte scurtă[16].

Definiția 1.1. Se consideră fenomen de ciocnire în intervalul (τ_0, τ_1) dacă pentru momentul $t = \tau_0$, există o vecinătate $V_C = [\tau_0, \tau_0 + \varepsilon)$ astfel ca $\tau_1 \in V_C$, iar $(F \circ q)(t) : (\tau_0, \tau_1) \rightarrow \mathfrak{R}_-, \mathfrak{R}_-^*$ fiind mulțimea numerelor reale strict negative.

Propoziția 1.3. Extensia funcției legăturii unilaterale $(F \circ q)(t) : I \cup J \rightarrow \mathfrak{R}$ se determină prin condițiile:

- Pentru $t \in J$ vectorul q este soluție a sistemului (1.10);
- Vectorul $q : I \cup J \rightarrow \mathfrak{R}$ este cel puțin de clasă C^2 .

Presupunând că în intervalul $(\tau_0, \tau_1) \subset K \subset J$ are loc o ciocnire, dacă $\tau_1 - \tau_0 < \varepsilon$, atunci rezultă:

$$|q(\tau_1) - q(\tau_0)| < \varepsilon |\dot{q}(t')|; \quad t' \in (\tau_0, \tau_1)$$

Demonstrație: Datorită continuității vectorului \dot{q} , aceasta pentru $t \in (\tau_0, \tau_1)$ este mărginit. Deci există $t' \in (\tau_0, \tau_1)$ astfel încât aplicând funcției q teorema creșterilor finite rezultă:

$$q(\tau_1) - q(\tau_0) = \dot{q}(t')(\tau_1 - \tau_0)$$

ceea ce dovedește propoziția. Prin urmare, poziția sistemului în timpul ciocnirii se poate presupune neschimbată.

Teorema 1.3. Dacă funcția $(F \circ q)(t) : (\tau_0, \tau_1) \rightarrow \mathfrak{R}_-^*$ admite un minim pentru $t = \tau_2 \in (\tau_0, \tau_1)$, atunci percuțiile de legătură vor fi

$$\mu_{02} = \int_{\tau_0}^{\tau_2} \lambda(t) dt = \frac{1}{B_0} \left(\frac{df}{dt} \right)_0 \quad (1.18)$$

$$\mu_{21} = \int_{\tau_2}^{\tau_1} \lambda(t) dt = -\frac{1}{B_0} \left(\frac{df}{dt} \right)_1 \quad (1.19)$$

De asemenea, variațiile vectorului vitezelor în cele două etape ale ciocnirii rezultă

$$\dot{q}(\tau_2) - \dot{q}(\tau_0) = \frac{A_0^{-1} a}{B_0} \left(\frac{df}{dt} \right)_0 \quad (1.20)$$

$$\dot{q}(\tau_1) - \dot{q}(\tau_2) = -\frac{A_0^{-1} a}{B_0} \left(\frac{df}{dt} \right)_1 \quad (1.21)$$

unde prin indicele 0 se indică expresiile calculate pentru $t = \tau_0$.

Demonstrație. Conform propoziției 1.3, pentru $t \in (\tau_0, \tau_1)$, vectorul q se poate presupune neschimbat și analog percuțiile corespunzătoare forțelor Q neglijabile. În prima fază a ciocnirii, numită compresiune, ce are loc pentru $t \in (\tau_0, \tau_2)$ din ecuațiile lui Lagrange (1.10) prin integrare se obține:

$$A_0[\dot{q}(\tau_2) - \dot{q}(\tau_0)] = \mu_{02}a_0 \quad (1.22)$$

Cu ajutorul matricei A_0^{-1} , din această ecuație se mai deduce

$$\dot{q}(\tau_2) - \dot{q}(\tau_0) = \mu_{02}A_0^{-1}a_0 \quad (1.23)$$

Pe de altă parte, derivata funcției legăturii unilaterale (1.1) este

$$\frac{df}{dt} = a_0^T \dot{q} + \left(\frac{\partial f}{\partial t}\right)_0 \quad (1.24)$$

deci diferența derivatelor (1.24) calculate pentru $t = \tau_0$ și $t = \tau_2$ va fi

$$a_0^T[\dot{q}(\tau_1) - \dot{q}(\tau_2)] = \left(\frac{df}{dt}\right)_0 \quad (1.25)$$

Dacă se introduce expresia (1.23) în egalitatea (1.25) rezultă:

$$-\mu_{02}a_0^T A_0^{-1}a_0 = \left(\frac{df}{dt}\right)_0$$

care conform cu (1.17), coincide cu formula (1.18). De asemenea dacă această valoare se introduce în ecuația (1.23), rezultă legea (1.20) de variație a vectorului vitezelor.

Procedând în același mod, se studiază cea de-a doua fază a ciocnirii (τ_2, τ_1) care corespunde destinderii. Astfel se ajunge la ecuațiile

$$\dot{q}(\tau_1) - \dot{q}(\tau_2) = \mu_{21}A_0^{-1}a_0 \quad (1.26)$$

$$a_0^T[\dot{q}(\tau_2) - \dot{q}(\tau_1)] = -\left(\frac{df}{dt}\right)_1 \quad (1.27)$$

Este ușor de verificat că din aceste ecuații rezultă formulele (1.19) și (1.21).

Definiția 1.2. Se numește coeficient de restituire la ciocnire raportul percuțiilor de legătură din faza de destindere și de compresiune, adică:

$$R = \frac{\mu_{21}}{\mu_{02}} \quad (0 \leq R \leq 1) \quad (1.28)$$

unde $\mu_{02} \neq 0$.

Determinarea vitezelor la sfârșitul ciocnirii necesită încă o ecuație, care se deduce experimental din (1.28).

Teorema 1.4. Presupunând coeficientul de restituire R independent de viteze, funcție numai de proprietățile fizice ale sistemului (ipoteza lui Newton), vitezele la sfârșitul ciocnirii ($t = \tau_1$), vor fi

$$\dot{q}(\tau_1) = \dot{q}(\tau_0) + (1 + R) \frac{A_0^{-1}a_0}{B_0} \left(\frac{df}{dt}\right)_0 \quad (1.29)$$

Demonstrație. Dacă se introduc expresiile (1.18) și (1.19) în formula (1.28), rezultă

$$\left(\frac{df}{dt}\right)_1 = -R\left(\frac{df}{dt}\right)_0 \quad (1.30)$$

Prin adunarea ecuațiilor (1.20) și (1.21), cu ajutorul relației (1.30) se deduce formula (1.29).

1.4 Clasificarea mișcărilor posibile

Proprietățile deduse pentru funcția legăturii unilaterale, pot fi folosite la studiul și clasificarea mișcărilor posibile ale sistemelor vibropercutante. Pe această

cale se stabilesc condițiile necesare pentru realizarea mișcărilor cu sau fără ciocniri, precum și cu sau fără contact prelungit [69].

Teorema 1.5. În caz că este verificată inegalitatea (1.6), sistemul suferă o ciocnire în intervalul (τ_0, τ_1) , iar contactul cu legătura:

- nu se prelungeste dacă este valabilă inegalitatea (1.7) sau în șirul derivatelor de ordin superior există cel puțin una diferită de zero;
- este prelungit dacă se verifică egalitatea (1.7) și toate derivatele de ordin superior sunt de asemenea nule.

Demonstrație. Deoarece $\mu_{02} \neq 0$ există percuții de legătură și se poate defini coeficientul de restituire (1.28). În ipoteza a) în vecinătatea V_1 a momentului $t = \tau_1$ funcția legăturii unilaterale $(f \circ q)(t): I \cup J \rightarrow \mathfrak{R}$ este crescătoare și ținând seama că pentru $t = \tau_1$ se anulează, rezultă că ea trebuie să devină pozitivă, deci sistemul urmează să părăsească legătura. Evident, în ipoteza b), funcția legăturii unilaterale va fi identic nulă în vecinătatea V_1 a momentului $t = \tau_1$ și deci sistemul nu poate părăsi legătura.

Aceleași concluzii, privind contactul cu legătura sunt valabile și pentru cazul când nu se realizează ciocnirea.

Propoziția 1.4. În ipoteza verificării egalității din condiția (1.6) mișcarea sistemului se face fără ciocnire.

Această propoziție este evidentă deoarece din condiții fizice $\mu_{21} < \mu_{02}$, dar conform relației (1.18): $\mu_{02} = 0$.

1.5 Legături unilaterale echivalente

Într-un același sistem mecanic, la cuple percutante diferite corespund expresii analitice diferite ale legăturii unilaterale. În general acestea implică mișcări diferite ale sistemului, deoarece condițiile limită corespunzătoare ciocnirilor sunt deosebite.

Definiția 1.3. Două legături unilaterale de forma (1.1), exprimate prin funcții (1.1), sunt echivalente dacă se obțin aceleași interacțiuni percutante pentru sistem.

În primul rând se va presupune funcția legăturii unilaterale de forma:

$$f(q, t) = \varphi(q, t) \bar{f}(q, t) \quad (1.31)$$

unde $\varphi(q, t)$ este o funcție pozitiv definită.

Teorema 1.6. Legătura unilaterală definită de funcția $f(q, t)$ dată de produsul (1.31), unde $\varphi(q, t)$ are întotdeauna semn pozitiv este echivalentă cu legătura unilaterală definită de funcția $\bar{f}(q, t)$.

Demonstrație. Deoarece $\varphi(q, t) \geq 0$, ciocnirea se produce la momentul $t = \tau_0$ care anulează factorul al doilea, adică $\bar{f}_0 = 0$.

Ținând seama de regula derivării unui produs și de egalitatea $\bar{f}_0 = 0$ rezultă imediat

$$a_0 = \varphi_0 \bar{a}_0, \quad B_0 = \varphi_0^2 \bar{B}_0, \quad \left(\frac{df}{dt} \right)_0 = \varphi_0 \left(\frac{d\bar{f}}{dt} \right)_0 \quad (1.32)$$

$$(\varphi_0 \neq 0)$$

unde prin \bar{a} și \bar{B} s-au notat expresii analoage lui a și B calculate însă pentru funcția \bar{f} . Pe baza egalităților (1.32) formulele (1.29) devin

$$\dot{q}(\tau_1) = \dot{q}(\tau_0) + (1 + R) \frac{A_0^{-1} \bar{a}^T}{\bar{B}_0} \left(\frac{d\bar{f}}{dt} \right)_0 \quad (1.33)$$

ceea ce se obține și în cazul legăturii unilaterale date de funcția $\bar{f}(q, t)$, aplicând formulele (1.29).

Dacă în particular $\varphi_0 = 0$, proprietatea anterioară rămâne valabilă deoarece prin trecerea la limită pentru $\varphi_0 \rightarrow 0$, se obțin tot egalitățile (1.33).

Prin urmare, existența unui factor nenegativ nu are nici o influență și poate fi eliminat. În particular pentru $\bar{f} \geq 0$, mișcarea se face fără ciocniri.

Corolar. În cazul funcției (1.1) exprimată ca o putere de forma $\bar{f}(q, t) = \bar{f}^p(q, t)$, unde $p \in N$, condiția (1.1):

- pentru p par nu constituie legătură unilaterală;
- pentru p impar este echivalentă legăturii unilaterale $\bar{f}(q, t) \geq 0$.

Demonstrație. Pentru p par funcția f este nenegativă și conform celor arătate anterior, în sistem nu apar ciocniri. În schimb, pentru p impar, deci $p-1$ par, se poate lua $\varphi = \bar{f}^{p-1} \geq 0$ și astfel legătura $f \geq 0$, pe baza teoremei 6, este echivalentă cu $\bar{f} \geq 0$.

1.6 Tipuri de legături unilaterale

Transpunerea analitică a interacțiunilor percutante, cu ajutorul funcției legăturii unilaterale, prezintă unele particularități ce trebuie analizate în funcție de forma legăturii.

Este important de observat că fiecărei cuple percutante îi corespunde o legătură unilaterală (proprietatea inversă nefiind întotdeauna valabilă). Această observație este foarte importantă pentru sistemele vibropercutante ce conțin mai multe cuple percutante.[16]

Definiția 1.4. Legătura unilaterală, corespunzătoare unei cuple percutante, se numește legătură simplă. Dacă legătura unilaterală reprezintă mai multe cuple percutante se va numi multiplă.

Evident, ca structură, legătura multiplă trebuie să conțină un produs de factori de forma

$$f = f_1 f_2 \dots f_h \geq 0 \quad (1.34)$$

unde

$$f_j = f_j(q, t) \quad (j = 1, 2, \dots, h) \quad (1.35)$$

aici, în virtutea teoremei 1.6, au fost înlăturați factorii care păstrează un semn constant. De asemenea, se presupune că s-au construit funcțiile f_j astfel ca domeniul mișcărilor posibile să corespundă la $f_j > 0$ ($j = 1, 2, \dots, h$).

Teorema 1.7. Legătura unilaterală multiplă de forma (1.34) este echivalentă cu ansamblul legăturilor simple $f \geq 0$ ($j = 1, 2, \dots, h$) și reprezintă h cuple percutante.

Demonstrație. Legătura (1.34) se va scrie astfel încât să fie evidențiat numai factorul f_j , adică

$$f = \varphi_j f_j \geq 0 \quad (1.36)$$

unde

$$\varphi_j = f_1 \dots f_{j-1} f_{j+1} \dots f_h$$

Se constată ușor că pentru $f = 0$ va rezulta că este îndeplinită condiția $\varphi_j > 0$. Aceasta înseamnă, conform teoremei 1.6, că în locul legăturii $f \geq 0$ se poate considera $f_j \geq 0$. Prin urmare, în cazul unei legături unilaterale multiple de forma (1.34), se pot considera h legături simple $f \geq 0$ ($j = 1, 2, \dots, h$). De exemplu, sistemul vibropercutant cu un grad de libertate, supus la legătura unilaterală:

$$f(q) = q_0^2 - q^2 \geq 0$$

poate fi presupus sub acțiunea a două legături simple

$$f_1(q) = q + q_0 > 0, \quad f_2(q) = -q + q_0 \geq 0$$

Deci în sistem există două cuple percutante corespunzătoare celor două legături simple.

1.7 Prezentarea problemei elastostatice

Pentru scrierea problemei statice liniar elastice cu condiții la limita contactului unilateral și frecare Coulomb se poate considera un solid elastic cu frecare pe o suprafață rigidă plană fixă. O astfel de problemă a fost studiată de către N. Kikuchi și J. T. Oden [38].

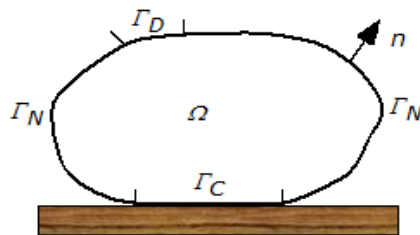


Fig. 1.1 – Corp elastic aflat în contact cu frecare pe o suprafață rigidă plană

Condițiile contactului unilateral și a frecării Coulomb

Pe Γ_C se descompune deplasarea și forțele de constrângere în componente normale și tangențiale astfel:

$$\begin{aligned} u_N &= u \cdot n & u_T &= u - u_N \cdot n \\ \sigma_N(u) &= (\sigma(u)n)_n & \sigma_T &= \sigma(u)n - \sigma_N(u)n \end{aligned}$$

Pentru a da un sens acestor descompuneri presupunem că Γ_C este de clasă C^1 . Presupunem de asemenea că nu există distanță inițială între solidul considerat și planul rigid.

Contactul unilateral

Condiția contactului unilateral se poate exprima cu ajutorul relației următoare:

$$u_N \leq 0, \quad \sigma_N(u) \leq 0 \quad \text{și} \quad u_N \sigma_N(u) = 0 \quad (1.37)$$

Aceste condiții se exprimă în cazul în care în urma contactului corpurile se deformează și nu prezintă întrepătrunderi.

Frecarea Coulomb

Notăm cu F coeficientul de frecare. Atunci condiția de frecare Coulomb este:

$$\begin{aligned} \text{a) } u_T &= 0 & \text{atunci } |\sigma_T(u)| &\leq -\sigma_N(u)F \\ \text{b) } u_T &\neq 0 & \text{atunci } \sigma_T(u) &= \sigma_N(u)F \frac{u_T}{|u_T|} \end{aligned}$$

Aceste două condiții reprezintă două situații fizice care sunt legate de blocare când $u_T = 0$ și alunecare când $u_T \neq 0$.

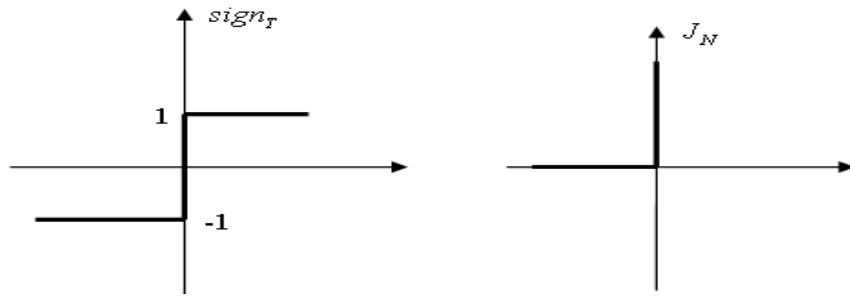
Putem rescrie aceste două condiții într-o formă echivalentă utilizând următoarele funcții multivoce:

$$J_N(\xi) = \begin{cases} \{0\}, & \text{dacă } \xi < 0 \\ [0, +\infty), & \text{dacă } \xi = 0 \\ \varphi, & \text{dacă } \xi > 0 \end{cases}$$

$$\text{sign}_T(v) = \begin{cases} \left\{ \frac{v_T}{|v_T|} \right\}, & \forall v \in \mathbb{R}^d, v_T \neq 0 \\ \left\{ w \in \mathbb{R}^d; |w| \leq 1, w_N = 0 \right\}, & \text{dacă } v_T = 0 \end{cases}$$

unde $d = 2$ sau 3 .

Funcțiile J_N și sign_T sunt maximal monotone reprezentând subgradientul funcției indice pe intervalul $(-\infty, 0]$ și funcția $v \rightarrow |v_T|$. În cazul bidimensional ($n = 2$) și funcția sign multivoce are următoarea formă:



Condițiile de contact unilateral și frecarea Coulomb devin:

$$-\sigma_N(u) \in J_N(u_N) \quad (1.38)$$

$$-\sigma_T(u) \in -F\sigma_N(u)\text{sign}_T(u_T) \quad (1.39)$$

Problema contactului static cu frecare

Problema contactului static cu frecare Coulomb în următoarea formă (se poate determina deplasarea u care verifică relația de mai jos) a fost introdusă de către G. Duvaut și J.L. Lions[26]:

$$\begin{cases} -\text{div}\sigma(u) = f & \text{în } \Omega \\ \sigma(u) = A\varepsilon(u) & \text{în } \Omega \\ u = U & \text{pe } \Gamma_D \\ \sigma(u)n = g & \text{pe } \Gamma_N \\ -\sigma_N(u) \in J_N(u_N) & \text{pentru } \Gamma_C \\ -\sigma_T(u) \in -F\sigma_N(u)\text{sign}_T(u_T) & \text{pentru } \Gamma_C \end{cases} \quad (1.40)$$

Analiza stabilității sistemelor clasice

Pentru a rezolva problema elastodinamică liniară există două metode de aproximare: metoda superpoziției modale și metoda integrării directe. Termenul

„integrare directă” înseamnă că nici o transformare de discretizare a problemei elastodinamice liniare nu este efectuată înainte integrării numerice. Printre metodele de integrare directă se disting metodele explicite și metodele implicite. Metodele explicite sunt de obicei utilizate pentru simularea impactului corpurilor solide și alte fenomene care durează foarte puțin unde propagarea undelor de înaltă frecvență este importantă. Aceste metode nu necesită inversarea matricelor globale și permit tratarea problemelor în cea mai mare măsură.

Stabilitatea precară a acestor metode necesită utilizarea unui pas de timp foarte mic. Tratarea contactului într-o formulare explicită este foarte delicată deoarece reacțiunile contactului nu sunt continue în funcție de variabilele cinematice. Cel mai adesea se utilizează scheme clasice de integrare în timp adaptate, ale contactului cum sunt metoda θ și schema Newmark sau schema punctului de mijloc (centru).

Noțiunea de stabilitate

Prin decuparea unui interval uniform $[0, T]$ obținem un pas de timp $\Delta t = \frac{T}{N}$ asociat unui întreg $N \geq 1$ și reprezentat de $t_n = n\Delta t$, $\forall 0 \leq n \leq N$. Încercăm să calculăm pentru toți $n = 1, \dots, N$ aproximările u^n și v^n de $u(t_n)$ și $\dot{u}(t_n)$. În această analiză a stabilității presupunem că f nu depinde de timp.

Fie $E(u, \dot{u})$ energia sistemului elastodinamic. Se pot da următoarele definiții:

Definiția 1.5. Spunem că schema de integrare în timp este stabilă dacă există $c > 0$ independent de Δt astfel încât $\forall n : E(u^n, v^n) \leq c$.

Definiția 1.6. Spunem că schema de integrare în timp este disipativă dacă variația energiei verifică relația: $\Delta E = E(u^{n+1}, v^{n+1}) - E(u^n, v^n) \leq 0$.

Definiția 1.7. Spunem că schema de integrare în timp este conservativă dacă variația de energie verifică relația $\Delta E = 0$.

Relația $\Delta E \leq 0$ va fi foarte utilă pentru alegerea schemei de integrare în timp deoarece condiția ca schema să fie disipativă este suficientă pentru ca ea să fie stabilă.

Formularea metodei θ pentru problema contactului.

Metoda θ este una din cele mai utilizate metode. Această schemă este obținută printr-o dezvoltare în serie Taylor a vectorului deplasare și a vectorului viteză după primul ordin cu o pondere θ . [54] Vom nota cu a^n aproximarea lui $\ddot{u}(t_n)$ fără a fi confundată cu forma biliniară $a(\cdot, \cdot)$.

Schema metodei θ pentru problema cu contact elastodinamic se scrie în forma următoare:

$$\begin{cases} u^{n+1} = u^n + \Delta t \left((1-\theta)v^n + \theta v^{n+1} \right) \\ v^{n+1} = v^n + \Delta t \left((1-\theta)a^n + \theta a^{n+1} \right) \end{cases} \quad (1.41)$$

$$\begin{cases} Ma^{n+1} + Ku^{n+1} = L + B_N^* \lambda_N^{n+1} + B_T^* \lambda_T^{n+1} \\ -\lambda_N^{n+1} \in N_{K_N}(B_N u^{n+1}) \\ -\lambda_T^{n+1} \in \partial_2 j(\lambda_N^{n+1}, B_T v^{n+1}) \\ u(0) = u^0, v(0) = u^1 \end{cases} \quad (I.42)$$

Din relația (1.41) viteza v^{n+1} și accelerația a^{n+1} în funcție de u^{n+1} devin:

$$\begin{aligned} a^{n+1} &= \frac{1}{\theta^2 \Delta t^2} (u^{n+1} - u^n) - \frac{1}{\theta^2 \Delta t} v^n - \frac{1-\theta}{\theta} a^n \\ v^{n+1} &= \frac{1}{\theta \Delta t} (u^{n+1} - u^n) - \frac{1-\theta}{\theta} v^n \end{aligned}$$

Înlocuind în sistemul (1.42), problema contactului elastodinamic se reduce la rezolvarea sistemului următor:

$$\begin{cases} \left(\frac{M}{\theta^2 \Delta t^2} + K \right) u^{n+1} = \hat{L} + B_N^* \lambda_N^{n+1} + B_T^* \lambda_T^{n+1} \\ -\lambda_N^{n+1} \in N_{K_N}(B_N u^{n+1}) \\ -\lambda_T^{n+1} \in \partial_2 j(\lambda_N^{n+1}, a B_T u^{n+1} - C_T) \\ u(0) = u^0, v(0) = u^1 \end{cases} \quad (1.43)$$

unde

$$\hat{L} = L + \frac{1}{\theta^2 \Delta t^2} M u^n + \frac{1}{\theta^2 \Delta t} M v^n + \frac{1-\theta}{\theta} M a^n \quad (I.44)$$

$$a = \frac{1}{\theta \Delta t} \quad \text{și} \quad C_T = \frac{1}{\theta \Delta t} B_T u^n + \frac{1-\theta}{\theta} B_T v^n \quad (I.45)$$

Schema Paoli și Schatzman

Schema Paoli și Schatzman urmează cadrul schemelor standard utilizate în literatura de specialitate. În schema Paoli – Schatzman intervine coeficientul de restituire $R \in [0,1]$ care se determină experimental.

Idea generală a schemei constă în utilizarea unei scheme centrate pe utilizarea a trei pași de timp pentru viteze și discretizarea deplasării normale în utilizarea conceptului de punct proxim la coeficientul de restituire R .

Problema contactului elastodinamic fără frecare, discretizată cu schema Paoli-Schatzman se scrie:

$$\left\{ \begin{array}{l} U^0 \text{ și } V^0 \text{ dau } U^1 = U^0 + \Delta t V^0 + \Delta t z(\Delta t), \text{ cu } \lim_{\Delta t \rightarrow 0} z(\Delta t) = 0 \\ \forall n \geq 2, F^n \in \frac{U^{n+1} - 2U^n + U^{n-1}}{\Delta t^2} + \partial I_{K_N} \left(\frac{U^{n+1} + RU^{n-1}}{1+R} \right) \\ F^n = M^{-1}(L - KU^n) \\ V^n = \frac{U^{n+1} - U^{n-1}}{2\Delta T} \end{array} \right. \quad (1.46)$$

Schema a fost propusă prima dată pentru cazul matricei masă identice $M = Id_{3rd}$. Aceasta, fiind echivalentă cu algoritmul următor:

$$\left\{ \begin{array}{l} U^0 \text{ și } V^0 \text{ dau } U^1 = U^0 + \Delta t V^0 + \Delta t z(\Delta t), \text{ cu } \lim_{\Delta t \rightarrow 0} z(\Delta t) = 0 \\ \forall n \geq 2, U^{n+1} = -RU^{n-1} + (1+R)P_{N_{K_N}} \left(\frac{2U^n - (1-R)U^{n-1} + \Delta t^2 F^n}{1+R} \right) \\ F^n = M^{-1}(L - KU^n) \\ V^n = \frac{U^{n+1} - U^{n-1}}{2\Delta T} \end{array} \right. \quad (1.47)$$

Schema Paoli – Schatzman modificată

Idea acestei scheme constă în utilizarea unui punct de mijloc pentru partea elastodinamică a problemei[54]. Schema propusă se bazează pe relațiile:

$$U^{n+1} = U^n + \Delta t V^{n+\frac{1}{2}}; \quad U^{n+\frac{1}{2}} = \frac{U^{n+1} + U^n}{2} \quad (1.48)$$

$$\left\{ \begin{array}{l} U^0 \text{ și } V^0 \text{ dau } U^1 = U^0 + \Delta t V^0 + \Delta t z(\Delta t), \\ \text{cu } \lim_{\Delta t \rightarrow 0} z(\Delta t) = 0, \forall n \geq 2, \\ M \left(\frac{U^{n+1} - 2U^n + U^{n-1}}{\Delta t^2} \right) + K \left(\frac{U^{n+1} + 2U^n + U^{n-1}}{4} \right) = L + B_N^T \Lambda_N^n + B_T^T \Lambda_T^n \\ - \Lambda_N^n \in N_{K_N} \left(\frac{B_N U^{n+1} + R B_N U^{n-1}}{1+R} \right) \\ - \Lambda_T^n \in \partial_{2j} \left(- \Lambda_N^n, \frac{B_T V^{n+\frac{1}{2}} + B_T V^{n-\frac{1}{2}}}{2} \right) \end{array} \right. \quad (1.49)$$

Trebuie menționat faptul că condiția de contact este verificată pentru deplasarea pe punctul proxim definit de:

$$\frac{B_N U^{n+1} + R B_N U^{n-1}}{1+R}$$

și condiția de frecare este dată de viteza medie a jumătății de pas:

$$\frac{B_T V^{n+\frac{1}{2}} + B_T V^{n-\frac{1}{2}}}{2}.$$

Analiza stabilității

Ținând seama de relațiile (1.48) și (1.49) de mai sus rezultă variația energiei definită ca $\Delta E = E\left(U^{n+\frac{1}{2}}, V^{n+\frac{1}{2}}\right) - E\left(U^{n-\frac{1}{2}}, V^{n-\frac{1}{2}}\right)$ satisface următoarea relație:

$$\Delta E = \frac{1}{2} \left(\lambda_N^n, B_N U^{n+1} - B_N U^{n-1} \right) + \Delta t \left(\lambda_T^n, \frac{B_T V^{n+\frac{1}{2}} + B_T V^{n-\frac{1}{2}}}{2} \right) \leq -\frac{1+R}{2} \left(\lambda_N^n, B_N U^{n-1} \right)$$

Pentru schema dată de relațiile (1.41) și (1.42) variația energiei este:

$$\begin{aligned} \Delta E = & \left(\frac{1}{2} - \theta \right) \left(M(v^{n+1} - v^n), v^{n+1} - v^n \right) + \left(\frac{1}{2} - \theta \right) \left(K(u^{n+1} - u^n), u^{n+1} - u^n \right) \\ & - \left((1 - \theta) \left(B_N^* \lambda_N^n + B_T^* \lambda_T^n \right) + \left(B_N^* \lambda_N^{n+1} + B_T^* \lambda_T^{n+1} \right), u^{n+1} - u^n \right) \end{aligned} \quad (1.50)$$

Pentru a calcula această variație de energie se pornește de la relația:

$$\begin{aligned} \Delta E = & E(u^{n+1}, v^{n+1}) - E(u^n, v^n) \\ = & \frac{1}{2} \left(M(v^{n+1} - v^n), v^{n+1} + v^n \right) + \frac{1}{2} \left(K(u^{n+1} - u^n), u^{n+1} + u^n \right) - \left(L, u^{n+1} - u^n \right) \end{aligned}$$

sau

$$\begin{aligned} M(v^{n+1} - v^n) = & \Delta t \left((1 - \theta) M a^n + \theta M a^{n+1} \right) \\ (1 - \theta) \Delta t \left(L + B_N^* \lambda_N^n + B_T^* \lambda_T^n - K u^n \right) + & \theta \Delta t \left(L + B_N^* \lambda_N^{n+1} + B_T^* \lambda_T^{n+1} - K u^{n+1} \right) = S + \Delta t L \end{aligned}$$

unde

$$S = (1 - \theta) \Delta t \left(B_N^* \lambda_N^n + B_T^* \lambda_T^n - K u^n \right) + \theta \Delta t \left(B_N^* \lambda_N^{n+1} + B_T^* \lambda_T^{n+1} - K u^{n+1} \right)$$

Înlocuind în relația de variație a energiei obținem:

$$\Delta E = \frac{1}{2} \left(S, v^{n+1} + v^n \right) + \frac{1}{2} \left(K(u^{n+1} - u^n), u^{n+1} + u^n \right) + \left(L, \frac{\Delta t}{2} (v^{n+1} + v^n) - u^{n+1} + u^n \right)$$

sau din schema (1.41) rezultă:

$$\frac{\Delta T}{2} (v^{n+1} + v^n) - u^{n+1} + u^n = \Delta t \left(\frac{1}{2} - \theta \right) (v^{n+1} - v^n)$$

Deci, ΔE se exprimă cu ajutorul relației următoare:

$$\begin{aligned} \Delta E = & \frac{\Delta t}{2} (1 - \theta) (B_N^* \lambda_N^n + B_T^* \lambda_T^n - K u^n, v^{n+1} + v^n) + \frac{1}{2} (K(u^{n+1} - u^n), u^{n+1} + u^n) \\ & + \frac{\Delta t}{2} \theta (B_N^* \lambda_N^{n+1} + B_T^* \lambda_T^{n+1} - K u^{n+1}, v^{n+1} + v^n) + \Delta t \left(\frac{1}{2} - \theta \right) (L, v^{n+1} - v^n) \end{aligned}$$

Pe de altă parte, putem scrie:

$$L = (1 - \theta)L + \theta L$$

și deoarece f nu depinde de intervalul de timp, ținând cont de relația (1.49) obținem:

$$L = (Ma^n + Ku^n - B_N^* \lambda_N^n - B_T^* \lambda_T^n) = (Ma^{n+1} + Ku^{n+1} - B_N^* \lambda_N^{n+1} - B_T^* \lambda_T^{n+1})$$

deci

$$\begin{aligned} L = & (1 - \theta) (Ma^n + Ku^n - B_N^* \lambda_N^n - B_T^* \lambda_T^n) + \theta (Ma^{n+1} + Ku^{n+1} - B_N^* \lambda_N^{n+1} - B_T^* \lambda_T^{n+1}) \\ = & M((1 - \theta)a^n + \theta a^{n+1}) + K((1 - \theta)u^n + \theta u^{n+1}) - ((1 - \theta)(B_N^* \lambda_N^n + B_T^* \lambda_T^n) + \theta(B_N^* \lambda_N^{n+1} + B_T^* \lambda_T^{n+1})) \\ = & \frac{1}{\Delta t} M(v^{n+1} - v^n) + K((1 - \theta)u^n + \theta u^{n+1}) - ((1 - \theta)(B_N^* \lambda_N^n + B_T^* \lambda_T^n) + \theta(B_N^* \lambda_N^{n+1} + B_T^* \lambda_T^{n+1})) \end{aligned}$$

Prin urmare

$$\begin{aligned} \Delta E = & \frac{\Delta t}{2} (1 - \theta) (B_N^* \lambda_N^n + B_T^* \lambda_T^n - K u^n, v^{n+1} + v^n) \\ & + \frac{\Delta t}{2} \theta (B_N^* \lambda_N^{n+1} + B_T^* \lambda_T^{n+1} - K u^{n+1}, v^{n+1} + v^n) \\ & + \frac{1}{2} (K(u^{n+1} - u^n), u^{n+1} + u^n) \\ & + \left(\frac{1}{2} - \theta \right) (M(v^{n+1} - v^n), v^{n+1} - v^n) \\ & + \Delta t \left(\frac{1}{2} - \theta \right) (K((1 - \theta)u^n + \theta u^{n+1}), v^{n+1} - v^n) \\ & - \Delta t \left(\frac{1}{2} - \theta \right) (1 - \theta) (B_N^* \lambda_N^n + B_T^* \lambda_T^n, v^{n+1} - v^n) \\ & - \Delta t \left(\frac{1}{2} - \theta \right) \theta (B_N^* \lambda_N^{n+1} + B_T^* \lambda_T^{n+1}, v^{n+1} - v^n). \end{aligned}$$

Prin introducerea aceluiași termeni și utilizarea ecuației elastodinamice în relația (1.42) se obține:

$$\begin{aligned} \Delta E = & \left(\frac{1}{2} - \theta \right) (M(v^{n+1} - v^n), v^{n+1} - v^n) + \left(\frac{1}{2} - \theta \right) (K(u^{n+1} - u^n), u^{n+1} - u^n) \\ & - \left((1 - \theta) (B_N^* \lambda_N^n + B_T^* \lambda_T^n) + \theta (B_N^* \lambda_N^{n+1} + B_T^* \lambda_T^{n+1}), u^{n+1} - u^n \right). \end{aligned}$$

Stabilitatea metodei θ

Studiul stabilității problemei cu contact elastodinamic semidiscretizată în timp prin metoda θ generează următoarele rezultate:

Schema dată de relațiile (1.41) și (1.42) este disipativă prin urmare stabilă pentru $\theta = 1$.

Schema pentru $\theta = 1$ este tocmai schema Euler implicită.

Pentru $\theta = 1$, relația (1.50) devine:

$$\Delta E = -\frac{1}{2} \left(\left(M(v^{n+1} - v^n), v^{n+1} - v^n \right) + \left(K(u^{n+1} - u^n), u^{n+1} - u^n \right) \right) - \left(B_N^* \lambda_N^{n+1} + B_T^* \lambda_T^{n+1}, u^{n+1} - u^n \right)$$

sau

$$\left(M(v^{n+1} - v^n), v^{n+1} - v^n \right) \geq 0 \text{ și } \left(K(u^{n+1} - u^n), u^{n+1} - u^n \right)$$

Utilizând definițiile pentru B_N^* și B_T^* obținem:

$$\left(B_N^* \lambda_N^{n+1} + B_T^* \lambda_T^{n+1}, u^{n+1} - u^n \right) = \left(\lambda_N^{n+1}, u_N^{n+1} - u_N^n \right) + \left(\lambda_T^{n+1}, u_T^{n+1} - u_T^n \right)$$

sau din condiția contactului unilateral și definiția metodei θ , rezultă:

$$\left(\lambda_N^{n+1}, u_N^{n+1} \right) = 0, \left(\lambda_N^{n+1}, u_N^n \right) \geq 0 \text{ și } u_T^{n+1} - u_T^n = \Delta t v_T^{n+1}$$

deci

$$\Delta E \leq \Delta t \left(\lambda_T^{n+1}, v_T^{n+1} \right)$$

și rezultă

$$\Delta E \leq 0 \text{ ceea ce implică } \left(\lambda_T^{n+1}, v_T^{n+1} \right) \leq 0, \text{ din condiția de frecare Coulomb.}$$

Deci schema Euler implicită este disipativă ceea ce implică stabilitatea acestei scheme.

Remarcă Schema pentru $\theta = \frac{1}{2}$ corespunde schemei Crank – Nicholson, iar variația de energie pentru problema (I.41), (I.42) devine:

$$\Delta E = -\frac{1}{2} \left(\left(B_N^* \lambda_N^n + B_T^* \lambda_T^n \right) + \left(B_N^* \lambda_N^{n+1} + B_T^* \lambda_T^{n+1} \right), u^{n+1} - u^n \right)$$

În lipsa contactului, regăsim rezultatul clasic de conservare a energiei problemei elastodinamice liniare. În cazul prezenței contactului, rezultatele numerice au demonstrat că schema dată de relațiile (1.41) și (1.42) nu este stabilă.

Schema Newmark

Adaptarea schemei Newmark pentru problema cu contact

Această schemă este mult mai utilizată decât metodele implicite. Formularea problemei elastodinamice semidiscrete cu schema lui Newmark este următoarea:

$$\begin{cases} u^{n+1} = u^n + \Delta t v^n + \Delta t^2 \left(\left(\frac{1}{2} - \beta \right) a^n + \beta a^{n+1} \right) \\ v^{n+1} = v^n + \Delta t \left((1 - \gamma) a^n + \gamma a^{n+1} \right) \end{cases} \quad (1.51)$$

$$\begin{cases} M a^{n+1} + K u^{n+1} = L + B_N^* \lambda_N^{n+1} + B_T^* \lambda_T^{n+1} \\ -\lambda_N^{n+1} \in N_{K_N} \left(B_N u^{n+1} \right) \\ -\lambda_T^{n+1} \in \partial_2 j \left(\lambda_N^{n+1}, B_T v^{n+1} \right) \\ u(0) = u^0, v(0) = u^1 \end{cases} \quad (1.52)$$

Parametrii β și γ determină numeric stabilitatea și disiparea schemei.

Remarcă În studiul său inițial, Newmark a propus următoarele valori $\gamma = \frac{1}{2}$ și

$\beta = \frac{1}{4}$ care corespunde regulii trapezului. Aceste valori permit determinarea stabilității problemei liniare elastodinamice semidiscrete a schemei Newmark. Rezultatul obținut de Newmark a fost generalizat și condiția de stabilitate este asigurată pentru $\gamma \geq \frac{1}{2}$ și $\beta \geq \frac{1}{4} \left(\frac{1}{2} + \gamma \right)$. Prin urmare, în prezența contactului

problema devine neliniară și condiția de stabilitate devine foarte greu de stabilit.

Pornind, de la sistemul (1.51) se calculează accelerația:

$$a^{n+1} = \frac{1}{\beta \Delta t^2} (u^{n+1} - u^n) - \frac{1}{\beta \Delta t} v^n - \frac{\frac{1}{2} - \beta}{\beta} a^n$$

Înlocuind în sistemul (1.52), obținem următorul sistem:

$$\begin{cases} \left(\frac{M}{\beta \Delta t^2} + K \right) u^{n+1} = \hat{L} + B_N^* \lambda_N^{n+1} + B_T^* \lambda_T^{n+1} \\ - \lambda_N^{n+1} \in N_{K_N} (B_N u^{n+1}) \\ - \lambda_T^{n+1} \in \partial_2 j(\lambda_N^{n+1}, a B_T u^{n+1} - C_T) \\ u(0) = u_0, v(0) = u_1 \end{cases} \quad (1.53)$$

unde

$$\hat{L} = L + \frac{1}{\beta \Delta t^2} M u^n + \frac{1}{\beta \Delta t} M v^n + \frac{\frac{1}{2} - \beta}{\beta} M a^n \quad (1.54)$$

$$a = \frac{\gamma}{\beta \Delta t} \text{ și } C_T = \frac{\gamma}{\beta \Delta t} B_T u^n + \frac{\gamma - \beta}{\beta} B_T v^n + \frac{\frac{\gamma}{2} - \beta}{\beta} \Delta t B_T a^n \quad (1.55)$$

Analiza stabilității

Variația energiei schemei dată de relațiile (1.51) și (1.52) este dată de:

$$\begin{aligned} \Delta E &= 2 \left(\frac{1}{2} - \gamma \right) \left(K(u^{n+1} - u^n), u^{n+1} - u^n \right) + \Delta t \left(\beta - \frac{\gamma}{2} \right) \left(K(u^{n+1} - u^n), v^{n+1} - v^n \right) \\ &\quad + \Delta t \left(\beta - \frac{\gamma}{2} \right) \left((B_N^* \lambda_N^{n+1} + B_T^* \lambda_T^{n+1}) - (B_N^* \lambda_N^n + B_T^* \lambda_T^n), v^{n+1} - v^n \right) \\ &\quad + \Delta t \left((1 - \gamma) (B_N^* \lambda_N^n + B_T^* \lambda_T^n) + \gamma (B_N^* \lambda_N^{n+1} + B_T^* \lambda_T^{n+1}), u^{n+1} - u^n \right). \end{aligned}$$

Variația energiei va fi:

$$\begin{aligned} \Delta E &= E(u^{n+1}, v^{n+1}) - E(u^n, v^n) \\ &= \frac{1}{2} \left(M(v^{n+1} - v^n), v^{n+1} + v^n \right) \end{aligned}$$

$$+ \frac{1}{2} \left(K(u^{n+1} - u^n), u^{n+1} + u^n \right) - (L, u^{n+1} - u^n) \quad (1.56)$$

Din sistemul (1.51), rezultă:

$$\begin{cases} u^{n+1} - u^n - \Delta t v^n = \Delta t^2 \left(\left(\frac{1}{2} - \beta \right) a^n + \beta a^{n+1} \right) \\ v^{n+1} - v^n = \Delta t \left((1 - \gamma) a^n + \gamma a^{n+1} \right) \end{cases} \quad (1.57)$$

Multiplicăm cele două ecuații a sistemului (1.57) prin matricea masă M , și obținem:

$$\begin{cases} M(u^{n+1} - u^n - \Delta t v^n) = \Delta t^2 \left(\left(\frac{1}{2} - \beta \right) M a^n + \beta M a^{n+1} \right) \\ M(v^{n+1} - v^n) = \Delta t \left((1 - \gamma) M a^n + \gamma M a^{n+1} \right) \end{cases} \quad (1.58)$$

Plecând de la ecuația elastodinamică a sistemului (1.52) obținem:

$$\begin{aligned} M(u^{n+1} - u^n - \Delta t v^n) &= \Delta t^2 \left(\frac{1}{2} - \beta \right) \left(-K u^n + L + B_N^* \lambda_N^n + B_T^* \lambda_T^n \right) \\ &\quad + \Delta t^2 \beta \left(-K u^{n+1} + L + B_N^* \lambda_N^{n+1} + B_T^* \lambda_T^{n+1} \right) \\ &= \frac{\Delta t^2}{2} L - \left[\left(\frac{1}{2} - \beta \right) K u^n + \beta K u^{n+1} \right] \\ &\quad + \Delta t^2 \left[\left(\frac{1}{2} - \beta \right) \left(B_N^* \lambda_N^* + B_T^* \lambda_T^* \right) + \beta \left(B_N^* \lambda_N^{n+1} + B_T^* \lambda_T^{n+1} \right) \right] \end{aligned} \quad (1.59)$$

În plus

$$\begin{aligned} M(v^{n+1} - v^n) &= \Delta t (1 - \gamma) \left(-K u^n + L + B_N^* \lambda_N^n + B_T^* \lambda_T^n \right) \\ &\quad + \Delta t \gamma \left(-K u^{n+1} + L + B_N^* \lambda_N^{n+1} + B_T^* \lambda_T^{n+1} \right) \\ &= \Delta t L - \Delta t \left[(1 - \gamma) K u^n + \gamma K u^{n+1} \right] \\ &\quad + \Delta t \left[(1 - \gamma) \left(B_N^* \lambda_N^* + B_T^* \lambda_T^* \right) + \gamma \left(B_N^* \lambda_N^{n+1} + B_T^* \lambda_T^{n+1} \right) \right] \end{aligned} \quad (1.60)$$

Multiplicând relația (1.60) cu $\frac{\Delta t}{2}$ și rescriind relația (1.58) obținem:

$$\begin{aligned} M(u^{n+1} - u^n) &= \Delta t^2 \left(\beta - \frac{\gamma}{2} \right) K (u^{n+1} - u^n) + \frac{\Delta t}{2} M(v^{n+1} + v^n) \\ &\quad + \Delta t^2 \left(\beta - \frac{\gamma}{2} \right) \left(\left(B_N^* \lambda_N^{n+1} + B_T^* \lambda_T^{n+1} \right) - \left(B_N^* \lambda_N^n + B_T^* \lambda_T^n \right) \right) \end{aligned}$$

de unde rezultă:

$$\begin{aligned} M(v^{n+1} + v^n) &= \frac{2}{\Delta t} M(u^{n+1} - u^n) + 2 \Delta t \left(\beta - \frac{\gamma}{2} \right) K (u^{n+1} - u^n) \\ &\quad - 2 \Delta t \left(\beta - \frac{\gamma}{2} \right) \left(\left(B_N^* \lambda_N^{n+1} + B_T^* \lambda_T^{n+1} \right) - \left(B_N^* \lambda_N^n + B_T^* \lambda_T^n \right) \right) \end{aligned} \quad (1.61)$$

Prin înlocuirea relației (1.61) în relația (1.56) obținem:

$$\begin{aligned}
\Delta E = & \frac{1}{2} \left(K(u^{n+1} - u^n), u^{n+1} + u^n \right) + \frac{2}{\Delta t} \left(M(u^{n+1} - u^n), v^{n+1} - v^n \right) \\
& + \Delta t \left(\beta - \frac{\gamma}{2} \right) \left(K(u^{n+1} - u^n), v^{n+1} - v^n \right) - \left(L, u^{n+1} - u^n \right) \\
& - \Delta t \left(\beta - \frac{\gamma}{2} \right) \left(\left(B_N^* \lambda_N^{n+1} + B_T^* \lambda_T^{n+1} \right) - \left(B_N^* \lambda_N^n + B_T^* \lambda_T^n \right) \right), v^{n+1} - v^n \quad (1.62)
\end{aligned}$$

Pe de altă parte din relația (1.60) avem:

$$\begin{aligned}
\left(L, u^{n+1} - u^n \right) = & \frac{\Delta t}{2} \left(M(v^{n+1} - v^n), u^{n+1} - u^n \right) \\
& + \Delta t \left(\left[(1 - \gamma) K u^n + \gamma K u^{n+1} \right], u^{n+1} - u^n \right) \\
& \Delta t \left(\left[(1 - \gamma) \left(B_N^* \lambda_N^n + B_T^* \lambda_T^n \right) + \gamma \left(B_N^* \lambda_N^{n+1} + B_T^* \lambda_T^{n+1} \right) \right], u^{n+1} - u^n \right) \quad (1.63)
\end{aligned}$$

Înlocuind relația (1.63) în relația (1.62) și aranjând termenii obținem:

$$\begin{aligned}
\Delta E = & 2 \left(\frac{1}{2} - \gamma \right) \left(K(u^{n+1} - u^n), u^{n+1} - u^n \right) + \Delta t \left(\beta - \frac{\gamma}{2} \right) \left(K(u^{n+1} - u^n), v^{n+1} - v^n \right) \\
& + \Delta t \left(\beta - \frac{\gamma}{2} \right) \left(\left(B_N^* \lambda_N^{n+1} + B_T^* \lambda_T^{n+1} \right) - \left(B_N^* \lambda_N^n + B_T^* \lambda_T^n \right) \right), v^{n+1} - v^n \\
& + \Delta t \left((1 - \gamma) \left(B_N^* \lambda_N^n + B_T^* \lambda_T^n \right) + \gamma \left(B_N^* \lambda_N^{n+1} + B_T^* \lambda_T^{n+1} \right) \right), u^{n+1} - u^n.
\end{aligned}$$

1.8 Formularea legii de frecare a lui Coulomb

Se consideră o particulă în \mathfrak{R}^n cu masa m . Poziția masei materiale este determinată de coordonata $U(t) \in \mathfrak{R}^n$, sistemul de coordonate va fi ales astfel încât legăturile unilaterale să fie exprimate cu ajutorul primei componente $U_N(t)$ a lui $U(t)$ sub forma[63]:

$$\forall t, \quad U_N(t) \leq 0$$

Dacă x este un vector din \mathfrak{R}^n și x_N componenta normală și x_T vectorul definit de cele $n-1$ componente ale sale numite componente tangențiale, atunci matricea de rigiditate se scrie:

$$[K] = \begin{pmatrix} K_N & W^t \\ W & K_T \end{pmatrix} \quad \text{unde } K_N \in \mathfrak{R}, \quad W \in \mathfrak{R}^{n-1}, \quad [K_T] \text{ este matricea pătratică}$$

reală simetrică cu rangul $n-1$. Elementul W este cel care realizează legătura între diferitele posibilități de deplasare normale și tangențiale.

Următoarele două afirmații sunt echivalente:

(i) $[K]$ este pozitiv definită

(ii) $[K_T]$ este pozitiv definită și $K_N > W \cdot K_T^{-1} W$.

Evoluția dinamică a masei materiale satisface următoarele:

$$m\ddot{U}(t) + KU(t) = F(t) + N(t) \quad (1.64)$$

$$U_N(t) \leq 0 \quad N_N(t) \leq 0 \quad U_N(t)N_N(t) = 0 \quad (1.65)$$

unde N este reacțiunea exercitată de către un obstacol asupra masei în mișcare. Prezența obstacolului se bazează pe faptul că evoluția dinamică a mișcării prezintă discontinuități ale vitezei. Rezultă că ecuația de mișcare (1.64) nu poate fi satisfăcută în sens clasic și trebuie atunci să fie exprimată cu ajutorul teoriei distribuțiilor.[31] În particular reacțiunea N este o distribuție a cărei componentă normală N_N este negativă.

În cele ce urmează se notează $S([0, T]; \mathfrak{R}^n)$ spațiul funcțiilor definite pe intervalul $[0, T]$ cu valori din \mathfrak{R}^n .

Definiția 1.8: Se notează prin $S([0, T]; \mathfrak{R}^n)$ spațiul vectorial al distribuțiilor cu valori în \mathfrak{R}^n a cărei derivată de ordinul doi este o funcție măsurabilă.

Elementele sunt funcții cu variație mărginită și pot fi identificate ca și funcțiile continue.

Elementele spațiului S sunt primitivele funcțiilor cu variație mărginită și identificate cu funcțiile continue.

Funcțiile cu variația mărginită au următoarele proprietăți: $U \in S([0, T]; \mathfrak{R}^n)$

care admit derivate în sens clasic $\dot{U}^-(t)$ și $\dot{U}^+(t)$ la stânga și la dreapta momentului $t \in (0, T)$. Astfel, (1.64) și (1.65) au sens pentru $U \in S([0, T]; \mathfrak{R}^n)$ și $N \in S([0, T]; \mathfrak{R}^n)$.

În mod clasic aceste ecuații trebuie să fie completate de legea impactului și din (1.64) rezultă:

$$m\ddot{U} + KU = F + N \quad (1.66)$$

$$U_N \leq 0, \quad N_N \leq 0, \quad U_N N_N = 0 \quad (1.67)$$

$$U_N(t) = 0 \Rightarrow \dot{U}_N^+(t) = -R\dot{U}_N^- \quad (1.68)$$

unde $R \in [0, 1]$ este coeficientul de restituire cunoscut. Se introduce $S([0, T]; \mathfrak{R}^n)$ pentru a da un sens generalizat ecuațiilor ce guvernează evoluția unui asemenea sistem care se regăsește și în lucrările lui Schatzman[66] și Moreau[48].

Sistemul (1.66), (1.67), (1.68) este incomplet. El trebuie completat cu condițiile privitoare la componenta tangențială N_T .

În cazul contactului ideal avem $N_T = 0$. Se dorește a se studia influența frecării uscată în interacțiunea masei materiale cu obstacolul.

Presupunem că contactul dintre masa materială și obstacol are loc în prezența frecării Coulomb și deci \dot{U}_T^+ și N verifică:

$$\|N_T\| \leq -\mu N_N \quad \text{și} \quad \begin{cases} \|N_T\| \leq -\mu N_N \Rightarrow \dot{U}_T^+ = 0 \\ \|N_T\| = -\mu N_N \Rightarrow \exists \lambda > 0; N_T = -\lambda \dot{U}_T^+ \end{cases} \quad (1.69)$$

unde $\|\cdot\|$ reprezintă norma euclidiană.

Inegalitatea (1.69) indică faptul că reacțiunea se găsește într-un con convex de revoluție K_μ cu axa de-a lungul lui N și de unghi φ cu $\tan \varphi = \mu$

$$K_\mu = \left\{ N \in \mathfrak{R}^n, \|N_T\| \leq -\mu N_N \right\}.$$

Formularea variațională a legii lui Coulomb este:

Propoziția 1.1 Formularea clasică (1.69) este echivalentă cu următoarea inegalitate variațională:

$$\forall Y \in \mathfrak{R}^{n-1}, (N_T, Y - \dot{U}_T^+) - \mu N_N (\|Y\| - \|\dot{U}_T^+\|) \geq 0 \quad (1.70)$$

Demonstrație: Presupunem că are loc relația (1.70). Alegând succesiv $Y = 0$ și $Y = 2\dot{U}_T^+$ în (1.70) rezultă:

$$-(N_T, \dot{U}_T^+) + \mu N_N \|\dot{U}_T^+\| \geq 0$$

$$(N_T, \dot{U}_T^+) - \mu N_N \|\dot{U}_T^+\| \geq 0$$

și prin urmare:

$$(N_T, \dot{U}_T^+) - \mu N_N \|\dot{U}_T^+\| = 0 \quad (1.71)$$

Deci (1.70) implică:

$$\forall Y \in \mathfrak{R}^{n-1}, (N_T, Y) - \mu N_N \|Y\| \geq 0 \quad (1.72)$$

Alegând $Y \neq 0$ ortogonal la N_T se deduce $N_N \leq 0$, apoi utilizând (1.72) cu $Y = -N_N$, avem

$$\|N_T\| \leq -\mu N_N \quad (1.73)$$

Astfel rezultă că (1.71) și (1.73) implică forma clasică a legii lui Coulomb.

Reciproc, presupunem că formularea clasică (1.69) a legii lui Coulomb este verificată. Inegalitatea (1.73) atrage după sine:

$$\forall Y \in \mathfrak{R}^{n-1}, -(N_T, Y) \leq |(N_T, Y)| \leq -\mu N_N \|Y\| \quad (1.74)$$

Pe de altă parte relația (1.71) este satisfăcută. În consecință din relațiile (1.71) și (1.74) rezultă:

$$\forall Y \in \mathfrak{R}^{n-1}, (N_T, Y - \dot{U}_T^+) - \mu N_N (\|Y\| - \|\dot{U}_T^+\|) \geq 0 \quad (1.75)$$

O altă formulare a legii de frecare a lui Coulomb o dăm mai jos.

Propoziția 1.2 Pentru $\mathcal{R} \in \mathfrak{R}^+$ definită pe $C(\mathcal{R}) = \left\{ Y \in \mathfrak{R}^{n-1}, \|Y\| \leq \mathcal{R} \right\}$. Forma clasică a legii lui Coulomb este echivalentă cu:

$$N_T \in \partial I_C^*(-\mu N_N) \left(-\dot{U}_T^+ \right) \quad (1.76)$$

și de asemenea echivalentă cu:

$$-\dot{U}_T^+ \in \partial I_C(-\mu N_N) (N_T) \quad (1.77)$$

Demonstrație $C(-\mu N_N)$ este un convex închis în \mathfrak{R}^{n-1} , funcția sa indicatoare $I_{C(-\mu N_N)}$ este convexă, semicontinuuă inferior. Prin urmare însăși conjugata sa

$I_{C(-\mu N_N)}^*$ este funcție sprijin de $C(-\mu N_N)$ definită de:

$$I_{C(-\mu N_N)}^*(X) = \sup_{Y \in C(-\mu N_N)} ((X, Y)) = -\mu N_N \|X\|$$

Deci, este evident că relația (1.76) este echivalentă cu relația (1.70) pentru definirea aceluiași ansamblu de gradienti. Echivalența dintre relațiile (1.76) și (1.73) provine din propoziția 1.1.

Propoziția 1.3 Relația (1.69) a legii lui Coulomb este echivalentă cu:

$$(i) \quad N \in K_\mu$$

$$(ii) \quad \forall X \in K_\mu, N_N(X_T, \dot{U}_T^+) \leq X_N(N_T, \dot{U}_T^+) \quad (1.78)$$

Demonstrație

Din propoziția 1.2 este suficient de demonstrat că relația (1.78) este echivalentă cu condiția (1.77). Se presupune că relația (1.78) este satisfăcută și se demonstrează că aceasta implică condiția (1.77).

Dacă $N_N = 0$, nu se demonstrează nimic. Se presupune prin urmare că $N_N < 0$, $X_T \in (-\mu N_N)$; $\left(-1, -\frac{X_T}{N_N}\right) \in K_\mu$. Pentru ipoteza $-1(\dot{U}_T^+, N_T) \geq N_N\left(\frac{-X_T}{N_N}, \dot{U}_T^+\right)$ fie $(\dot{U}_T^+, X_T - N_T) \geq 0$; $\forall X_T \in C(-\mu N_N)$ relație care nu este alta decât relația (1.77).

Reciproc, dacă condiția (1.77) este satisfăcută $\|N_T\| \leq -\mu N_N$. Se presupune $N_N < 0$. Fie $X \in K_\mu$ oarecare. Trebuie arătat că: $X_N(\dot{U}_T^+, N_T) \geq N_N(X_T, \dot{U}_T^+)$. Se poate considera $X_N < 0$, rezultă: $\left\|N_N \frac{X_T}{X_N}\right\| \leq -\mu N_N \Rightarrow \left(\dot{U}_T^+, N_N \frac{X_T}{X_N} - N_T\right) \geq 0$ ceea ce trebuia demonstrat.

Ecuatiile (1.66), (1.67), (1.68), trebuie să fie completate cu legea frecării deoarece masa materială este în contact cu un obstacol nedeformabil. Reacțiunea, este în general o funcție pe intervalul $[0, T]$ cu valori în \mathfrak{R}^n .

Formularea variațională este favorabilă ori de câte ori reacțiunea este o funcție măsurabilă, iar viteza la dreapta este o funcție mărginită, definită pe $[0, T]$ cu valori în \mathfrak{R}^n și poate fi considerată ca limita uniformă a unei funcții scară și deci universal integrabilă.

În acest fel se poate rescrie legea lui Coulomb în următoarea formă:

$$\forall V \in C^0([0, T]; \mathfrak{R}^{n-1})$$

$$\int_{[0, T]} (N_T, V - \dot{U}_T^+) - \mu N_N (\|V\| - \|\dot{U}_T^+\|) \geq 0$$

Completând ecuațiile ce guvernează mișcarea sistemului, numit sistemul Klarbring cu condițiile inițiale problema evoluției se scrie[64]:

P_U există $U \in S([0, T]; \mathbb{R}^n)$ și $N \in S([0, T]; \mathbb{R}^n)$ astfel că:

$m\ddot{U} + KU = F + N$ - ecuația de mișcare

$U(0) = U_0; \dot{U}_T^+ = V_0$ - condițiile inițiale

$U_N \leq 0; N_N \leq 0, U_N N_N = 0$ - contactul unilateral

$\forall V \in C^0([0, T]; \mathbb{R}^{n-1}), \int_{[0, T]} (N_T, V - \dot{U}_T^+) - \mu N_N (\|V\| - \|\dot{U}_T^+\|) \geq 0$ - legea Coulomb

$U_N(t) = 0 \Rightarrow \dot{U}_N^+ = -R\dot{U}_N^-$ - legea ciocnirii

Condițiile inițiale sunt compatibile cu legăturile unilaterale;

$U_{0N} \leq 0$ și $U_{0N} = 0 \Rightarrow V_{0N} \leq 0$.

În cele ce urmează se va studia cazul particular $R = 0$, deci a ciocnirii plastice.

1.9 Contribuții personale

- Prezentarea stadiului actual al cercetărilor sistemelor mecanice cu legături unilaterale și frecare, elementelor principale caracteristice mișcărilor sistemelor vibrpoercutante utilizând noțiunea de legătură unilaterală.
- Pe baza proprietăților deduse pentru funcția legăturii unilaterale s-au clasificat mișcările cu sau fără contact prelungit ale sistemelor vibropercutante.
- Descrierea principalelor metode de aproximare utilizate pentru analiza evoluției și stabilității sistemelor clasice liniar elastice cu condiții la limita contactului unilateral și frecare Coulomb, metoda teta, schema Paoli-Schatzman și schema Newmark adaptată la cazul sistemelor mecanice cu contact.
- Punerea în evidență a legii de frecare Coulomb în formularea variațională, exprimarea ecuațiilor de mișcare pentru sistemul Klarbring.

2. MODELE MECANICE ALE SISTEMELOR CU FRECARÉ

Frecarea a două suprafețe alunecoase joacă un rol important în comportamentul dinamic a unui număr mare de sisteme mecanice. Aspectele dinamice complexe cum sunt mișcarea de alunecare, autoexcitarea, oscilațiile haotice sunt de asemenea identificate în prezența frecării în legături și în suprafețele de contact.

Studiul sistemelor dinamice cu frecare are o lungă și bogată istorie[28]. Exceptând câteva cazuri efectele frecării duc la funcționarea incorectă a mai multor sisteme și necesită introducerea unor efecte – dispozitive de control care să compenseze fenomenele de frecare.

Modelul frecării uscate a lui Coulomb este utilizat pentru majoritatea calculelor ingineresti ale rugozității. Aceasta este însă greu de stabilit pentru aplicațiile complexe deoarece acest model neglijează unele grade de libertate microscopice ale contactului care au un rol foarte important în cazul diferitelor aplicații. De exemplu, în cazul sistemelor mecatronice viteza și lungimea intervalului mișcării devin comparabile cu lungimea și intervalul de timp implicate în gradele de libertate microscopice ale contactului. Acest aspect a determinat dezvoltarea de noi modele fenomenologice de modelare a frecării și a diferite tehnici de compensare a manifestării efectelor nedorite ale frecării[17],[25],[32].

Una din aceste tehnici consideră oscilațiile de înaltă frecvență[29],[36],[74] în manifestarea câtorva efecte nedorite ale frecării. Un studiu recent al acestui efect a arătat că orice excitație efectuată pe un interval de timp mult mai mare în comparație cu intervalul de timp natural al sistemului poate scoate la iveală modificări netriviabile în dinamica sistemelor neliniare. Vibrațiile au fost observate cu modificări efective în caracteristicile sistemelor mecanice cum sunt stările de echilibru, rigiditatea liniară, amortizarea și frecvențele naturale. Aspectul excitării rapide poate influența semnificativ aspectele neliniare cum sunt recuperarea și disiparea energiei, răspunsul în frecvență și bifurcarea.

O altă aplicație foarte importantă este efectul neliniar al oscilațiilor pentru caracteristici ale sistemului cu discontinuități. Caracteristicile frecării uscate sunt descrise fenomenologic printr-o relație discontinuă a vitezei, discontinuitățile apărând la viteza zero, adică atunci când apare viteza de alunecare. Viteza nulă implică blocarea a două suprafețe care interacționează și în timpul fazei de blocare; forța de frecare are o valoare care depinde de sarcina externă. Astfel, există o diferență între nivelul forței de frecare în faza de blocare și cea de alunecare. Această situație este responsabilă pentru mișcarea „stick-slip”. În timpul vitezelor mici de alunecare, frecarea este prezentă având caracteristici de reducere cu creșterea/descreșterea vitezei. Acest fenomen este cunoscut ca efect Stribeck și este cunoscut pentru oscilațiile autoexcitare a diferitelor sisteme dinamice.

Thomsen[74] a considerat un model similar al frecării pentru a studia efectul excitațiilor rapide asupra mișcării „stick-slip”. El a arătat că o alegere potrivită a vibrației rapide este capabilă de suprimarea oscilațiilor de autoexcitare și a mișcării „stick-slip”. Datorită efectului vibrației rapide, viteza zero, discontinuă a forței de frecare este anulată printr-o caracteristică echivalentă; amortizarea vâscoasă și caracteristica de reducere a vitezelor mici tinzând simultan spre aplatizare.

Recentele modele fenomenologice ale frecării consideră doar gradele de libertate macroscopice. Acest lucru implică faptul că toate gradele de libertate microscopice sunt mult mai puternice decât cele macroscopice. Scala lungimii microscopice poate fi de același ordin de mărime cu dimensiunea asperităților suprafeței de contact sau lungimea de corelare a rugozității suprafeței. Când viteza devine foarte mică trebuie acordată atenție gradelor de libertate microscopice care sunt în general mai rapide în dinamica mișcării. Prezintă interes științific modelul LuGre și cel al frecării pentru stări unice elasto-plastice. Efectul vibrațiilor rapide pentru starea „stick-slip” și oscilațiile de autoexcitare sunt prezentate prin prisma caracteristicilor frecării ale vibrațiilor rapide efective induse.

2.1 Modele cu frecare

Literatura actuală este bogată în numeroase modele matematice ale frecării. Fiecare dintre aceste modele este relevant pentru unul sau câteva domenii operaționale și fenomenologice, în funcție de interes. Pentru rezolvarea unei probleme particulare selecția modelului de frecare cel mai apropiat de realitate este foarte importantă. În funcție de scala de timp și de cea de lungime, modelele frecării pot fi clasificate în două categorii, care se numesc modele macroscopice, respectiv modele microscopice.

În modelele macroscopice, frecarea este reprezentată ca o funcție disipativă a vitezei relative de alunecare. Asemenea modele sunt în general valabile în situațiile în care doar gradele de libertate macroscopice implică micșorarea relativă a scalei de timp. Cea mai simplă formă a acestor modele macroscopice este modelul frecării uscate Coulomb pe care îl evidențiem mai jos:

$$F = F_C \operatorname{sign}(v) \quad (2.1)$$

Acest model ține seama doar de faptul că forța de frecare F este constantă și depinde de semnul vitezei relative de alunecare. Cu toate acestea modelul lui Coulomb nu poate descrie efectul „stick-slip” sau efectul Stribeck. Există câteva extensii ale modelului Coulomb care consideră efectul „stick-slip” și pe cel Stribeck. Aceste modele se numesc modele cinetice de frecare și pot fi descrise în general de:

$$F = \begin{cases} g(v) & v \neq 0 \\ F_e & \text{dacă } v = 0 \text{ și } |F_e| < F_S \\ F_S \operatorname{sign}(F_e) & \text{în celelalte cazuri} \end{cases} \quad (2.2)$$

unde $g(v) = F_C + (F_S - F_C) e^{-\left|\frac{v}{v_S}\right|^\delta} + F_V v$.

În relația (2.2) F_e este forța exterioară, F_S este nivelul maxim al forței de frecare în timpul blocării și F_C forța cinetică a frecării, v_S este viteza Stribeck caracteristică, iar F_V este coeficientul vâscos de frecare.

În ultima perioadă au fost dezvoltate o serie de modele de frecare sofisticate care consideră gradele de libertate microscopice ale interfeței de frecare. Asemenea modele sunt cunoscute ca „modele aspre” unde asperitățile interfeței de frecare sunt considerate ca niște fibre, asperități de resorturi elastice. Când se aplică forțele

tangențiale asperitățile deviază ca și resorturile și forța de frecare este reprezentată ca media forței de deviație a asperităților de tip resort. Când deviația asperităților este suficient de mare, asperitățile încep să alunece. Viteza de alunecare determină media de deviație în timpul forței de alunecare. Modelul LuGre este cel mai potrivit de utilizat în modelul microscopic al frecării pentru interpretarea asperităților.

Recent, Dupont și ceilalți[25] au generalizat modelul lui LuGre ținând cont de fenomenul de blocare într-o manieră mult mai riguroasă. Generalizarea modelului LuGre, cunoscut ca modelul stării singulare elasto-plastice este descris de relația:

$$F = \sigma_0 z + \sigma_1 \frac{dz}{dt} + \sigma_2 v; \sigma_0, \sigma_1, \sigma_2 > 0$$

$$\frac{dz}{dt} = v - \frac{\sigma_0 a(z, v) |v| z}{g(v)} \quad (2.3)$$

unde v este viteza relativă dintre suprafețele nerugoase și z este media deviației asperităților. $g(v)$ modelează efectul Stribeck. Cea mai cunoscută formă a lui $g(v)$ este următoarea:

$$g(v) = F_c + (F_s - F_c) e^{-\left|\frac{v}{v_s}\right|^\delta} \quad (2.4)$$

σ_0 și σ_1 reprezintă rigiditatea și amortizarea asperităților, σ_2 este coeficientul de amortizare vâscoasă și v_s este viteza caracteristică Stribeck. Pentru a reprezenta modelul disipativ, termenul σ_1 de amortizarea asperităților este considerat a fi o funcție de viteză. Cea mai utilizată formă a acestei funcții este:

$$\sigma_1(v) = \hat{\sigma}_1 e^{-\left|\frac{v}{v_d}\right|^\delta} \quad (2.5)$$

unde v_d este viteza caracteristică și δ este o mărime pozitivă. Acești doi parametri modelează coeficientul de modificare a amortizării asperităților cu viteza de alunecare. Funcția $a(v, z)$ introdusă de Dupont controlează diferite faze ale proceselor de frecare ca: blocarea, antealunecarea elasto-plastică și alunecarea pură prin considerarea diferitelor valori la diferite stări după cum urmează:

$$a(z, v) = \begin{cases} 0; & |z| < z_{ba} \\ a_m(z, z_{ba}, z_{ss}); & z_{ba} < |z| < z_{ss}(v) \\ 1; & |z| > z_{ss}(v) \end{cases} \text{ când } \text{sign}(v) = \text{sign}(z)$$

$$= \{0\} \quad \text{când } \text{sign}(v) \neq \text{sign}(z) \quad (2.6)$$

unde $0 < a_m(z, z_{ba}, z_{ss}) < 1$ și $z_{ss}(v) = \frac{g(v)}{\sigma_0}$.

Pentru funcția $a_m(z, z_{ba}, z_{ss})$, Dupont[25] a propus următoarea formă:

$$a_m(z, z_{ba}, z_{ss}(v)) = \frac{1}{2} \sin \left(n \frac{z - \frac{z_{ss} + z_{ba}}{2}}{z_{ss} - z_{ba}} \right) + \frac{1}{2} \quad (2.7)$$

Această formă a funcției $a(z, v)$ sugerează clar că în timpul blocării când deviația asperității z este mai mică decât z_{ba} - deviația de alunecare; $a(z, v) = 0$. După această fază prealunecarea elasto-plastică începe când $a(z, v) = a_m(z, z_{ba}, z_{ss}(v))$ și această

fază continuă până când $z = z_{ss}(v)$ maximum stării stabile, uniforme a deviației asperității la viteza v . Când $a(z, v) = 1$, urmează faza de alunecare plastică.

Trebuie subliniat faptul că modelul LuGre poate fi simulat considerând $a(z, v) = 1$ în ecuația (2.3). Astfel, modelul LuGre nu poate conține pe deplin starea de blocare în timp ce deviația asperității este pur elastică. Simularea numerică a sistemelor cu modelul LuGre evidențiază o abatere mică a alunecării în timpul fazei de blocare. Acest lucru este similar prealunecării elasto-plastice observată în cazul modelului elasto-plastic.

2.2 Efectul variației armonice a vitezei unidimensionale la caracteristicile frecării.

Dacă frecarea este puternic dependentă de viteză orice efect al excitației de înaltă frecvență a frecării are loc prin variația vitezei de înaltă frecvență - pentru a înțelege efectul variației vitezei de înaltă frecvență a frecării, un model ipotetic de contact este considerat acolo unde alunecarea se produce cu viteză constantă v_m și o viteză de perturbație de forma $v_a \cos(\omega t)$ cu $v_a \leq v_m$ este aplicată peste aceasta. Pentru o simplificare a analizei, se vor neglija gradele de libertate macroscopice ale alunecării. Așa cum s-a amintit anterior modelul frecării LuGre este un caz particular al modelului elasto-plastic descris de ecuațiile (2.3)-(2.7) și simulat prin considerarea lui $a(z, v) = 1$. Din considerente matematice, efectul Stribeck este modelat prin considerarea lui $\delta = 1$ în ecuația (2.4).

Metoda echilibrului armonic este utilizată pentru analiza frecării caracteristice sub condiția variației vitezei. În această metodă, deplasarea, deviația asperității z este reprezentată printr-o dezvoltare în serie Fourier:

$$z = X_0 + \sum_{n=1}^H X_n \cos(n\omega t) - \sum_{n=1}^H Y_n \sin(n\omega t) \quad (2.8)$$

unde H este numărul termenilor armonici folosiți în dezvoltare. X_0, X_n și Y_n sunt calculați din următoarea ecuație liniară:

$$[A] \begin{Bmatrix} z \\ \dot{z} \end{Bmatrix} = \begin{Bmatrix} b \end{Bmatrix} \quad (2.9)$$

unde

$$\begin{Bmatrix} z \\ \dot{z} \end{Bmatrix} = \{X_0 X_1 \dots X_H \quad Y_1 Y_2 \dots Y_H\}^T$$

$$\begin{Bmatrix} b \end{Bmatrix} = \{Q_0 Q_1 \dots Q_H \quad 00 \dots 0\}^T$$

În ecuația (2.9) elementele matricei $[A]$ $(2H+1) \times (2H+1)$ și vectorul $\{b\}$ sunt funcții ale parametrilor model $a_0, a_1, \sigma_0, \sigma_1, \sigma_2, v_m, v_a, \omega, v_0$ și v_d . În final, forța de frecare este calculată cu ajutorul relației:

$$F = \sigma_0 Z + \sigma_1(v) \frac{dz}{dt} + \sigma_2 v \quad (2.10)$$

Modelul matematic al unui exemplu de sistem mecanic cu frecare dinamică

Modelul matematic al unui sistem mecanic cu un singur grad de libertate și cu frecare este cel prezentat în continuare. Un corp de masă m alunecă mișcându-se pe o suprafață cu frecare și este cuplat de un arc de constantă elastică k care este capabil să producă variații în timp ale vitezei de forma $v_m + v_a(t)$.

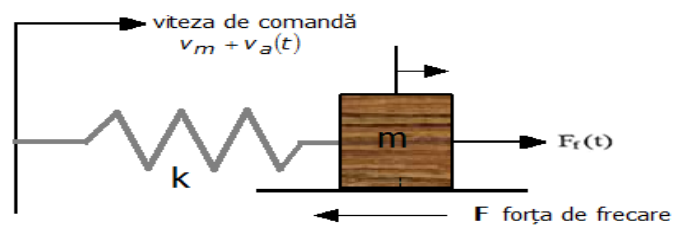


Fig. 2.1-Modelul matematic al sistemului considerat

Acest sistem este în acord cu modelul dinamic de frecare a lui LuGre.

Sistemul este excitat printr-o perturbație de mare frecvență. Frecvența de excitație este foarte mare comparativ cu frecvența naturală a sistemului sau cu frecvența de variație a vitezei de comandă. Ecuația de mișcare adimensională a sistemului este dată de următoarele relații:

$$\begin{aligned} \ddot{X} + X + \tilde{F} &= \tilde{f}_f(\tau, T_0) + \tilde{f}_s(\tau) + v_m^* \tau \\ \frac{dZ}{d\tau} &= \dot{X} - \frac{\sigma_0^* |\dot{X}| Z}{g^*(\dot{X})} \text{ și} \\ \tilde{F} &= \sigma_0^* Z + \sigma_1^*(\dot{X}) \frac{dZ}{d\tau} + \sigma_2^* \dot{X} \end{aligned} \quad (2.11)$$

unde așa cum se poate observa, mărimile adimensionale sunt definite în cele ce urmează. $\tau = t\omega_n$ este timpul adimensional, $T_0 (\ll 1)$ este perioada de timp adimensională a excitației rapide.

$$\begin{aligned} \tilde{f}_f(\tau, T_0) &= \frac{F_f}{m\omega_n^2 L} \text{ și} \\ \tilde{f}_s(\tau) &= \frac{k \int_0^\tau v_a(s) ds}{m\omega_n^2 L} \end{aligned} \text{ sunt excitațiile rapide și lente ale semnalului de}$$

superpoziție (oscilații corectoare de mică amplitudine) respectiv

$$\omega_n = \sqrt{\frac{k}{m}}$$

$X = \frac{x}{L}$, $\dot{X} = \frac{\dot{x}}{\omega_n L}$, $\ddot{X} = \frac{\ddot{x}}{\omega_n^2 L}$, $Z = \frac{z}{L}$ cu L o lungime de mărime arbitrară.

$$\sigma_0^* = \frac{\sigma_0}{k}, \sigma_1^*(\dot{X}) = \hat{\sigma}_1^* e^{-\left(\frac{\dot{X}}{v_d^*}\right)^2}, \hat{\sigma}_1^* = \frac{\hat{\sigma}_1}{m\omega_n}, v_d^* = \frac{v_d}{\omega_n L}, \sigma_2^* = \frac{\sigma_2}{m\omega_n} \text{ și}$$

$$g^*(\dot{X}) = f_c + (f_s - f_c) e^{-\left(\frac{\dot{X}}{v_s^*}\right)^2} \text{ cu}$$

$$f_c = \frac{F_c}{m\omega_n^2 L}, f_s = \frac{F_s}{m\omega_n^2 L}, v_m^* = \frac{v_m}{\omega_n L} \text{ și } v_s^* = \frac{v_s}{\omega_n L}.$$

În modelul de mai sus X reprezintă gradul de libertate structural macroscopic și Z - deviația interfeței asperităților - reprezintă gradul de libertate microscopic al interfeței de frecare. Aceste două grade de libertate sunt cuplate prin forța de frecare. Ecuația de mișcare (2.11) fără excitație rapidă descrie în general dinamica pentru două scale de timp disparate, fără legătură; Z fiind variabila rapidă. Pot apare trei scale de timp disparate atunci când scala de timp a excitației rapide este diferită de scalele de timp a lui X și Z .

Estimări teoretice ale frecării sub vibrație rapidă

Se consideră două modele diferite ale excitării rapide pentru analiza caracteristicilor frecării. Primul model ține cont de câteva ipoteze teoretice posibile ale excitării rapide, care sunt echivalentul suprafeței de frecare printr-o viteză de excitație de mare frecvență. Considerarea unei astfel de excitații determină ca sistemul să fie ușor de analizat.

Al doilea model utilizează excitația rapidă sinusoidală și consideră o versiune relativ simplă a modelului de frecare în obținerea unei expresii analitice a caracteristicilor frecării. Modelul excitației sinusoidale este mai apropiat de realitate; metoda analitică devine tendențioasă atunci când se consideră un model complet al frecării. Prin urmare din considerente matematice se va considera doar partea esențială a modelului de frecare. Se va arăta că acest model parțial al frecării nu influențează analiza din punct de vedere calitativ.

Modelul 1 - excitația rapidă este echivalentă cu pătratul vitezei undei de excitație.

Caracteristicile frecării sunt importante; se alege v_m^* egală cu zero. Ecuația adimensională a mișcării sistemului se scrie în următoarea formă:

$$\ddot{X} + X + \tilde{F} = \tilde{f}_f(\tau, T_0) + \tilde{f}_s(\tau)$$

$$\frac{dZ}{d\tau} = \dot{X} - \frac{\sigma_0^* |\dot{X}| Z}{g^*(\dot{X})} \text{ și}$$

$$\tilde{F} = \sigma_0^* Z + \sigma_1^*(\dot{X}) \frac{dZ}{d\tau} + \sigma_2^* \dot{X} \quad (2.12)$$

Dacă excitația rapidă se presupune mult mai rapidă comparativ cu X și Z este necesar ca sistemul să fie reprezentat în două scale de timp separate. Prin urmare se poate utiliza metoda directă a partiției mișcării pentru împărțirea mișcării X și Z

în componente lente și rapide, scala de timp a componentei rapide având aceeași ordin al amplitudinii ca excitația rapidă. Astfel, se poate scrie:

$$\begin{aligned} X(\tau) &= X_s(\tau) + T_0 \varphi_1(\tau, T), \\ Z(\tau) &= Z_s(\tau) + T_0 \varphi_2(\tau, T) \end{aligned} \quad (2.13)$$

unde

$$T = T_0^{-1} \tau \text{ cu}$$

$$\langle \varphi_{1,2} \rangle = T_0^{-1} \int_0^{T_0} \varphi_{1,2}(\tau, T) dT = 0 \quad (2.14)$$

Introducând ecuația (2.13) în ecuația (2.12) rezultă:

$$\varphi_1' = -T_0 \left(\ddot{X}_s + 2\varphi_1' + X_s + \tilde{F} - \tilde{f}_f(\tau) \right) + T_0 \tilde{f}_f(\tau, T_0) + O(T_0^2) \quad (2.15a)$$

$$\varphi_2' = -\dot{Z}_s + \dot{X}_s + \varphi_1' - \frac{\sigma_0^* |\dot{X}_s + \varphi_1'| Z_s}{g^* (\dot{X}_s + \varphi_1')} + O(T_0) \quad (2.15b)$$

unde ' reprezintă diferențială, cu respectarea variabilei timp T .

Dacă excitația rapidă este suficient de puternică astfel încât

$$T_0 \tilde{f}_f(\tau, T_0) \approx O(1) \text{ sau mai mare, forma de ordinul unu al ecuației (2.15a)}$$

este:

$$\varphi_1' = T_0 \tilde{f}_f(\tau, T_0) \quad (2.16)$$

Din considerente matematice se poate presupune că există o forță de excitație rapidă, cel puțin din punct de vedere teoretic, astfel încât prima integrare a ecuației (2.16) generează un puls pătratic deci, φ_1' este reprezentat printr-un puls pătratic la fel ca în figura următoare:

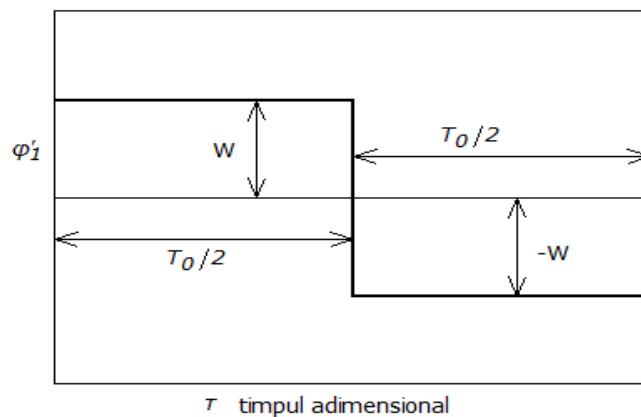


Fig. 2.2- Unda pătratică de înaltă frecvență

Trebuie menționat că aplicarea unei astfel de excitații rapide produce același efect ca cel obținut prin suprapunerea unei unde pătratice de înaltă frecvență peste frecarea de alunecare. Utilizând ecuația (2.14) se poate determina medierea

ecuațiilor (2.15a) și (2.15b) pentru obținerea ecuațiilor următoare care guvernează dinamica sistemului:

$$\ddot{X}_S + X_S + \left\langle \tilde{F}(Z_S, \dot{X}_S + \varphi'_1) \right\rangle = \tilde{f}_S(\tau) \quad (2.17a)$$

$$\begin{aligned} \dot{Z}_S &= \dot{X}_S - \sigma_0^* Z_S \left\langle \frac{|\dot{X}_S + \varphi'_1|}{g^*(\dot{X}_S + \varphi'_1)} \right\rangle \\ &= \dot{X}_S - \frac{1}{2} \sigma_0^* Z_S \left(\frac{|\dot{X}_S + W|}{g^*(\dot{X}_S + W)} + \frac{|\dot{X}_S - W|}{g^*(\dot{X}_S - W)} \right) \end{aligned} \quad (2.17b)$$

unde

$$\begin{aligned} \langle \tilde{F} \rangle &= \sigma_0^* \left(1 - \left\langle \frac{\sigma_1^* (\dot{X}_S + \varphi'_1) |\dot{X}_S + \varphi'_1|}{g^*(\dot{X}_S + \varphi'_1)} \right\rangle \right) Z_S + \left(\sigma_2^* \dot{X}_S + \left\langle \sigma_1^* (\dot{X}_S + \varphi'_1) (\dot{X}_S + \varphi'_1) \right\rangle \right) \\ &= \sigma_0^* Z_S + \sigma_2^* \dot{X}_S + \frac{1}{2} \left(\sigma_1^* (\dot{X}_S + W) (\dot{X}_S + W) + \sigma_1^* (\dot{X}_S - W) (\dot{X}_S - W) \right) \\ &\quad - \frac{1}{2} \sigma_0^* Z_S \left(\frac{\sigma_1^* (\dot{X}_S + W) |\dot{X}_S + W|}{g^*(\dot{X}_S + W)} + \frac{\sigma_1^* (\dot{X}_S - W) |\dot{X}_S - W|}{g^*(\dot{X}_S - W)} \right) \end{aligned} \quad (2.17c)$$

Presupunem că rigiditatea adimensională de contact $\sigma_0^* \gg 1$. Astfel, ecuațiile (2.17a) – (2.17c) pot fi rescrise în următoarea formă:

$$\ddot{X}_S + X_S + \left\langle \tilde{F}(Y, \dot{X}_S + \varphi'_1) \right\rangle = \tilde{f}_S(\tau) \quad (2.18a)$$

$$\varepsilon \dot{Y} = \dot{X}_S - \frac{1}{2} Y \left(\frac{|\dot{X}_S + W|}{g^*(\dot{X}_S + W)} + \frac{|\dot{X}_S - W|}{g^*(\dot{X}_S - W)} \right) \quad (2.18b)$$

unde

$$\begin{aligned} \langle \tilde{F} \rangle &= Y + \sigma_2^* \dot{X}_S + \frac{1}{2} \left(\sigma_1^* (\dot{X}_S + W) (\dot{X}_S + W) + \sigma_1^* (\dot{X}_S - W) (\dot{X}_S - W) \right) \\ &\quad - \frac{1}{2} Y \left(\frac{\sigma_1^* (\dot{X}_S + W) |\dot{X}_S + W|}{g^*(\dot{X}_S + W)} + \frac{\sigma_1^* (\dot{X}_S - W) |\dot{X}_S - W|}{g^*(\dot{X}_S - W)} \right) \end{aligned} \quad (2.18c)$$

unde $Y = \sigma_0^* Z_S$ și mărimea mică $\varepsilon = (\sigma_0^*)^{-1}$.

Se observă că ecuațiile (2.18a) și (2.18b) sunt scrise în forma standard a problemei perturbației singulare.

Se poate nota că gradul de libertate structural X_S descrie dinamica lentă iar gradul de libertate microscopic Y descrie dinamica rapidă a sistemului mecanic. Înlocuind $\varepsilon = 0$ în ecuația (2.18b) se obține modelul sistemului de ordin redus în formă:

$$\ddot{X}_S + X_S + \left\langle \tilde{F}(Y, \dot{X}_S + \varphi'_1) \right\rangle = \tilde{f}_S(\tau) \quad (2.19)$$

unde forța efectivă de frecare $\langle \tilde{F} \rangle$ este dată de relația

$$\begin{aligned} \langle \tilde{F} \rangle = & Y + \sigma_2^* \dot{X}_S + \frac{1}{2} \left(\sigma_1^* (\dot{X}_S + W) |\dot{X}_S + W| + \sigma_1^* (\dot{X}_S - W) |\dot{X}_S - W| \right) \\ & - \frac{1}{2} Y \left(\frac{\sigma_1^* (\dot{X}_S + W) |\dot{X}_S + W|}{g^* (\dot{X}_S + W)} + \frac{\sigma_1^* (\dot{X}_S - W) |\dot{X}_S - W|}{g^* (\dot{X}_S - W)} \right) \end{aligned} \quad (2.20)$$

și

$$Y = \frac{2\dot{X}_S}{\left(\frac{|\dot{X}_S + W|}{g^* (\dot{X}_S + W)} + \frac{|\dot{X}_S - W|}{g^* (\dot{X}_S - W)} \right)} \quad (2.21)$$

Ecuția (2.21) descrie variația lentă a sistemului. După utilizarea timpului următor și transformarea coordonatei rezultă:

$$\hat{Y} = Y - \frac{2\dot{X}_S}{\left(\frac{|\dot{X}_S + W|}{g^* (\dot{X}_S + W)} + \frac{|\dot{X}_S - W|}{g^* (\dot{X}_S - W)} \right)}; \quad \hat{t} = \frac{T}{\varepsilon}$$

și considerând \dot{X}_S ca o constantă se obține stratul limită al sistemului descriind dinamica rapidă în forma:

$$\frac{d\hat{Y}}{d\hat{t}} = -\frac{1}{2} \hat{Y} \left(\frac{|\dot{X}_S + W|}{g^* (\dot{X}_S + W)} + \frac{|\dot{X}_S - W|}{g^* (\dot{X}_S - W)} \right) \quad (2.22)$$

Se observă că la echilibru $\hat{Y} = 0$, problema stratului limită este asimptotic uniform stabilă pentru toate vitezele. Prin urmare sunt satisfăcute aproape oriunde, cu excepția cazului unde valoarea absolută a vitezei de alunecare este W); problema redusă dată de ecuațiile (2.19) – (2.21) descriu starea dinamică uniformă a lui X_S exact de ordinul lui ε .

Ca un exemplu numeric, graficul tipic al frecării efective în funcție de viteză este prezentat în figura 2.3 pentru următoarele valori ale parametrilor:

$$\sigma_0^* = 100, \quad \hat{\sigma}_1^* = 10, \quad \sigma_2^* = 0.004, \quad v_S^* = 0.1, \quad f_C = 1, \quad f_S = 1.5$$

Cum s-a arătat anterior, v_d^* descrie modelul disipativ al frecării prin controlul ratei de schimb al factorului de amortizare al asperităților cu viteza. Oricum nici o valoare experimentală a parametrului v_d^* nu se găsește în literatura de specialitate. Teoretic, se poate considera orice valoare care satisface următoarea condiție:

$$\sigma_1^*(v) < \frac{4g^*(v)}{|v|}$$

Se vor utiliza două valori ale lui v_d^* . În figura 2.3a v_d^* este de același ordin cu amplitudinea lui v_S^* și este cu un ordin mai mic în cazul figurii 2.3b. De notat că forma din figura 2.3b pentru valori mici ale lui v_d^* , se poate neglija atenuarea

efectivă a asperităților și obține o expresie simplificată a forței de frecare efectivă, astfel:

$$\langle \tilde{F} \rangle = \frac{2\dot{X}_s}{\left(\frac{|\dot{X}_s + W|}{g^*(\dot{X}_s + W)} + \frac{|\dot{X}_s - W|}{g^*(\dot{X}_s - W)} \right)} + \sigma_2^* \dot{X}_s \quad (2.23)$$

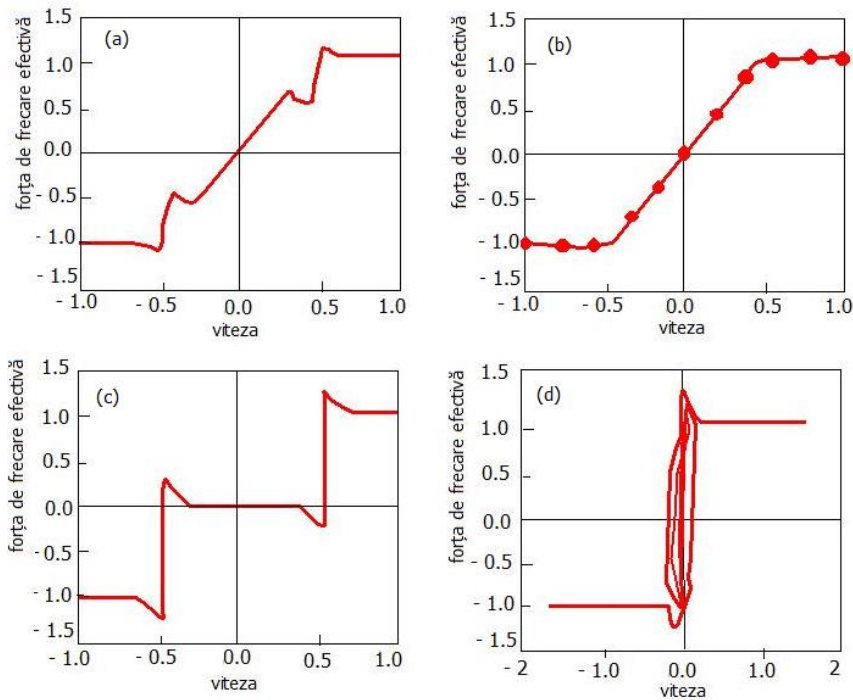


Fig.2.3 – Forța de frecare determinată analitică cu și fără excitație rapidă

- a) Modelul LuGre $v_d^* = 0.1$; b) modelul LuGre $v_d^* = 0.01$; c) modelul static al frecării;
d) modelul LuGre fără oscilații

Corespunzător, forța de frecare efectivă obținută din ecuația (2.23) este prezentată în figura 2.3b. Din figura 2.3a și 2.3b se observă că la viteza inferioară ($\ll W$) forța de frecare efectivă acționează aproape liniar cu forța vâscoasă de atenuare. În regiunea vitezei mari (superioare) caracteristicile frecării urmează caracteristicile atenuării vâscoase ale suprafeței lubrificate. Prin urmare se poate scrie:

$$\begin{aligned} \frac{d\langle \tilde{F} \rangle}{d\dot{X}_s} &= \frac{f_c + W\sigma_2^*}{W} \text{ oricare ar fi } |\dot{X}_s| \ll W, \\ \frac{d\langle \tilde{F} \rangle}{d\dot{X}_s} &\approx \sigma_2^* \text{ oricare ar fi } |\dot{X}_s| \gg W. \end{aligned} \quad (2.24)$$

Din ecuația de mai sus se poate deduce că viteza inferioară efectivă de frecare caracteristică este o funcție a nivelului Coulomb a forței de frecare, coeficientul de atenuare vâscoasă a suprafeței lubrificate și caracteristicile semnalului de superpoziție.

În cazul unei valori mari a lui v_d^* se poate observa în figura 2.3a o complexitate tranzițională în frecarea efectivă în funcție de caracteristicile vitezei în jurul vitezei semnalului de superpoziție W . Pe de altă parte se observă o primă zonă a pantei negative din graficul frecării în funcție de viteză, asociată cu efectul Stribeck, și o a doua zonă a pantei negativă. Această a doua zonă apare la viteză mult mai mică ca W , întrucât prima zonă a pantei negative apare la viteze mult mai mari ca W .

Este important de menționat diferența dintre caracteristicile frecării efective calculate pe baza modelului stării uniforme de frecare și modelul LuGre. În cazul modelului stării uniforme de frecare caracteristica frecării efective este:

$$\langle \tilde{F} \rangle = 0.5(g^*(\dot{X}_s + W) \operatorname{sgn}(\dot{X}_s + W) + g^*(\dot{X}_s - W) \operatorname{sgn}(\dot{X}_s - W)) + \sigma_2^* \dot{X}_s \quad (2.25)$$

Pentru comparație, în figura 2.3c este reprezentat grafic frecarea efectivă corespunzătoare în funcție de viteză. Din figura 2.3c se observă că panta forței de frecare efectivă calculată cu modelul stării uniforme este σ_2^* și deci independentă de caracteristica semnalului de superpoziție W . Când nu se utilizează lubrefianți adică $\sigma_2 = 0$, cea mai mică forță de frecare devine zero. Prin urmare se deduce că modelul stării uniforme de frecare subevaluează forța de frecare efectivă în comparație cu cea obținută în modelul LuGre.

Pentru verificarea acestor rezultate s-au realizat simulări numerice. Excitarea stării este modelată ca $1.7 \sin(0.5\tau)$ și semnalul de superpoziție suprapus peste viteza de alunecare ca o undă pătratică de amplitudine 0.5 și frecvență 1000 . Forța de frecare efectivă în funcție de caracteristicile vitezei sunt construite utilizând versiunea filtrată a vitezei și frecării. Filtrele analogice de mică trecere de ordinul opt și bandă de mică frecvență 500 sunt folosite pentru a elimina componentele de înaltă frecvență ale vitezei și semnalului de frecare.

Simularea numerică a caracteristicilor de frecare efective sunt prezentate în figurile 2.4a și 2.4b care demonstrează clar valabilitatea rezultatelor analitice prezentate în figurile 2.3a și 2.3b.

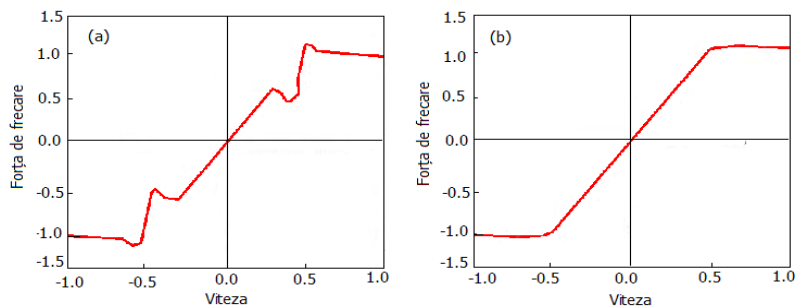


Fig.2.4 – Efectul caracteristic al frecării, prin simulare și analitic

a) $v_d^* = 0.1$; b) $v_d^* = 0.01$

Modelul 2 – semnalul sinusoidal de superpoziție

Analiza teoretică prezentată anterior a demonstrat că caracteristicile frecării efective de viteză mică este o funcție puternică de nivelul de frecare Coulomb, caracteristicile atenuării vâscoase a suprafeței lubrificate și caracteristicile semnalului de superpoziție.

Se consideră un model al frecării fără a ține seama de efectul Stribeck și amortizarea asperităților pentru a analiza efectul sinusoidal al semnalului de superpoziție pe caracteristicile frecării la viteză mică. În aceste circumstanțe ecuația de mișcare (2.12) devine:

$$\begin{aligned}\ddot{X} + \dot{X} + \tilde{F} &= \tilde{f}_s(\tau) + a\Omega_f^2 \sin(\Omega_f \tau) \\ \dot{Z} &= \dot{X} - \frac{\sigma_0^* |\dot{X}| Z}{f_c}\end{aligned}\quad (2.26)$$

unde forța de frecare \tilde{F} este:

$$\tilde{F} = \sigma_0^* Z + \sigma_2^* \dot{X}$$

În acord cu teoria metodei directe de partiționare a mișcării se scrie:

$$\begin{aligned}X(\tau) &= X_s(\tau) + \Omega_f^{-1} \varphi_1(\tau, T) \\ Z(\tau) &= Z_s(\tau) + \Omega_f^{-1} \varphi_2(\tau, T)\end{aligned}\quad (2.27)$$

unde

$$T = \Omega_f \tau$$

cu

$$\langle \varphi_{1,2} \rangle = \frac{1}{2\pi} \int_0^{2\pi} \varphi_{1,2}(\tau, T) dT = 0 \quad (2.28)$$

Cu considerații similare celor din cazul modelelor anterioare se obține medierea dinamică a sistemului. Astfel:

$$\begin{aligned}\ddot{X}_s + X_s + \sigma_0^* Z_s + \sigma_2^* \dot{X}_s &= \tilde{f}_s(\tau) \\ \dot{Z}_s &= \dot{X}_s - \frac{\sigma_0^* Z_s \langle |\dot{X}_s + \varphi_1' \rangle \rangle}{f_c}\end{aligned}\quad (2.29)$$

unde

$$\varphi_1' = -a\Omega_f \cos(\Omega_f \tau)$$

După calcularea mediei $\langle |\dot{X}_s + \varphi_1' \rangle \rangle$, ecuația (2.29) devine

$$\begin{aligned}\ddot{X}_s + X_s + \sigma_0^* Z_s + \sigma_2^* \dot{X}_s &= \tilde{f}_s(\tau) \\ \dot{Z}_s &= \dot{X}_s - \frac{\sigma_0^* Z_s}{f_c} [2a\Omega_f \sin(\theta_1) + \dot{X}_s(n - 2\theta_1)]\end{aligned}$$

cu

$$\theta_1 = \cos^{-1} \left(\frac{\dot{X}_s}{a\Omega_f} \right) \quad \text{când} \quad |\dot{X}_s| \leq a\Omega_f \quad (2.30a)$$

Și

$$\dot{Z}_s = \dot{X}_s - \frac{\sigma_0^* Z_s}{f_c} |\dot{X}_s| \quad \text{când} \quad |\dot{X}_s| > a\Omega_f \quad (2.30b)$$

Prin urmare se obțin caracteristicile frecării efective de forma:

$$\begin{aligned} \langle \tilde{F} \rangle &= \sigma_0^* Z_s + \sigma_2^* \dot{X}_s \\ &= \frac{nf_c \dot{X}_s}{2a\Omega_f \sin(\theta_1) + \dot{X}_s(n - 2\theta_1)} + \sigma_2^* \dot{X}_s, \quad \text{când} \quad |\dot{X}_s| \leq a\Omega_f \\ &= f_s \operatorname{sgn}(\dot{X}_s) + \sigma_2^* \dot{X}_s \quad \text{când} \quad |\dot{X}_s| > a\Omega_f \end{aligned} \quad (2.31)$$

Caracteristicile frecării efective sunt prezentate în următoarea figură:

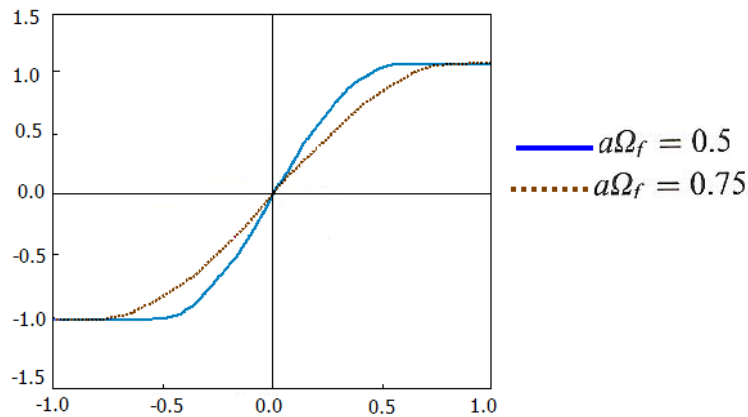


Fig. 2.5

Din această figură se observă că în apropierea regiunilor vitezelor foarte mici ($\ll a\Omega_f$) frecarea efectivă acționează aproximativ ca o atenuare vâscoasă liniară și panta vitezei liniare mici descrește cu creșterea forței rapide de excitație ($a\Omega_f$). Această viteză mică a frecării efective se poate scrie în forma:

$$\langle \tilde{F} \rangle = \frac{nf_c}{2a\Omega_f} \dot{X}_s + \sigma_2^* \dot{X}_s \quad \text{pentru} \quad |\dot{X}_s| \ll a\Omega_f \quad (2.32)$$

Pentru simularea numerică se consideră modelul de frecare cu efect Stribeck. Excitația lentă este modelată ca fiind $1.7 \sin(0.5\tau)$, iar excitația rapidă $1500 \sin(2000\tau)$.

Frecarea efectivă în funcție de caracteristicile vitezei este construită utilizând versiunile filtrate ale vitezei și frecării. Filtrele analogice de mică trecere sunt utilizate pentru eliminarea semnalelor de înaltă frecvență ale vitezei și frecării. Simularea numerică a caracteristicilor frecării efective sunt prezentate în figura următoare pentru două valori diferite ale lui v_d^* .

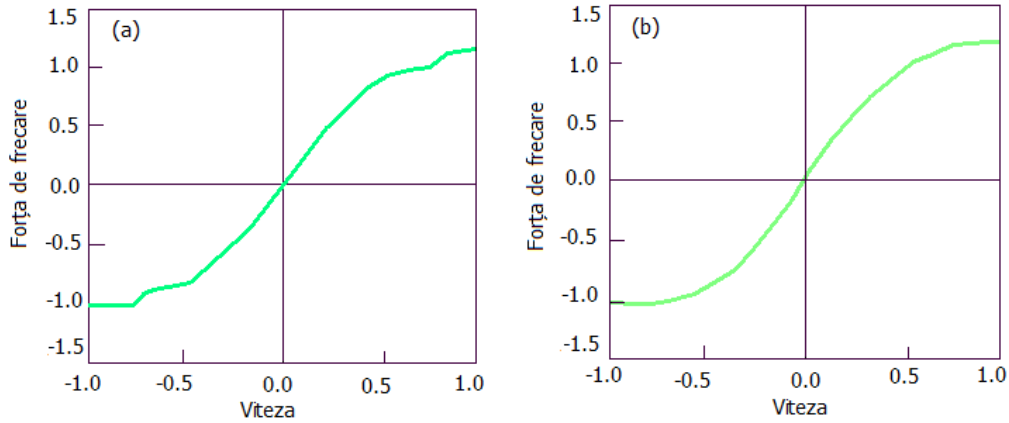


Fig.2.6

a) $v_d^* = 0.1$; b) $v_d^* = 0.01$

Din aceste figuri se observă că viteza mică de frecare efectivă se aseamănă cu caracteristicile liniare vâscoase date de ecuațiile (2.31) și (2.32).

Efectul vibrației rapide a instabilității „stick-slip”

Se va prezenta efectul excitației rapide a stabilității sistemului (stabilitatea stării de referință a sistemului) din figura 2.1

În acest sens, viteza de comandă este considerată constantă și ecuația de mișcare a sistemului este rescrisă în următoarea formă adimensională:

$$\dot{Z} = v - \frac{\sigma_0^* |v|}{g^*(v)} Z \quad (2.33)$$

$$\dot{e} = v_{ref} - v \quad (2.34)$$

$$\dot{v} = e - \tilde{F} + \tilde{f}_f(\tau, T_0) \quad (2.35)$$

unde

$$v = \dot{X} \quad \text{și} \quad v_{ref} = v_m^*$$

Sub acțiunea unui semnal de superpoziție (oscilație) media mișcării lente a sistemului este dată de următoarea ecuație adimensională de mișcare:

$$\dot{Z} = v - \frac{\sigma_0^*}{2} \left[\frac{|v+W|}{g^*(v+W)} + \frac{|v-W|}{g^*(v-W)} \right] Z = f_1(v, Z, e) \quad (2.36)$$

$$\dot{e} = v_{ref} - v = f_2(v, Z, e) \quad (2.37)$$

$$\begin{aligned} \dot{v} &= e - \sigma_0^* Z - \sigma_2^* v \\ &- \frac{1}{2} \left[\sigma_1^*(v+W) \left\{ (v+W) - \frac{\sigma_0^* |v+W|}{g^*(v+W)} Z \right\} + \sigma_1^*(v-W) \left\{ (v-W) - \frac{\sigma_0^* |v-W|}{g^*(v-W)} Z \right\} \right] \\ &= f_3(v, Z, e) \end{aligned} \quad (2.38)$$

Configurația de echilibru a sistemului este:

$$Z = Z_0 = \frac{2v_{ref}}{\sigma_0^* \left[\frac{|v+W|}{g^*(v+W)} + \frac{|v-W|}{g^*(v-W)} \right]}$$

$$e = e_0 = \sigma_0^* Z_0$$

$$v = v_0 = v_{ref} \quad (2.39)$$

Stabilitatea sistemului poate fi analizată prin calcularea numerelor caracteristice a următoarei matrice Jacobi:

$$J = \begin{bmatrix} \frac{\partial f_1}{\partial Z} & \frac{\partial f_1}{\partial e} & \frac{\partial f_1}{\partial v} \\ \frac{\partial f_2}{\partial Z} & \frac{\partial f_2}{\partial e} & \frac{\partial f_2}{\partial v} \\ \frac{\partial f_3}{\partial Z} & \frac{\partial f_3}{\partial e} & \frac{\partial f_3}{\partial v} \end{bmatrix}$$

la $Z = Z_0$, $e = e_0$ și $v = v_{ref}$. Sistemul este stabil când părțile reale ale tuturor numerelor caracteristice se întind în jumătatea stângă a planului complex. De exemplu, stabilitatea graficelor lui v_{ref} în funcție de W sunt prezentate mai jos.

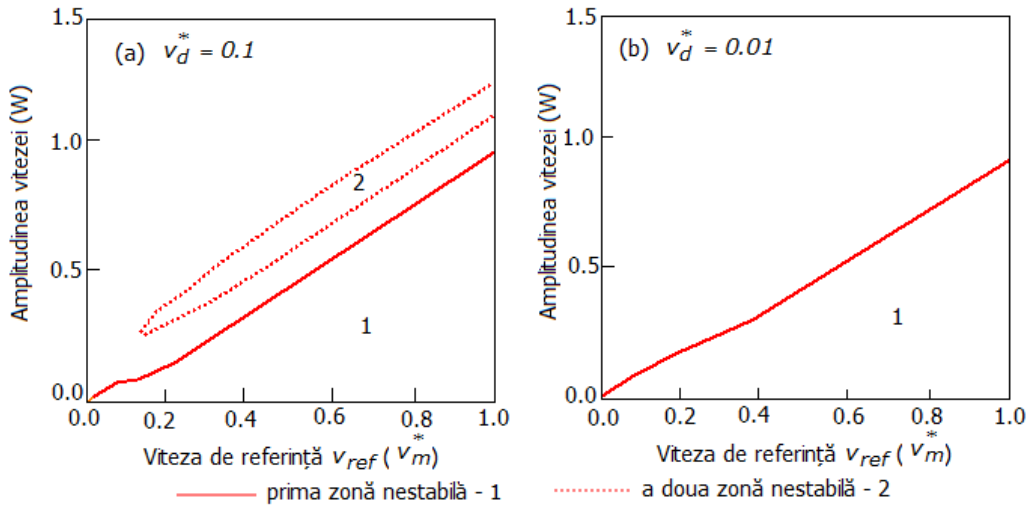


Fig.2.7 - Graficul stabilității în cazul excitației rapide

Stabilitatea este reprezentată doar în regiunea vitezei de referință pentru care sistemul nesupus semnalului este nestabil.

În prima figură a graficului de mai sus se pot observa două regiuni de instabilitate. Cea mai mare suprafață de instabilitate se extinde peste întregul domeniu al vitezei de referință. Regiunea mică de instabilitate este asociată cu a doua pantă negativă prezentată la caracteristicile frecării efective din figura 2.3a.

Așa cum se observă în figura 2.7b zona de instabilitate mică dispăre pentru valori mici ale lui v_d^* . Se poate concluziona că în general selectarea unei excitații rapide potrivite poate determina stabilizarea frecării – induce instabilitatea.

De menționat că în regiunea vitezei mici ca și a vitezei caracteristice v_s vibrația rapidă având amplitudinea vitezei W mult mai mare decât viteza de referință poate determina stabilitatea sistemului. Simularea numerică a modelului este prezentată grafic pentru diferite nivele ale vitezei semnalului de superpoziție W , și corespunzător histograma vitezei de alunecare sunt prezentate în figura 2.8a-f.

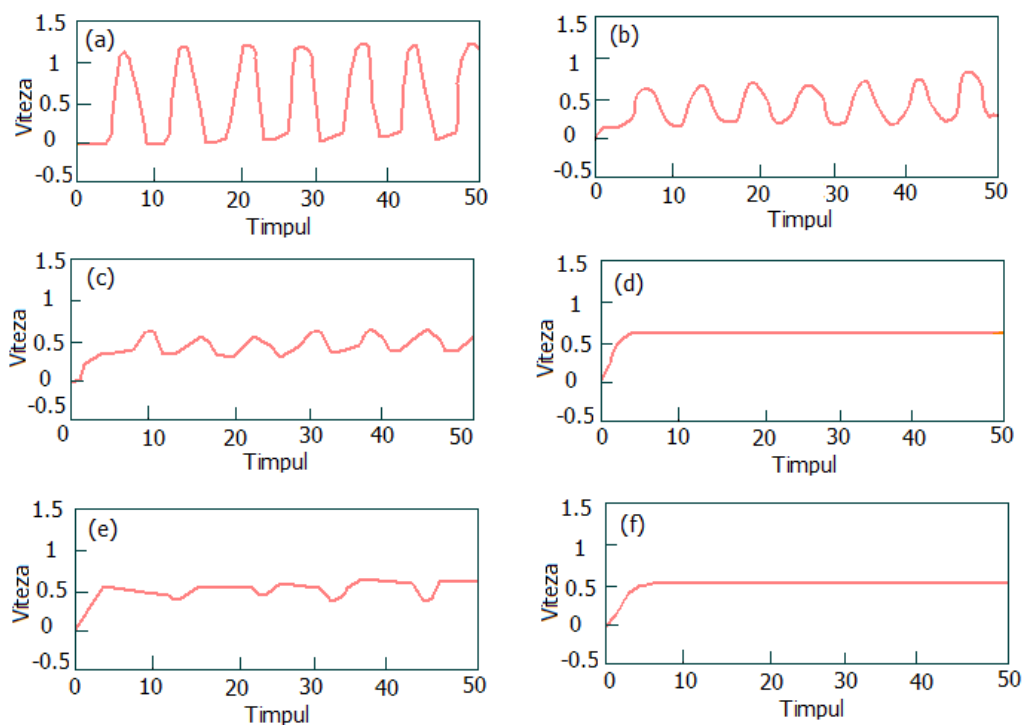


Fig.2.8 – Simularea numerică a vitezei pentru diferite valori ale amplitudinii vitezei semnalului de superpoziție cu $v_{ref} = 0.4$ și frecvența 1000

a) $W = 0$; b) $W = 0.2$; c) $W = 0.3$; d) $W = 0.4$; e) $W = 0.5$; f) $W = 0.6$

Din această figură se observă că viteza de autoîntreținere a oscilației poate fi ori amortizată ori redusă de semnalul de superpoziție de înaltă frecvență. După o alegere corectă pentru frecvența acestui semnal de superpoziție este posibilă amortizarea completă a oscilației.

Simularea numerică a efectului vibrației rapide pentru mișcarea „stick-slip”

Rezultatele analitice și numerice prezentate anterior au demonstrat că vibrațiile rapide stabilizează frecarea și induce instabilitatea de la panta negativă a caracteristicilor vitezei de frecare până la panta pozitivă a amortizării vâscoase.

Caracteristicile frecării efective sub acțiunea vibrațiilor rapide sunt calculate analitic. Se va considera o reprezentare slab generalizată a modelului frecării LuGre, cunoscut ca modelul elasto-plastic. Descris în ecuația (2.3), modelul elasto-plastic al frecării este diferit de modelul LuGre doar cu respectarea funcției $a(z, v)$, de aici înainte aceasta se va numi funcție elasto-plastică. Introducerea unei astfel de funcții face posibilă detectarea fazelor de mișcare ca: blocarea $a = 0$, prealunecarea $0 < a < 1$ și alunecarea $a = 1$. Vibrația rapidă acționează prin variația frecvenței înalte a vitezei relative la interfața de frecare. Astfel, fără a pierde generalitatea se poate înlocui termenul forța la frecvența înaltă în ecuația (2.11) prin variația vitezei la înaltă frecvență suprapusă peste viteza mică de alunecare.

Aceste considerații reduc în primul rând timpul de calcul și în al doilea rând controlul întreg al vitezei semnalului de superpoziție; este posibil ca prima variație să determine extinderea efectului. Simularea numerică se realizează pentru valorile parametrilor stabilite anterior și pentru:

$$v_m^* = 0.1; \tilde{f}_s = 1.7 \sin(0.3\tau); \lambda = \frac{z_{ba}}{z_{ss}} = 0.8$$

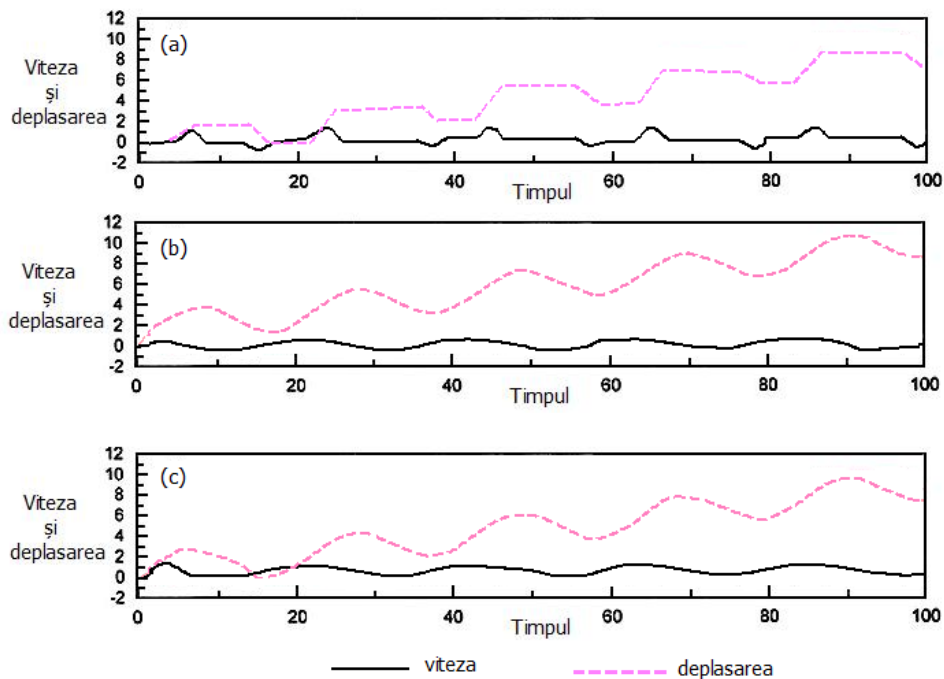


Fig. 2.9 – Deplasarea și viteza cu și fără excitație
a) fără semnal; b) cu semnal de amplitudine 1.5 și frecvență 100; c) cu semnal de amplitudine 2.5 și frecvență 100

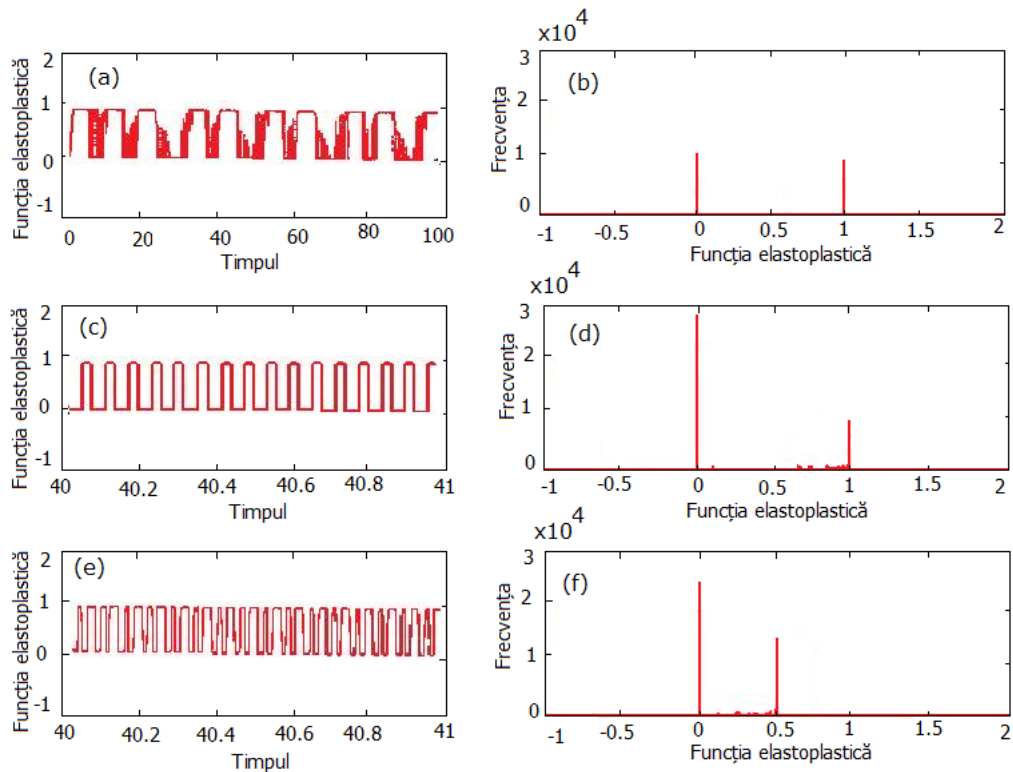


Fig. 2.10 – Evoluția în timp a funcției elastoplastice cu și fără excitație rapidă
 a),b) fără semnal; c),d) cu semnal de amplitudine 1.5 și frecvență 100; e) f) cu
 semnal de amplitudine 2.5 și frecvența 100

În figura 2.9(a)-(c) este prezentată deplasarea și viteza filtrată cu pas mic. Evoluția în timp a funcției $a(\cdot)$ și histograma valorilor eșantioanelor acesteia sunt redată în figura 2.10. Reprezentarea în timp a funcției elasto-plastice fără acțiunea semnalului de superpoziție este prezentată în figura 2.10a și demonstrează existența de lungă durată a blocării și forțelor de alunecare interpușe cu fazele de prealunecare.

Din histogramele prezentate în figura 2.10b se poate concluziona ca fazele de blocare și alunecare au părți aproape egale din pricina numărului total de eșantioane considerate. Din figura 2.10c și 2.10e se observă că sub acțiunea semnalului de superpoziție durata lungă „stick-slip” este înlocuită prin fazele de scurtă durată „stick-slip”. Histogramele corespunzătoare sunt trasate pentru eșantioane luate peste timpul de integrare(100). Din aceste figuri se observă că împărțirea relativă a timpului de alunecare crește cu puterea semnalului de superpoziție. Curbele frecării efective pentru diferite amplitudini ale vitezei semnalului de superpoziție cu o frecvență fixă de 100 sunt prezentate în figura 2.11.

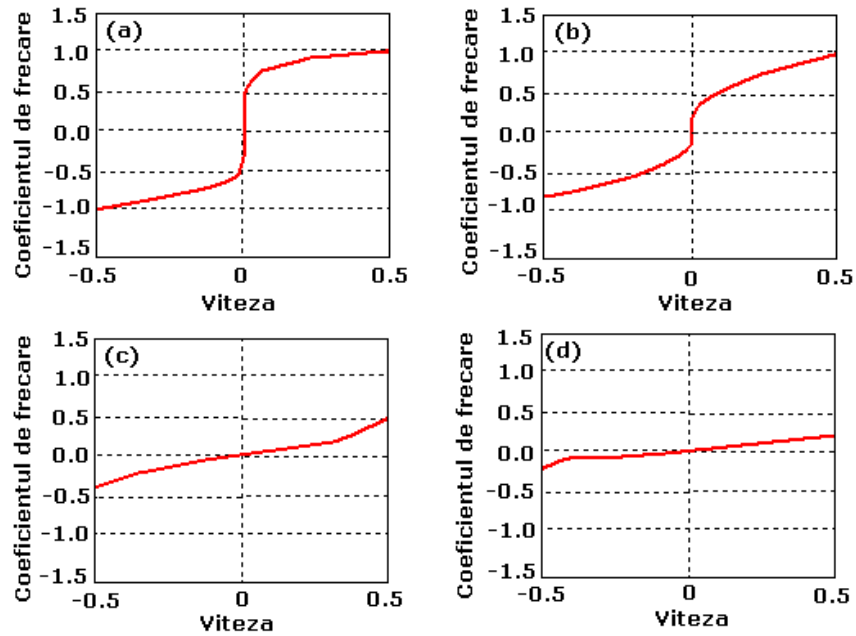


Fig. 2.11 – Simularea numerică a frecării efective $v_m^* = 0$
 a) viteza semnalului 0.5; b) viteza semnalului 0.8; c) viteza semnalului 1.5; d) viteza semnalului 2

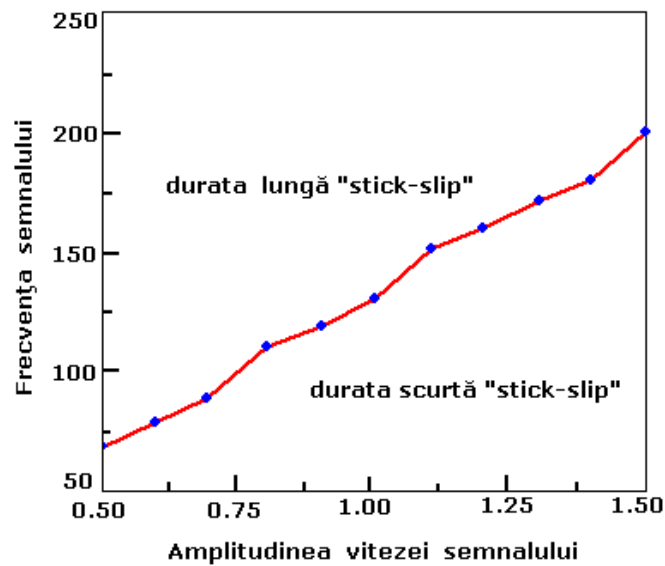


Fig. 2.12 – Zona "stick - slip" pentru sistemul cu oscilații cu model elasto - plastic

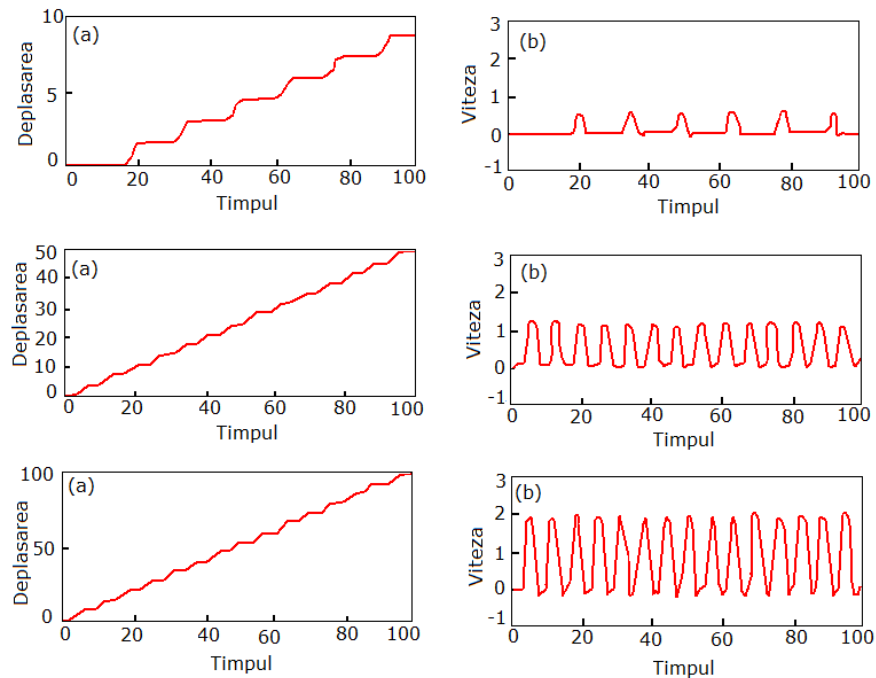


Fig. 2.13 – Deplasarea și viteza sistemului considerat fără excitație rapidă
 a),b) $v_m^* = 0.1$; c),d) $v_m^* = 0.5$; e),f) $v_m^* = 1$

Se observă linia verticală la viteza zero din graficul frecării efective (figura 2.11). Această indică existența de lungă durată a fazelor de blocare în timpul mișcării. Extensia liniei verticale de-a lungul axei de frecare reprezintă extensia forței de frecare în timpul blocării. Evident extensia forței descrește cu creșterea puterii semnalului de superpoziție.

Când puterea excitației rapide este suficient de puternică, fazele de blocare dispar și corespunzător curbele vitezei mici la frecarea efectivă seamănă cu caracteristicile amortizării vâscoase liniare așa cum se poate observa în figura 2.11c și 2.11d. Când amplitudinea semnalului de superpoziție este păstrată constantă și frecvența este modificată se observă că mișcarea „stick-slip” reapare de la o valoare critică a frecvenței semnalului de superpoziție care este o funcție de amplitudinea vitezei semnalului de superpoziție.

Figura 2.12 prezintă regiunea de lungă durată a mișcării „stick-slip” a amplitudinii semnalului de superpoziție în funcție de frecvență. Acest rezultat este în contrast cu ceea ce s-a constatat în cazul modelului LuGre. Trebuie însă reamintit că modelul LuGre nu captează în mod riguros fenomenul de blocare. Este interesant de înțeles mecanismul fizic de bază al acțiunii semnalului de superpoziție la reducerea vitezei mici-inferioare de frecare. În acest scop modelul este simulat pentru trei viteze de comandă diferite v_m^* și fără nici o excitație. Corespunzător evoluției în timp a vitezei și frecării sunt prezentate în figurile 2.13 și 2.14, fără, respectiv cu semnal de superpoziție.

Din figura 2.14 se poate observa că durata lungă „stick-slip” este suprapusă cu semnalul de superpoziție. În figura 2.15 fazele de lungă durată „stick-slip” sunt înlocuite prin faze de scurtă durată „stick-slip”. Deoarece, forța de frecare din timpul blocării depinde de durata alunecării, o reducere a forței de frecare se poate observa în sistemul cu semnal de superpoziție.

Histogramele eșantioanelor colectate ale funcțiilor elasto-plastice arată clar că durata totală relativă a fazei de blocare de scurtă durată crește cu viteza de comandă care este de asemenea viteza uniformă a stării de alunecare a sistemului cu semnal de superpoziție. Această tendință de creștere a forței frecării cu viteza de alunecare sunt prezentate în figurile 2.14a, d și f.

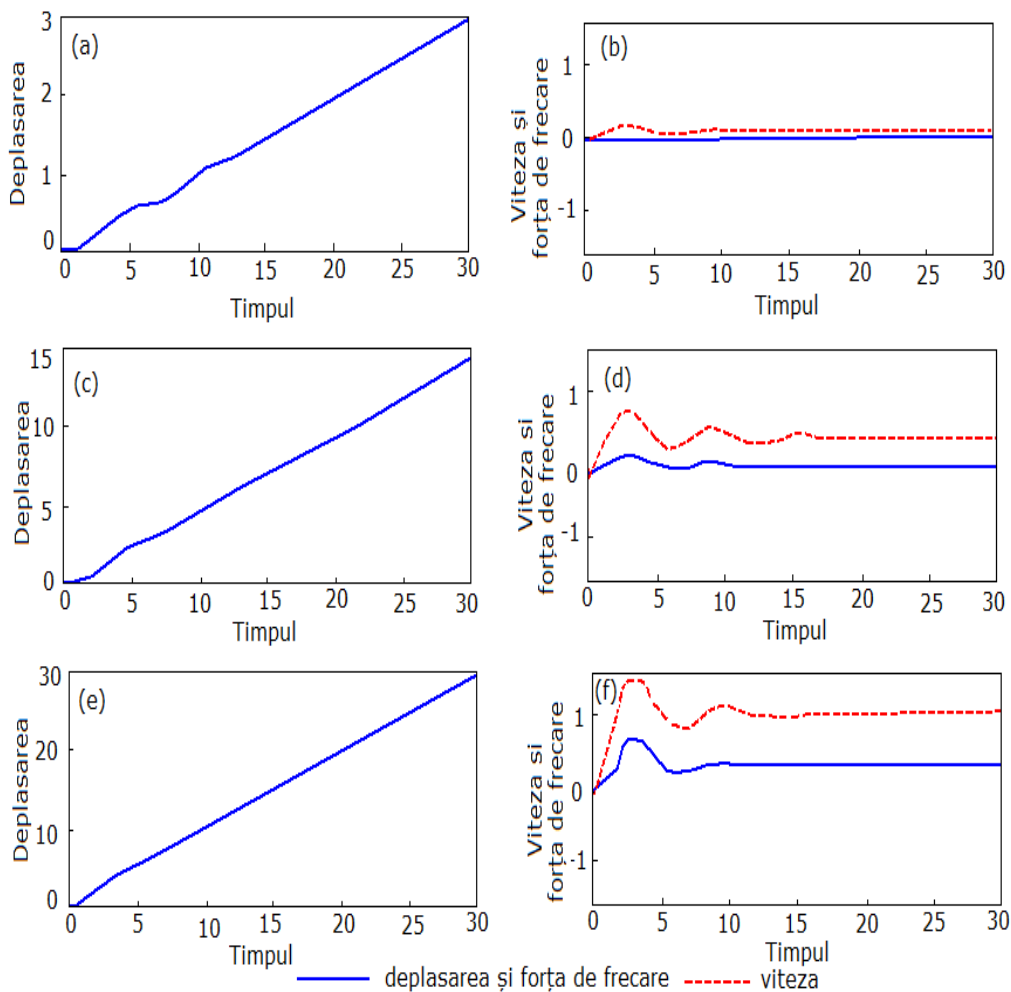


Fig.2.14 – Deplasarea și viteza sistemului cu excitație

a),b) $v_m^* = 0.1$; c),d) $v_m^* = 0.5$; e),f) $v_m^* = 1$

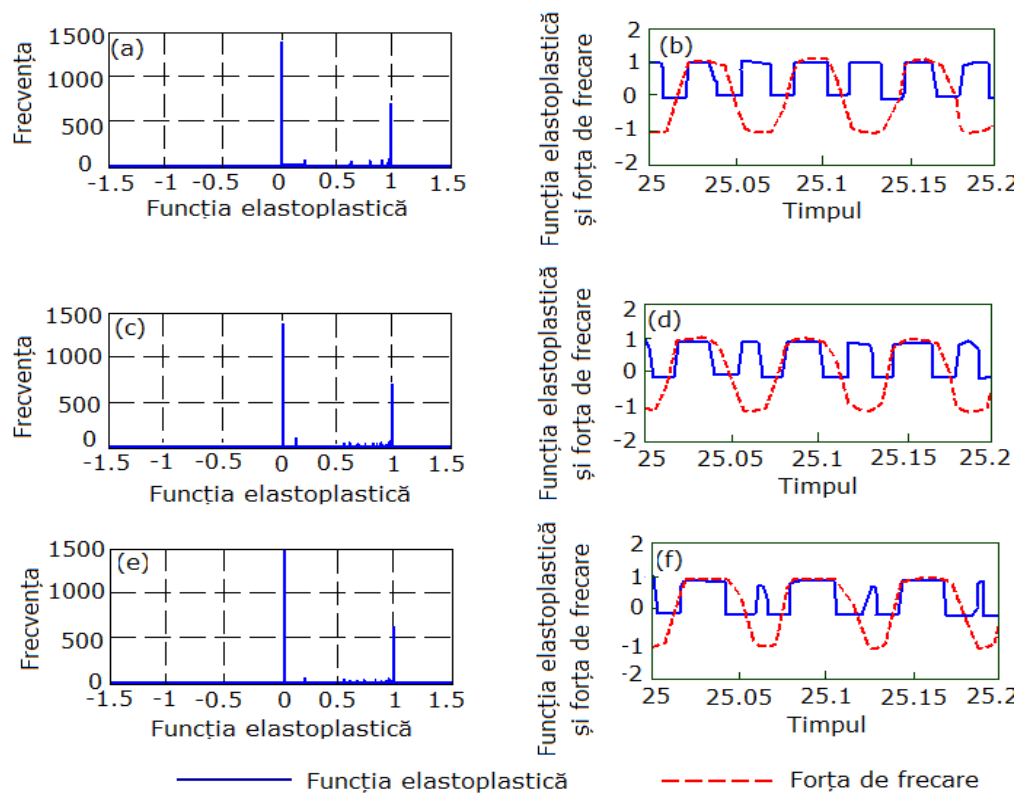


Fig. 2.15 – Histogramele funcției elastoplastice la frecvență înaltă și ale frecării în funcție de timp a sistemului cu excitație rapidă

a),b) $v_m^* = 0.1$; c),d) $v_m^* = 0.5$; e),f) $v_m^* = 1$

2.3 Contribuții personale. Concluzii.

- S-a studiat efectul vibrației rapide numite „dither” – semnal de superpoziție, pe o clasă de sisteme cu frecare. Interacțiunea gradelor de libertate microscopice și macroscopice au fost considerate în investigațiile analitice și numerice.
- Modelul LuGre, modelul elasto-plastic care este mai riguros, sunt considerate modele ale frecării. Din expresiile analitice sunt obținute două tipuri de semnale de superpoziție numite viteză de excitație de tip puls pătratic și forță de excitație sinusoidală.
- Caracteristicile frecării efective prezintă tendința asemănătoare caracteristicilor de amortizare liniar vâscoasă la viteză foarte mică. Caracteristicile vitezei inferioare a frecării efective depinde mai ales de forță

de frecare Coulomb și de caracteristicile semnalului de superpoziție. Viteza inferioară a forței de frecare descrește cu creșterea puterii excitației rapide. În plus, o alegere favorabilă a caracteristicilor semnalului de superpoziție poate completa sau șterge parțial panta negativă a caracteristicilor vitezei de frecare. Totuși e greșit menționat aici că fenomenul modificărilor netriviabile ale caracteristicilor vitezei inferioare de frecare la caracteristicile amortizării vâscoase datorate excitării rapide nu este ceva nou. Acest rezultat este cunoscut pentru câteva modele macroscopice ale frecării. Aici, însă s-a arătat foarte bine că acest rezultat se regăsește și atunci când sunt considerate modelele microscopice ale frecării. De asemenea s-a arătat că modelul frecării stării uniform cinetice subvaluează caracteristicile vitezei inferioare de frecare efectivă comparativ cu modelele dinamice ale frecării.

- Pentru câteva valori ale parametrilor asociate cu modelul amortizării asperităților se poate observa o a doua zonă a pantei negative în frecarea efectivă în funcție de caracteristicile vitezei alături de efectul Stribeck. Stabilitatea traiectoriei vitezei sistemului cu frecare a fost prezentat ținând seama de caracteristicile semnalului de superpoziție indus frecării efective.
- În graficul stabilității se observă două zone de instabilitate. Instabilitatea primei zone este asociată cu efectul Stribeck, în timp ce a doua zonă de instabilitate depinde de parametrii modelului amortizării asperităților. O alegere potrivită a excitației rapide poate fi făcută întotdeauna pentru acele sisteme care sunt stabile. S-a arătat că fazele lungi de blocare și alunecare sunt împărțite în faze de scurtă durată. Acest bilanț pentru reducerea forței de frecare s-a efectuat în cazul unui sistem cu semnal de superpoziție deoarece forța de blocare se reduce cu descreșterea timpului de blocare. Durata totală relativă a fazelor de blocare într-un timp scurt cresc cu viteza de comandă și aceasta se contabilizează pentru creșterea frecării cu viteza de alunecare.

3. EXISTENȚA ȘI UNICITATEA SOLUȚIILOR SISTEMELOR MECANICE. METODE DE APROXIMARE.

3.1 Metode de aproximare

Acest capitol este destinat aproximărilor și obținerii unui rezultat de existență a soluțiilor pentru problema P_U în cazul în care ciocnirea este plastică, $R = 0$, și forța exterioară se presupune integrabilă $F \in L^1([0, \hat{T}]; \mathbb{R}^n)$.

După discretizarea intervalului $[0, \hat{T}]$ se aplică algoritmul „NonSmooth Contact Dynamics” – NSCD, care este o adaptare a schemei implicite a lui Euler pentru problema considerată. Astfel se obțin valorile numerice care sunt interpolate pentru construirea unei aproximări în spațiul S a unei eventuale soluții a problemei P_U . [62]

Se consideră un șir de aproximări astfel construite pe intervale de timp din ce în ce mai mici pentru un eșantion după care ele verifică estimările uniforme permanent prin utilizarea unui rezultat de compactitate pentru extragerea unui subșir convergent. Se arată că la limită se obține o soluție a problemei P_U , rezultat obținut de Monteiro – Marques. [47]

Aproximarea soluției ecuației generale se face printr-o metodă numerică θ -Euler bazată pe o adaptare a schemei implicite Euler. Intervalul studiat $(0, T]$ este divizat în subintervale $(t_i, t_{i+1}]$; $i = 0, K-1$ de lungime h și $t_K = T$. Ecuațiile dinamicii mișcării particulei materiale sunt:

$$m[\dot{U}^+(t_{i+1}) - \dot{U}^+(t_i)] = \int_{t_i}^{t_{i+1}} F ds + \int_{(t_i, t_{i+1})} N - \int_{t_i}^{t_{i+1}} KU ds$$

$$U(t_{i+1}) = U(t_i) + \int_{t_i}^{t_{i+1}} \dot{U} ds$$

Deoarece derivata la dreapta este continuă rezultă:

$$m[\dot{U}(t_{i+1}) - \dot{U}(t_i)] = \int_{t_i}^{t_{i+1}} F ds + \int_{(t_i, t_{i+1})} N - \int_{t_i}^{t_{i+1}} KU ds \quad (3.1)$$

$$U(t_{i+1}) = U(t_i) + \int_{t_i}^{t_{i+1}} \dot{U} ds$$

în care integralele acestei relații sunt apoi aproximare.

Termenul în care apare reacțiunea este aproximat de valoarea medie a impulsului pe un interval de timp h . Intervalul de timp fiind mic integrala descrie forțele percutante instantanee. Se va nota atunci prin:

$$N^{i+1} = \frac{1}{h} \int_{(t_i, t_{i+1})} N$$

Metoda propusă presupune o aproximare a vitezei printr-o metodă de tip Euler implicit din care avem:

$$\int_{t_i}^{t_{i+1}} \dot{U} ds = hV^{i+1}$$

$$\int_{t_i}^{t_{i+1}} F ds = h[\theta F^{i+1} + (1-\theta)F^i]$$

$$\int_{t_i}^{t_{i+1}} KU ds = h[\theta KU^{i+1} + (1-\theta)KU^i]$$

unde exponentul i desemnează aproximarea la momentul t_i și θ este un parametru real cuprins între 0 și 1. Se alege valoarea $\theta = 0,5$ care dă rezultate bune aproximării realizată prin această metodă. Metoda θ -Euler permite în final scrierea relațiilor (3.1) în următoarea formă:

$$V^{i+1} = V^i + \frac{h}{2m} \left((F^{i+1} + F^i) - K(U^{i+1} + U^i) \right) + \frac{h}{m} N^{i+1} \quad (3.2)$$

$$U^{i+1} = U^i + hV^{i+1}$$

În timpul fazelor de mișcare fără contact, viteza la momentul t^{i+1} notată $(V^{i+1})^{liber}$ se exprimă astfel:

$$(V^{i+1})^{liber} = V^i + \frac{h}{2m} \left((F^{i+1} + F^i) - K(U^{i+1} + U^i) \right)$$

Legea frecării lui Coulomb pentru problema discretă devine:

$$|N_T^{i+1}| \leq \mu |N_N^{i+1}|; \begin{cases} \text{dacă } |N_T^{i+1}| < \mu |N_N^{i+1}| & \text{atunci } V_T^{i+1} = 0 \\ \text{dacă } |N_T^{i+1}| = \mu |N_N^{i+1}| & \text{atunci } \exists \lambda \geq 0 \Rightarrow N_T^{i+1} = -\lambda V_T^{i+1} \end{cases}$$

Considerând viteza ca singura necunoscută, se va introduce o lege de contact în viteze. Acest lucru se va face cu ajutorul propoziției 3.1. Funcția N este absolut continuă în raport cu valoarea sa absolută.

$$N = r|R| \text{ cu } r \in L^1([0, T, |N|; \mathbb{R}^n]) \quad (3.3)$$

și

$$|r(t)| = 1 \quad |N| - \text{aproape peste tot } \in [0, T] \quad (3.4)$$

unde s-a adoptat notația $|N| - \text{aproape peste tot } \in [0, T]$ pentru aproximativ toate valorile lui t din $[0, T]$.

Propoziția 3.1

Fie $F \in L^1([0, T]; \mathbb{R}^n)$, $N \in M([0, T]; \mathbb{R}^n)$ și $r \in L^1([0, T, |N|; \mathbb{R}^n])$ densitatea N raportată la $|N|$.

Prin echivalență:

$$\left. \begin{aligned} m\ddot{U} + KU &= F + N \\ U_N &= 0 \Rightarrow \dot{U}_N^+ = 0 \\ U_N \leq 0, N_N &\leq 0, U_N N_N = 0 \end{aligned} \right\} \quad (3.5)$$

$$\left. \begin{aligned} m\ddot{U} + KU &= F + N \\ U_N &\leq 0 \left\{ \begin{aligned} U_N(t) < 0 &\Rightarrow r_N(t) = 0 \\ |N| &\text{ aproape peste tot } \in [0, T] \\ U_N = 0 &\Rightarrow \dot{U}_N^+ \leq 0, r_N(t) \leq 0, \dot{U}_N^+(t)r_N(t) = 0 \end{aligned} \right. \end{aligned} \right\} \quad (3.6)$$

Demonstrație

Se presupune că \dot{U} verifică relația (3.5) și se arată că ea satisface relația (3.6). Condiția pentru deplasarea normală este satisfăcută. În plus, din (3.5) rezultă $U_N N_N = 0$. Aceasta implică $U_N r_N(t) |N| = 0$ și atunci $U_N r_N(t) = 0$ $|N|$ aproape peste tot aparține la $[0, T]$. Astfel, dacă $U_N(t) < 0$, $r(t) = 0$. Din legea ciocnirii dacă $U_N(t) = 0$ atunci $\dot{U}_N^+(t) = 0$. Ca o consecință, pe de o parte $\dot{U}_N^+ \leq 0$ și pe de altă parte $r_N \dot{U}_N^+ = 0$.

Reciproc, condiția pentru deplasarea normală este satisfăcută. Cum $N_N = r_N |N|$ condiția pentru reacțiunea normală este satisfăcută. Ca rezultat: $U_N N_N = U_N r_N |N|$ și $U_N r_N = 0$, $|N|$ aproape peste tot aparține la $[0, T]$. Fie t astfel încât $U_N(t) = 0$. Trebuie arătat că $\dot{U}_N^+ = 0$. Se presupune atunci că $\dot{U}_N^+ < 0$. Condiția pentru deplasarea normală și ecuația de mișcare arată că viteza \dot{U}_N^+ este discontinuă la momentul t . Astfel, $|N|(\{t\}) \neq 0$ și $r_N(t) < 0$. Aceasta contrazice $r_N \dot{U}_N^+ = 0$, $|N|$ aproape peste tot aparține la $[0, T]$ și deci $\dot{U}_N^+ = 0$ este demonstrată.

Propoziția 3.1 permite obținerea unei legi de contact în viteze pentru problema discretizată la momentul t_{i+1} :

$$\left. \begin{array}{l} \text{dacă } U_N^{i+1} \geq 0 \Rightarrow V_N^{i+1} \leq 0, N_N^{i+1} \leq 0, V_N^{i+1} N_N^{i+1} = 0 \\ \text{dacă } U_N^{i+1} < 0 \Rightarrow N_N^{i+1} = 0 \end{array} \right\} \quad (3.7)$$

Observăm că această formă discretizată dă o condiție de interpenetrabilitate care nu este cazul dat prin relația (3.6). Algoritmul este echivalent cu relația (3.5), fapt care face ca interpenetrabilitatea să fie slabă, adică numai în contact.

3.2 Principiul metodei contactului dinamic neneted (NSCD)

Metoda „NSCD” permite determinarea soluțiilor problemei dinamice în prezența constrângerilor unilaterale fără restricții particulare. O prezentăm pentru cazul unei probleme bidimensionale [62],[63]. Ecuația modificată a mișcării sistemului este:

$$V^{i+1} = V^i + \frac{h}{m} \left(\left(\theta F^{i+1} + (1-\theta) F^i \right) - \left(\theta K U^{i+1} + (1-\theta) K U^i \right) \right) + h N^{i+1}$$

$$U^{i+1} = U^i + h V^{i+1}$$

sub o formă echivalentă:

$$M V^{i+1} = F^{i+1} + h N^{i+1}$$

cu

$$M = mI + h^2 \theta K$$

$$F^{i+1} = m V^i - h K U^i + h \left[\theta F^{i+1} + (1-\theta) F^i \right]$$

h este intervalul de timp, θ este parametrul metodei Euler, $\theta \in [0,1]$. De amintit că $\theta = 0$ corespunde metodei explicite și $\theta = 1$ metodei implicite.

Această ultimă relație este o ecuație liniară în viteză:

$$V^{i+1} = \left(V^{i+1} \right)^{liber} + L N^{i+1}$$

cu

$$\left\{ \begin{array}{l} \left(V^{i+1} \right)^{liber} = M^{-1} F^{i+1} \\ L = h M^{-1} = \begin{pmatrix} L_{NN} & L_{NT} \\ L_{TN} & L_{TT} \end{pmatrix} \end{array} \right.$$

Pentru a determina soluția acestei metode se începe prin estimarea distanței de contact U_N^{i+1} . Se consideră ecuația mișcării în cazul în care restricțiile sunt nule.

Mărimea $\left(V^{i+1} \right)^{liber}$ reprezintă viteza masei materiale libere și estimarea acestei distanțe de contact este dată de relația:

$$U_N^{i+1} = U_N^i + h \left(\theta (V_N^{i+1})^{liber} + (1 - \theta) V_N^i \right) \quad (3.8)$$

Dacă această cantitate este negativă înseamnă că masa este în zbor liber. Astfel, la iterația $i + 1$ soluția (V^{i+1}, N^{i+1}) este determinată de relația de mai jos:

$$\begin{cases} V_N^{i+1} = (V_N^{i+1})^{liber} \\ V_T^{i+1} = (V_T^{i+1})^{liber} \\ N_N^{i+1} = 0 \\ N_T^{i+1} = 0 \end{cases} \quad (3.9)$$

Dacă mărimea (3.8) este pozitivă sau nulă, masa se află în contact. Patru situații sunt atunci posibile:

- i. masa zboară
- ii. masa alunecă în sens pozitiv
- iii. masa alunecă în sens negativ
- iv. masa este blocată.

Se presupune că valorile $(V_N^{i+1})^{liber}$ sunt negative. Masa zboară și soluția (V^{i+1}, N^{i+1}) este atunci determinată de:

$$\begin{cases} V_N^{i+1} = (V_N^{i+1})^{liber} \\ V_T^{i+1} = (V_T^{i+1})^{liber} \\ N_N^{i+1} = 0 \\ N_T^{i+1} = 0 \end{cases} \quad (3.10)$$

Se presupune că masa rămâne în contact. Atunci ne situăm în una din situațiile ii. – iv. Obținerea soluției (V^{i+1}, N^{i+1}) acestei probleme va exprima valoarea forței tangențiale în funcție de:

$$N_T^{i+1} = \frac{M_{2,2} V_T^{i+1} - F_T^{i+1}}{h} \quad (3.11)$$

care în plan reprezintă ecuația unei drepte notată prin D .

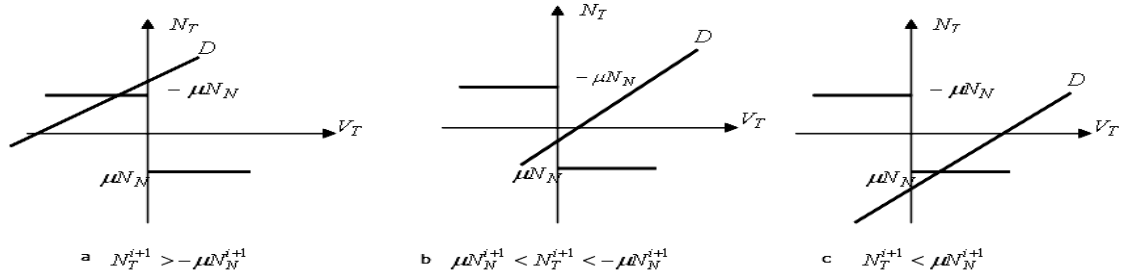


Fig.3.1 – Intersecția graficului lui Coulomb cu dreapta D
 a) alunecare negativă; b) contact blocat; c) alunecare pozitivă

Înainte de toate, se caută intersecția dreptei D cu graficul legii lui Coulomb pentru $N_T^{i+1} \geq -\mu N_N^{i+1}$. În acest caz $V_T^{i+1} \leq 0$ ceea ce înseamnă că masa alunecă în sens negativ. Distingerea diferitelor stări de contact revine la considerarea a trei posibilități de intersecție a dreptei D cu funcția scară a legii lui Coulomb. Se deduce atunci soluția (V^{i+1}, N^{i+1}) a problemei iterate cu iterația $i + 1$.

Condiția (3.11) exprimă reacțiunea tangențială ceea ce permite să se transforme în relații ale componentelor F^{i+1} exprimată prin:

$$F_T^{i+1} + \mu F_N^{i+1} \leq 0 \quad (3.12)$$

În consecință dacă masa alunecă în sens negativ soluția (V^{i+1}, N^{i+1}) este dată de:

$$\begin{cases} V_N^{i+1} = 0 \\ V_T^{i+1} = \frac{F_T^{i+1} + \mu F_N^{i+1}}{M_{2,2} + \mu M_{1,2}} \\ N_N^{i+1} = \frac{M_{1,2} V_T^{i+1} - F_N^{i+1}}{h} \\ N_T^{i+1} = -\mu N_N^{i+1} \end{cases} \quad (3.13)$$

Prezintă interes intersecția dreptei D cu graficul lui Coulomb în cazul în care $N_T^{i+1} \leq \mu N_N^{i+1}$. Viteza tangențială este pozitivă, prin urmare se poate spune că masa materială alunecă în sens pozitiv. Deoarece, condiția (3.11) descrie reacțiunea tangențială ceea ce permite să se transforme în relații ale componentelor F^{i+1} exprimată prin:

$$F_T^{i+1} - \mu F_N^{i+1} \geq 0 \quad (3.14)$$

Se determină atunci soluția (V^{i+1}, N^{i+1}) a problemei pentru alunecarea pozitivă:

$$\begin{cases} V_N^{i+1} = 0 \\ V_T^{i+1} = \frac{F_T^{i+1} - \mu F_N^{i+1}}{M_{2,2} - \mu M_{1,2}} \\ N_N^{i+1} = \frac{M_{1,2} V_T^{i+1} - F_N^{i+1}}{h} \\ N_T^{i+1} = \mu N_N^{i+1} \end{cases} \quad (3.15)$$

Dacă nici una din relațiile (3.12) și (3.14) nu sunt satisfăcute situația corespunde unei mase materiale aflată în contact blocat. Soluția (V^{i+1}, N^{i+1}) este dată de relațiile următoare:

$$\begin{cases} V_N^{i+1} = 0 \\ V_T^{i+1} = 0 \\ N_N^{i+1} = -\frac{F_T^{i+1}}{h} \\ N_T^{i+1} = -\frac{F_T^{i+1}}{h} \end{cases} \quad (3.16)$$

În final se deduce deplasarea din relația:

$$U^{i+1} = U^i + hV^{i+1}$$

3.3 Algoritm de studiu[62]

Prezentăm mai jos schema logică a algoritmului pe care îl utilizăm:

La timpul $(i+1)$ se face:

Estimarea distanței de contact U_N^{i+1}

dacă $U_N^{i+1} < 0$ masa este în zbor liber, soluția (V^{i+1}, N^{i+1}) este dată de relațiile

(3.9)

dacă nu

dacă $(V_N^{i+1})^{liber} < 0$ masa zboară, soluția (V^{i+1}, N^{i+1}) este dată de

relațiile (3.10)

dacă nu

dacă $F_T^{i+1} - \mu F_N^{i+1} \geq 0$ masa alunecă în sens pozitiv,

soluția (V^{i+1}, N^{i+1}) este dată de relațiile (3.13)

dacă nu

dacă $F_T^{i+1} + \mu F_N^{i+1} \leq 0$, masa alunecă în sens negativ

soluția (V^{i+1}, N^{i+1}) este dată de relațiile (3.15)

dacă nu masa este în contact blocat

soluția (V^{i+1}, N^{i+1}) este dată de relațiile (3.16)

sfârșit dacă

sfârșit dacă

sfârșit dacă

sfârșit dacă

actualizarea deplasării $U^{i+1} = U^i + hV^{i+1}$

sfârșit calcul.

Studiul șirului de aproximații

Fie K o mărime strict pozitivă. Notăm prin:

$$h = \frac{T}{K}$$

Se definește o aproximație a lui F printr-o funcție scară F_K astfel:

$$F_K(t) = F_K^i, \forall t \in [ih, (i+1)h[\text{ unde } F_K^i (i \in \{0, 1, \dots, K-1\}) \text{ sunt definite astfel}$$

încât $\|F - F_K\|_{L^1}$ tinde spre zero atunci când K tinde spre infinit.

Algoritmul descris anterior furnizează, un șir de valori de aproximare $U_K^i (i \in \{0, 1, \dots, K-1\})$ ale deplasării U la momentul ih .

Se definește soluția aproximativă $U_K \in S([0, T]; \mathbb{R}^n)$ obținută prin interpolarea liniară a acestor valori, astfel putem exprima:

$$U_K(t) = \left(\frac{U_K^{i+1} - U_K^i}{h} \right) (t - ih) + U_K^i, \quad t \in [ih, (i+1)h)$$

Viteza \dot{U}_K^+ este o funcție treaptă definită prin:

$$\dot{U}_K^+(t) = \frac{U_K^{i+1} - U_K^i}{h} = V_K^i \quad t \in [ih, (i+1)h) \text{ și accelerația se reduce la o sumă}$$

finită de funcții Dirac:

$$\ddot{U}_K = \sum_{i=1}^{K-1} [\dot{U}_K^+(ih) - \dot{U}_K^-(ih)] \delta_{ih} = \sum_{i=1}^{K-1} [V_K^i - V_K^{i-1}] \delta_{ih}.$$

Se va arăta în continuare că viteza este o funcție mărginită pe intervalul $[0, T]$.

Lema 3.1

$\forall K \geq 1$ pentru $j = 0, 1, \dots, K-1$ avem:

$$m \|\dot{V}_K^{j+1}\|^2 - m \|\dot{V}_K^j\|^2 + (KU_K^{j+1}, U_K^{j+1}) - (KU_K^j, U_K^j) \leq h(F_K^{j+1} + F_K^j, V_K^{j+1}) \quad (3.17)$$

Demonstrație:

Se realizează produsul scalar dintre ecuația dinamică discretizată (3.2) și mărimea V_K^{j+1} .

Rezultă:

$$\begin{aligned} \left(V_K^{j+1}, m(V_K^{j+1} - V_K^j) \right) &= \left(V_K^{j+1}, hN_K^{j+1} - \frac{h}{2}K(U_K^{j+1} + U_K^j) + \frac{h}{2}F_K^{j+1}F_K^j \right), \\ &= h(V_K^{j+1}, N_K^{j+1}) + \frac{h}{2}(V_K^{j+1}, F_K^{j+1} + F_K^j - K(U_K^{j+1} + U_K^j)), \\ &\leq \frac{h}{2}(V_K^{j+1}, F_K^{j+1} + F_K^j - K(U_K^{j+1} + U_K^j)) \end{aligned}$$

Prin urmare oricare ar fi statutul masei materiale la momentul $(j+1)h$ mărimea (V_K^{j+1}, N_K^{j+1}) este negativă. Se vor examina următoarele cazuri:

- masa materială este în mișcare fără contact: $N_K^{j+1} = 0$ unde $(V_K^{j+1}, N_K^{j+1}) = 0$
- masa materială se află în contact fără frecare: $N_K^{j+1} = 0$ unde $(V_K^{j+1}, N_K^{j+1}) = 0$
- masa materială se află în contact blocat: $V_K^{j+1} = 0$ unde $(V_K^{j+1}, N_K^{j+1}) = 0$
- masa alunecă: $V_{KN}^{j+1} = 0$ și $V_{KT}^{j+1} = -\lambda N_{KT}^{j+1}$ unde $(V_K^{j+1}, N_K^{j+1}) = -\lambda(N_{KT}^{j+1}, N_{KT}^{j+1}) < 0$

În consecință oricare este statutul particulei la momentul $(j+1)h$, $(V_K^{j+1}, N_K^{j+1}) \leq 0$. În plus:

$$\begin{aligned} \frac{h}{2}(V_K^{j+1}, F_K^{j+1} + F_K^j - K(U_K^{j+1} + U_K^j)) &= \frac{1}{2}(U_K^{j+1} - U_K^j, F_K^{j+1} + F_K^j - K(U_K^{j+1} + U_K^j)), \\ &= \frac{1}{2}\left\{ (F_K^{j+1} + F_K^j, U_K^{j+1} - U_K^j) - (KU_K^{j+1}, U_K^{j+1}) + (KU_K^{j+1}, U_K^j) \right. \\ &\quad \left. - (KU_K^j, U_K^{j+1}) + (KU_K^j, U_K^j) \right\}, \\ &= \frac{1}{2}\left\{ (F_K^{j+1} + F_K^j, U_K^{j+1} - U_K^j) - (KU_K^{j+1}, U_K^{j+1}) + (KU_K^j, U_K^j) \right\}, \\ &= \frac{h}{2}(F_K^{j+1} + F_K^j, V_K^{j+1}) - \frac{1}{2}\left\{ (KU_K^{j+1}, U_K^{j+1}) - (KU_K^j, U_K^j) \right\}. \end{aligned}$$

Rezultă inegalitatea:

$$\left(V_K^{j+1}, m(V_K^{j+1} - V_K^j) \right) \leq \frac{h}{2} (F_K^{j+1} + F_K^j, V_K^{j+1}) - \frac{1}{2} \left\{ (KU_K^{j+1}, U_K^{j+1}) - (KU_K^j, U_K^j) \right\} \quad (3.18)$$

sau pentru orice $j = 0, 1, \dots, K-1$ avem:

$$\begin{aligned} \left(m(V_K^{j+1} - V_K^j), V_K^{j+1} \right) &= \frac{1}{2} \left((V_K^{j+1} + V_K^j) + (V_K^{j+1} - V_K^j), m(V_K^{j+1} - V_K^j) \right), \\ &= \frac{1}{2} \left((V_K^{j+1} + V_K^j), m(V_K^{j+1} - V_K^j) \right) + \frac{1}{2} \left((V_K^{j+1} - V_K^j), m(V_K^{j+1} - V_K^j) \right), \\ &= \frac{1}{2} (mV_K^{j+1}, V_K^{j+1}) - \frac{1}{2} (mV_K^j, V_K^j) + \frac{1}{2} \left((V_K^{j+1} - V_K^j), m(V_K^{j+1} - V_K^j) \right), \\ &\geq \frac{1}{2} (mV_K^{j+1}, V_K^{j+1}) - \frac{1}{2} (mV_K^j, V_K^j), \\ &\geq \frac{m}{2} \|V_K^{j+1}\|^2 - \frac{m}{2} \|V_K^j\|^2. \end{aligned} \quad (3.19)$$

Prin adunarea relațiilor (3.18) și (3.19) se obține inegalitatea (3.17).

Lema 3.2

Fie $(\dot{U}_K^+)_{K \geq 1}$ șirul de aproximare a vitezelor.

Atunci există un $M > 0$, și pentru orice $t \in [0, T]$, avem $\|\dot{U}_K^+(t)\| < M$, unde M este o constantă reală care nu depinde de K .

Demonstrație

Se va demonstra că: $\forall K, \forall i \in \{0, 1, \dots, K-1\}, \|V_K^i\| < M$. Inegalitatea de disipare (3.17) obținută din lema precedentă permite următoarea relație pentru toate $j = 0, 1, \dots, K-1$:

$$\begin{aligned} \left(\beta_K^{j+1} \right)^2 - \left(\beta_K^j \right)^2 &\leq h \|F_K^{j+1} + F_K^j\| \|V_K^{j+1}\| \quad \text{unde } \beta_K^j \text{ e definit prin:} \\ \beta_K^j &= \sqrt{m \|V_K^j\|^2 + (KU_K^j, U_K^j)} \end{aligned}$$

satisface:

$$\beta_K^j \geq \sqrt{m} \|V_K^j\| \quad (3.20)$$

Rezultă:

$$\forall j \in \{0, 1, \dots, K-1\}, \left(\beta_K^{j+1} \right)^2 - \left(\beta_K^j \right)^2 - \frac{h}{\sqrt{m}} \|F_K^{j+1} + F_K^j\| \beta_K^{j+1} \leq 0 \quad (3.21)$$

Se consideră în cele ce urmează că inegalitatea (3.21) admite pe β_K^{j+1} ca necunoscut și se determină valorile lui β_K^{j+1} pentru care această relație este satisfăcută. Discriminantul primului termen este:

$$\Delta = \left(\beta_K^j \right)^2 + \frac{h^2}{4m} \|F_K^{j+1} + F_K^j\|^2 \geq 0 \text{ și rădăcinile primului termen sunt:}$$

$$\left(\beta_K^{j+1}\right)^{\pm} = \frac{h}{2\sqrt{m}} \|F_K^{j+1} + F_K^j\| \pm \sqrt{\left(\beta_K^j\right)^2 + \frac{h^2}{4m} \|F_K^{j+1} + F_K^j\|^2}.$$

Astfel rezultă:

$$\begin{aligned} \beta_K^{j+1} - \beta_K^j &\leq \left(\beta_K^{j+1}\right)^+ - \beta_K^j = \frac{h}{2\sqrt{m}} \|F_K^{j+1} + F_K^j\| + \sqrt{\left(\beta_K^j\right)^2 + \frac{h^2}{4m} \|F_K^{j+1} + F_K^j\|^2} - \beta_K^j \\ &\leq \frac{h}{2\sqrt{m}} \|F_K^{j+1} + F_K^j\| + \beta_K^j + \frac{h}{2\sqrt{m}} \|F_K^{j+1} + F_K^j\| - \beta_K^j \\ &\leq \frac{h}{\sqrt{m}} \|F_K^{j+1} + F_K^j\| \end{aligned} \quad (3.22)$$

Prin însumarea relației de mai sus de la $j = 0$ la i obținem:

$$\begin{aligned} \beta_K^{i+1} &\leq \beta_K^0 + \frac{h}{\sqrt{m}} \sum_{j=0}^i \|F_K^{j+1} + F_K^j\|, \\ &\leq \beta_K^0 + \frac{2}{\sqrt{m}} \|F_K\|_{L^1([0, \hat{t}]; \mathbb{R}^n)} \end{aligned}$$

care dă rezultatul dorit.

Se notează prin $\text{var}(f, [a, b])$ variația definită astfel $\left\{ \sup_{i=0}^{n-1} \|f(t_{i+1}) - f(t_i)\| \right\}$

pentru orice partiție finită $a = t_0, \dots, t_n = b$.

Lema 3.3

Fie $(\dot{U}_K^+)_{K \geq 1}$ șirul de aproximații ale vitezelor. Atunci $\text{var}(\dot{U}_K^+; [0, T]) < M'$ unde M' este o constantă reală pozitivă care nu depinde de K .

Demonstrație

Pentru a arăta că variația șirului de aproximare în viteză este mărginită independent de K este suficient de arătat că există două constante C_N și C_T reale, pozitive care nu depind de K și pentru care:

$$\sum_{i=0}^{K-1} |V_{KN}^{i+1} - V_{KN}^i| < C_N \quad (3.23)$$

și

$$\sum_{i=0}^{K-1} |V_{KT}^{i+1} - V_{KT}^i| < C_T \quad (3.24)$$

Se consideră componentele normale ale ecuației dinamice discretizate:

$$m(V_{KN}^{i+1} - V_{KN}^i) = hN^{i+1} + \frac{h}{2} \left\{ (F_{KN}^{i+1} + F_{KN}^i) - \left[\frac{G_N^i}{KN(U_{KN}^{i+1} + U_{KN}^i) + W(U_{KT}^{i+1} + U_{KT}^i)} \right] \right\} \quad (3.25)$$

Astfel, $\forall i = 0, \dots, K-1$, $|V_{KN}^{i+1} - V_{KN}^i| < \frac{h}{m} |N_{KN}^{i+1}| + \frac{h}{2m} \{|F_{KN}^{i+1} + F_{KN}^i| + |G_N^i|\}$. Deoarece masa este în contact la momentul $(i+1)h$, reacțiunea N_K^{i+1} nu este nulă și viteza normală V_N^{i+1} este nulă. La momentul ih masa materială poate fie să zboare și atunci $V_N^i > 0$ fie rămâne în contact și atunci $V_N^i = 0$, dar în toate situațiile reacțiunea normală este:

$$|hN_{KN}^{i+1}| \leq \frac{h}{2} \{|F_{KN}^{i+1} + F_{KN}^i| + |G_N^i|\} \text{ unde m\u0103rimea } G_N^i \text{ a fost definit\u0103 prin}$$

termenul corespondent al celui de-al doilea membru al rela\u021biei (3.25). Rezult\u0103:

$$\forall i = 0, \dots, K-1$$

$$|V_{KN}^{i+1} - V_{KN}^i| \leq \frac{h}{m} \{|F_{KN}^{i+1} + F_{KN}^i| + |G_N^i|\}$$

Astfel,

$$\sum_{i=0}^{K-1} |V_{KN}^{i+1} - V_{KN}^i| \leq \frac{2}{m} \|F_K\|_{L^1([0,T]; \mathbb{R}^n)} + \frac{h}{m} \sum_{i=0}^{K-1} |G_N^i|$$

sau

$$\begin{aligned} \frac{h}{m} \sum_{i=0}^{K-1} |G_N^i| &= \frac{h}{m} \sum_{i=0}^{K-1} \left\{ |K_N| \left[2|U_{KN}(0)| + h \sum_{j=1}^{i+1} |V_{KN}^j| + h \sum_{j=1}^i |V_{KN}^j| \right] + \|W\| \left[2|U_{KT}(0)| + h \sum_{j=1}^{i+1} \|V_{KT}^j\| + \sum_{j=1}^i \|V_{KT}^j\| \right] \right\}, \\ &\leq \frac{h}{m} \sum_{i=0}^{K-1} \{ |K_N| [2|U_{KN}(0)| + h(i+1)M + hiM] + \|W\| [2|U_{KT}(0)| + h(i+1)M + hiM] \}, \\ &\leq \frac{2h}{m} \sum_{i=0}^{K-1} \{ (|K_N| \|U_{KN}(0)\| + \|W\| \|U_{KT}(0)\|) + TM(|K_N| + \|W\|) \}, \\ &\leq \frac{2}{m} \{ (|K_N| \|U_{KN}(0)\| + \|W\| \|U_{KT}(0)\|) + (|K_N| + \|W\|) MT \} T, \\ &\leq \frac{2}{m} \underbrace{ \{ (|K_N| \|U_{0N}\| + \|W\| \|U_{0T}\|) + (|K_N| + \|W\|) MT \} }_{C_N}. \end{aligned}$$

\u00c2n final ob\u021binem:

$$\sum_{i=0}^{K-1} |V_{KN}^{i+1} - V_{KN}^i| \leq \frac{2}{m} \|F_K\|_{L^1([0,T]; \mathbb{R}^n)} + C_N$$

Un ra\u0219ionament similar permite stabilirea rela\u021biei:

$$\sum_{i=0}^{K-1} |V_{KT}^{i+1} - V_{KT}^i| \leq \frac{2}{m} \|F_K\|_{L^1([0,T]; \mathbb{R}^n)} + C_T, \text{ cu}$$

$$C_T = \frac{2}{m} \{ (\|W\| \|U_{0N}\| + \|K_T\| \|U_{0T}\|) + (\|K_T\| + \|W\|) MT \} T.$$

Aceasta demonstrează că variația vitezei de aproximare \dot{U}_K^+ este mărginită pe intervalul $[0, T]$, independent de K .

Concluzii:

- Am realizat o schemă de discretizare în viteze privind contactul cu frecare a unei particule materiale din \mathfrak{R}^2 .
- Am arătat că variația vitezei de aproximare este mărginită pe un interval.

3.4 Rezultate privind unicitatea

Schatzaman[66] a obținut un rezultat privind existența soluției pentru un sistem dinamic discret cu constrângeri unilaterale fără frecare.

Ea a extins rezultatele din lucrarea [66] la cazul în care forța exterioară este o funcție analitică de timp și care acționează asupra unui punct material.

În cele ce urmează dăm o tehnică de obținere a unicității soluției în cazul când punctul material e în contact cu frecare Coulomb, în situația în care forța exterioară este o funcție analitică.

Pentru cazul în care punctul material se deplasează pe o semidreaptă și se va ciocni de un perete rigid se arată existența și unicitatea soluției prin metoda „NSCD”.

Exemplu de unicitate pentru un sistem cu un grad de libertate

Se consideră un sistem mecanic cu un grad de libertate format dintr-o masă constrânsă să se miște în lungul unei semidreapte orizontale, masa fiind obligată să lovească prin șoc mecanic un perete vertical rigid.

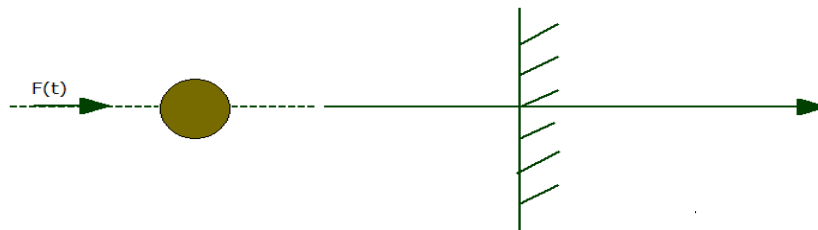


Fig. 3.2 – particula care se deplasează de-a lungul unei drepte

S-a notat cu $F(t)$ forța exterioară aplicată punctului material, în contact cu obstacolul la momentul inițial; problema devine:

P_1 : Să se determine $U \in S([0, T]; \mathfrak{R})$ și $N \in S([0, T]; \mathfrak{R})$ astfel că:

$$U(0) = 0, \quad \dot{U}^+(0) = 0$$

$$\ddot{U} = F + N$$

$$U \leq 0, \quad N \leq 0, \quad UN = 0$$

$$U(t) = 0 \Rightarrow \dot{U}^+(t) = -R\dot{U}^-(t); \text{ unde } R \in [0, 1] \text{ este coeficientul de restituire.}$$

Se consideră cazul în care forța externă F se presupune de clasă C^∞ și pozitivă. Se verifică că problema P_1 admite soluția nulă:

$$U \equiv 0$$

$$N(t) = - \int_0^t \int_0^s F(\sigma) d\sigma ds$$

ce corespunde stării de echilibru a punctului material. Obiectivul urmărit este construirea unui caz particular de funcție F pozitivă și de clasă C^∞ pentru care problema P_1 admite o altă soluție decât soluția banală. Această construcție este prezentată în [66] și fie $\zeta : \mathbb{R} \rightarrow \mathbb{R}$ funcția definită prin:

$$\zeta = \begin{cases} 0 & \text{pentru } t \in (-\infty, 0] \cup [1, +\infty) \\ e^{\frac{1}{t(t-1)} \left(\int_0^1 e^{\frac{1}{t(t-1)}} dt \right)^{-1}} & \text{pentru } t \in (0, 1) \end{cases} \quad (3.26)$$

Această funcție verifică următoarele proprietăți:

- $\zeta \in C^\infty(\mathbb{R}, \mathbb{R}^+)$
- $\sup \zeta = [0, 1]$
- $\int_0^1 \zeta(s) ds = 1, \int_0^1 s \zeta(s) ds = \frac{1}{2}$

Intervalul de timp $[0, T)$ este împărțit în subintervale $[a_{n+1}, a_n)$, unde $(a_n)_{n \in \mathbb{N}}$ este un șir descrescător strict spre zero, care va fi precizat în cele ce urmează.

Se consideră atunci $F(0) = 0$ și:

$$F(t) = \begin{cases} 0 & \text{dacă } t \in [a_{n+1}, a_{n+1} + d_n) \\ \frac{F_n}{2} \rho \left(\frac{t - a_{n+1} - d_n}{a_n - a_{n+1} - d_n} \right) & \text{dacă } t \in [a_{n+1} + d_n, a_n) \end{cases} \quad (3.27)$$

Funcția $F(t)$ va avea următoarea diagramă:

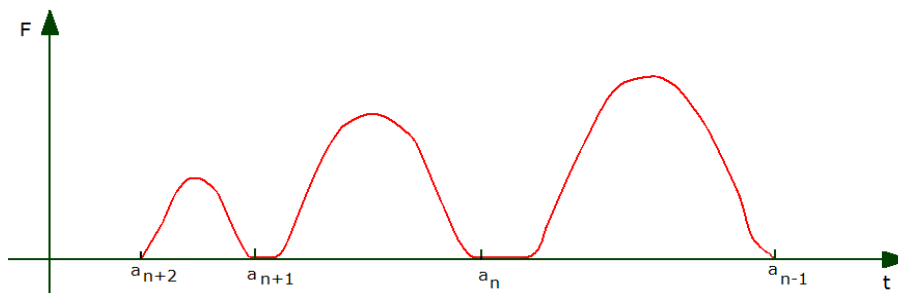


Fig. 3.3 – Forma variației lui F pentru legea ciocnirii elastice

și este de clasă C^∞ pe intervalul $(0, T]$.

Pentru aceste funcții de clasă C^∞ la $t = 0$ trebuie știut că amplitudinea descrește suficient de repede în timp ce t tinde la zero, la acest rezultat se poate considera că:

$$F_n = \frac{1}{n!}$$

Prin considerațiile:

$$a_n = \sum_{i=1}^{\infty} \frac{(i+5)^2}{(i+1)(i+2)(i+3)(i+4)}$$

$$d_n = \frac{n+5}{(n+1)(n+2)(n+4)} = \frac{n+3}{n+5}(a_n - a_{n+1})$$

$$T = \sum_{n=0}^{\infty} \frac{(n+5)^2}{(n+1)(n+2)(n+3)(n+4)}$$

se alege:

$$V(t) = \begin{cases} -\frac{1}{(n+4)!} & \text{dacă } t \in [a_{n+1}, a_{n+1} + d_n) \\ -\frac{1}{(n+4)!} + \frac{F_n}{2} \int_{a_{n+1} + d_n}^t \left(\frac{s - a_{n+1} - d_n}{a_n - a_{n+1} - d_n} \right) ds & \text{dacă } t \in [a_{n+1} + d_n, a_n) \end{cases}$$

și apoi

$$U(t) = \int_0^t V(s) ds \text{ rezultă că funcția } U(t) \text{ va avea următoarea formă:}$$

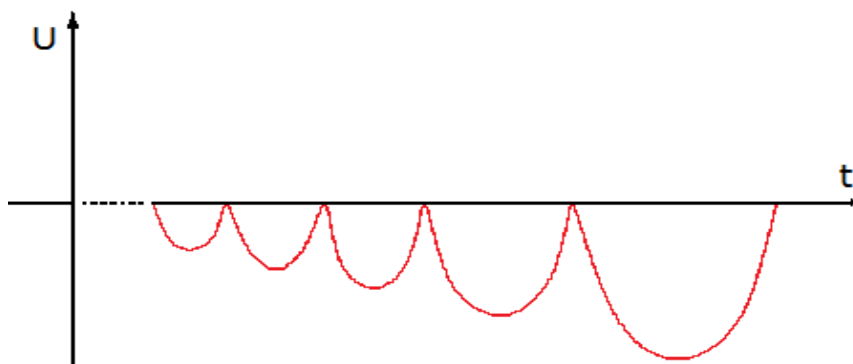


Fig. 3.4 – Forma unei soluții pentru legea impactului elastic

Se verifică ușor că funcția $V(t)$ este cu variație mărginită pe $[0, T]$ și rezultă $U \in S([0, T]; \mathfrak{R})$. Pe de altă parte funcția $U(t)$ este negativă și:

$$\bullet \{t \in [0, T]; U(t) = 0\} = \{0\} \cup \{a_n; n \in \mathbb{N}^*\}$$

$$\bullet \quad \forall n \in \mathbb{N}, \dot{U}^-(a_n) = \frac{1}{(n+3)!} \quad \dot{U}^+(a_n) = -\frac{1}{(n+3)!}$$

Astfel, $\ddot{U} - F = -2 \sum_{n=0}^{\infty} \frac{\delta_{a_n}}{(n+3)!} \stackrel{def}{=} N$ unde δ_a este funcția Dirac în punctul a și deci este o funcție negativă.

Cazul ciocnirii plastice

Considerăm problema P_I în cazul în care $R = 0$. Dacă funcția F este întotdeauna pozitivă, atunci problema P_I admite funcția $U \equiv 0$ ca soluție unică.

Rezultă că există un t' astfel încât $U(t') < 0$. Dacă alegem $t'' = \inf\{t, \forall s \in (t, t'], U(s) < 0\}$ se obține:

$$U(t'') = \dot{U}^+(t'') = 0 \text{ și apoi la:}$$

$$U(t') = \int_{t''}^{t'} \int_{t''}^s F(\sigma) d\sigma ds > 0$$

ceea ce este absurd.

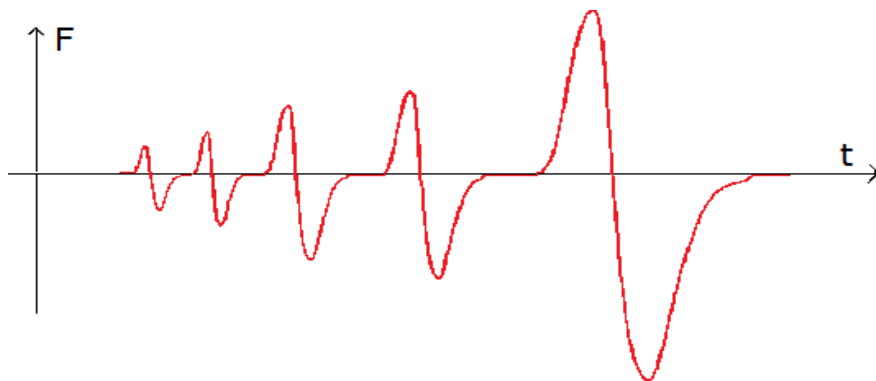
Din această exprimare rezultă că și în acest caz al ciocnirii plastice, problema neunicității rămâne adevărată și aici; același tip de construcție realizată pentru exemplul unicității în cazul impactului plastic, cum rezultă în [6].

Subdivizând intervalul $[0, T)$ în subintervale de forma $\left[\frac{1}{n+1}, \frac{1}{n}\right)$ funcția F este construită astfel: $F(0) = 0$ și

$$F(t) = \begin{cases} -F_{1,n}\rho \left(\frac{t - \frac{1}{n+1}}{d_{1,n}} \right) & \text{pentru } t \in \left[\frac{1}{n+1}, \frac{1}{n+1} + d_{1,n} \right) \\ 0 & \text{pentru } t \in \left[\frac{1}{n+1} + d_{1,n}, \frac{1}{n} - d_{2,n} \right) \\ F_{2,n}\rho \left(\frac{t - \frac{1}{n} + d_{2,n}}{d_{2,n}} \right) & \text{pentru } t \in \left[\frac{1}{n} - d_{2,n}, \frac{1}{n} \right) \end{cases} \quad (3.28)$$

unde $n \in \mathbb{N}^*$, $(F_{1,n})_{n \in \mathbb{N}^*}$, $(F_{2,n})_{n \in \mathbb{N}^*}$, $(d_{2,n})_{n \in \mathbb{N}^*}$ sunt șiruri pozitive care vor fi precizate ulterior.

Redăm diagrama funcției:

Fig. 3.5 – Forma variației funcției F pentru ciocnirea plastică

Șirurile $(d_{1,n})_{n>0}$ și $(d_{2,n})_{n>0}$ satisfac:

$$d_{1,n} \leq \frac{1}{2} \left(\frac{1}{n} - \frac{1}{n+1} \right), \quad d_{2,n} \leq \frac{1}{2} \left(\frac{1}{n} - \frac{1}{n+1} \right) \quad (3.29)$$

Șirurile $(F_{1,n})_{n \in \mathbb{N}^*}$, $(F_{2,n})_{n \in \mathbb{N}^*}$, $(d_{1,n})_{n \in \mathbb{N}^*}$, $(d_{2,n})_{n \in \mathbb{N}^*}$ trebuie să fie construite astfel încât problema P_1 să admită două soluții U_1 și U_2 . Se cere ca funcțiile U_1 și U_2 să satisfacă următoarele:

- dacă n este par

$$\begin{cases} U_1\left(\frac{1}{n}\right) = 0 \\ \dot{U}_1^+\left(\frac{1}{n}\right) = 0 \end{cases} \quad \begin{cases} U_2\left(\frac{1}{n}\right) = -U_n \\ \dot{U}_2^+\left(\frac{1}{n}\right) = V_n \end{cases} \quad (3.30)$$

- dacă n este impar

$$\begin{cases} U_1\left(\frac{1}{n}\right) = -U_n \\ \dot{U}_1^+\left(\frac{1}{n}\right) = V_n \end{cases} \quad \begin{cases} U_2\left(\frac{1}{n}\right) = 0 \\ \dot{U}_2^+\left(\frac{1}{n}\right) = 0 \end{cases} \quad (3.31)$$

unde $(U_n)_{n \in \mathbb{N}^*}$ și $(V_n)_{n \in \mathbb{N}^*}$ sunt șiruri strict pozitive care vor fi definite mai jos. Faptul că U_1 și U_2 satisfac (3.30) și (3.31) ne asigură că ele sunt distincte.

Se consideră intervalul $\left[\frac{1}{n+1}, \frac{1}{n} \right]$ pentru toți $n > 2$ și se analizează diferitele situații. Presupunem că la momentul $\frac{1}{n+1}$, punctul material va fi la poziția $U = -U_{n+1}$ cu viteza $\dot{U}^+ = V_{n+1}$ [62].

Sub acțiunea forței F pe intervalul $\left[\frac{1}{n+1}, \frac{1}{n+1} + d_{1,n}\right]$ acest punct material se regăsește la momentul $\frac{1}{n} + d_{1,n}$ în contact cu peretele rigid. În consecință, deplasarea crește pe acest interval. Aceasta se deduce prin:

$$-U_{n+1} + V_{n+1}d_{1,n} - \frac{1}{2}F_{1,n}d_{1,n}^2 = 0 \quad (3.32)$$

obținută prin integrarea ecuației $\ddot{U} = F$ pe intervalul $\left(\frac{1}{n+1}, \frac{1}{n+1} + d_{1,n}\right)$.

Condiția de contact unilateral ne obligă ca deplasarea să fie în sens negativ sau nulă ceea ce permite determinarea valorii $d_{1,n}$ ca rădăcină a ecuației de gradul doi a relației (3.32), deci:

$$d_{1,n} = \frac{V_{n+1} - \sqrt{V_{n+1}^2 - 2F_{1,n}U_{n+1}}}{F_{1,n}} \quad (3.33)$$

Pe intervalul $\left[\frac{1}{n+1} + d_{1,n}, \frac{1}{n}\right]$ deplasarea și viteza sunt identic nule deoarece punctul material rămâne în contact în decursul șocului. Se consideră cazul în care punctul material, în contact la momentul $\frac{1}{n+1}$ este în repaus. Acest punct material este în poziția $-U_n$ cu viteza V_n la momentul $\frac{1}{n}$. Integrând relația $\ddot{U} = F$ și explicitând

relația $U(t) - U(t') = \int_{t'}^t V(s)ds$ pe intervalul $\left[\frac{1}{n+1}, \frac{1}{n}\right]$ se obține:

$$\begin{cases} V_n = -F_{1,n}d_{1,n} + F_{2,n}d_{2,n} \\ -U_n = \frac{1}{2}F_{1,n}d_{1,n}^2 - F_{1,n}d_{1,n}\left(\frac{1}{n(n+1)} - d_{1,n}\right) + \frac{1}{2}F_{2,n}d_{2,n}^2 \end{cases}$$

Adică:

$$\begin{cases} V_n = -F_{1,n}d_{1,n} + F_{2,n}d_{2,n} \\ -U_n = \frac{1}{2}F_{1,n}d_{1,n}^2 - F_{1,n}d_{1,n}\frac{1}{n(n+1)} + \frac{1}{2}F_{1,n}d_{1,n}d_{2,n} + \frac{1}{2}V_nd_{2,n} \end{cases} \quad (3.34)$$

$$\text{Dacă luăm } \forall n \in N^*, U_n = \frac{1}{n^4 2^n}, V_n = \frac{1}{2^n}, F_{1,n} = \frac{n^3}{2^n} \quad (3.35)$$

din ecuația (3.33) obținem:

$$d_{1,n} = \frac{1}{2n^3} \left(1 - \sqrt{1 - \frac{4n^3}{(n+1)^4}} \right) \quad (3.36)$$

și deci obținem estimarea asimptotică:

$$d_{1,n} \approx \frac{1}{n^4} \text{ când } n \rightarrow \infty \quad (3.37)$$

Ecuțiile din sistemul (3.34) permit determinarea lui $d_{2,n}$ și $F_{2,n}$:

$$d_{2,n} = \frac{\frac{2n^2}{n+1}d_{1,n} - n^3d_{1,n}^2 - \frac{2}{n^4}}{1 + n^3d_{1,n}}$$

$$F_{2,n} = F_{1,n} \frac{d_{1,n}}{d_{2,n}} + \frac{V_n}{d_{2,n}}$$

care se comportă ca și:

$$\left. \begin{aligned} d_{2,n} &\approx \frac{2}{n^3} \\ F_{2,n} &\approx \frac{n^3}{2^{n+1}} \end{aligned} \right\} \text{când } n \rightarrow \infty \quad (3.38)$$

Din estimările (3.37) și (3.38) există un $n_0, n \geq n_0 \Rightarrow \begin{cases} 0 < d_{1,n} < \frac{1}{2n(n+1)} \\ 0 < d_{2,n} < \frac{1}{2n(n+1)} \end{cases}$. Se

definește atunci $T = \frac{1}{n_0}$ și pentru $n \geq n_0$ se va considera:

$$W_1(0) = 0$$

$$W_2(0) = 0$$

$$W_1(t) = \begin{cases} V_{n+1} - F_{1,n} \int_{\frac{1}{n+1}}^t \rho \left(\frac{s - \frac{1}{n+1}}{d_{1,n}} \right) ds & \text{dacă } t \in \left[\frac{1}{n+1}, \frac{1}{n+1} + d_{1,n} \right) \\ 0 & \text{dacă } t \in \left[\frac{1}{n+1} + d_{1,n}, \frac{1}{n} \right) \end{cases}$$

$$W_2(t) = \begin{cases} -F_{1,n} \int_{\frac{1}{n+1}}^t \rho \left(\frac{s - \frac{1}{n+1}}{d_{1,n}} \right) ds & \text{dacă } t \in \left[\frac{1}{n+1}, \frac{1}{n+1} + d_{1,n} \right) \\ -F_{1,n}d_{1,n} & \text{dacă } t \in \left[\frac{1}{n+1} + d_{1,n}, \frac{1}{n} - d_{2,n} \right) \\ -F_{1,n}d_{1,n} + F_{2,n} \int_{\frac{1}{n} - d_{2,n}}^t \rho \left(\frac{s - \frac{1}{n} + d_{2,n}}{d_{2,n}} \right) ds & \text{dacă } t \in \left[\frac{1}{n} - d_{2,n}, \frac{1}{n} \right) \end{cases}$$

În scopul satisfacerii condițiilor (3.30) și (3.31);

$$V_1(0) = 0$$

$$V_2(0) = 0$$

- dacă $t \in \left[\frac{1}{2p+1}, \frac{1}{2p} \right), (2p \geq n_0) \begin{cases} V_1(t) = W_1(t) \\ V_2(t) = W_2(t) \end{cases}$
- dacă $t \in \left[\frac{1}{2p}, \frac{1}{2p-1} \right), (2p-1 \geq n_0) \begin{cases} V_1(t) = W_2(t) \\ V_2(t) = W_1(t) \end{cases}$

și în sfârșit $U_1(t) = \int_0^t V_1(s) ds$, $U_2(t) = \int_0^t V_2(s) ds$.

Două soluții sunt atunci construite pentru problema P_I . Forma funcțiilor astfel construite este următoarea:

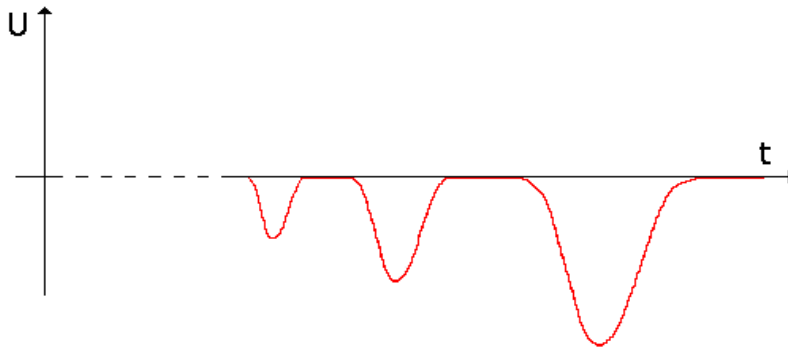


Fig. 3.6 – Forma unei soluții

Se verifică că F astfel construită este de clasă C^∞ și $U_1, U_2 \in S([0, T]; \mathfrak{R})$. Rămâne de verificat că U_1 și U_2 sunt două soluții adevărate ale problemei P_I . De exemplu U_2 . Forma graficului său pe intervalul de timp $\left[\frac{1}{2p+1}; \frac{1}{2p-1} \right)$ este:

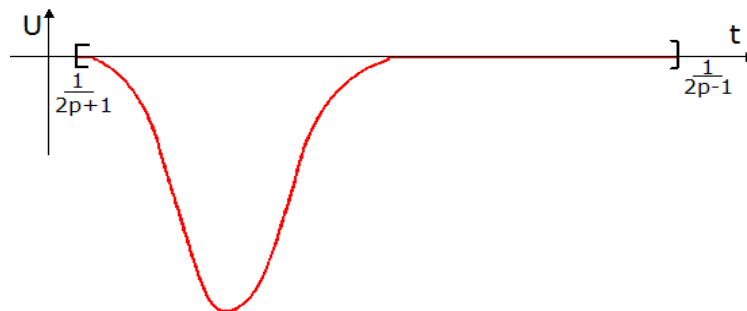


Fig. 3.7 – Forma soluției U_2 pe interval $\left[\frac{1}{2p+1}; \frac{1}{2p-1} \right)$

Un calcul simplu arată atunci:

$$\ddot{U} - F = - \sum_{p=0}^{\infty} \left\{ \frac{1}{4^p} \sqrt{1 - \frac{(2p-1)^3}{4p^4}} \delta_{\left(\frac{1}{2p} + d_{1,2p-1}\right)}(t) + F_{2,2p-1} \left(\frac{t - \frac{1}{2p-1} + d_{2,2p-1}}{d_{2,2p-1}} \right) \chi_{\left[\frac{1}{2p} + d_{1,2p-1}, \frac{1}{2p-1}\right]}(t) \right\} \stackrel{def}{=} N$$

este o mărime negativă, unde $\chi(\cdot)$ este o funcția caracteristică pe intervalul (\cdot) . În general, nu se obține unicitatea soluției problemei P_I pentru o ciocnire plastică $R = 0$, chiar dacă $F \in C^\infty([0, T]; \mathbb{R})$.

Adăugăm sistemului anterior, legătura cu un resort liniar elastic ca în exemplul de mai jos

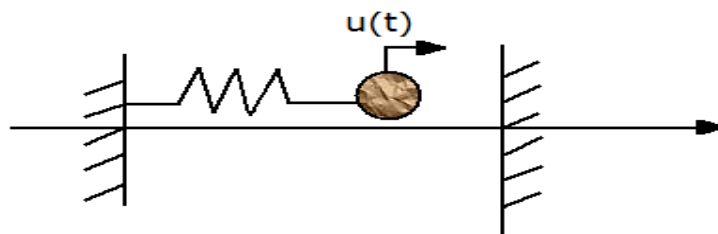


Fig. 3.8 – Sistem dinamic cu legături elastice și ciocnire plastică

Problema P_I devine:

P_I' : să se determine $U \in S([0, T]; \mathbb{R})$ și $N \in M([0, T]; \mathbb{R})$ astfel încât:

$$U(0) = 0 \quad \dot{U}^+(0) = 0$$

$$\ddot{U} - U = F + N$$

$$U \leq 0, \quad N \leq 0, \quad UN = 0$$

$$U(t) = 0 \Rightarrow \dot{U}^+(t) = 0$$

unde se consideră ciocnirea plastică.

Adoptând un raționament analog celui anterior se construiesc două soluții ale problemei P_I' pentru forța F definită de relațiile (3.28) uniforme în C^∞ .

Divizăm intervalul $[0, T)$ în subintervale $\left[\frac{1}{n+1}, \frac{1}{n}\right)$ pe care se vor construi două soluții care satisfac condițiile (3.30) și (3.31). Șirurile $(d_{1,n})_{n>0}$ și $(d_{2,n})_{n>0}$ verifică condițiile (3.29). Se alege intervalul $\left[\frac{1}{n+1}, \frac{1}{n}\right)$ pentru $n \geq 1$ și se analizează diferitele situații.

Presupunând că la momentul $\frac{1}{n+1}$ masa se găsește în poziția $U = -U_{n+1}$ cu viteza $V = V_{n+1}$. Sub acțiunea forței F pe intervalul $\left[\frac{1}{n+1}, \frac{1}{n+1} + d_{1,n}\right]$ masa se

găsește la momentul $\frac{1}{n} + d_{1,n}$ în contact cu peretele rigid. În consecință, deplasarea crește pe acest interval. Acest lucru se evidențiază prin relația:

$$0 = -U_{n+1} \cos(d_{1,n}) + V_{n+1} \sin(d_{1,n}) - F_{1,n} \int_{\frac{1}{n+1}}^{\frac{1}{n+1} + d_{n+1}} \sin\left(\frac{1}{n+1} + d_{1,n} - s\right) \rho \left(\frac{s - \frac{1}{n+1}}{d_{1,n}}\right) ds$$

obținută prin integrarea ecuației diferențiale $\ddot{U} + U = F$ pe intervalul $\left[\frac{1}{n+1}, \frac{1}{n+1} + d_{1,n}\right]$. După metoda schimbării variabilei aceasta devine:

$$0 = -U_{n+1} \cos(d_{1,n}) + V_{n+1} \sin(d_{1,n}) - F_{1,n} d_{1,n} \int_0^1 \sin(d_{1,n}(1-s)) \rho(s) ds \quad (3.39)$$

unde șirurile $(U_n)_{n>0}$, $(V_n)_{n>0}$ și $(F_{1,n})_{n>0}$ sunt definite de relațiile (3.35).

Condiția contactului unilateral permite determinarea parametrului $d_{1,n}$ ca o mică valoare pozitivă care arată că relația (3.39) este satisfăcută.

Fie atunci $g(x)$ o funcție continuă definită prin:

$$g(x) = -U_{n+1} \cos(x) + V_{n+1} \sin(x) - F_{1,n} x \int_0^1 \sin(x(1-s)) \rho(s) ds$$

Pe de o parte $g(0) = -U_{n+1} < 0$, iar pe de altă parte:

$$\forall x \in \left[0, \frac{\pi}{2}\right], \sin(x) \geq \frac{2x}{\pi} \quad (3.40)$$

Atunci:

$$\forall x \in \left[0, \frac{\pi}{2}\right], g(x) > -U_{n+1} + \left(\frac{2V_{n+1}}{\pi} - F_{1,n}\right)x \quad (3.41)$$

Membrul din dreapta se anulează pentru $x = \frac{U_{n+1}}{\frac{2}{\pi}V_{n+1} - F_{1,n}} \approx \frac{\pi}{2n^4}$. Pentru $n \geq 2$,

$\frac{\pi}{2n^4} \in \left[0, \frac{\pi}{2}\right]$. În consecință există valori $x \in \left[0, \frac{\pi}{2}\right]$ care arată că membrul drept al inegalității (3.41) este pozitiv. Atunci se deduce că există cel puțin o valoare x pentru care $g(x) = 0$ și se notează $d_{1,n}$ cea mai mică valoare a sa; cum

$d_{1,n} \leq \frac{\pi}{2n^4}$, $d_{1,n}$ tinde la zero când n tinde la infinit. Ecuația (3.39) ne permite să obținem estimarea următoare:

$$d_{1,n} \approx \frac{1}{n^4}, n \rightarrow +\infty \quad (3.42)$$

Momentul $\frac{1}{n+1} + d_{1,n}$ este momentul ciocnirii. Pe intervalul $\left[\frac{1}{n+1} + d_{1,n}; \frac{1}{n}\right)$ masa rămâne în contact cu peretele. Atunci $U = V = 0$.

Se consideră cazul când masa este în contact la momentul $\frac{1}{n+1}$ și deci ea rămâne în repaus. Acesta este poziția $-U_n$ cu viteza V_n la momentul $\frac{1}{n}$. Integrarea ecuației diferențiale $\ddot{U} + U = F$ pe intervalul $\left[\frac{1}{n+1}, \frac{1}{n}\right)$ permite obținerea următoarelor relații:

$$V_n = -F_{1,n} \int_{\frac{1}{n+1}}^{\frac{1}{n+1} + d_{1,n}} \cos\left(\frac{1}{n+1} + d_{1,n} - s\right) \rho\left(\frac{s - \frac{1}{n+1}}{d_{1,n}}\right) ds + F_{2,n} \int_{\frac{1}{n} - d_{2,n}}^{\frac{1}{n}} \cos\left(\frac{1}{n} - s\right) \rho\left(\frac{s - \frac{1}{n} + d_{2,n}}{d_{2,n}}\right) ds \quad (3.43)$$

$$-U_n = -F_{1,n} \int_{\frac{1}{n+1}}^{\frac{1}{n+1} + d_{1,n}} \sin\left(\frac{1}{n+1} + d_{1,n} - s\right) \rho\left(\frac{s - \frac{1}{n+1}}{d_{1,n}}\right) ds + F_{2,n} \int_{\frac{1}{n} - d_{2,n}}^{\frac{1}{n}} \sin\left(\frac{1}{n} - s\right) \rho\left(\frac{s - \frac{1}{n} + d_{2,n}}{d_{2,n}}\right) ds \quad (3.44)$$

Relația (3.43) și (3.44) permit determinarea coeficienților $d_{2,n}$ și $F_{2,n}$:

$$0 = \left[U_n - F_{1,n} d_{1,n} \int_0^1 \sin\left(\frac{1}{n(n+1)} - d_{1,n}s\right) \rho(s) ds \right] \int_0^1 \cos(d_{2,n}(1-s)) \rho(s) ds + \left[V_n + F_{1,n} d_{1,n} \int_0^1 \cos\left(\frac{1}{n(n+1)} - d_{1,n}s\right) \rho(s) ds \right]; \quad (3.45)$$

$$F_{2,n} = \frac{1}{d_{2,n}} \frac{V_n + F_{1,n} d_{1,n} \int_0^1 \cos\left(\frac{1}{n(n+1)} - d_{1,n}s\right) \rho(s) ds}{\cos\left(\frac{1}{n(n+1)} - d_{1,n}s\right) \rho(s) ds} \quad (3.46)$$

Coeficientul $d_{2,n}$ este soluție a ecuației (3.45). Prin urmare, se definește ca și mai sus funcția continuă $h(x)$ prin:

$$h(x) = \left[U_n - F_{1,n} d_{1,n} \int_0^1 \sin\left(\frac{1}{n(n+1)} - d_{1,n}s\right) \rho(s) ds \right] \int_0^1 \cos(x(1-s)) \rho(s) ds + \left[V_n + F_{1,n} d_{1,n} \int_0^1 \cos\left(\frac{1}{n(n+1)} - d_{1,n}s\right) \rho(s) ds \right] \int_0^1 \sin(x(1-s)) \rho(s) ds \quad (3.47)$$

Pe de-o parte:

$$h(0) \approx \frac{-F_{1,n}d_{1,n}}{n^2} \approx \frac{-1}{2n^3} < 0$$

Pe de altă parte, din relația (3.40)

$$\begin{aligned} & \left[V_n + F_{1,n}d_{1,n} \int_0^1 \cos\left(\frac{1}{n(n+1)} - d_{1,n}s\right) \rho(s) ds \right] \int_0^1 \sin(x(1-s)) \rho(s) ds \\ & \geq \left[V_n + F_{1,n}d_{1,n} \int_0^1 \cos\left(\frac{1}{n(n+1)} - d_{1,n}s\right) \rho(s) ds \right] \frac{2x}{n} \int_0^1 \rho(s) ds, \\ & \geq \left[V_n + F_{1,n}d_{1,n} \int_0^1 \cos\left(\frac{1}{n(n+1)} - d_{1,n}s\right) \rho(s) ds \right] \frac{2x}{n} \end{aligned}$$

și

$$\begin{aligned} & \left[U_n - F_{1,n}d_{1,n} \int_0^1 \sin\left(\frac{1}{n(n+1)} - d_{1,n}s\right) \rho(s) ds \right] \int_0^1 \cos(x(1-s)) \rho(s) ds \\ & \geq U_n - F_{1,n}d_{1,n} \int_0^1 \sin\left(\frac{1}{n(n+1)} - d_{1,n}s\right) \rho(s) ds \end{aligned}$$

Va rezulta:

$$\begin{aligned} \forall x \in \left[0, \frac{n}{2}\right], h(x) \geq & \left[V_n + F_{1,n}d_{1,n} \int_0^1 \cos\left(\frac{1}{n(n+1)} - d_{1,n}s\right) \rho(s) ds \right] \frac{2x}{n} \\ & + \left[U_n - F_{1,n}d_{1,n} \int_0^1 \sin\left(\frac{1}{n(n+1)} - d_{1,n}s\right) \rho(s) ds \right] \end{aligned}$$

unde membrul drept devine pozitiv pentru valori certe ale lui x pentru care rezultă o funcție afină care se anulează pentru o valoare x apropiată de $\frac{n}{2n^3} \in \left[0, \frac{n}{2}\right]$ pentru $n \geq 2$.

Astfel, s-a demonstrat existența cel puțin a unei valori x pentru care $h(x) = 0$ și în consecință a celei mai mici valori $d_{2,n}$, soluție a ecuației (3.45). Deci

$d_{2,n} \leq \frac{n}{n^3}$ tinde spre zero în timp ce n tinde spre infinit. Rezultă:

$$d_{2,n} \approx \frac{2}{n^3}, n \rightarrow \infty \quad (3.48)$$

Relația (3.46) permite estimarea lui $F_{2,n}$ ca fiind:

$$F_{2,n} \approx \frac{n^3}{2^{n+1}}, n \rightarrow \infty.$$

Datorită estimărilor (3.42) și (3.48) rezultă că există

$$n_0, n \geq 0 \Rightarrow \begin{cases} 0 < d_{1,n} < \frac{1}{2n(n+1)} \\ 0 < d_{2,n} < \frac{1}{2n(n+1)} \end{cases} \quad (3.49)$$

Se definește atunci $T = \frac{1}{n_0}$ și pentru toate $n \geq n_0$ se scrie:

$$W_1(0) = 0$$

$$W_2(0) = 0$$

$$W_1(t) = \begin{cases} \sin\left(t - \frac{1}{n+1}\right)U_{n+1} + \cos\left(t - \frac{1}{n+1}\right)V_{n+1} \\ -F_{1,n} \int_{\frac{1}{n+1}}^t \cos(t-s)\rho\left(\frac{s - \frac{1}{n+1}}{d_{1,n}}\right) ds \quad \text{dacă } t \in \left[\frac{1}{n+1}, \frac{1}{n+1} + d_{1,n}\right) \\ 0 \quad \text{dacă } t \in \left[\frac{1}{n+1} + d_{1,n}, \frac{1}{n}\right) \end{cases}$$

$$W_2(t) = \begin{cases} -F_{1,n} \int_{\frac{1}{n+1}}^t \cos(t-s)\rho\left(\frac{s - \frac{1}{n+1}}{d_{1,n}}\right) ds \quad \text{dacă } t \in \left[\frac{1}{n+1}, \frac{1}{n+1} + d_{1,n}\right) \\ -F_{1,n} \int_{\frac{1}{n+1}}^{\frac{1}{n+1} + d_{1,n}} \cos(t-s)\rho\left(\frac{s - \frac{1}{n+1}}{d_{1,n}}\right) ds \quad \text{dacă } t \in \left[\frac{1}{n+1} + d_{1,n}, \frac{1}{n} - d_{2,n}\right) \\ -F_{1,n} \int_{\frac{1}{n+1}}^{\frac{1}{n+1} + d_{1,n}} \cos(t-s)\rho\left(\frac{s - \frac{1}{n+1}}{d_{1,n}}\right) ds \\ + F_{2,n} \int_{\frac{1}{n} - d_{2,n}}^t \cos(t-s)\rho\left(\frac{s - \frac{1}{n} + d_{2,n}}{d_{2,n}}\right) ds \quad \text{dacă } t \in \left[\frac{1}{n} - d_{2,n}, \frac{1}{n}\right) \end{cases}$$

În final, pentru satisfacerea condițiilor (3.30) și (3.31) se alege:

$$V_1(0) = 0$$

$$V_2(0) = 0$$

- dacă $t \in \left[\frac{1}{2p+1}, \frac{1}{2p} \right), (2p \geq n_0) \begin{cases} V_1(t) = W_1(t) \\ V_2(t) = W_2(t) \end{cases}$
- dacă $t \in \left[\frac{1}{2p}, \frac{1}{2p-1} \right), (2p-1 \geq n_0) \begin{cases} V_1(t) = W_2(t) \\ V_2(t) = W_1(t) \end{cases}$

și în sfârșit $U_1(t) = \int_0^t V_1(s) ds$, $U_2(t) = \int_0^t V_2(s) ds$.

Procedând în aceeași manieră ca și anterior, se arată că U_1 și U_2 sunt cele două soluții ale problemei P_I .

Aplicarea metodei „NSCD” la un model de tip Klarbring

Se consideră sistemul Klarbring (problema P_U) în cazul particular $m = 1$ și $K = I$ (la cuplajul între gradele de mobilitate normale și tangențiale) și $R = 0$ cazul ciocnirii plastice.[63]

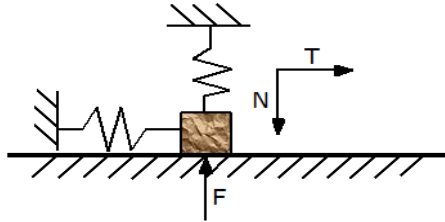


Fig.3.9

Dacă ne limităm în cazul condițiilor inițiale definite de către $U_0 = V_0 = 0$ și forța exterioară totdeauna coliniară cu normala la obstacol; $F_T \equiv 0$, se constată că gradul de mobilitate normal U_N este guvernat de către problema de evoluție P_I și în cazul particular al sistemului Klarbring considerat aici toate soluțiile problemei P_I completate de $U_T \equiv 0$ furnizează o soluție a problemei P_U .

Se consideră problema P_U dacă forța exterioară $F(t)$ o presupunem analitică pe porțiuni. Contactul dinamic unilateral și cu frecare Coulomb se va studia pentru un sistem cu un număr finit de grade de libertate.

Studiul se va concentra asupra existenței și unicității soluțiilor asociate ecuațiilor de evoluție a problemei. Pentru aceasta se consideră un sistem simplu de tip Klarbring [40] aflat în una dintre situațiile dinamice generale.

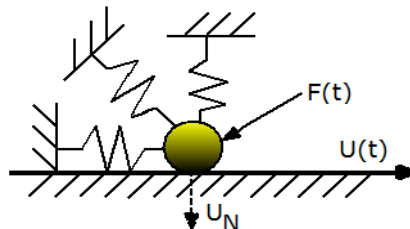


Fig.III.10 – Sistemul Klarbring

Sistemul de tip Klarbring se referă la următoarea situație. Fie $n \geq 2$ un întreg. Un punct material cu masa unitate din \mathfrak{R}^n se mișcă într-un câmp de energie cu potențial pătratic. Acesta este descris printr-o matrice de rigiditate simetrică, pozitivă definită K și de o forță externă $F(t)$ dependentă de timp. Punctul material este constrâns să rămână într-un semispațiu de contact, iar în decursul ciocnirii legea lui Coulomb rămâne adevărată.

Pentru un vector din $x \in \mathfrak{R}^n$ se va nota prin x_N componenta normală și prin x_T vectorul lui \mathfrak{R}^{n-1} format de către ultimele $n-1$ componente a lui x - componenta tangențială.

Matricea de rigiditate $[K]$ simetrică și pozitivă este:

$$[K] = \begin{bmatrix} k_N & t_W \\ W & K_T \end{bmatrix}$$

unde $[K_N] \in \mathfrak{R}$, $W \in \mathfrak{R}^{n-1}$ și $[K_T]$ este reală simetrică pozitiv definită cu rangul $n-1$.

Următoarele două afirmații sunt echivalente:

- i) matricea $[K]$ este pozitiv definită
- ii) matricea $[K_T]$ este pozitiv definită și $K_N > {}^t W K_T^{-1} W$.

Termenul W cuplează gradele de libertate normale și tangențiale și reprezintă o sursă de dificultate în analiza sistemului [62].

Funcțiile U din S sunt continue și admit derivate la dreapta și la stânga în sens clasic, \dot{U}^-, \dot{U}^+ , în fiecare punct, ambele fiind funcții de variație mărginită.

Pentru problema evoluțiilor mișcării sistemului, o problemă unilaterală, obținem problema de evoluție P_U :

Să se determine $U \in S([0, T]; \mathfrak{R}^n)$ și $N \in M([0, T]; \mathfrak{R}^n)$ astfel încât:

$$m\ddot{U} + KU = F + N \text{ - ecuația mișcării}$$

$$U(0) = U_0; \dot{U}_T^+ = V_0 \text{ - condițiile inițiale}$$

$$U_N \leq 0; N_N \leq 0, U_N N_N = 0 \text{ - contactul unilateral}$$

$$\int_{[0, T]^+} \left[N_T \cdot (V - \dot{U}_T^+) - \mu N_N (|V| - |\dot{U}_T^+|) \right] \geq 0, \quad \forall V \in C^0([0, T]; \mathfrak{R}^{n-1}) \text{ - frecarea}$$

Coulomb

$$U_N(t) = 0 \Rightarrow \dot{U}_N^+(t) = -R\dot{U}_N^-(t) \text{ pe } (0, T] \text{- legea ciocnirii}$$

unde F reprezintă funcția integrabilă dată pe $[0, T]$ în \mathfrak{R}^n denumită exterioară, μ este coeficientul de frecare, $R \in [0, 1]$ o constantă reală - coeficientul de restituire și (U_0, V_0) sunt condițiile inițiale presupuse a fi compatibile cu constrângerea unilaterală:

$$U_{0N} \leq 0 \text{ și } U_{0N} = 0 \Rightarrow V_{0N} \leq 0$$

Scopul studiului din acest capitol este al existenței și unicității soluției problemei P_U .

Problema unilaterală P_U se transformă într-o problemă bilaterală atunci când constrângerile unilaterale devin bilaterale. Astfel problema P_U devine problema P_b care este mai generală și din care se obține prin particularizări ale problemei P_U .

Problema bilaterală

Să se determine $U \in S([0, T]; \mathbb{R}^n)$ și $N \in M([0, T]; \mathbb{R}^n)$ astfel încât:

$$\ddot{U} + KU = F + N \text{ în } [0, T] \text{ - ecuația mișcării}$$

$$U(0) = U_0; \dot{U}_T^+ = V_0 \text{ - condițiile inițiale}$$

$$U_N \equiv 0 \text{ - contactul bilateral}$$

$$\int_{[0, T]} \left[N_T \cdot (V - \dot{U}_T^+) + \mu |N_N| (|V| - |\dot{U}_T^+|) \right] \geq 0, \quad \forall V \in C^0([0, T]; \mathbb{R}^{n-1}) \text{ - frecarea}$$

Coulomb

unde F este o funcție integrabilă dată $F \in L^1([0, T]; \mathbb{R})$ și (U_0, V_0) condițiile inițiale presupuse a fi compatibile cu constrângerea bilaterală:

$$U_{0N} = 0 \text{ și } V_{0N} = 0$$

Prima componentă a ecuației mișcării:

$$N_N = WU_T - F_N$$

arată că mărimea N_N este absolut continuă, pentru care este îndeplinită următoarea inegalitate:

$$|N_T| \leq \mu |N_N|$$

măsura N_T fiind de asemenea absolut continuă în raport cu măsura Lebesgue.

Problema bilaterală cu forță analitică

Scopul acestei secțiuni este de a arăta că în situația când forța externă F nu este integrabilă ci este analitică, atunci soluția problemei bilaterale P_b este analitică în vecinătatea la dreapta a lui $t = 0$.

Propoziție 3.1

Fie n un întreg pozitiv, O o vecinătate a lui $(0, 0)$ în $\mathbb{R}^n \times \mathbb{R}$, $G : O \rightarrow \mathbb{R}^n$ o funcție analitică și A matricea pătratică reală de ordin n fără nici o valoare proprie în $N \setminus \{0\}$. Atunci există $\eta > 0$ și o funcție analitică $X : [0, \eta) \rightarrow \mathbb{R}^n$ care este o soluție a problemei Cauchy:

$$X(0) = 0$$

$$\dot{X}(t) = \frac{1}{t} A \cdot X(t) + G(X(t), t), \quad \forall t \in (0, \eta)$$

În plus, orice soluție a problemei Cauchy este o restricție sau o extensie analitică a lui $X(t)$.

Demonstrație – pentru claritate demonstrația este prezentată doar pentru cazul particular $n = 1$. Pentru $|X| < r$ și $|t| < r$ se poate scrie dezvoltarea asimptotică:

$$G(X, t) = \sum_{i, j=0}^{\infty} g_{ij} X^i t^j$$

Atunci pentru $|X| < r$ și $|t| < r$ se consideră restricția:

$$\tilde{G}(X, t) = \sum_{i, j=0}^{\infty} |g_{ij}| X^i t^j$$

și considerând problema Cauchy:

$$\begin{aligned} \tilde{X}(0) &= 0 \\ \frac{d}{dt} \tilde{X}(t) &= \tilde{G}(\tilde{X}(t), t); \forall t \end{aligned}$$

admite soluție unică locală \tilde{X} care în plus este și analitică (teorema 1, pg. 214[10]). Această soluție poate fi dezvoltată într-o serie de puteri [31]

$$\tilde{X}(t) = \sum_{i=1}^{\infty} \tilde{x}_i t^i \text{ care converge într-o vecinătate a lui } t = 0.$$

Coefficienții \tilde{x}_i sunt calculați inductiv prin substituirea dezvoltării seriei de puteri în ecuația diferențială. Această procedură permite să afirmăm că:

$$(k+1)\tilde{x}_{k+1} = P_{k+1}(\tilde{x}_1, \tilde{x}_2, \dots, \tilde{x}_k; |g_{ij}|) \quad (3.50)$$

unde P_{k+1} este un polinom cu coeficienții întregi și argumentele $\tilde{x}_1, \tilde{x}_2, \dots, \tilde{x}_k$ și $|g_{ij}|$ este un număr finit.

Prin inducție din ecuația (3.50) se arată că toate \tilde{x}_i sunt unic determinate și în plus satisfac relația:

$$\forall k \in \mathbb{N}, \tilde{x}_{k+1} \geq 0$$

De menționat că toate polinoamele P_{k+1} au proprietatea:

$$\forall a \geq 1, \forall \tilde{x}_i \in \mathbb{R},$$

$$\left| P_{k+1}(a\tilde{x}_1, a^2\tilde{x}_2, \dots, a^k\tilde{x}_k; |g_{ij}|) \right| \leq a^k P_{k+1}(|\tilde{x}_1|, |\tilde{x}_2|, \dots, |\tilde{x}_k|; |g_{ij}|) \quad (3.51)$$

Se revine la problema Cauchy:

$$\begin{aligned} X(0) &= 0 \\ \dot{X}(t) &= \frac{1}{t} AX(t) + G(X(t), t) \end{aligned}$$

și se va căuta soluția ca o formă serie de puteri:

$$X(t) = \sum_{i=1}^{\infty} x_i t^i$$

Substituind această expresie în ecuația diferențială, se obține pentru toți $k \in \mathbb{N}$:

$$(k+1-A)x_{k+1} = P_{k+1}(x_1, x_2, \dots, x_k; g_{ij}) \quad (3.52)$$

Dacă se ia $a = \sup_{k \in \mathbb{N}} \left\{ \frac{k+1}{k+1-A} \right\}$ ($a \geq 1$), care este finită; în ipoteza A nu este un întreg pozitiv. În virtutea inducției obținută din ecuația (3.52) avem pentru orice $k \in \mathbb{N}$

$$|x_{k+1}| \leq \frac{a}{k+1} P_{k+1}(|x_1|, |x_2|, \dots, |x_k|; |g_{ij}|)$$

Din inducția bazată pe proprietatea (3.51) obținem:

$$\forall k \in \mathbb{N}, |x_{k+1}| \leq a^{k+1} \tilde{x}_{k+1}$$

care demonstrează că raza de convergență a seriei de puteri $\sum_{i \geq 1} x_i t^i$ este pozitivă și astfel rezultă concluzia dorită. În cazul unde n arbitrar, argumentația este asemănătoare.

Propoziția 3.2

Fie $F_N : [0, T] \rightarrow \mathfrak{R}$ și $F_T : [0, T] \rightarrow \mathfrak{R}^{n-1}$, două funcții analitice. Atunci există $\eta > 0$ astfel încât restricția pentru $[0, \eta]$ a lui $U_T \in S^{2,1}$ este analitică.

Demonstrație

Din presupunerile faptului că funcțiile $F_N(t)$ și $F_T(t)$ sunt analitice, există $\eta > 0$ astfel încât trebuie să aibă loc unul din cazurile următoare:

Cazul 1: $V_{0T} \neq 0$

Cazul 2: $V_{0T} = 0$ și $\forall t \in (0, \eta) |F_T(t) - K_T U_{0T}| \leq \mu |F_N(t) - W U_{0T}|$

Cazul 3: $V_{0T} = 0$ și $\forall t \in (0, \eta) |F_T(t) - K_T U_{0T}| > \mu |F_N(t) - W U_{0T}|$

Trebuie demonstrat că condiția este valabilă pentru toate cazurile de mai sus.

Cazul 1 $V_{0T} \neq 0$

Fie o vecinătate deschisă a lui V_{0T} în \mathfrak{R}^{n-1} care nu conține pe zero. Atunci funcția:

$$\begin{cases} O \rightarrow \mathfrak{R}^{n-1} \\ V \mapsto \frac{V}{|V|} \end{cases} \text{este analitică.}$$

Teorema Cauchy-Lipschits arată că soluția $U_T \in C^2([0, a]; \mathfrak{R}^{n-1})$ este soluție a problemei Cauchy:

- $U_T(0) = U_{0T}; \dot{U}_T(0) = V_{0T}$
- $\ddot{U}_T(t) + K_T U_T(t) + \mu |F_N(t) - W U_T(t)| \frac{\dot{U}_T(t)}{|\dot{U}_T(t)|} = F_T(t)$
- $\dot{U}_T(t) \in O$ (3.53)

Căutăm o soluție a lui (3.53) ca o formă serie de puteri:

$$U_T(t) = \sum_{k=0}^{\infty} \lambda_k t^k \text{ și substituind-o în (3.53) este necesar ca:}$$

$$\lambda_0 = U_{0T}; \lambda_1 = V_{0T} \text{ și atunci:}$$

$$\lambda_2 = \frac{1}{2} \left\{ F_T(0) - K_T U_{0T} - |F_N(0) - WU_{0T}| \frac{V_{0T}}{|V_{0T}|} \right\}$$

Înlocuind termenul $|F_N(t) - WU_T(t)|$ în (3.53) prin $\pm [F_N(t) - WU_T(t)]$ în acord cu semnul primului termen al seriei de puteri dezvoltată a lui $[F_N(t) - WU_T(t)]$, se poate arăta prin inducție că șirul $(\lambda_n)_{n \in \mathbb{N}}$ este unic determinat.

Sunt posibile două cazuri:

Cazul 1.1 oricare ar fi $n \in \mathbb{N}$, $\frac{F_N^{(n)}(0)}{n!} = W\lambda_n$ în care soluția problemei Cauchy este:

- $U_T(0) = U_{0T}; \dot{U}_T(0) = V_{0T}$
- $\ddot{U}_T(t) + K_T U_T(t) = F_T(t)$
- $\dot{U}_T(t) \in O$ care este analitică conform teoremei 1 pag. 214[10].

Deci λ_n sunt coeficienții seriei de puteri dezvoltate la zero în vecinătatea dreaptă a lui zero care rezolvă problema.

Cazul 1.2 oricare ar fi $n \in \{0, 1, \dots, n_0 - 1\}$; $\frac{F_N^{(n)}(0)}{n!} = W\lambda_n$ și $\frac{F_N^{(n_0)}(0)}{n_0!} \neq W\lambda_{n_0}$ caz în care soluția analitică a problemei Cauchy este:

- $U_T(0) = U_{0T}; \dot{U}_T(0) = V_{0T}$
- $\ddot{U}_T(t) + K_T U_T(t) + \mu \operatorname{sign} \left[\frac{F_N^{(n_0)}(0)}{n_0!} - W\lambda_{n_0} \right] [F_N(t) - WU_T(t)] \frac{\dot{U}_T(t)}{|\dot{U}_T(t)|} = F_T(t)$
- $\dot{U}_T(t) \in O$

este o soluție a problemei (3.53), în vecinătatea dreaptă la $t = 0$ și prin urmare rezolvă problema Cauchy.

Cazul 2 $V_{0T} = 0$ și $\forall t \in (0, \eta) |F_T(t) - K_T U_{0T}| \leq \mu |F_N(t) - WU_{0T}|$

În acest caz este verificat direct faptul că funcția constantă $U_T = U_{0T}$ pe intervalul $[0, \eta)$ care este analitică determină o soluție pe intervalul $[0, \eta)$ a problemei Cauchy.

Cazul 3 $V_{0T} = 0$ și oricare ar fi $t \in (0, \eta) |F_T(t) - K_T U_{0T}| > \mu |F_N(t) - WU_{0T}|$

Prin asumarea analicității funcțiilor $F_N(t)$ și $F_T(t)$, împreună cu ipotezele cazului 3, se știe că există doi întregi n_0 și $n_1 \geq n_0$ astfel încât:

$$F_T(t) - K_T U_{0T} \approx at^{n_0}; a \in \mathbb{R}^{n-1} \setminus \{0\}$$

$$F_N(t) - WU_{0T} \approx \beta t^{n_1}; \beta \in \mathbb{R} \setminus \{0\}$$

când $t \rightarrow 0$, în cazul în care $F_N(t) \equiv WU_{0T}$, doar considerând în șir $n_1 = +\infty$.

Se va analiza soluția formală ca o serie de puteri a problemei (3.53). Trebuie verificat dacă primul termen diferit de zero al seriei de puteri asociat cu $U_T - U_{0T}$ poate fi scris sub forma γt^{n_0+2} unde γ trebuie să satisfacă ecuația:

$$(n_0 + 2)(n_0 + 1)\gamma + \mu\delta_{n_0}^{n_1}|\beta|\frac{\gamma}{|\gamma|} = a \quad (3.54)$$

$\delta_{n_0}^{n_1}$ reprezintă indicele lui Kronecher, care este egal cu unu dacă $n_0 = n_1$ și zero în celelalte cazuri. Soluția ecuației (3.54) este:

$$\gamma = \frac{|a| - \mu\delta_{n_0}^{n_1}|\beta|}{(n_0 + 2)(n_0 + 1)} \cdot \frac{a}{|a|}$$

Pentru $t > 0$ introducem funcțiile:

$$\tilde{U}_T = \frac{U_T - U_{0T}}{t^{n_0+1}}$$

$$\tilde{V}_T = \frac{\dot{U}_T}{(n_0 + 2)t^{n_0+1}} - \gamma$$

Pentru \tilde{U}_T și \tilde{V}_T avem următoarea ecuație diferențială:

$$\frac{d}{dt}\tilde{U}_T = -\frac{n_0 + 1}{t}\tilde{U}_T + (n_0 + 2)(\tilde{V}_T + \gamma)$$

Acum se va scrie ecuația diferențială a problemei (3.53) în termenii acestor noi funcții. Se obține:

$$\frac{d}{dt}\tilde{V}_T = -\frac{n_0 + 1}{t}(\tilde{V}_T + \gamma) - \frac{1}{n_0 + 2}K_T\tilde{U}_T + \frac{F_T - K_T U_{0T}}{(n_0 + 2)t^{n_0+1}} - \frac{\mu}{n_0 + 2}\left|\frac{F_N - WU_{0T}}{t^{n_0+1}} - W\tilde{U}_T\right| \frac{\gamma + \tilde{V}_T}{|\gamma + \tilde{V}_T|}$$

Folosind relația (3.54) rezultă:

$$\begin{aligned} \frac{d}{dt}\tilde{V}_T = & -\frac{n_0 + 1}{t}\tilde{V}_T - \frac{1}{n_0 + 2}K_T\tilde{U}_T + \frac{F_T - K_T U_{0T} - at^{n_0}}{(n_0 + 2)t^{n_0+1}} + \frac{\mu\delta_{n_0}^{n_1}|\beta|}{(n_0 + 2)t} \cdot \frac{\gamma}{|\gamma|} \\ & - \frac{\mu}{n_0 + 2}\left|\frac{F_N - WU_{0T}}{t^{n_0+1}} - W\tilde{U}_T\right| \frac{\gamma + \tilde{V}_T}{|\gamma + \tilde{V}_T|} \end{aligned}$$

Acum, este evident că problema Cauchy:

- $\tilde{U}_T(0) = 0; \tilde{V}_T(0) = 0$
- $\frac{d}{dt}\tilde{U}_T = -\frac{n_0 + 1}{t}\tilde{U}_T + (n_0 + 2)(\tilde{V}_T + \gamma)$

- $\frac{d}{dt}\tilde{V}_T = -\frac{n_0 + 1}{t}\tilde{V}_T - \frac{1}{n_0 + 2}K_T\tilde{U}_T + \frac{F_T - K_T U_{0T} - at^{n_0}}{(n_0 + 2)t^{n_0+1}} + \frac{\mu\delta_{n_0}^{n_1}|\beta|}{(n_0 + 2)t} \cdot \frac{\gamma}{|\gamma|} - \frac{\mu}{n_0 + 2}\left|\frac{F_N - WU_{0T}}{t^{n_0+1}} - W\tilde{U}_T\right| \frac{\gamma + \tilde{V}_T}{|\gamma + \tilde{V}_T|}$

are o soluție unică în serie de puteri:

$$F_N - WU_{0T} - t^{n_0 + 1}W\tilde{U}_T$$

Este ușor de verificat că în cazul particular pentru care $n_1 = n_0$ se obține $sign = sign(\beta)$, astfel că funcția \tilde{G} poate fi definită prin expresia de mai jos:

$$\tilde{G}(\tilde{U}_T, \tilde{V}_T, t) = \frac{F_T - K_T U_{0T} - at^{n_0}}{(n_0 + 2)t^{n_0+1}} + \frac{\mu \delta_{n_0}^{n_1} |\beta|}{(n_0 + 2)t} \cdot \frac{\gamma}{|\gamma|} - \frac{\mu sign}{n_0 + 2} \left| \frac{F_N - WU_{0T}}{t^{n_0+1}} - W\tilde{U}_T \right| \frac{\gamma + \tilde{V}_T}{|\gamma + \tilde{V}_T|}$$

este analitică într-o vecinătate a lui $(0,0,0)$. În aceste condiții enunțul anterior al propoziției 3.1 devine o soluție analitică locală $(\tilde{U}_T, \tilde{V}_T)$ a problemei:

- $\tilde{U}_T(0) = 0; \tilde{V}_T(0) = 0$
- $\frac{d}{dt} \tilde{U}_T = -\frac{n_0 + 1}{t} \tilde{U}_T + (n_0 + 2)(\tilde{V}_T + \gamma)$
- $\frac{d}{dt} \tilde{V}_T = -\frac{n_0 + 1}{t} \tilde{V}_T - \frac{1}{n_0 + 2} K_T \tilde{U}_T + \tilde{G}(\tilde{U}_T, \tilde{V}_T, t)$.

Contactul cu frecare la sisteme cu două grade de libertate

Formularea problemei

Considerăm un punct material care se mișcă în semispațiul $S_2 = \{x = (x_1, x_2) \in \mathbb{R}^2 : x_2 \leq 0\}$. Fie t timpul, $t \in I$:

$$I = [0, T]; T > 0 \quad (3.55)$$

și fie $f(t) = (f_1(t), f_2(t))$ forța aplicată la momentul $t \in I$ și presupunem că:

$$f \in C^1(\bar{I}, \mathbb{R}^2) \text{ cu } f(t) \neq 0 \text{ pentru toți } t \in I \quad (3.56)$$

Pentru orice $t \in I$, vectorul deplasare al punctului material este notat cu $u(t) = (u_1(t), u_2(t))$, iar reacțiunile exercitate asupra punctului material de către frontierele semispațiului se notează cu $N(t) = (N_1(t), N_2(t))$. Punctul material este constrâns printr-un sistem de resoarte liniare elastice astfel că:

$$K \text{ este matricea } 2 \times 2 \text{ de rigiditate pozitiv definită și simetrică} \quad (3.57)$$

Pentru u și N suficient de netede, astfel încât evoluția mișcării punctului material este guvernată de ecuațiile:

$$Ku(t) = f(t) + N(t) \quad (3.58)$$

împreună cu condițiile contactului unilateral clasic:

$$u_2(t) \leq 0, N_2(t) \leq 0, u_2(t)N_2(t) = 0 \quad (3.59)$$

și legea frecării lui Coulomb:

$$N_1(t) \in \mu N_2(t) \sigma[\dot{u}_1(t)] \quad (3.60)$$

unde

$$\mu > 0 \text{ este coeficientul de frecare} \quad (3.61)$$

și $\sigma[\cdot]$ reprezintă funcția:

$$\sigma[x] \stackrel{def}{=} \begin{cases} \frac{x}{|x|} & \text{dacă } x \neq 0 \\ [-1,1] & \text{dacă } x = 0 \end{cases} \quad \forall x \in \mathbb{R}$$

De asemenea, este cunoscută poziția inițială admisă:

$$u_0 \in S \quad (3.62)$$

Se cunoaște că u_0, f, K și μ sunt:

$$\begin{aligned} \text{(i)} \quad & k_{11} - \mu|k_{21}| \leq 0 \\ \text{(ii)} \quad & u_{02} = 0, \quad (f_1(0) - k_{11}u_{01})\sigma[k_{21}] = \mu(f_2(0) - k_{21}u_{01}) > 0 \\ \text{(iii)} \quad & \dot{f}_1(0)\sigma[k_{21}] - \mu\dot{f}_2(0) > 0 \end{aligned} \quad (3.63)$$

atunci există funcții nu absolut continue u și N care pot arăta că soluțiile ecuațiilor (3.58) și (3.59) pentru toți $t \in I$ există (3.60), adică, aproape peste tot în I , unde $T > 0$ cu condiția inițială:

$$u(0) = u_0 \quad (3.64)$$

Pe de altă parte se știe că la aceeași forță f aplicată, aceeași matrice de rigiditate K și același coeficient de frecare μ există condiții inițiale u_0^* , astfel că pot fi găsite funcțiile continue diferențiabile u^* și N^* care sunt soluții ale ecuațiilor (3.58), (3.59) și (3.60) la orice $t \in I$, cu $T > 0$ suficient de mic și cu u^* și N^* înlocuind pe u și N și astfel:

$$u^*(0) = u_0^*$$

În cele ce urmează arătăm că necunoscute sunt:

$$J = [0, S), S > 0 \text{ - lungimea arcului} \quad (3.65)$$

$\theta: J \rightarrow I$ - funcție surjectivă absolut continuă cu derivata la dreapta finită,

$$\theta'^+ \text{ oricare ar fi } s \in J \quad (3.66)$$

$U: J \rightarrow \mathbb{R}^2$ - funcție absolut continuă cu derivata la dreapta finită U'^+

$$\text{oricare ar fi } s \in J, U(s) \text{ reprezintă poziția la momentul } \theta(s) \text{ dacă } \theta'^+(s) > 0 \quad (3.67)$$

$N: J \rightarrow \mathbb{R}^2$ - funcție continuă la dreapta, pentru $s \in J$, $N(s)$ este

$$\text{reacțiunea la momentul } \theta(s) \text{ dacă } \theta'^+(s) > 0 \quad (3.68)$$

$\gamma: J \rightarrow \mathbb{R}$ - funcție continuă la dreapta, pentru $s \in J$, $\gamma(s)$ este o mărime ce exprimă dimensiunea forței de readucere a echilibrului cu respectarea parametrizării vitezei $U'^+(s)$.

Aceste necunoscute trebuie să satisfacă următoarele condiții:

$$U(0) = u_0, \quad \theta(0) = 0 \text{ - condițiile inițiale} \quad (3.70)$$

$$U_2(s) \leq 0, \quad N_2(s) \leq 0, \quad U_2(s)N_2(s) = 0 \text{ pentru toți } s \in J \text{ - condiția contactului unilateral} \quad (3.71)$$

$$N_1(s) \in \mu N_2(s) [U_1'^+(s)] \text{ pentru toți } s \in J \text{ - legea de frecare Coulomb} \quad (3.72)$$

$$\gamma(s)U^+(s) + KU(s) = f(\theta(s)) + N(s) \text{ pentru toți } s \in J \text{ - ecuația mișcării} \quad (3.73)$$

$\dot{\theta}^+(s) \geq 0$, $\gamma(s) \geq 0$, $\dot{\theta}^+(s)\gamma(s) = 0$ pentru toți $s \in J$ - forța de readucere a echilibrului se anulează când timpul variază și timpul nu variază când forța de readucere a echilibrului nu se anulează. (3.74)

$$\dot{\theta}^+(s) + |\dot{U}^+(s)| = 1 \text{ pentru toți } s \in J \text{ - normalizarea lungimii arcului} \quad (3.75)$$

Se dorește determinarea funcțiilor necunoscute θ și U prin rezolvarea incluziunii diferențiale:

$$(\dot{\theta}(s), \dot{U}(s)) \in X(\theta(s), U(s)) \quad (3.76)$$

cu condiția inițială:

$$\theta(0) = 0, \quad U(0) = u_0 \quad (3.77)$$

Partea dreaptă a ecuației (3.76) se obține prin evaluarea unei funcții multivoce $X(x, y)$ definită în \mathfrak{R}^3 .

Se va construi această funcție multivoce în termenii unor funcții auxiliare.

Considerăm orice extensie C^1 a forței aplicate care în N satisface relația (3.56);

$$f \in C^1(\mathfrak{R}; \mathfrak{R}^2), \text{ cu } \dot{f}(t) \neq 0, \text{ pentru toți } t \in \mathfrak{R} \quad (3.56')$$

Astfel pentru $x \in \mathfrak{R}$ și $y = (y_1, y_2) \in \mathfrak{R}^2$ considerăm:

$$G(x, y) = f(x) - Ky; \quad E(x, y) = |G_1(x, y)| - \mu G_2(x, y) \quad (3.78)$$

unde G este de clasă C^1 și funcția E este continuă Lipschitz.

Pentru $s \geq 0$ se poate scrie:

$$G(s) = G(\theta(s), U(s)), \quad E(s) = E(\theta(s), U(s)) \quad (3.79)$$

Cu aceste notații ecuația de echilibru (3.73) poate fi scrisă în următoarea formă echivalentă:

$$\gamma(s)U^+(s) = G(s) + N(s); s \in J \quad (3.80)$$

Atunci, este posibil să arătăm că pentru $\gamma(s) \geq 0$ (3.74), condițiile contactului cu frecare (3.73) și ecuația (3.74) sunt satisfăcute pentru orice $s \in J$ dacă:

$$N(s) = \begin{cases} 0 & \text{dacă } U_2(s) < 0, \text{ sau } U_2(s) \geq 0, G_2(s) \leq 0 \\ -G(s) & \text{dacă } U_2(s) \geq 0, G_2(s) > 0, E(s) < 0 \\ -(\mu\sigma[G_1(s)], 1)G_2(s) & \text{dacă } U_2(s) \geq 0, G_2(s) > 0, E(s) \geq 0 \end{cases} \quad (3.81)$$

și $U^+(s)$ aparține mulțimii $\mathfrak{N}(s)$ definită prin:

$$\mathfrak{N}(s) = \left\{ v \in \mathfrak{R}^2 : v_2 \leq 0, \text{ dacă } U_2(s) \geq 0, G_2(s) \leq 0, \right. \\ \left. v = 0, \text{ dacă } U_2(s) \geq 0, G_2(s) > 0, E(s) < 0 \right. \\ \left. v_2 = 0, v_1 = \beta\sigma[G_1(s)] \text{ cu } \beta \geq 0 \right. \\ \left. \text{dacă } U_2(s) \geq 0, G_2(s) > 0, E(s) \geq 0 \right\} \quad (3.82)$$

Dacă luăm $Y(s) \in \mathfrak{N}(s)$ definită prin:

$$Y(s) = G(s) + N(s) = \begin{cases} G(s) & \text{dacă } U_2(s) < 0, \text{ sau } U_2(s) \geq 0, G_2(s) \leq 0 \\ 0 & \text{dacă } U_2(s) \geq 0, G_2(s) > 0, E(s) < 0 \\ (E(s)\sigma[G_1(s)], 0) & \text{dacă } U_2(s) \geq 0, G_2(s) > 0, E(s) \geq 0 \end{cases} \quad (3.83)$$

Rezultă că ecuația de echilibru se poate scrie în forma:

$$\gamma(s)\dot{U}^+(s) = Y(s), \quad s \in J \quad (3.84)$$

Folosind acum (3.74) și (3.75) obținem:

$$|Y(s)| = \gamma(s)|\dot{U}^+(s)| = \gamma(s)(1 - \dot{\theta}^+(s)) = \gamma(s)$$

unde

$$\gamma(s) = \begin{cases} |G(s)| & \text{dacă } U_2(s) < 0, \text{ sau } U_2(s) \geq 0, G_2(s) \leq 0 \\ 0 & \text{dacă } U_2(s) \geq 0, G_2(s) > 0, E(s) < 0 \\ E(s) & \text{dacă } U_2(s) \geq 0, G_2(s) > 0, E(s) \geq 0 \end{cases} \quad (3.85)$$

Se poate concluziona că condițiile (3.71) – (3.75) sunt satisfăcute pentru fiecare $s \in J$ dacă:

$$\begin{aligned} \dot{U}^+(s) &\in \mathfrak{N}(s), \\ \dot{\theta}^+(s) &= [0, 1], \\ |\dot{U}^+(s)| &= 1 - \dot{\theta}^+(s), \end{aligned} \quad (3.86)$$

$$|Y(s)|\dot{U}^+(s) = Y(s)$$

sau echivalent, dacă pentru toți $s \in J$

$$\dot{\theta}^+(s) = 0, \dot{U}^+(s) = \frac{Y(s)}{|Y(s)|}, \quad \text{dacă } Y(s) \neq 0 \quad (3.87)$$

$$\dot{\theta}^+(s) = \xi, \dot{U}^+(s) \in \mathfrak{N}(s), |\dot{U}^+(s)| = 1 - \xi, \xi \in [0, 1], \quad \text{dacă } Y(s) = 0 \quad (3.88)$$

Într-o formă explicită aceste condiții sunt:

$$\dot{\theta}^+(s) = 0, \dot{U}^+(s) = \frac{G(s)}{|G(s)|}, \quad \text{dacă } U_2(s) < 0, G(s) \neq 0,$$

$$\text{sau dacă } U_2(s) \geq 0, G_2(s) < 0,$$

$$\text{sau dacă } U_2(s) \geq 0, G_2(s) = 0, E(s) > 0;$$

$$\dot{\theta}^+(s) = \xi \in [0, 1], \dot{U}^+(s) = (z_1, z_2) \in \mathfrak{R}^2, z_1^2 + z_2^2 = (1 - \xi)^2, \quad \text{dacă } U_2(s) < 0,$$

$$G(s) = 0;$$

$$\dot{\theta}^+(s) = \xi \in [0, 1], \dot{U}^+(s) = (z_1, z_2) \in \mathfrak{R}^2, z_2 \leq 0, z_1^2 + z_2^2 = (1 - \xi)^2,$$

$$\text{dacă } U_2(s) \geq 0, G(s) = 0; \quad (3.89)$$

$$\dot{\theta}^+(s) = 1, \dot{U}^+(s) = 0, \quad \text{dacă } U_2(s) \geq 0, G_2(s) > 0, E(s) < 0;$$

$$\dot{\theta}^+(s) = 0, \dot{U}^+(s) = (\sigma[G_1(s)], 0), \quad \text{dacă } U_2(s) \geq 0, G_2(s) > 0, E(s) > 0;$$

$$\dot{\theta}^+(s) = \xi \in [0, 1], \dot{U}^+(s) = ((1 - \xi)\sigma[G_1(s)], 0), \quad \text{dacă } U_2(s) \geq 0, G_2(s) > 0,$$

$$E(s) = 0.$$

Pentru $(\theta(s), U(s))$ în regiunea deschisă a lui \mathfrak{R}^3 definită prin:

$$\{(x, y) \in \mathfrak{R}^3 : y_2 < 0, G(x, y) \neq 0\}$$

$$\{(x, y) \in \mathfrak{R}^3 : y_2 > 0, G_2(x, y) < 0\}$$

$$\left. \begin{aligned} \{x, y\} \in \mathfrak{R}^3 : y_2 > 0, G_2(x, y) > 0, E(x, y) < 0 \\ \{x, y\} \in \mathfrak{R}^3 : y_2 > 0, G_2(x, y) > 0, E(x, y) > 0 \end{aligned} \right\} \quad (3.90)$$

mulțimea funcțiilor multivoce considerate în incluziunea diferențială (3.76) au în regiunile deschise (3.90) valorile date de (3.89). Pe fiecare punct al frontierelor acestei regiuni mulțimea valorilor lui X e o combinație complexă de valori în regiuni adiacente. Această procedură arată semicontinuitatea superioară a lui X în sensul funcțiilor multivoce. Astfel se poate defini X prin:

$$X(x, y) = \begin{cases} \left(0, \frac{G}{|G|} \right) & \text{dacă } y_2 < 0, G \neq 0, \text{ sau dacă } y_2 \geq 0, G_2 < 0 \\ (0, \sigma[G_1], 0) & \text{dacă } y_2 > 0, G_2 \geq 0, E > 0 \\ (1, 0, 0) & \text{dacă } y_2 > 0, G_2 > 0, E > 0 \\ (\xi, (1 - \xi)\sigma[G_1], 0) & \text{dacă } y_2 > 0, G_2 > 0, E = 0, \xi \in [0, 1] \\ (0, \sigma[G_1], 0) & \text{dacă } y_2 = 0, G_2 = 0, E > 0 \\ \left(\xi, (1 - \xi) \frac{G}{|G|} \right) & \text{dacă } y_2 = 0, G_2 > 0, E < 0, \xi \in [0, 1] \\ \left(0, \xi \frac{G}{|G|} + (1 - \xi)\sigma[G_1], 0 \right) & \text{dacă } y_2 = 0, G_2 > 0, E > 0, \xi \in [0, 1] \\ T & \text{dacă } y_2 = 0, G_2 > 0, E = 0 \\ C & \text{dacă } y_2 < 0, G = 0 \\ C^- & \text{dacă } y_2 > 0, G = 0 \\ C & \text{dacă } y_2 = 0, G = 0 \end{cases} \quad (3.91)$$

Studiul soluțiilor ecuațiilor (3.76) și (3.77)

Ținând cont de ecuația (3.79) pentru $s \geq 0$ considerăm mulțimile:

$$A(s) = k_{11} - \mu k_{12} \sigma[G_1(s)], \quad B(s) = \dot{f}_1(\theta(s)) \sigma[G_1(s)] - \mu \dot{f}_2(\theta(s)) \quad (3.92)$$

De menționat că $A(s), B(s) \in \mathfrak{R}$ dacă $G_1(s) \neq 0$. În acest caz A este o constantă și B este o funcție continuă într-o vecinătate a lui s datorită lui (3.56'), iar pentru continuitatea lui G_1 rezultă:

$$B_+(s) = \begin{cases} B(s), & \text{dacă } B(s) \geq 0 \\ 0, & \text{dacă } B(s) < 0 \end{cases} \quad B_-(s) = \begin{cases} -B(s), & \text{dacă } B(s) \leq 0 \\ 0, & \text{dacă } B(s) > 0 \end{cases}$$

Sunt necesare următoarele notații: pentru $t \in I$ și $s \geq 0$

$$\begin{aligned} b^*(t) &= |\dot{f}_1(t)| - \mu \dot{f}_2(t), & B^*(s) &= b^*(\theta(s)), \\ h^*(t) &= k_{11} \dot{f}_2(t) - k_{12} \dot{f}_1(t), & H^*(s) &= h^*(\theta(s)) \end{aligned} \quad (3.93)$$

În final avem:

$$A^* = k_{11} - \mu|k_{12}| \quad (3.94)$$

Observația 3.1 Se observă că $k_{12} \neq 0$ ori de câte ori $A^* = 0$, în plus, pentru toți $s \geq 0$ cu $G_1(s) \neq 0$ rezultă:

$$B(s) \leq B^*(s), B_+(s) \leq B_+^*(s), A^* \leq A(s)$$

dacă $A(s) = 0$, atunci $k_{12}\sigma[G_1(s)] > 0$ și $A^* = 0$ (3.95)

Motivul pentru care H^* este relevant este următorul: în cele ce urmează vom considera o valoare $s_0 \geq 0$ astfel încât $U_2(s_0) = 0, G(s_0) = 0$ iar din (3.78)

avem $(K^{-1}f)_2(\theta(s_0)) = 0$. Acum $h^* = \det K(K^{-1}f)_2$; iar semnul lui $H^*(s_0)$ oferă informații despre comportamentul lui U_2 într-o vecinătate la dreapta a lui s_0 .

Definiție

O soluție maximală (θ, U) pentru (3.76) și (3.77) este uniform locală pentru $s \geq 0$ dacă există $s_1 > s_0$ și un indice $i = 1, \dots, 12$ astfel că:

(a) pentru toți $s \in (s_0, s_1]$, $(U_2(s), G(s)) \in S_i$

(b) $\dot{\theta}(s) + |\dot{U}(s)| = 1$ pentru $s \in (s_0, s_1)$

(c) dacă există configurații care satisfac (a) și (b) atunci pentru toți $s \in (s_0, s_1)$ valoarea $\theta(s)$ este minimală printre toate valorile date de relația (3.76).

Spunem că soluția maximală (θ, U) pentru (3.76) și (3.77) este uniformă local dacă ea este uniform locală pentru orice $s_0 \geq 0$.

Spunem că (θ, U) admite o continuitate local uniformă pentru $s_0 \geq 0$ dacă există $s_1 > s_0$ și perechea $(\bar{\theta}, \bar{U})$ definită pe $[s_0, s_1]$ satisface $(\bar{\theta}(s), \bar{U}(s)) \in X(\bar{\theta}(s), \bar{U}(s))$ aproape peste tot, astfel că avem:

$$\bar{\theta}(s_0) = \theta(s_0), \bar{U}(s_0) = U(s_0) \quad (3.96)$$

și funcția multivoce:

$$(\theta(s), U(s)) \text{ pentru } s \in [0, s_0],$$

$$(\bar{\theta}(s), \bar{U}(s)) \text{ pentru } s \in [s_0, s_1] \text{ este local uniformă în } s_0.$$

Evident dacă o pereche $(\bar{\theta}, \bar{U})$ este local uniform continuă atunci (3.92) și (3.93) ne permite să definim $\bar{G}(s), \bar{E}(s), \bar{A}(s), \bar{B}(s), \bar{B}^*(s), \bar{H}^*(s)$ pentru toți $s \in [s_0, s_1]$.

Observația 3.2

Condiția (c) din definiția de mai sus este necesară deoarece (θ, U) este netedă la dreapta lui s_0 și evoluția sa în vecinătatea la dreapta a lui s_0 este unic determinată.

Pentru a studia soluțiile uniforme locale se face următoarea ipoteză asupra sistemului de forțe f . Mai întâi considerăm următoarele notații: pentru toți $v, w \in \mathfrak{R}^2$, luăm $\pi[v, w] = v_1w_2 - v_2w_1$;

Ipoteză. Pentru orice $t_0 \geq 0$, există $t_1 > t_0$ astfel că pe intervalul $(t_0, t_1]$ mărimea $\pi[\dot{f}(t), \dot{f}(t_0)]$ este fie pozitivă, fie negativă sau identic nulă.

Observația 3.3

Această ipoteză ne permite să evităm oscilațiile asimptotice ale vectorului $\dot{f}(t)$. Această presupunere este satisfăcută la t_0 dacă există $t_1 > t_0$ și un vector unitar $v_0 \in \mathfrak{R}^2$ și o funcție $\lambda_0 : [t_0, t_1] \rightarrow \mathfrak{R}$ astfel că $\lambda_0(t) \geq 0$ și $\dot{f}(t) = \lambda_0(t)v_0$, pentru toți $t \in [t_0, t_1]$.

În condițiile ipotezei de mai sus putem declara existența continuității uniforme local pentru toți $s_0 \geq 0$.

În cele ce urmează, fie (θ, U) o soluție maximală pentru (3.76) și (3.77)

(a) dacă $U_2(s_0) < 0$, $G(s_0) \neq 0$ atunci există o soluție local uniform continuă și unică pentru (θ, U) la s_0 obținută prin perechea $[\bar{\theta}, \bar{U}]$ care satisface relația 3.96 și pentru $s_1 > s_0$ rezultă

$$\bar{\theta}(s) = 0, \quad \bar{U}(s) = \frac{\bar{G}(s)}{|\bar{G}(s)|}, \quad s \in (s_0, s_1) \quad (3.97)$$

Configurația pe intervalul (s_0, s_1) este aceeași ca și în s_0

(b) dacă $U_2(s_0) = 0$, $G_2(s_0) < 0$ atunci $s_0 = 0$ și există $s_1 > s_0$ astfel că $U_2(s) < 0$, $G_2(s) < 0$ pentru toți $s \in (s_0, s_1)$. În particular există o soluție local uniform continuă unică (θ, U) la s_0 obținută prin considerarea perechii $[\bar{\theta}, \bar{U}]$ care satisface (3.96) și (3.97).

(c) dacă $U_2(s) = 0$, $G_2(s) > 0$, $E(s_0) < 0$, atunci există o soluție local continuă uniformă unică obținută prin considerarea perechii $[\bar{\theta}, \bar{U}]$ care satisface (3.97) și (3.98) și pentru $s_1 > s_0$

$$\bar{\theta}(s) = 1, \quad \bar{U}(s) = 0, \quad s \in (s_0, s_1) \quad (3.98)$$

Configurația pe intervalul (s_0, s_1) este aceeași ca și în s_0 .

(d) dacă $U_2(s_0) = 0$, $G_2(s_0) > 0$, $E(s_0) > 0$ atunci există o soluție local continuă uniformă unică pentru (θ, U) la s_0 obținută prin considerarea perechii care satisface (3.96) și pentru $s_1 > s_0$

$$\bar{\theta}(s) = 0, \quad \bar{U}_1 = \sigma[\bar{G}_1(s_0)], \quad \bar{U}_2(s) = 0, \quad s \in (s_0, s_1) \quad (3.99)$$

Configurația pe intervalul (s_0, s_1) este aceeași ca și în s_0 . Mai mult dacă $A(s_0) \leq 0$ atunci există s_2, s_3 astfel că $s_3 > s_2 > s_1$ și

$$\begin{aligned} \bar{U}_2(s) &= 0, \quad \bar{G}_2(s) > 0, \quad \bar{E}(s) > 0, \quad \text{pentru toți } s \in [s_0, s_2) \\ \bar{U}_2(s_2) &= 0, \quad \bar{G}_2(s_2) = 0, \quad \bar{E}(s_2) > 0, \\ \bar{U}_2(s) &< 0, \quad \bar{G}_2(s) > 0, \quad \text{pentru toți } s \in (s_2, s_3) \\ \bar{U}_2(s_3) &< 0, \quad \bar{G}(s_3) = 0. \end{aligned}$$

astfel, sistemul e rezolvat în s_0 într-o formă definită ca mai sus.

(e) dacă $U_2(s_0) = 0$, $G_2(s_0) = 0$, $E(s_0) > 0$ atunci există o soluție local continuă uniformă, unică, pentru (θ, U) la s_0 obținută prin considerarea perechii care satisface (3.96) și pentru orice $s_1 > s_0$:

1. dacă $k_{12}\sigma[G_1(s_0)] < 0$ atunci

$$\begin{aligned} \bar{U}_2(s) &= 0, \quad \bar{G}_2(s) > 0, \quad \bar{E}(s) > 0, \\ \bar{\theta}(s) &= 0, \quad \bar{U}_1(s) = \sigma[G_1(s_0)], \quad \bar{U}_2(s) = 0, \quad s \in (s_0, s_1) \end{aligned} \quad (3.100)$$

2. dacă $k_{12}\sigma[G_1(s_0)] > 0$ atunci

$$\begin{aligned} \bar{U}_2(s) &< 0, \quad \bar{G}_2(s) < 0, \quad \bar{E}(s) > 0, \\ \bar{\theta}(s) &= 0, \quad \bar{U}(s) = \frac{\bar{G}(s)}{|\bar{G}(s)|}, \quad s \in (s_0, s_1) \end{aligned} \quad (3.101)$$

3. dacă $k_{12} = 0$ atunci

$$\begin{aligned} \bar{U}_2(s) &= 0, \quad \bar{G}_2(s) = 0, \quad \bar{E}(s) > 0, \\ \bar{\theta}(s) &= 0, \quad \bar{U}_1(s) = \sigma[G_1(s_0)], \quad \bar{U}_2(s) = 0, \quad s \in (s_0, s_1) \end{aligned} \quad (3.102)$$

(f) dacă $U_2(s_0) < 0$, $G_2(s_0) = 0$, atunci există o soluție local continuă uniformă, unică, pentru (θ, U) la s_0 obținută prin considerarea perechii care satisface (3.96) și pentru orice $s_1 > s_0$:

$$\bar{\theta}(s) = \frac{1}{1 + |K^{-1}\dot{f}(\bar{\theta}(s))|}, \quad \bar{U}(s) = \bar{\theta}(s)K^{-1}\dot{f}(\bar{\theta}(s)), \quad s \in (s_0, s_1) \quad (3.103)$$

(g) dacă $U_2(s_0) = 0$, $G_2(s_0) > 0$, $E(s_0) = 0$, $A(s_0) > 0$ atunci există o soluție local continuă uniformă, unică, pentru (θ, U) la s_0 obținută prin considerarea perechii care satisface (3.96) și pentru orice $s_1 > s_0$:

$$\bar{\theta}(s) = \frac{A(s_0)}{A(s_0) + \bar{B}_+(s)}, \quad \bar{U}_1(s) = \frac{\bar{B}_+(s)}{A(s_0) + \bar{B}_+(s)} \sigma[G_1(s_0)], \quad \bar{U}_2(s) = 0, \quad s \in (s_0, s_1) \quad (3.104)$$

(h) dacă $U_2(s_0) = 0$, $G_2(s_0) > 0$, $E(s_0) = 0$, $A(s_0) \leq 0$ atunci există o soluție local continuă uniformă, unică, pentru (θ, U) la s_0 obținută prin considerarea perechii care satisface (3.96) și pentru orice $s_1 > s_0$:

$$\bar{\theta}(s) = 0, \quad \bar{U}_1(s) = \sigma[G_1(s_0)], \quad \bar{U}_2(s) = 0, \quad s \in (s_0, s_1) \quad (3.105)$$

În plus, $U_2 = 0$, $G_2 > 0$, $E > 0$, pe (s_0, s_1) , dacă $A(s_0) < 0$; $U_2 = 0$, $G_2 > 0$, $E = 0$ pe (s_0, s_1) , dacă $A(s_0) = 0$.

Reamintim că condiția de admisibilitate $U_2(s) \leq 0, s \geq 0$ pentru determinarea soluțiilor maximale ale ecuațiilor (3.76) și (3.77) pe configurația care nu este în lista (a) - (h) este următoarea:

(k) dacă $U_2(s_0) = 0$, $G(s_0) = 0$. Aceasta este o situație dificilă deoarece sistemul poate evolua pe mai multe configurații.

Existența soluțiilor pentru problema P

Demonstrăm că o soluție a problemei P poate fi obținută dintr-o soluție local uniformă. Primul pas în procedeul demonstrației este a arăta cum se obțin funcțiile γ și N . Un mod rezonabil este cel bazat pe relația (3.85) care permite definirea lui γ . De asemenea putem utiliza relația (3.80) pentru a defini reacțiunea N .

Dăm mai jos următorul rezultat.

Funcția γ definită prin relația (3.85) este continuă la dreapta pe $[0, +\infty)$ care nu este strict pozitivă. Dacă $A^* \geq 0$ atunci γ este necresătoare.

Pasul al doilea arată cum se determină intervalul necunoscut $J = [0, S)$. Deoarece funcția θ e definită și continuă pe $[0, +\infty)$ cu $\theta(0) = 0$ este evident că o condiție suficientă pentru existența unei valori a lui s astfel încât $\theta(s) = T$ este nemărginirea lui pe θ . Pentru a demonstra această proprietate considerăm mulțimea:

$$Z = \{s \geq 0 : \dot{\theta}^+(s) = 0\} \quad (3.106)$$

amintim că $\dot{\theta}^+$ există pentru orice $s \geq 0$.

Propoziția 3.3

Presupunem $A^* > 0$. Dacă mulțimea Z nu este vidă atunci coincide cu intervalul $[0, \varepsilon)$ pentru orice $\varepsilon > 0$. În plus, θ este nemărginit.

Demonstrație

Există un $s_0 \geq 0$ astfel încât $\gamma(s) = 0$ pentru toți $s \geq s_0$. Din relația (3.85) doar pentru $s \geq s_0$ avem unul din următoarele cazuri:

- (i) $U_2(s) < 0, G(s) = 0$
- (ii) $U_2(s) = 0, G_2(s) > 0, E(s) < 0$
- (iii) $U_2(s) = 0, G_2(s) > 0, E(s) = 0$
- (iv) $U_2(s) = 0, G(s) = 0$

Din prezentarea cazurilor (a) - (k) rezultă:

$$\dot{\theta}^+(s) \geq \min \left(\frac{1}{1 + |K^{-1}f(\theta(s))|}, \frac{A^*}{k_{11} + \mu|k_{12}| + B_+^*(s)} \right) \quad (3.107)$$

În particular, $Z \subset [0, s_0)$, deci Z este mărginită. Același argument arată că dacă $s \notin Z$ atunci $[s, +\infty) \cap Z = \emptyset$, prin urmare Z este vidă sau se reduce la un singur interval pornind de la zero; punctul final al acestui interval nu poate aparține lui Z . În sfârșit, dacă θ este mărginit ca mai sus atunci din (3.107) și presupunerea (3.56') pentru f implică existența unei mărimi $\beta > 0$ astfel încât $\dot{\theta}^+(s) \geq \beta$ pentru toți $s \notin Z$, ceea ce este imposibil.

Caracterizarea mulțimii Z și nemărginirea lui θ sunt mult mai complicate dacă $A^* \leq 0$. Următoarea observație conține câteva rezultate preliminare pentru cazul $A^* < 0$ bazate pe întreaga discuție a cazurilor (a) - (k).

Observația 3.4

Considerăm $A^* < 0$.

- a) Dacă $s \notin Z$ atunci pot avea loc doar următoarele cazuri:
- (i) $U_2(s) \leq 0, G(s) = 0$
 - (ii) $U_2(s) = 0, G_2(s) > 0, E(s) < 0, E(s) = 0$
- b) Dacă $s \in Z$, atunci au loc următoarele cazuri:
- (z1) $U_2(s) = 0, G_2(s) < 0$ - acest caz are loc doar dacă $s = 0$
 - (z2) $U_2(s) = 0, G_2(s) > 0, E(s) = 0; E > 0$ pe (s, \bar{s}) pentru orice $\bar{s} > s$
 - (z3) $U_2(s) = 0, G_2(s) > 0, E(s) > 0$
 - (z4) $U_2(s) = 0, G_2(s) = 0, E(s) > 0$
 - (z5) $U_2(s) < 0, G(s) \neq 0$ mai precis $G_2(s) < 0$ când $[0, s) \not\subset Z$

În orice caz dacă există $s_1 > s$ astfel încât $[s, s_1) \subset Z$ spunem că Z este deschisă la dreapta. Mai mult, Z este închisă la stânga, deci dacă $s_n \downarrow s_0$ este o secvență în Z , atunci $s_0 \in Z$, și pentru toți $s_0 \in Z$ există $\varepsilon > 0$ astfel încât fie $(s_0 - \varepsilon, s_0) \subset Z$ sau $(s_0 - \varepsilon, s_0) \cap Z = \varnothing$. În sfârșit dacă θ este mărginită atunci $\theta^+(s) \geq \beta$ pentru toți $s \notin Z$ și pentru orice $\beta > 0$.

Acum putem identifica structura mulțimii Z .

Observația 3.5

Fie $A^* < 0$. Mulțimea Z poate fi reprezentată ca $Z = \cup_n [a_n, b_n)$ unde $\{[a_n, b_n)\}$ este o familie finită de intervale astfel încât $[a_n, b_n) \cap [a_k, b_k) = \varnothing$ pentru $n \neq k$ (componentele conectate ale lui Z).

Următoarea observație determină o caracterizare a componentelor lui Z când $A^* < 0$.

Observația 3.6

Fie $A^* < 0$, $s_0 \in Z$ și $[a_0, b_0)$ componenta conectă a lui Z care conține pe s_0 .

Atunci b_0 este finit. Mai mult dacă $a_0 > 0$ atunci există $s_1 \in (a_0, b_0)$ astfel încât:

$$\begin{aligned} U_2(a_0) &= 0, & G_2(a_0) &> 0, & E(a_0) &= 0, \\ U_2 &= 0, & G_2 &> 0, & E &> 0, & \text{pe } (a_0, s_1) \\ U_2(s) &= 0, & G_2(s_1) &= 0, & E(s_1) &> 0, \\ U_2 &< 0, & G_2 &< 0, & \text{pe } (s_1, b_0) \\ U_2(b_0) &< 0, & G(b_0) &= 0. \end{aligned}$$

Observația 3.7

Luând aceleași presupuneri și utilizând aceleași notații ca și în observația precedentă, dacă $(b_0, +\infty) \cap Z \neq \varnothing$ atunci există $c_0 > b_0$ astfel încât (k_{min} este cea mai mică valoare a lui K):

- (i) $U_2 < 0, G = 0$ pe (b_0, c_0)
- (ii) $U_2(c_0) = 0, G(c_0) = 0$

$$\begin{aligned}
 \text{(iii)} \quad c_0 - b_0 &\geq -\frac{A^*}{\det K} G_2(a_0) \\
 \text{(iv)} \quad \frac{c_0 - b_0}{b_0 - a_0} &\geq -\frac{A^* |k_{12}| k_{\min}}{\det K (k_{\min} - A^*)} > 0
 \end{aligned} \tag{3.108}$$

Vom discuta proprietățile pentru cazul $A^* = 0$. Dacă:

$$s^* = \inf\{s \geq 0 : \gamma(s) = 0\} \tag{3.109}$$

atunci $\gamma = 0$ pe $[s^*, +\infty)$.

Din relația (3.85), doar următoarele configurații sunt permise pentru orice $s \geq s^*$:

$$\text{fie } U_2(s) < 0, G(s) = 0 \text{ sau } U_2(s) = 0, G_2(s) \geq 0, E(s) \leq 0 \tag{3.110}$$

Ca și în cazul anterior, rezultatele preliminare se bazează pe întreaga discuție a cazurilor (a) – (k).

Observația 3.8

Presupunem $A^* = 0$ și fie $s > s^*$:

a) Fie $s \notin Z$. Aceasta este adevărat dacă și numai dacă au loc următoarele alternative:

- (i) $U_2(s) < 0, G(s) = 0$
- (ii) $U_2(s) = 0, G(s) = 0$
- (iii) $U_2(s) = 0, G_2(s) > 0, E(s) < 0$
- (iv) $U_2(s) = 0, G_2(s) > 0, E(s) = 0, A(s) > 0$.

b) Dacă $s \in Z$ atunci dacă și numai dacă următoarele alternative au loc: $U_2(s) = 0, G_2(s) > 0, E(s) = 0, A(s) = 0$; în plus dacă θ este mărginit atunci $\dot{\theta}^+(s) \geq \beta$ pentru toți $s \geq s^*, s \notin Z$ pentru orice $\beta > 0$.

c) $Z \cap [s^*, +\infty)$ este închis la stânga și deschis la dreapta. Dacă $s_0 > s^*$ satisface $s_0 \in Z$ atunci au loc cazurile prezentate în cazul observației

3.4 În final, dacă $s^* > 0$ atunci $[0, s^*) \subset Z$.

3.6 Problema unilaterală cu forță analitică

Existența unei soluții locale analitice este arătată prin:

Fie $F : [0, T] \rightarrow \mathfrak{R}^n$ o funcție analitică. Atunci există $T_a > 0$ și funcțiile analitice

$U_a : [0, T_a) \rightarrow \mathfrak{R}^n$ și $N_{aN} : [0, T_a) \rightarrow \mathfrak{R}$ soluții ale problemei

- $\ddot{U}_{aN} + k_N U_{aN} + W U_{aT} = F_N + N_{aN}$ în $[0, T_a)$
- $U_a(0) = U_0 \quad \dot{U}_a(0) = V_0$

- $\ddot{U}_{aT} + K_T U_{aT} + W U_{aN} - F_T \in \partial S_{-\mu N_{aN}} \beta[-\dot{U}_{aT}]$ în $[0, T_a)$
- $U_{aN} \leq 0, N_{aN} \leq 0, U_{aN} N_{aN} \equiv 0$.

Orice altă soluție analitică a problemei este o restricție sau o extensie analitică a acestei soluții.

Dacă nu există $U_{0N} = V_{0N} = 0$, afirmația de mai sus este evidentă, deci ne

concentrăm pe cazul în care $U_{0N} = V_{0N} = 0$. Se va nota prin $F(t) = \sum_{i=0}^{\infty} f_i t^i$,

dezvoltarea în serie de puteri a lui F la $t = 0$; se va considera pentru o soluție seriile formale de puteri:

$$U_n = \sum_{i=2}^{\infty} u_i t^i, \quad N_{aN} = \sum_{i=0}^{\infty} r_i t^i$$

Primul termen al acestor două serii formale trebuie să satisfacă:

- $2u_{2N} = f_{0N} + r_0$
- $u_{2N} \leq 0, r_0 \leq 0, u_{2N} r_0 = 0$

Acest sistem determină unicitatea perechii (u_{2N}, r_0) . Dacă această pereche nu este determinată, analiza pentru determinarea soluției este oprită. Pe de altă parte se va continua inducția până când o pereche $(u_{(i+1)N}, r_i)$ devine diferită de $(0, 0)$. La iterația i problema ce trebuie rezolvată este:

- $i(i+1)u_{(i+1)T} + K_T u_{(i-1)T} + W u_{(i-1)N} = f_{(i-1)T}$
- $(i+1)(i+2)u_{(i+2)N} + k_N u_{iN} + W u_{iT} = f_i + r_i$
- $u_{(i+2)N} \leq 0, r_i \leq 0,$

Trebuie analizate următoarele cazuri.

Cazul 1 Inducția nu se oprește deoarece toate perechile $(u_{(i+2)N}, r_i)$ se anulează.

Rezultă că este o soluție analitică $U_a : [0, T_a) \rightarrow \mathfrak{R}^n$ a problemei:

- $U_a(0) = U_0; \dot{U}_a(0) = V_0$
- $\ddot{U}_a + K U_a = F$, pe $[0, T_a)$

Această soluție asociată cu condiția $N_{aN} \equiv 0$ determină direct soluția analitică a problemei considerate.

Cazul 2 Inducția se oprește la iterația n_0 , deoarece $u_{(n_0+2)N} < 0$. Atunci se poate determina o soluție analitică $U_a : [0, T_a) \rightarrow \mathfrak{R}^n$ a problemei:

- $U_a(0) = U_0; \dot{U}_a(0) = V_0$
- $\ddot{U}_a + K U_a = F$, pe $[0, T_a)$

Dacă este necesar, se restricționează intervalul de timp pe care U_a este definit și avem:

$$\forall t \in (0, T_a), U_{aN}(t) < 0$$

și această soluție asociată cu $N_{aN} \equiv 0$ determină soluția analitică a problemei considerate.

Cazul 3 Inducția se oprește la iterația n_0 , deoarece $r_{n_0} < 0$. Propozițiile anterioare determină o soluție analitică $U_{aT} : [0, T_a) \rightarrow \mathfrak{R}^{n-1}$ a problemei:

- $U_{aT}(0) = 0; \dot{U}_{aT}(0) = 0$
- $\ddot{U}_{aT}(t) + K_T U_{aT}(t) - F_T(t) \in \partial S_{\mu | F_N(t) - W U_{aT}(t)} \beta [-\dot{U}_{aT}(t)], \forall t \in [0, T_a)$

Se restricționează dacă este necesar intervalul de timp pe care este definit U_{0T} și rezultă:

$$\forall t \in (0, T_a), W U_{aT}(t) - F_N(t) < 0$$

și această funcție împreună cu condițiile considerate conduc la:

$$U_{aN} \equiv 0, N_{aN} \equiv W U_{aT} - F_N$$

care determină soluția analitică a problemei considerate.

Unicitatea teoremei provine din faptul că inducția finită sau infinită determină starea de contact sau nu a sistemului într-o vecinătate la dreapta a lui $t = 0$, unicitatea, la starea aleasă apare în virtutea teoremei 1 pagina 214 din [10] sau a propozițiilor enunțate anterior.

Unicitatea locală pentru problema unilaterală a problemei cu forță analitică

Fie $F : [0, T] \rightarrow \mathfrak{R}^n$ o funcție analitică, $U_a : [0, T_a) \rightarrow \mathfrak{R}^n$ soluția analitică locală a problemei P_U și $U \in S([0, T]; \mathfrak{R}^n)$ o soluție arbitrară a problemei P_U . Atunci U_a și U sunt identice în vecinătatea la dreapta a lui $t = 0$:

$$\exists T' \leq T_a, \forall t \in [0, T'), U_a(t) = U(t)$$

Pasul 1 Pentru toate $t \in [0, T_a)$ are loc următoarea estimare:

$$|\dot{U}_T^+ - \dot{U}_{aT}|(t) + |U_T - U_{aT}|(t) \leq C_1 \int_{[0, T]} |N_N - N_{aN}| dt + C_2 \int_0^t |U_N - U_{aN}| dt$$

pentru orice constante reale C_1 și C_2 care depind doar de K și μ .

Vom începe cu:

$$\ddot{U}_T - \ddot{U}_{aT} + K_T(U_T - U_{aT}) + (U_N - U_{aN})W = N_T - N_{aT}$$

Se va multiplica prin $\dot{U}_T^+ - \dot{U}_{aT}$ și se va integra pe intervalul $[0, t]$. Legea frecării lui Coulomb dă:

$$\begin{aligned} \int_{[0, t]} (N_T - N_{aT})(\dot{U}_T^+ - \dot{U}_{aT}) dt &\leq \mu \int_{[0, t]} (N_N - N_{aN})(|\dot{U}_T^+| - |\dot{U}_{aT}|) dt \\ &\leq \mu \int_{[0, T]} |N_N - N_{aN}| |\dot{U}_T^+ - \dot{U}_{aT}| dt \end{aligned}$$

În plus $\int_{[0, t]} \ddot{U}_T \dot{U}_T^+ dt \geq \frac{1}{2} |\dot{U}_T^+|^2(t) - \frac{1}{2} |V_{0T}|^2$ ceea ce conduce la

$$\int_{[0, t]} (\ddot{U}_T - \ddot{U}_{aT})(\dot{U}_T^+ - \dot{U}_{aT}) dt \geq \frac{1}{2} |\dot{U}_T^+ - \dot{U}_{aT}|^2(t)$$

Și astfel, pentru orice $t \in [0, T_a)$

$$\frac{1}{2}|\dot{U}_T^+ - \dot{U}_{aT}|^2(t) + \frac{1}{2}|U_T - U_{aT}|_K^2(t) \leq \mu \int_{[0,t]} |N_N - N_{aN}| |\dot{U}_T^+ - \dot{U}_{aT}| + |W| \int_0^t |U_N - U_{aN}| |\dot{U}_T^+ - \dot{U}_{aT}|$$

ceea ce conduce la estimarea:

$$|\dot{U}_T^+ - \dot{U}_{aT}|(t) + |U_T - U_{aT}|_{K_T}(t) \leq \mu\sqrt{2} \int_{[0,T]} |N_N - N_{aN}| + |W|\sqrt{2} \int_0^t |U_N - U_{aN}|$$

Pasul 2 Pentru orice $t \in [0, T_a)$ următoarea estimare are loc:

$$|\dot{U}_N^+ - \dot{U}_{aN}|(t) + |U_N - U_{aN}|(t) \leq C_3 \int_0^t |U_T - U_{aT}| dt + C_4 \int_0^t |N_{aN}| dt$$

pentru constantele reale C_3 și C_4 care depind numai de K .

Se începe cu:

$$\ddot{U}_N - \ddot{U}_{aN} + k_N(U_N - U_{aN}) + W(U_T - U_{aT}) = N_N - N_{aN}$$

Multiplicând cu $(\dot{U}_N^+ + \dot{U}_N^-)/2 - \dot{U}_{aN}$ și integrând pe $[0, t]$ se obține:

$$\begin{aligned} & \frac{1}{2}|\dot{U}_N^+ - \dot{U}_{aN}|^2(t) + \frac{k_N}{2}|U_N - U_{aN}|^2(t) \\ &= \int_{[0,t]} (N_N - N_{aN}) \left((\dot{U}_N^+ + \dot{U}_N^-)/2 - \dot{U}_{aN} \right) - \int_0^t (\dot{U}_N^+ - \dot{U}_{aN}) W (U_T - U_{aT}) \quad (3.111) \end{aligned}$$

Aici facem următoarele observații:

1. Pe un interval de timp are loc $N_N \dot{U}_{aN} \geq 0$ deoarece, dacă $U_{0N} < 0$ atunci N_N se anulează în vecinătatea lui $t = 0$ la dreapta și dacă $U_{0N} = 0$ atunci funcția analitică dependentă de U_{aN} trebuie să fie necrescătoare în vecinătatea la dreapta a lui $t = 0$.
2. Mărimea $N_N(\dot{U}_N^+ + \dot{U}_N^-) \leq 0$ este nepozitivă. Astfel, fie D o submulțime a lui $[0, T]$ și la orice moment t pentru care viteza are o discontinuitate avem $\dot{U}_N^+(t) \neq \dot{U}_N^-(t)$. Pe $[0, T] \setminus D$ funcția $N_N(\dot{U}_N^+ + \dot{U}_N^-)$ egală cu $N_N \dot{U}_N^-$ care este nepozitivă asigură condiția de contact unilateral. În plus, pentru orice moment $t \in D$ funcția $N_N(\dot{U}_N^+ - \dot{U}_N^-)$ îndeplinește condiția:

$$|\dot{U}_N^+|^2 - |\dot{U}_N^-|^2 = (e^2 - 1)|\dot{U}_N^-|^2 \leq 0$$

care este echivalentă cu legea impactului din mișcarea particulei.

Ținând seama de aceste două elemente din ecuația (3.111) se obține:

$$\int_{[0,t]} (N_N - N_{aN}) \left((\dot{U}_N^+ + \dot{U}_N^-)/2 - \dot{U}_{aN} \right) dt \leq - \int_0^t N_{aN} (\dot{U}_N^+ - \dot{U}_{aN}) dt$$

și astfel rezultă:

$$\frac{1}{2}|\dot{U}_N^+ - \dot{U}_{aN}|^2(t) + \frac{k_N}{2}|U_N - U_{aN}|^2(t) \leq |W| \int_0^t |U_T - U_{aT}| |\dot{U}_N^+ - \dot{U}_{aN}| dt + \int_0^t |N_{aN}| |\dot{U}_N^+ - \dot{U}_{aN}| dt$$

care conduce la estimarea:

$$|\dot{U}_N^+ - \dot{U}_{aN}|(t) + |U_N - U_{aN}|(t) \leq \frac{k_N + 1}{k_N} |W| \sqrt{2} \int_0^t |U_T - U_{aT}| dt + \frac{k_N + 1}{k_N} \sqrt{2} \int_0^t |N_{aN}| dt$$

Pasul 3 Pentru orice $t \in [0, T_a)$ are loc următoarea estimare:

$$\int_{[0,t]} |N_N - N_{aN}| dt \leq |\dot{U}_N^+ - \dot{U}_{aN}|(t) + C_5 \int_0^t |U_N - U_{aN}| dt + C_6 \int_0^t |U_T - U_{aT}| dt + 2 \int_0^t |N_{aN}| dt$$

pentru constantele reale C_5 și C_6 care depind numai de K .

Deoarece N_N este o funcție nepozitivă avem:

$$\int_{[0,t]} |N_N - N_{aN}| dt \leq - \int_{[0,t]} N_N dt + \int_0^t |N_{aN}| dt$$

Astfel se obține estimarea:

$$\begin{aligned} - \int_{[0,t]} N_N dt &= - \int_{[0,t]} (\ddot{U}_N - \ddot{U}_{aN}) dt - \int_0^t (k_N(U_N - U_{aN}) + W(U_T - U_{aT}) + N_{aN}) dt \\ &\leq |\dot{U}_N^+ - \dot{U}_{aN}|(t) + k_N \int_0^t |U_N - U_{aN}| dt + |W| \int_0^t |U_T - U_{aT}| dt + \int_0^t |N_{aN}| dt \end{aligned}$$

echivalentă cu cea din pasul doi cu $C_5 = k_N$ și $C_6 = |W|$.

Pasul 4 Pentru orice $t \in [0, T_a)$ are loc următoarea estimare

$$|\dot{U}_T^+ - \dot{U}_{aT}|(t) + |U_T - U_{aT}|(t) \leq C \int_0^t |N_{aN}| dt$$

pentru constanta C care depinde numai de K, μ și T_a .

Din cei trei pași anteriori rezultă că funcția:

$$\varphi(t) \stackrel{def}{=} |\dot{U}_T^+ - \dot{U}_{aT}|(t) + |U_T - U_{aT}|(t)$$

satisface estimarea:

$$\varphi(t) \leq C_7 \int_0^t \varphi dt + C_8 \int_0^t |N_{aN}| dt$$

Constantele C_7 și C_8 depind de K, μ și T_a

Din lema lui Gronwall se obține:

$$\varphi(t) \leq C_8 \int_0^t |N_{aN}| dt + C_7 C_8 \int_0^t e^{C_7(t-s)} dt \int_0^s |N_{aN}| ds$$

$$\leq C_8 \left(1 + C_7 T_a e^{C_7 T_a}\right) \int_0^t |N_{aN}| dt$$

care este estimarea dorită.

Pasul 5 Concluzii

Deoarece funcția N_{aN} este analitică sunt posibile numai următoarele cazuri:

1. $N_{aN} \equiv 0$. În astfel de situații din pasul patru obținem $U_T \equiv U_{aT}$ și din pasul doi. $U_N \equiv U_{aN}$ Concluzia este adevărată.
2. $\forall t \in (0, T_a]$, $N_{aN}(t) < 0$. Atunci funcția U_{aN} se anulează. Unicitatea soluției a fost demonstrată pentru problema bilaterală. Este suficient să arătăm că $U_N \equiv 0$.

Considerăm cel mai mic T_a , dacă este necesar, avem:

$$\forall t \in (0, T_a] \quad -N_{aN}(t) - C|W| \int_0^t |N_{aN}| dt > 0$$

Multiplicând ecuația:

$$\ddot{U}_N + k_N U_N = N_N - N_{aN} - W(U_T - U_{aT})$$

prin $(\dot{U}_N^+ + \dot{U}_N^-)/2$ și integrând pe $[0, t]$ se obține:

$$\frac{1}{2} |\dot{U}_N^+|^2(t) + \frac{k_N}{2} |U_N|^2(t) = \int_{[0,t]} N_N \frac{\dot{U}_N^+ + \dot{U}_N^-}{2} dt - \int_0^t (N_{aN} + W(U_T - U_{aT})) \dot{U}_N^+ dt$$

Deoarece $N_N(\dot{U}_N^+ + \dot{U}_N^-)$ este o funcție nepozitivă, avem:

$$\int_0^t (N_{aN} + W(U_T - U_{aT})) \dot{U}_N^+ dt \leq 0$$

Integrând prin părți se obține:

$$(N_{aN} + W(U_T - U_{aT})) U_N \leq \int_0^t (\dot{N}_{aN} + W(\dot{U}_T^+ - \dot{U}_{aT})) U_N dt$$

și prin urmare, din pasul patru avem:

$$0 \leq \left\{ |N_{aN}(t) - C|W| \int_0^t |N_{aN}| ds \right\} |U_N|(t) \leq \int_0^t \left\{ |\dot{N}_{aN}(s) + C|W| \int_0^s |N_{aN}| ds \right\} |U_N|(s) ds$$

Notând prin $m \in \mathbb{N}$ ordinul primului termen diferit de zero al dezvoltării în serie de puteri a funcției analitice N_{aN} se poate estima că:

$$\forall t \in (0, T_a), \quad |\dot{N}_{aN}|(t) \leq \frac{m + \tilde{D}t}{t} |N_{aN}|(t)$$

oricare ar fi constantele \tilde{D} nenegative. Se deduce astfel următoarea estimare:

$$\forall t \in (0, T_a), \left| \dot{N}_{aN}(t) + C|W| \int_0^t |N_{aN}| dt \right| \leq \frac{m + Dt}{t} \left| N_{aN}(t) - C|W| \int_0^t |N_{aN}| dt \right|$$

oricare ar fi constanta reală D nenegativă.

Înlocuind această reală în inegalitatea anterioară rezultă:

$$t\psi(t) \leq (m + Dt) \int_0^t \psi dt$$

unde:

$$\psi(t) \stackrel{def}{=} \left\{ N_{aN}(t) - C|W| \int_0^t |N_{aN}| dt \right\} \frac{|U_N(t)|}{t}$$

este o funcție continuă aproape peste tot în vecinătatea lui $t = 0$, mai precis

$\psi(t) = O(t^m)$ când $t \rightarrow 0$. Atunci se poate vedea că:

$$\forall t \in (0, T_a), \frac{d}{dt} \left\{ \frac{e^{-Dt}}{t^m} \int_0^t \psi dt \right\} \leq 0$$

care implică că funcția nenegativă ψ se anulează identic la $t = 0$. Prin urmare $\psi \equiv 0$ și atunci $U_N \equiv 0$ care reprezintă concluzia cerută.

În cazul problemei unilaterale cu forță analitică, din cele de mai înainte se poate arăta că:

Dacă $F : [0, T] \rightarrow \mathfrak{R}^n$ este analitică sau analitică pe porțiuni atunci problema P_U admite o soluție unică în $S([0, T]; \mathfrak{R}^n)$.

Utilizând existența locală a soluției pentru problema P_U și unicitatea locală în S prezentate mai sus, considerăm o soluție maximală U care este definită pe orice subinterval $[0, \eta)$, oricare ar fi $\eta \in (0, T]$ sau pe $[0, T]$. Este suficient de demonstrat că dacă soluția maximală este definită doar pe un subinterval $[0, \eta)$ atunci variația totală a vitezei \dot{U}^+ pe $[0, \eta)$ este finită pentru un asemenea caz, aceasta poate fi posibil pentru dezvoltarea lui U de-a lungul lui $[0, \eta)$ și se obține astfel o contradicție. Deci, se presupune că soluția maximală este definită doar pe $[0, \eta)$. S-a arătat deja că $N_N(\dot{U}_N^+ + \dot{U}_N^-)$ este o funcție nepozitivă datorită condițiilor de contact, ecuației de mișcare și legii ciocnirii.

De asemenea din legea frecării Coulomb $N_T \dot{U}_T^+$ este o mărime nepozitivă. Fie D o submulțime numărabilă al momentelor instantanee $t \in [0, \eta)$ la care viteza tangențială este discontinuă $\dot{U}_T^+(t) \neq \dot{U}_T^-(t)$. Pe $[0, \eta) \setminus D$, funcția $N_T(\dot{U}_T^+ + \dot{U}_T^-)$ este egală cu $N_T \dot{U}_T^+$ care este nepozitivă. La fiecare moment $t \in D$, utilizând ecuația

mișcării împreună cu legea frecării Coulomb, s-a verificat că funcția $N_T(\dot{U}_T^+ + \dot{U}_T^-)$ este nenegativă. În final $N(\dot{U}^+ + \dot{U}^-)$ este o funcție nenegativă.

Multiplcând ecuația mișcării:

$$\ddot{U} + KU = F + N$$

cu $(\dot{U}^+ + \dot{U}^-)/2$ și integrând pe $(0, t]$, $t \in (0, \eta)$ se obține inegalitatea:

$$\frac{1}{2}|\dot{U}^+|^2(t) + \frac{1}{2}|U|_K^2(t) \leq \frac{1}{2}|V_0|^2 + \frac{1}{2}|U_0|_K^2 + \int_0^t F\dot{U}^+ dt$$

Din care rezultă că:

$$|\dot{U}^+|(t) \leq |U_0|_K + |V_0| + \int_0^t |F| dt$$

De aici rezultă că \dot{U}^+ este mărginită pe orice interval $[0, \eta)$. În continuare integrând prima componentă a ecuației de mișcare peste $[0, t]$, $t \in (0, \eta)$ rezultă:

$$\int_{[0,t]} N_N dt = \dot{U}_N^+(t) - V_{0N} + \int_0^t (k_N U_N + W U_T) dt - \int_0^t F_N dt$$

Deoarece \dot{U}^+ este mărginită pe $[0, \eta)$ și N_N este o funcție nepozitivă, avem:

$$\int_{[0,\eta)} |N_N| < \infty$$

Legea frecării Coulomb implică $|N_T| \leq \mu |N_N|$ și prin urmare:

$$\int_{[0,\eta)} |N| < \infty$$

Revenind la ecuația de mișcare rezultă:

$$\int_{[0,\eta)} |\ddot{U}| < \infty$$

care este condiția dorită.

Din considerarea problemei P_U , în cazul particular al ciocnirii neelastice rezultă:

- Dacă se poate extrage un șir de aproximații ce furnizează algoritmul NSCD din care se obține un subșir uniform convergent care furnizează obținerea soluției problemei P_U .
- Dacă $F \notin L^1$, presupusă analitică pe porțiuni, problema P_U admite o soluție unică în S .

3.7 Contribuții personale

- S-a elaborat schema logică a algoritmului NSCD pentru metoda contactului dinamic neneted [62]
- Sunt prezentate principiile teoretice care stau la baza construirii șirurilor de aproximații ale vitezelor necesare determinării soluției problemei P_U
- S-a realizat o schema de discretizare în viteze[63] privind contactul cu frecare a unei particule materiale din R^2
- S-a arătat că variația vitezei de aproximare este mărginită pe un interval.

4.SIMULAREA SISTEMELOR MECANICE CU LEGĂTURI UNILATERALE ȘI FRECARÉ

4.1 Problema evoluției în spațiul bidimensional

Se analizează spațiul bidimensional pentru problema reprezentată în figura 2.1 și se alege legea de ciocnire plastică. Evoluția sistemului este descrisă de relațiile[64]:

$$\begin{aligned}
 P'_u : U \in S([0, T]; \mathbb{R}^2) \text{ și } N \in M([0, T]; \mathbb{R}^2) \text{ astfel că:} \\
 m\ddot{U} + KU = F + N \\
 U(0) = U_0, \dot{U}^+(0) = V_0 \\
 U_N \leq 0, N_N \leq 0, U_N N_N = 0 \\
 \forall V \in C^0([0, T]; \mathbb{R}), \int_{[0, T]} |N_T, V - \dot{U}_T^+| - \mu N_N (|V| - |\dot{U}_T^+|) \geq 0 \\
 U_N(t) = 0 \text{ rezultă } \dot{U}_N^+(t) = 0
 \end{aligned} \tag{4.1}$$

Rezultatele anterioare furnizează existența și unicitatea soluției pentru această problemă pe $[0, T]$ pentru o forță F analitică. Forța exterioară F aplicată a fost aleasă constantă, problema studiată admite o soluție unică care este analitică. Toți coeficienții matricei $[K]$ au fost aleși pozitivi și $\det K > 0$.

Analiza stărilor de echilibru

Dăm mai jos următoarea propoziție:

Propoziția 4.1

Problema dinamică (4.1) admite o stare de echilibru unică U^e , dacă se notează prin $A = K_T F_N - W F_T$ atunci pot interveni următoarele situații:

- Dacă $A < 0$ - pentru $\mu \leq \frac{K_T}{W}$ soluția de echilibru de zbor este unică,
- pentru $\mu > \frac{K_T}{W}$ există două soluții de echilibru, una de zbor și una de alunecare pozitivă.
- Dacă $A = 0$ - pentru $\mu \leq \frac{K_T}{W}$ există o soluție unică de echilibru în contact neted,
- pentru $\mu = \frac{K_T}{W}$ există o infinitate de soluții de alunecare,

- pentru $\mu > \frac{K_T}{W}$ există o soluție de echilibru de contact neted

și o infinitate de soluții de contact blocat.

- Dacă $A > 0$ există o infinitate de soluții de contact blocat și una sau două poziții de echilibru de alunecare.

Starea de echilibru a problemei (4.1) este soluția următoarei probleme P_S :

P_S : Există $(U, N) \in (\mathbb{R}^2, \mathbb{R}^2)$ astfel că:

$$\begin{cases} K\ddot{U} = F + N \\ U_N \leq 0, N_N \leq 0, U_N N_N = 0 \\ |N_T| \leq \mu |N_N| \end{cases}$$

Deoarece sistemul este format numai dintr-o masă materială starea de echilibru sub forța constantă se poate studia separat, fie cu contact fie fără contact. Se studiază doar condiția de existență a soluțiilor fără ca masa să rămână în contact. Dacă masa nu atinge planul orizontal se spune că U_N este strict negativ și deci are ca efect:

$$\begin{cases} U_N = \frac{A}{\det K} \\ U_T = \frac{K_N F_T - W F_N}{\det K} \\ N_N = N_T = 0 \end{cases}$$

Astfel de soluții nu există. Vom cerceta stările de echilibru în contact cu obstacolul. Problema P_S se reduce la:

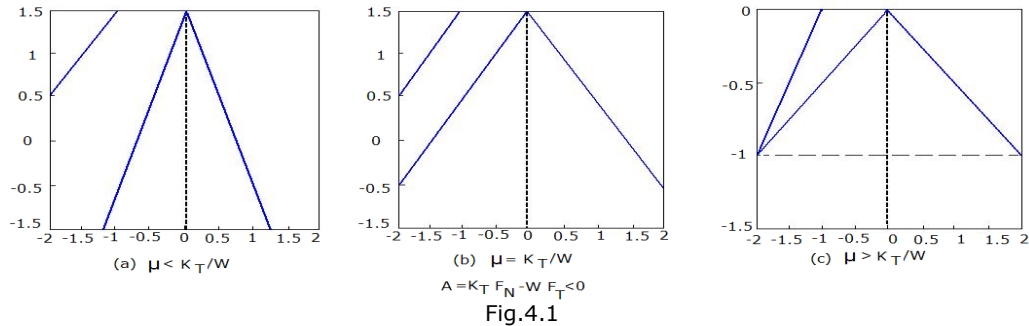
$$\begin{cases} W\ddot{U}_T = F_N + N_N \\ K_T \ddot{U}_T = F_T + N_T \\ U_N \equiv 0 \\ |N_T| \leq \mu |N_N| \end{cases}$$

și astfel se deduce:

$$\begin{cases} N_T = \frac{A}{W} + \frac{K_T}{W} N_N \\ |N_T| \leq \mu |N_N| \end{cases}$$

În planul $\{N_T, N_N\}$ soluțiile echilibrului cu contact se găsesc în intervalul de la dreapta conului lui Coulomb dată de $N_T = \frac{A}{W} + \frac{K_T}{W} N_N$.

Din figura 4.1 se observă că forța exterioară și parametrii de rigiditate sunt astfel încât cantitatea A este strict negativă. Dacă coeficientul de frecare este mai mic decât $\frac{K_T}{W}$ dreapta nu intersectează domeniul. Masa nu atinge obstacolul, aceasta semnifică faptul că soluția în contact este unică și deci nu există soluție cu contact.



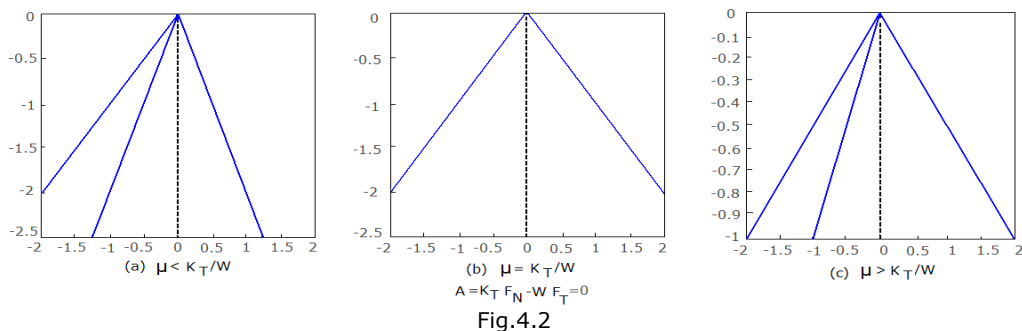
Dacă valoarea lui μ este strict superioară lui $\frac{K_T}{W}$, domeniul admisibil al reacțiunilor normale corespunde intervalului $\left[-\frac{A}{K_T - \mu W}, 0\right)$ iar intersecția sa cu dreapta semnifică existența unei singure soluții la alunecarea pozitivă a particulei materiale.

În toate celelalte cazuri care apar nu există soluții fără contact.

Se consideră acum cazul în care A este nul, reprezentat în figura 4.2. Dacă coeficientul de frecare este strict mai mic decât $\frac{K_T}{W}$, dreapta intersectează domeniul de admisibilitate al reacțiunilor în domeniul exact în vârful conului de frecare. Deci în acest punct alunecarea cu reacțiunea nulă este singura soluție a problemei de echilibru.

Dacă coeficientul de frecare μ este egal cu $\frac{K_T}{W}$, toate punctele situate pe partea stângă a conului lui Coulomb sunt soluții deoarece domeniul admisibil al reacțiunilor normale este $(-\infty, 0]$. Există prin urmare o infinitate de soluții în alunecarea pozitivă și una pentru care reacțiunea este nulă.

Dacă coeficientul de frecare este mai mare decât $\frac{K_T}{W}$ se obține existența unei infinități de soluții pentru contactul blocat și o poziție unică pentru alunecarea fără reacțiune deoarece dreapta trece din nou printr-un punct al conului.



În cazul când A este strict pozitiv, particularitatea apare în cazul dreptei care nu mai trece printr-un punct al conului.

Dacă coeficientul de frecare este mai mic decât $\frac{K_T}{W}$, domeniul admisibil al reacțiunilor normale corespunde intervalului $\left[-\frac{A}{K_T - \mu W}, -\frac{A}{K_T + \mu W}\right]$. Intersecția acestui interval cu dreapta dă o infinitate de soluții pentru contactul blocat și două poziții pentru alunecare (pozitivă sau negativă). Pentru o valoare a lui μ egală cu $\frac{K_T}{W}$, intervalul $\left(-\infty, -\frac{A}{K_T + \mu W}\right]$ reprezintă domeniul admisibil al reacțiunii normale.

Semidreapta corespunde ansamblului de poziții de echilibru compuse dintr-o infinitate de poziții în contact blocat și unei soluții unice pentru alunecarea negativă.

Dacă coeficientul de frecare μ este strict mai mare decât $\frac{K_T}{W}$ reacțiunea va aparține intervalului $\left(-\infty, -\frac{A}{K_T + \mu W}\right]$. Semidreapta corespunde acestor soluții de echilibru; există încă o infinitate de poziții de echilibru pentru contactul blocat și o soluție unică în alunecarea negativă. Ansamblul pozițiilor de echilibru depind de parametrii de rigiditate, de coeficientul de frecare și de forțele externe.

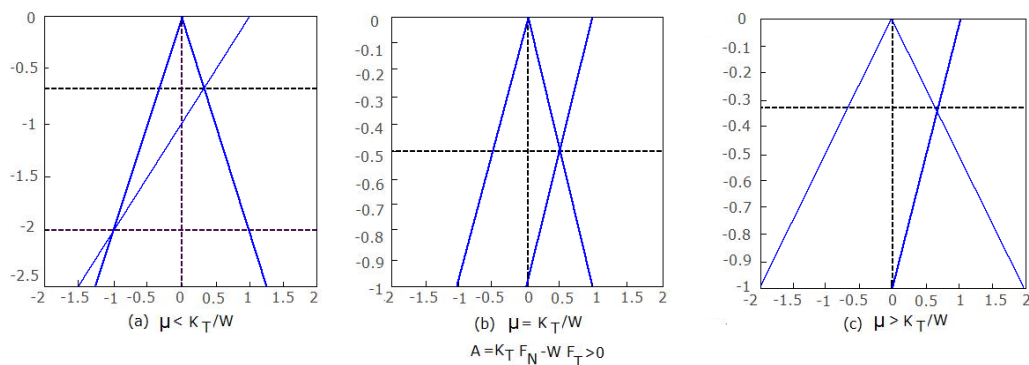


Fig.4.3

Dăm în cele ce urmează următorul rezultat de ansamblu:

Tabelul 4.1

	$\mu < \frac{K_T}{W}$	$\mu = \frac{K_T}{W}$	$\mu > \frac{K_T}{W}$
$A < 0$	- o soluție pentru zbor	- o soluție pentru zbor	- o soluție pentru zbor - o soluție pentru alunecarea pozitivă
$A = 0$	- o soluție pentru contactul în zbor	- o soluție pentru contactul în zbor - o infinitate de soluții pentru alunecarea pozitivă	- o soluție pentru contactul în zbor - o infinitate de soluții pentru contactul blocat
$A > 0$	- 2 soluții pentru alunecarea pozitivă și negativă - o infinitate de soluții pentru contactul blocat	- o soluție pentru alunecarea negativă - o infinitate de soluții pentru contactul blocat	- o soluție pentru alunecarea negativă - o infinitate de soluții pentru contactul blocat

Cele trei situații $A < 0$, $A = 0$, $A > 0$ au fost exemplificate printr-o metodă a secțiunii de intersecție a dreptei D cu conul de frecare (fig.4.1, fig.4.2, fig.4.3).

4.2 Stabilitatea stărilor de echilibru

Stabilitatea stărilor de echilibru prezintă interes deoarece la mici perturbații ale acestor poziții în regim dinamic pot conduce fie la reîntoarcerea la poziția de echilibru, fie la crearea instabilității dinamice. Obținerea acestor rezultate se face cu metoda lui Lyapunov, care pentru cazul nostru conduc la utilizarea algoritmului iterațiilor succesive „NSCD”.

Dăm în cele ce urmează unele rezultate privind sistemul dinamic discretizat considerând următoarele remarci.

Remarca 4.1

1. O perturbație în deplasare corespunde celei de a doua iterații privind perturbația în viteză.
2. O perturbație în viteză corespunde celei de a doua iterații corespunzătoare unei perturbații în cele două direcții ale deplasării.

Din acest motiv este posibil ca în studiul efectuat să ne limităm numai la perturbații în viteze.

Fie (U^e, N^e) cu $U_N^e = 0$ stare de echilibru și $V_{ON} < 0$ o perturbare a acestei stări în viteză normală la $t = 0$. Atunci soluția problemei există chiar și la momentul impactului cu obstacolul $t^{imp} > 0, t^{imp} \in (0, T)$.

O perturbație în viteză normală compatibilă cu o legătură unilaterală la $t = 0$ este aceea că există un interval la dreapta originii în timpul căreia masa începe să zboare. Pe parcursul acestei faze de mișcare fără contact evoluția este descrisă de relațiile următoare:

$$\begin{cases} m\ddot{U}_N + K_N U_N + W U_T = F_N \\ m\ddot{U}_T + K_T U_T + W U_N = F_T \\ U_N(0) = 0, U_T(0) = \frac{F_N + N_N^e}{W} \\ \dot{U}_N(0) = V_{0N}, \dot{U}_T(0) = 0 \end{cases}$$

Soluția acestei probleme se scrie:

$$U(t) = (a_1 \cos(a_1 t) + b_1 \sin(a_1 t))\varphi^1 + (a_2 \cos(a_2 t) + b_2 \sin(a_2 t))\varphi^2 + K^{-1}F \quad (4.2)$$

K^{-1} reprezintă inversa matricei K cu:

$$a_1 = \sqrt{\frac{(K_N + K_T) + \sqrt{(K_N - K_T)^2 + 4W^2}}{2m}}, a_2 = \sqrt{\frac{(K_N + K_T) - \sqrt{(K_N - K_T)^2 + 4W^2}}{2m}}$$

$$\varphi^1 = \left(\frac{1}{K_N - K_T + \sqrt{(K_N - K_T)^2 + 4W^2}}, \frac{1}{2m} \right), \varphi^2 = \left(\frac{1}{K_N - K_T - \sqrt{(K_N - K_T)^2 + 4W^2}}, \frac{1}{2m} \right)$$

$$a_1 = \frac{1}{\varphi_T^1 - \varphi_T^2} \left\{ \frac{A}{\det K} \left(\varphi_T^2 + \frac{K_N}{W} \right) + \frac{N_N^e}{W} \right\}, a_2 = -\frac{1}{\varphi_T^1 - \varphi_T^2} \left\{ \frac{A}{\det K} \left(\varphi_T^1 + \frac{K_N}{W} \right) + \frac{N_N^e}{W} \right\}$$

$$b_1 = \frac{-V_{0N}\varphi_T^2}{a_1(\varphi_T^1 - \varphi_T^2)}, b_2 = \frac{V_{0N}\varphi_T^1}{a_2(\varphi_T^1 - \varphi_T^2)}$$

$$K^{-1}F = \frac{1}{\det K} \begin{pmatrix} A \\ K_N F_T - W F_N \end{pmatrix}$$

Deoarece $\frac{a_1}{a_2} = \frac{p}{q} \in Q$, U_N este o funcție periodică. Trebuie luate câteva precauții

dacă $\frac{\alpha_1}{\alpha_2} \notin Q$. Fie $\tilde{U}_N(t)$ o funcție aproape peste tot periodică din \mathfrak{R} în \mathfrak{R} care

coincide cu $U_N(t)$ pe $[0, +\infty)$. Ne amintim că o funcție f este periodică aproape peste tot [12] dacă în orice intervale $[a, a + I_\varepsilon]$ îi corespunde un număr τ conținut în acest interval. În alți termeni, în toate intervalele I_ε există un număr τ pentru care $|f(t + \tau) - f(t)| < \varepsilon$. Numerele τ se numesc perioade aproape peste tot atașate lui ε . $\tilde{U}_N(t)$ este evident continuă și derivabilă. Fie $\eta > 0$ suficient de mic astfel încât $\tilde{U}_N(-\eta) > 0$ și $\tilde{U}_N(\eta) < 0$. Se poate alege atunci $\varepsilon > 0$ pentru care $\tilde{U}_N(-\eta + \tau) > 0$ și $\tilde{U}_N(\eta + \tau) < 0$ unde τ este perioada funcției $\tilde{U}_N(t)$. $\tilde{U}_N(t)$ are așadar un zero pe intervalul $(-\eta + \tau, \eta + \tau)$ care este un moment al impactului pentru U_N . Există deci un moment t^{imp} oricare ar fi a_1, a_2 . Deci se poate alege T destul de mari pentru care $t^{imp} \in (0, T)$.

Fie $(U^e, 0)$ o poziție de echilibru în contact de zbor și V_{0T} o perturbație a acestui echilibru în viteză strict pozitivă la $t = 0$. Atunci soluția problemei (4.1) există și deci și un moment de impact $t^{imp} > 0$, $t^{imp} \in (0, T)$.

Se consideră o poziție de echilibru în contact de zbor caracterizată prin deplasarea $U^e = \left(0, \frac{F_N}{W}\right)$ și reacțiunea $N^e = 0$. Această poziție de echilibru există numai dacă mărimea A este identic nulă. La dreapta originii există un interval în care soluția este fie de contact fie în zbor.

În manieră intuitivă se pare că doar perturbațiile în viteze normale strict negative la $t = 0$ sunt cele care arată că există un interval la dreapta originii în timpul căruia masa este constant în zbor.

În cele ce urmează se arată existența unui astfel de interval. Problema mișcării fără contact pentru o perturbație în viteze tangențiale pozitive devine:

$$\begin{cases} m\ddot{U}_N + K_N U_N + W U_T = F_N \\ m\ddot{U}_T + K_T U_T + W U_N = F_T \\ U_N(0) = 0, U_T(0) = \frac{F_N}{W} \\ \dot{U}_T(0) = V_{0N} > 0, \dot{U}_N(0) = 0 \end{cases} \quad (4.3)$$

Se va arăta că soluția U_N a acestei probleme este strict negativă pe un interval la dreapta originii. Soluția problemei (4.3) este:

$$U_N(t) = \frac{V_{0T}}{\varphi_T^1 - \varphi_T^2} \left(\frac{\sin(a_1 t)}{a_1} - \frac{\sin(a_2 t)}{a_2} \right) \quad (4.4)$$

$$U_T(t) = \frac{V_{0T}}{\varphi_T^1 - \varphi_T^2} \left(\frac{\sin(a_1 t)}{a_1} \varphi_T^1 - \frac{\sin(a_2 t)}{a_2} \varphi_T^2 \right) + \frac{F_N}{W} \quad (4.5)$$

Valorile φ_1 , φ_2 , a_1 și a_2 sunt date anterior. În vecinătatea lui $t = 0$ expresia deplasării normale este dată de:

$$U_N(t) = \frac{V_{0T}}{\varphi_T^1 - \varphi_T^2} \frac{(a_2^2 - a_1^2)}{6} t^3 + O(t^5) \quad (4.6)$$

Cantitatea $\varphi_T^1 - \varphi_T^2$ este pozitivă și mărimea $a_2^2 - a_1^2$ este negativă, deplasarea normală este strict negativă. Aceasta garantează existența unui interval la dreapta originii în timpul căruia masa va decola. Relația (4.5) arată existența unui moment de impact t^{imp} caracterizat ca fiind cea mai mică rădăcină pozitivă a acestei ecuații. De mai sus rezultă următoarele: presupunem că într-o fază oarecare a evoluției există un moment pentru care soluția se găsește în vârful conului lui Coulomb cu o viteză tangențială pozitivă. Prin urmare acest moment este urmat de o fază de mișcare fără contact și deci urmează un moment de impact t^{imp} .

Dacă $A = 0$ rezultă soluția dată de relațiile (4.4) și (4.5).

Dacă $A \neq 0$ se studiază iterațiile „NSCD”. Masa zboară dacă mărimea $(\dot{U}_N^{i+1})^{liber}$ este strict negativă și rezultă:

$$\begin{aligned} (\dot{U}_N^{i+1})^{liber} &= \frac{1}{\det \tilde{M}} \left\{ \left(m + \frac{h^2 K_T}{2} \right) \tilde{F}_N^{i+1} - \frac{h^2 W}{2} \tilde{F}_T^{i+1} \right\} \\ &= \frac{1}{\det \tilde{M}} \left\{ \left(m + \frac{h^2 K_T}{2} \right) (-hWU_T^i + hF_N) - \frac{h^2 W}{2} (m\dot{U}_T^i - hK_T U_T^i + hF_T) \right\} \end{aligned}$$

Presupunem că la cea de a i -a iterație masa se găsește la vârful conului, rezultă:

$$(\dot{U}_N^{i+1})^{liber} = \frac{h^2}{2 \det \tilde{M}} \left\{ -m\dot{U}_T^i - \frac{Ah}{W} \right\}$$

Semnul lui $(\dot{U}_N^{i+1})^{liber}$ depinde de semnul lui $-m\dot{U}_T^i$ care este strict negativ. În consecință, plecând de la iterația $i+1$ masa materială este într-o mișcare fără contact. În plus, rezolvarea problemei asociate:

$$\begin{cases} m\ddot{U}_N + K_N U_N + WU_T = F_N \\ m\ddot{U}_T + K_T U_T + WU_N = F_T \\ U_N(0) = 0, U_T(0) = \frac{F_N}{W} \\ \dot{U}_T(0) = V_{0N}, \dot{U}_N(0) = 0 \end{cases}$$

conduce la:

$$\begin{aligned} U_N(t) &= \frac{1}{\varphi_T^1 - \varphi_T^2} \frac{A}{\det K} \left\{ \left(\varphi_T^2 + \frac{K_N}{W} \right) \cos(a_1 t) - \left(\varphi_T^1 + \frac{K_N}{W} \right) \cos(a_2 t) \right\} \\ &\quad + \frac{\dot{U}_T(\hat{t})}{\varphi_T^1 - \varphi_T^2} \left\{ \frac{\sin(a_1 t)}{a_1} - \frac{\sin(a_2 t)}{a_2} \right\} + \frac{A}{\det K} \end{aligned}$$

și permite demonstrarea existenței unui moment de impact t^{imp} . În cazul în care

1. Fie $A \geq 0$ cu $\mu > \frac{K_T}{W}$ dacă $A > 0$, μ oarecare dacă $A = 0$. Fie V_{0N} o perturbație la $t = 0$ în viteze normale negative. Fie $t^{imp} > 0$ un moment de impact astfel încât $\dot{U}_T(t) > 0$. Atunci există $\eta > 0$ astfel încât oricare ar fi $V_{0N} \in (-\eta, 0)$ și există $\hat{t} > t^{imp}$ cu $\dot{U}_T(\hat{t}) = 0$ și $N_N(\hat{t}) < 0$.
2. Fie $A = 0$ cu $\mu > \frac{K_T}{W}$. Fie V_{0N} o perturbație la $t = 0$ în viteze tangențiale pozitive ale poziției de echilibru în contact și zbor. Fie $t^{imp} > 0$ un moment de impact astfel încât $\dot{U}_T(t^{imp}) > 0$. Atunci există $\eta > 0$ ceea ce arată că oricare ar fi $V_{0T} \in (-\eta, 0)$ și există $\hat{t} > t^{imp}$ cu $\dot{U}_T(\hat{t}) = 0$ și $N_N(\hat{t}) < 0$.

Se consideră o poziție de echilibru (U^e, N^e) caracterizată de $A = 0$ și $\mu > \frac{K_T}{W}$. Fie V_{0N} o perturbație strict negativă a poziției de echilibru. Se studiază dinamica problemei (4.1) pe $[0, T]$ pentru T suficient de mare. Așa cum am arătat mai sus, există un moment de ciocnire t^{imp} . Evoluția masei materiale după momentul de ciocnire depinde de semnul vitezei tangențiale

$$\dot{U}_T(V_{0N}, t^{imp}(V_{0N})) = \frac{dU_T(V_{0N}, t^{imp}(V_{0N}))}{dt},$$

deoarece algoritmul „NSCD” se apropie prin viteza calculată de ultimul interval de timp de mișcarea fără contact și care este o aproximație de $\dot{U}_T^-(V_{0N}, t^{imp}(V_{0N}))$; U_T fiind definit de relația (4.2).

În cazul când viteza tangențială $\dot{U}_T^-(V_{0N}, t^{imp}(V_{0N}))$ este strict pozitivă masa alunecă în sens pozitiv. În timpul acestei faze de alunecare, reacțiunea crește. Ca efect, forța exterioară fiind aleasă constantă, în timpul fazei de alunecare a sistemului este regulată și corespunde unei ecuații diferențiale de ordinul doi. Deci evoluția reacțiunii normale e dată de:

$$\text{dacă } U_N(t) \equiv 0, \quad \frac{dN_N(t)}{dt} = W\dot{U}_T(t) \quad (4.7)$$

și depinde de semnul vitezei tangențiale deoarece termenul de cuplaj W este pozitiv. Masa poate deci atinge vârful conului lui Coulomb, apoi zboară.

Se va arăta că viteza tangențială se anulează înainte ca masa materială să atingă vârful conului dacă perturbația V_{0N} este suficient de mică. Amintind că

$U_T = \frac{F_N}{W}$ caracterizează vârful conului, această condiție se va scrie sub forma:

$$\exists \hat{t} > t^{imp} \text{ astfel încât } \dot{U}_T(\hat{t}) = 0 \text{ cu } U_T(\hat{t}) < \frac{F_N}{W} \quad (4.8)$$

Conform rezultatelor de regularitate obținute anterior, viteza tangențială este continuă la momentul ciocnirii; deci faza de alunecare pozitivă este descrisă de relațiile:

$$\begin{cases} m\ddot{U}_T + (K_T - \mu W)U_T = F_T - \mu F_N \\ U_T(0) = U_T(V_{0N}, t^{imp}(V_{0N})) \\ \dot{U}_T(0) = \dot{U}_T^-(V_{0N}, t^{imp}(V_{0N})) \end{cases}$$

Soluția acestei probleme este dată de:

$$U_T(t) = \frac{1}{2} \left\{ U_T(V_{0N}, t^{imp}(V_{0N})) + \dot{U}_T^-(V_{0N}, t^{imp}(V_{0N})) \sqrt{\frac{m}{\mu W - K_T}} - \frac{F_T - \mu F_N}{K_T - \mu W} \right\} e^{\sqrt{\frac{\mu W - K_T}{m}} t} + \frac{1}{2} \left\{ U_T(V_{0N}, t^{imp}(V_{0N})) + \dot{U}_T^-(V_{0N}, t^{imp}(V_{0N})) \sqrt{\frac{m}{\mu W - K_T}} - \frac{F_T - \mu F_N}{K_T - \mu W} \right\} e^{-\sqrt{\frac{\mu W - K_T}{m}} t} + \frac{F_T - \mu F_N}{K_T - \mu W}$$

Condițiile (4.8) se traduc atunci prin condiția:

$$U_T(V_{0N}, t^{imp}(V_{0N})) + \dot{U}_T(V_{0N}, t^{imp}(V_{0N})) \sqrt{\frac{m}{\mu W - K_T}} - \frac{F_T - \mu F_N}{K_T - \mu W} < 0 \quad (4.9)$$

Rămâne de stabilit existența parametrului $\eta > 0$ astfel încât oricare ar fi $V_{0N} \in (-\eta, 0)$ condiția (4.9) este satisfăcută. Pentru aceasta, se consideră funcția V_{0N} definită pentru membrul stâng al relației (4.9) și se arată că această funcție admite un zero.

În primul moment se presupune că perturbația inițială negativă este infinitezimală. Fie atunci $V_{0N} = -\xi_1$, $\xi_1 > 0$. Expresia deplasării normale în faza de mișcare fără contact este dată de:

$$U_N(t) = \frac{N_N^e}{W(\varphi_T^1 - \varphi_T^2)} \{ \cos(a_1 t) - \cos(a_2 t) \} + \frac{\xi_1}{(\varphi_T^1 - \varphi_T^2)} \left\{ \frac{\sin(a_1 t) \varphi_T^2}{a_1} - \frac{\sin(a_2 t) \varphi_T^1}{a_2} \right\}$$

ξ_1 fiind suficient de mic, momentul impactului va fi suficient de aproape de zero și mișcarea fără contact va fi dată de relația:

$$U_N(t) = \left\{ \frac{N_N^e}{2W(\varphi_T^1 - \varphi_T^2)} (a_2^2 - a_1^2) t - \xi_1 \right\} t + O(t^3)$$

În consecință, masa este în contact la momentul $t^{imp} = \frac{2W\xi_1(\varphi_T^1 - \varphi_T^2)}{N_N^e(a_2^2 - a_1^2)}$.

Se calculează membrul stâng al lui (4.9) la acest moment t^{imp}

$$\begin{aligned} & U_T(\xi_1, t^{imp}(\xi_1)) + \dot{U}_T(\xi_1, t^{imp}(\xi_1)) \sqrt{\frac{m}{\mu W - K_T}} - \frac{F_T - \mu F_N}{K_T - \mu W} \\ &= -2 \frac{a_1^2 \varphi_T^1 - a_2^2 \varphi_T^2}{a_2^2 - a_1^2} \sqrt{\frac{m}{\mu W - K_T}} \xi_1 + \frac{N_N^e}{W} + O(\xi_1^2) \end{aligned}$$

ξ_1 fiind considerat mic și mărimea $2 \frac{a_1^2 \varphi_T^1 - a_2^2 \varphi_T^2}{a_2^2 - a_1^2} \sqrt{\frac{m}{\mu W - K_T}}$ este finită. Semnul

acestei mărimi depinde de semnul lui $\frac{N_N^e}{W}$ care este strict negativ.

Se va arăta acum, că pentru $V_{0N} = -\xi_2$, $\xi_2 > 0$ suficient de mare funcția definită de membrul stâng al relației (4.9) este strict pozitiv.

$$\begin{aligned} & U_T(\xi_2, t^{imp}(\xi_2)) + \dot{U}_T(\xi_2, t^{imp}(\xi_2)) \sqrt{\frac{m}{\mu W - K_T}} - \frac{F_T - \mu F_N}{K_T - \mu W} \\ &> U_T(\xi_2, t^{imp}(\xi_2)) - \frac{F_T - \mu F_N}{K_T - \mu W} > \frac{N_N^e}{W} - \frac{\xi_2 \varphi_T^1 \varphi_T^2}{\varphi_T^1 - \varphi_T^2} \left(\frac{1}{a_1} - \frac{1}{a_2} \right) - \frac{F_T - \mu F_N}{K_T - \mu W} \end{aligned}$$

Se constată atunci că pentru:

$$\xi_2 > \frac{(\varphi_T^1 - \varphi_T^2) a_1 a_2}{(a_1 - a_2) \varphi_T^1 \varphi_T^2} \left\{ \frac{F_T - \mu F_N}{K_T - \mu W} - \frac{N_N^e}{W} \right\}$$

funcția definită prin membrul stâng al relației (4.9) este pozitivă. Această funcție fiind continuă există $\eta \in (\xi_1, \xi_2)$ astfel încât pentru toate $V_{ON} \in (-\eta, 0)$ condiția (4.9) este satisfăcută.

Raționamentul este făcut în mod analog în cazul în care A este strict pozitiv. Condițiile analoage cazului (4.9) sunt:

- Dacă $\mu < \frac{K_T}{W}$,

$$\left(U_T(V_{ON}, t^{imp}(V_{ON})) - \frac{F_T - \mu F_N}{K_T - \mu W} \right)^2 + \sqrt{\frac{m}{K_T - \mu W}} \dot{U}_T(V_{ON}, t^{imp}(V_{ON}))^2 - \frac{A}{W(K_T - \mu W)} \dot{U}_T(V_{ON}, t^{imp}(V_{ON})) < 0$$

- Dacă $\mu = \frac{K_T}{W}$, $\frac{mW}{2A} U_T(V_{ON}, t^{imp}(V_{ON}))^2 + \dot{U}_T(V_{ON}, t^{imp}(V_{ON})) - \frac{F_N}{W} < 0$

- Dacă $\mu > \frac{K_T}{W}$,

$$U_T(V_{ON}, t^{imp}(V_{ON})) + \sqrt{\frac{m}{\mu W - K_T}} \dot{U}_T(V_{ON}, t^{imp}(V_{ON})) + \frac{F_T - \mu F_N}{K_T - \mu W} < 0$$

Demonstrația punctului doi este identică cu precedenta. Sistemul care descrie alunecarea pozitivă după impact este în acest caz:

$$\begin{cases} m\ddot{U}_T + (K_T - \mu W)U_T = F_T - \mu F_N \\ U_T(0) = U_T(V_{OT}, t^{imp}(V_{OT})) \\ \dot{U}_T(0) = \dot{U}_T(V_{ON}, t^{imp}(V_{OT})) \end{cases}$$

Soluția problemei este dată de:

$$\begin{aligned} U_T(t) = & \frac{1}{2} \left\{ U_T(V_{ON}, t^{imp}(V_{ON})) + \dot{U}_T(V_{ON}, t^{imp}(V_{ON})) \sqrt{\frac{m}{\mu W - K_T}} - \frac{F_T - \mu F_N}{K_T - \mu W} \right\} e^{\sqrt{\frac{\mu W - K_T}{m}} t} \\ & + \frac{1}{2} \left\{ U_T(V_{ON}, t^{imp}(V_{ON})) + \dot{U}_T(V_{ON}, t^{imp}(V_{ON})) \sqrt{\frac{m}{\mu W - K_T}} - \frac{F_T - \mu F_N}{K_T - \mu W} \right\} e^{-\sqrt{\frac{\mu W - K_T}{m}} t} \\ & + \frac{F_T - \mu F_N}{K_T - \mu W} \end{aligned}$$

și analog condiției (4.7) se scrie:

$$U_T(V_{OT}, t^{imp}(V_{OT})) + \dot{U}_T(V_{OT}, t^{imp}(V_{OT})) \sqrt{\frac{m}{\mu W - K_T}} - \frac{F_T - \mu F_N}{K_T - \mu W} < 0$$

de unde se deduce asemănător cazului precedent existența unui parametru $\eta > 0$ astfel încât:

$$\forall V_{0T} \in (0, \eta), \exists \hat{t} > t^{imp}, \text{ astfel încât } \begin{cases} \dot{U}_T(\hat{t}) = 0 \\ N_N(\hat{t}) < 0 \end{cases}$$

Se mai pot considera și următoarele afirmații:

1. Fie $A \geq 0$ cu $\mu > \frac{K_T}{W}$ dacă $A = 0$ și oricare ar fi μ dacă $A > 0$. Fie $V_{0T} > 0$ o perturbație la $t = 0$ în viteze tangențiale la stări de echilibru. Atunci există $\eta > 0$ astfel încât oricare ar fi $V_{0T} < \eta$ există $\hat{t} > 0$ ceea ce implică $\dot{U}_T(\hat{t}) = 0$ cu $N_N(\hat{t}) < 0$.
2. Fie $A = 0$ cu $\mu = \frac{K_T}{W}$, V_{0T} o perturbație la $t = 0$ în viteze tangențiale negative a stării de echilibru în contact cu zbor. Atunci există $\hat{t} > 0$ ceea ce implică $\dot{U}_T(\hat{t}) = 0$ cu $N_N(\hat{t}) < 0$.

Se consideră o poziție de echilibru (U^e, N^e) . Perturbațiile în viteze tangențiale pentru soluțiile de echilibru în contact fără zbor conduc la o situație de alunecare. În acest caz particular soluția de echilibru în contact cu zbor, în viteze tangențiale negative conduc la alunecare deoarece perturbațiile în viteze tangențiale pozitive conduc la o fază de mișcare fără contact.

Arătăm că atunci când perturbația V_{0T} nu este prea mare viteza tangențială se anulează înainte ca punctul material să atingă vârful conului. În timpul fazei de alunecare pozitivă, mișcarea este dată ca soluție a sistemului:

$$\begin{cases} m\dot{U}_T + (K_T - \mu W)U_T = F_T - \mu F_N \\ U_T(0) = \frac{F_N}{W} + \frac{N_N^e}{W} \\ \dot{U}_T(0) = V_{0T} > 0 \end{cases} \quad (4.10)$$

În funcție de coeficientul de frecare soluția problemei se scrie.

$$\bullet \text{ Dacă } \mu < \frac{K_T}{W}, \quad U_T(t) = \left\{ \frac{A}{W(K_T - \mu W)} + \frac{N_N^e}{W} \right\} \cos\left(\sqrt{\frac{K_T - \mu W}{m}} mt\right) + V_{0T} \sqrt{\frac{m}{K_T - \mu W}} \sin\left(\sqrt{\frac{K_T - \mu W}{m}} t\right) + \frac{F_T - \mu F_N}{K_T - \mu W} \quad (4.11)$$

$$\bullet \text{ Dacă } \mu = \frac{K_T}{W}, \quad U_T(t) = -\frac{A}{2mW} t^2 + V_{0T}t + \frac{F_N + N_N^e}{W} \quad (4.12)$$

$$\begin{aligned}
\bullet \text{ Dacă } \mu > \frac{K_T}{W}, \quad U_T(t) = & \frac{1}{2} \left\{ \frac{A}{W(K_T - \mu W)} + \frac{N_N^e}{W} + V_{0T} \sqrt{\frac{m}{\mu W - K_T}} \right\} e^{\sqrt{\frac{\mu W - K_T}{m}} t} \\
& + \frac{1}{2} \left\{ \frac{A}{W(K_T - \mu W)} + \frac{N_N^e}{W} - V_{0T} \sqrt{\frac{m}{\mu W - K_T}} \right\} e^{-\sqrt{\frac{\mu W - K_T}{m}} t} \\
& + \frac{F_T - \mu F_N}{K_T - \mu W} \quad (4.13)
\end{aligned}$$

În timpul acestei faze de alunecare, deplasarea crește. Masa se oprește din alunecare înainte să atingă vârful conului dacă condiția următoare este satisfăcută:

$$\text{există } \hat{t} > 0 \text{ astfel încât } \dot{U}_T(t) = 0 \text{ cu } U_T(\hat{t}) < \frac{F_N}{W} \quad (4.14)$$

Condițiile (4.14) se traduc în funcție de valoarea coeficientului de frecare prin condițiile pe care le dăm mai jos:

$$\begin{aligned}
\text{Dacă } \mu < \frac{K_T}{W}, \quad 0 < V_{0T} < & -\frac{N_N^e}{W} \sqrt{\frac{K_T - \mu W}{m}} \\
\text{Dacă } \mu = \frac{K_T}{W}, \quad 0 < V_{0T} < & \sqrt{\frac{-2AN_N^e}{mW^2}} \\
\text{Dacă } \mu > \frac{K_T}{W}, \quad 0 < V_{0T} < & -\left(\frac{A}{(K_T - \mu W)W} + \frac{N_N^e}{W} \right) \sqrt{\frac{\mu W - K_T}{m}} \quad (4.15)
\end{aligned}$$

Relațiile (4.15) generează deci explicit valoarea lui η astfel încât, dacă perturbația $V_{0T} \in (0, \eta)$ atunci viteza se anulează la momentul \hat{t} înainte de atingerea vârfului conului.

Se consideră o perturbație V_{0T} strict negativă. Din relația (4.6) reacțiunea normală descrește. Mișcarea este descrisă de către sistemul:

$$\begin{cases} m\ddot{U}_T + (K_T + \mu W)U_T = F_T + \mu F_N \\ U_T(0) = \frac{F_N}{W} + \frac{N_N^e}{W} \\ \dot{U}_T(0) = V_{0T} < 0 \end{cases}$$

a cărei soluție este:

$$\begin{aligned}
U_T(t) = & \left(\frac{A}{W(K_T + \mu W)} + \frac{N_N^e}{W} \right) \cos\left(\sqrt{\frac{K_T + \mu W}{m}} t \right) + \\
& + V_{0T} \sqrt{\frac{m}{K_T + \mu W}} \sin\left(\sqrt{\frac{K_T + \mu W}{m}} t \right) + \frac{F_T + \mu F_N}{K_T + \mu W} \quad (4.16)
\end{aligned}$$

Viteza se anulează în cazul în care momentul \hat{t} verifică:

$$\cos\left(\sqrt{\frac{K_T + \mu W}{m}} \hat{t}\right) = \left(\frac{A}{W(K_T + \mu W)} + \frac{N_N^e}{W}\right) \sqrt{\frac{m}{K_T + \mu W}} \frac{1}{V_{OT}} \sin\left(\sqrt{\frac{K_T + \mu W}{m}} \hat{t}\right)$$

și evident $N_N(\hat{t}) < 0$ pentru toate $V_{OT} < 0$.

Rezultatul de la punctul doi se obține printr-un raționament analog cu cazul perturbațiilor în viteze tangențiale negative.

În anumite situații se pot întâlni și următoarele cazuri:

1. Fie $A \geq 0$ cu $\mu > \frac{K_T}{W}$. Există $\hat{t} > 0$ astfel încât $\dot{U}_T(\hat{t}) = 0$ cu $\dot{U}_N(\hat{t}) = 0$. Dacă există o stare de echilibru $(\tilde{U}^e, \tilde{N}^e)$ astfel încât $N_N(\hat{t}) = \tilde{N}_N^e$, atunci oricare ar fi $t > \hat{t}$, $\dot{U}_T(t) \equiv 0$ și $\dot{U}_N(t) \equiv 0$.
2. Fie $A = 0$ cu $\mu = \frac{K_T}{W}$. Există $\hat{t} > 0$ astfel încât $\dot{U}_T(\hat{t}) = 0$ cu $\dot{U}_N(\hat{t}) = 0$. Atunci oricare ar fi $t > \hat{t}$, $\dot{U}_T(t) \equiv 0$ și $\dot{U}_N(t) \equiv 0$.

Este ușor aici de studiat iterațiile succesive ale algoritmului NSCD. Rezultatul decurge imediat din rezultatul de convergență stabilit anterior.

Se presupune că există un moment de contact $\hat{t} > 0$ astfel încât $\dot{U}_T(\hat{t}) = 0$ și notând cu i iterația astfel încât $\hat{t} \in [t_K^i, t_K^{i+1}]$ pentru K suficient de mare. Se arată că dacă există o stare de echilibru $(\tilde{U}^e, \tilde{N}^e)$ astfel încât $N_N(\hat{t}) = \tilde{N}_N^e$ atunci oricare ar fi $j > i$, $\dot{U}_{KT}^j \equiv 0$. Prin urmare pentru simplificarea notațiilor se va omite indicele K .

Pentru a demonstra că pentru toate $j > i$, $\dot{U}_T^j \equiv 0$ se arată că plecând de la iterația $i+1$ masa intră într-o buclă de contact blocat. Algoritmul prezentat la capitolul doi indică că trebuie demonstrat că relațiile următoare:

$$\tilde{F}_T^j - \mu \tilde{F}_N^j < 0 \quad (4.17)$$

$$\tilde{F}_T^j + \mu \tilde{F}_N^j > 0 \quad (4.18)$$

sunt verificate simultan pentru toate $j > i$.

Mărimile \tilde{F}_T^j și \tilde{F}_N^j au fost definite anterior.

Înainte de toate se presupune că la iterațiile precedente lui i masa alunecă în sens pozitiv. Ca și la iterația $i+1$ această alunecare încetează conform tabelului 4.1, la $\tilde{F}_T^{i+1} - \mu \tilde{F}_N^{i+1} < 0$. Rămâne să se verifice că relația (4.18) este satisfăcută pentru $j = i+1$. Prin definiție:

$$\begin{aligned} \tilde{F}_T^{i+1} + \mu \tilde{F}_N^{i+1} &= m \dot{U}_T^i - h \{ (K_T + \mu W) U_T^i + (F_T + \mu F_N) \} \\ &> -h \{ (K_T + \mu W) U_T(\hat{t}) + (F_T + \mu F_N) \} \end{aligned}$$

$$\begin{aligned}
&> -h \left\{ (K_T + \mu W) \left(\frac{F_N}{W} + \frac{\tilde{N}_N^e}{W} \right) + (F_T + \mu F_N) \right\} \\
&> -h \left\{ \frac{A}{W} + (K_T + \mu W) \frac{\tilde{N}_N^e}{W} \right\}
\end{aligned}$$

În consecință, dacă $A = 0$ avem $\tilde{N}_N^e \in (-\infty, 0]$ și dacă $A > 0$, $\tilde{N}_N^e \leq -\frac{A}{K_T + \mu W}$.

Suma $\tilde{F}_T^{i+1} + \mu \tilde{F}_N^{i+1}$ este deci strict pozitivă. Astfel la intrarea în bucla de contact blocată avem $\dot{U}^{i+1} \equiv 0$ ceea ce implică $\dot{U}^{i+1} = \dot{U}^i$. Prin urmare:

$$\tilde{F}_T^j + \mu \tilde{F}_N^j = -h \{ (K_T + \mu W) \dot{U}_T^j + (F_T + \mu F_N) \} > 0$$

și

$$\tilde{F}_T^j - \mu \tilde{F}_N^j = -m \dot{U}_T^j + \tilde{F}_T^{i+1} - \mu \tilde{F}_N^{i+1} < 0$$

ceea ce permite a demonstra că relațiile (4.17) și (4.18) sunt satisfăcute pentru toate $j > i$. Astfel, $\dot{U}^j \equiv 0$ pentru toate $j > i$.

Se presupune că iterațiile precedente lui $i+1$ corespund la o fază de alunecare negativă. Relația (4.18) este evident satisfăcută la iterația $i+1$ conform tabelului 4.1. În concluzie este suficient de stabilit că mărimea $\tilde{F}_T^{i+1} - \mu \tilde{F}_N^{i+1}$ este strict negativă.

Avem

$$\begin{aligned}
\tilde{F}_T^{i+1} - \mu \tilde{F}_N^{i+1} &= m \dot{U}_T^i - h \{ (K_T - \mu W) \dot{U}_T^i + (F_T - \mu F_N) \} \\
&< -h \{ (K_T - \mu W) \dot{U}_T^i + (F_T - \mu F_N) \}
\end{aligned}$$

dacă $\mu < \frac{K_T}{W}$,

$$\tilde{F}_T^{i+1} - \mu \tilde{F}_N^{i+1} < -h \{ (K_T - \mu W) \dot{U}_T^i + (F_T - \mu F_N) \} < -h \left\{ \frac{A}{W} + (K_T - \mu W) \frac{N_N^e}{W} \right\} < 0$$

$$N_N^e \in \left[-\frac{A}{K_T - \mu W}, -\frac{A}{K_T + \mu W} \right]$$

dacă $\mu = \frac{K_T}{W}$, $\tilde{F}_T^{i+1} - \mu \tilde{F}_N^{i+1} < -h \frac{A}{W} < 0$

dacă $\mu > \frac{K_T}{W}$, $\tilde{F}_T^{i+1} - \mu \tilde{F}_N^{i+1} < -h \{ (K_T - \mu W) \dot{U}_T^i + (F_T - \mu F_N) \}$
 $< -h \left\{ (K_T - \mu W) \frac{F_N}{W} + (F_T - \mu F_N) \right\}$
 $< -h \frac{A}{W} < 0$

Mărima $\tilde{F}_T^{i+1} - \mu\tilde{F}_N^{i+1}$ este strict negativă. Astfel, iterația $i+1$ se găsește la interiorul buclei de contact blocat ceea ce implică $\dot{U}^{i+1} = 0$ și deci $U^{i+1} = U^i$. La fel ca și în cazul precedent se obține $\tilde{F}_T^j - \mu\tilde{F}_N^j < 0$ și $\tilde{F}_T^j + \mu\tilde{F}_N^j > 0$ pentru toate $j > i$; ceea ce dă rezultatul așteptat.

Dacă $A = 0$ și $\mu = \frac{K_T}{W}$ există o iterație $i+1$ la care alunecarea negativă se oprește. În consecință, din tabelul 4.1 mărimea $\tilde{F}_T^{i+1} + \mu\tilde{F}_N^{i+1}$ este strict pozitivă.

La aceeași iterație

$$\begin{aligned}\tilde{F}_T^{i+1} - \mu\tilde{F}_N^{i+1} &= m\dot{U}_T^i + h(F_T - \mu F_N) \\ &< -h\frac{A}{W} = 0\end{aligned}$$

Astfel, $\dot{U}^{i+1} = 0$. La fel ca și în cazul precedent se obține $\tilde{F}_T^j - \mu\tilde{F}_N^j < 0$ și $\tilde{F}_T^j + \mu\tilde{F}_N^j > 0$ pentru toate $j > i$; ceea ce implică că viteza \dot{U}^j este identic nulă pentru orice $j > i$.

Fie $A > 0$. Se studiază problema 4.1 pe $[0, \hat{T}]$ plecând de la o stare în afara echilibrului, deci:

$$\begin{cases} U_N(0) = 0, U_T(0) = U_T^e + U_{0T} \\ N_T(0) = \pm\mu N_N(0) \neq 0 \\ \dot{U}_N(0) = 0, \dot{U}_T(0) = 0 \end{cases}$$

Atunci:

- Dacă $\mu < \frac{K_T}{W}$ există η_1 și η_2 pozitive $\eta_2 > \eta_1$ astfel încât pentru orice perturbație $U_{0T} \in (-\eta_1, \eta_2)$ există $\hat{t} > 0$ pentru care $\dot{U}_T(\hat{t}) = 0$, $N_N(\hat{t}) < 0$;
- Dacă $\mu > \frac{K_T}{W}$, există $\eta > 0$ astfel încât pentru orice perturbație $U_{0T} \in (-\infty, \eta)$ există $\hat{t} > 0$ astfel încât $\dot{U}_T(\hat{t}) = 0$ cu $N_N(\hat{t}) < 0$.

Se consideră mai întâi cazul $N_T(0) = +\mu N_N(0)$ cu $\mu < \frac{K_T}{W}$. În funcție de valoarea lui U_{0T} , masa poate să alunece în sens pozitiv sau să se găsească într-o stare de echilibru.

$$\text{Pentru o perturbație } U_{0T} \in \left[-\frac{A}{W(K_T - \mu W)} - \frac{N_N^e}{W}, -\frac{A}{W(K_T + \mu W)} - \frac{N_N^e}{W} \right] \text{ există}$$

o stare de echilibru astfel încât $N_N(0) = \tilde{N}_N^e$. Dacă pentru $U_{0T} < -\frac{A}{W(K_T - \mu W)} - \frac{N_N^e}{W}$ nu există stare de echilibru, masa alunecă spre dreapta.

Din relația 4.6 reacțiunea normală crește. Masa este capabilă să atingă vârful conului de frecare cu o viteză pozitivă, apoi zboară. Se va demonstra că viteza tangențială se anulează înainte ca masa materială să atingă vârful conului de frecare dacă perturbația U_{0T} de la poziția de echilibru nu este suficient de mare. În timpul alunecării bilaterale mișcarea este descrisă de:

$$\begin{cases} m\dot{U}_T + (K_T - \mu W)U_T = F_T - \mu F_N \\ U_T(0) = U_T^e + U_{0T} \\ \dot{U}_T(0) = 0 \end{cases}$$

Soluția este:

$$U_T(t) = \left(U_T^e + U_{0T} - \frac{F_T - \mu F_N}{K_T - \mu W} \right) \cos\left(\sqrt{\frac{K_T - \mu W}{m}} t \right) + \frac{F_T - \mu F_N}{K_T - \mu W} \quad (4.19)$$

și există un moment $\hat{t} = \sqrt{\frac{m}{K_T + \mu W}} \pi$ astfel încât $\dot{U}_T(\hat{t}) = 0$. La acest moment $N_N(\hat{t})$ este strict negativă. Dar,

$$\begin{aligned} U_T(\hat{t}) &= -\frac{N_N^e}{W} - U_{0T} - \frac{A}{W(K_T - \mu W)} + \frac{F_T - \mu F_N}{K_T - \mu W} \\ &= -2\frac{A}{W(K_T - \mu W)} - \frac{N_N^e}{W} - U_{0T} + \frac{F_N}{W} \end{aligned}$$

Astfel, dacă $U_{0T} > -2\frac{A}{W(K_T - \mu W)} - \frac{N_N^e}{W}$ alunecarea se oprește înainte ca reacțiunea

să se anuleze. În consecință, se obțin două valori $\eta_1 = 2\frac{A}{W(K_T - \mu W)} + \frac{N_N^e}{W} > 0$ și

$\eta_2 = -\frac{A}{W(K_T + \mu W)} - \frac{N_N^e}{W} > 0$ astfel încât pentru toate $U_{0T} \in (-\eta_1, \eta_2)$, $\dot{U}_T(\hat{t}) = 0$ cu $N_N(\hat{t}) < 0$.

Dacă acum, $\mu \geq \frac{K_T}{W}$ fazele de alunecare pozitive sunt imposibile. Avem direct stare de echilibru pentru care $N_N(0) = \tilde{N}_N^e$ oricare ar fi

$$U_{0T} \in \left(-\infty, -\frac{A}{W(K_T + \mu W)} - \frac{N_N^e}{W} \right).$$

Se studiază acum cazul $N_T(0) = -\mu N_N(0)$. Dacă coeficientul de frecare μ este inferior lui $\frac{K_T}{W}$ masa poate să alunece fie în sens negativ, fie se găsește într-o

stare de echilibru, în funcție de valorile lui U_{0T} . De fapt, în general, domeniul admisibil al reacțiilor normale este $\left[-\frac{A}{K_T - \mu W}, -\frac{A}{K_T + \mu W}\right]$.

Astfel, dacă perturbația $U_{0T} \in \left[-\frac{A}{W(K_T - \mu W)} - \frac{N_N^e}{W}, -\frac{A}{W(K_T + \mu W)} - \frac{N_N^e}{W}\right]$ există o

stare de echilibru astfel că $N_N(0) = \tilde{N}_N^e$. În concluzie dacă perturbația

$U_{0T} \in \left(-\frac{A}{W(K_T + \mu W)} - \frac{N_N^e}{W}, -\frac{N_N^e}{W}\right)$ masa se găsește în alunecare negativă și

problema de alunecare bilaterală corespunzătoare devine:

$$\begin{cases} m\ddot{U}_T + (K_T + \mu W)U_T = F_T + \mu F_N \\ U_T(0) = U_T^e + U_{0T} \\ \dot{U}_T(0) = 0 \end{cases} \quad (4.20)$$

Fie

$$U_T(t) = \left(U_T^e + U_{0T} - \frac{F_T + \mu F_N}{K_T + \mu W}\right) \cos\left(\sqrt{\frac{K_T + \mu W}{m}}t\right) + \frac{F_T + \mu F_N}{K_T + \mu W}$$

Există un moment $\hat{t} = \sqrt{\frac{m}{K_T + \mu W}}\pi$ pentru care $\dot{U}_T(\hat{t}) = 0$. Masa materială fiind în alunecare negativă, reacțiunea descrește conform relației 4.6, în consecință $N_N(\hat{t}) < 0$. Astfel, există $\eta_1 = \frac{A}{W(K_T - \mu W)} + \frac{N_N^e}{W} > 0$ și $\eta_2 = -\frac{N_N^e}{W} > 0$ astfel încât oricare ar fi $U_{0T} \in (-\eta_1, \eta_2)$, există $\hat{t} > 0$ astfel încât $\dot{U}_T(\hat{t}) = 0$ cu $N_N(\hat{t}) < 0$.

Dacă coeficientul de frecare $\mu \geq \frac{K_T}{W}$ atunci pentru orice perturbație

$U_{0T} \in \left(-\infty, -\frac{A}{W(K_T + \mu W)} - \frac{N_N^e}{W}\right)$ există o stare de echilibru pentru care

avem $N_N(0) = \tilde{N}_N^e$. Prin urmare, dacă $U_{0T} \in \left(-\frac{A}{W(K_T + \mu W)} - \frac{N_N^e}{W}, -\frac{N_N^e}{W}\right)$ mișcarea

masei materiale este descrisă de către o problemă analogă problemei 4.20 și se obține un moment \hat{t} astfel încât viteza se anulează. În concluzie, pentru

$\eta = -\frac{N_N^e}{W} > 0$ alunecarea are loc pentru orice perturbație $U_{0T} \in (-\infty, \eta)$, există $\hat{t} > 0$ cu $\dot{U}_T(\hat{t}) = 0$ și $N_N(\hat{t}) < 0$.

Fie $A > 0$ și $\mu < \frac{K_T}{W}$. Se studiază dinamica problemei (4.1) plecând de la o stare în afara echilibrului: $\forall t > 0, U_N \equiv 0$:

$$\begin{cases} U_N(0) = 0, U_T(0) = U_{0T} \\ N_T(0) = \pm \mu N_N(0) \neq 0 \\ \dot{U}_N(0) = 0, \dot{U}_T(0) = 0 \end{cases}$$

Fiind $t_i, i = 1, \dots, n$ momentele $t_1 < \dots < t_n$ astfel că:

$$\begin{aligned} \dot{U}_T(t_i) &= 0 \text{ cu } N_N(t_i) \neq N_N^e, i = 1, \dots, n \\ \text{sign}(\dot{U}_T(t_i)) &= \text{sign}(\dot{U}_T(t_{i+2})), i = 0, \dots, n-2; \end{aligned}$$

Atunci:

- Dacă $\text{sign}(\dot{U}_T(t_j)) > 0, j = i, i+2 : U_T(t_i) > U_T(t_{i+2}), i = 1, \dots, n;$
- Dacă $\text{sign}(\dot{U}_T(t_j)) < 0, j = i, i+2 : U_T(t_i) < U_T(t_{i+2}), i = 1, \dots, n;$

Demonstrația acestei afirmații este asemănătoare cu cea anterioară caracterizată de $N_T(0) = +\mu N_N(0)$ sau $N_T(0) = -\mu N_N(0)$. Se va prezenta numai cazul unicității.

În acest caz există o fază de alunecare pozitivă la dreapta originii și evoluția în timpul acestei faze este soluția sistemului:

$$\begin{cases} m\ddot{U}_T + (K_T - \mu W)U_T = F_T - \mu F_N \\ U_T(0) = U_{0T} \\ \dot{U}_T(0) = 0 \end{cases} \quad (4.21)$$

Soluția problemei este:

$$U_T(t) = \left(U_{0T} - \frac{F_T - \mu F_N}{K_T - \mu W} \right) \cos\left(\sqrt{\frac{K_T - \mu W}{m}} t \right) + \frac{F_T - \mu F_N}{K_T - \mu W} \quad (4.22)$$

Relația (4.22) arată existența unui moment $t_1 > 0$ astfel că $\dot{U}_T(t_1) = 0$ cu $U_T(t_1) = -U_{0T} + 2 \frac{F_T - \mu F_N}{K_T - \mu W}$. În acest moment reacțiunea normală devine

$N_N(t_1) = -WU_{0T} - \frac{2A}{K_T - \mu W} + F_N$. Din ipoteza $N_N(t_1) \neq N_N^e$ ceea ce implică:

$$U_{0T} < -\frac{2A}{W(K_T - \mu W)} + \frac{A}{W(K_T + \mu W)} + \frac{F_N}{W}$$

Viteza tangențială fiind continuă, mișcarea va trece la o fază de alunecare negativă dată prin:

$$\begin{cases} m\ddot{U}_T + (K_T + \mu W)U_T = F_T + \mu F_N \\ U_T(0) = -U_{0T} + 2 \frac{F_T - \mu F_N}{K_T - \mu W} \\ \dot{U}_T(0) = 0 \end{cases}$$

Soluția în această fază este:

$$U_T(t) = \left(-U_{0T} + 2 \frac{F_T - \mu F_N}{K_T - \mu W} - \frac{F_T + \mu F_N}{K_T + \mu W} \right) \cos \left(\sqrt{\frac{K_T + \mu W}{m}} t \right) + \frac{F_T + \mu F_N}{K_T + \mu W}$$

Relația de mai sus arată existența unui moment $t_2 > t_1$ astfel că $\dot{U}_T(t_2) = 0$.

În acest moment deplasarea tangențială este egală cu $U_T(t_2) = -U_{0T} - 2 \frac{F_T - \mu F_N}{K_T - \mu W} + 2 \frac{F_T + \mu F_N}{K_T + \mu W}$. Din ipoteza $N_N(t_2) \neq N_N^e$ masa va aluneca

în sens pozitiv și evoluția în timpul acestei faze este descrisă de către o problemă analogă problemei 4.21, dar cu condiția inițială care acum este:

$$U_T(0) = U_{0T} - 2 \frac{F_T - \mu F_N}{K_T - \mu W} + 2 \frac{F_T + \mu F_N}{K_T + \mu W}. \text{ Există un moment } t_3 > t_2 \text{ astfel că}$$

$$\dot{U}_T(t_3) = 0 \text{ cu } U_T(t_3) = -U_{0T} + 4 \frac{F_T - \mu F_N}{K_T - \mu W} - 2 \frac{F_T + \mu F_N}{K_T + \mu W}. \text{ Nu rămâne atunci decât de}$$

verificat că $U_T(t_1) > U_T(t_3)$, adică $\frac{F_T + \mu F_N}{K_T + \mu W} > \frac{F_T - \mu F_N}{K_T - \mu W}$ care este evident

satisfăcută deoarece $A > 0$ și $\mu < \frac{K_T}{W}$. Raționamentul precedent se extinde la toate momentele $t_i, i = 1, \dots, n$ și permite obținerea concluziei dorite.

4.3 Stabilitatea stărilor

Studiul stabilității stărilor este o problemă generală care ne permite să punem în evidență condițiile în care masa materială, în evoluția sa poate fi considerată ca stare de echilibru. Evoluția particulei materiale poate fi cu alunecare spre dreapta sau spre stânga și există momente în care particula poate sări schimbând astfel condiția alunecării spre dreapta sau spre stânga.

Condițiile pentru o stare de echilibru obținute anterior, s-au obținut pentru $A < 0$. În plus, se știe că nu există o stare de echilibru atunci când particula trece de la alunecare la zbor.

Poziția de echilibru în contact de zbor caracterizată de $A = 0$ și $\mu < \frac{K_T}{W}$ este asimptotic stabilă.

Exponentul "e" semnifică ca și în cazul precedent o stare de echilibru și indicele zero o perturbație de echilibru la $t = 0$; se va stabili implicațiile următoare:

$$\text{există } \eta > 0, \begin{cases} \|V_0\| < \eta \\ \|U^e - U_0\| < \eta \end{cases} \text{ rezultă } \begin{cases} \lim_{t \rightarrow +\infty} \|\dot{U}(t)\| = 0 \\ \lim_{t \rightarrow +\infty} \|U^e - U(t)\| = 0 \end{cases}$$

Demonstrarea acestei afirmații se face în următoarele etape:

Etapa 1

Sunt considerate numai perturbațiile în viteze.

Se demonstrează în ceea ce urmează că stadiul perturbațiilor în viteză tangențială negativă cuprind stadiul perturbațiilor în viteză tangențială pozitivă. Aceste constatări arată că este suficient să se stabilească următoarele implicații:

$$\text{există } \eta > 0, V_{0T} \in (-\eta, 0] \text{ rezultă } \begin{cases} \lim_{t \rightarrow +\infty} |U_N(t)| = 0 \\ \lim_{t \rightarrow +\infty} |U_T(t) - U_T^e| = 0 \end{cases}$$

Înainte de toate se va demonstra faptul că pentru cazul perturbațiilor în viteză tangențială cuprind perturbațiile în viteză tangențială pozitivă. Pentru aceasta se arată că următor unei perturbații V_{0T} negative există un moment t_1^{punct} cu $\dot{U}_T(t_1^{punct}) > 0$. Deci plecând de la momentul t_1^{punct} starea rămâne la evoluția soluției de echilibru perturbată în viteze tangențiale pozitive. Urmează o perturbație în viteze tangențiale negative, evoluția fiind descrisă de ecuațiile de mai jos.

$$\begin{cases} m\ddot{U}_T + (K_T + \mu W)U_T = F_T + \mu F_N \\ U_T(0) = \frac{F_N}{W} \\ \dot{U}_T(0) = V_{0T} < 0 \end{cases} \quad (4.23)$$

Soluția problemei (4.23) se exprimă:

$$U_T(t) = V_{0T} \sqrt{\frac{m}{K_T + \mu W}} \sin\left(\sqrt{\frac{K_T + \mu W}{m}} t\right) + \frac{F_T + \mu F_N}{K_T + \mu W} \quad (4.24)$$

Expresia (4.24) permite obținerea unui moment \hat{t} unde viteza se anulează. Pentru că la acest moment nu există poziție de echilibru, această fază de alunecare în sens negativ se succede unei faze de alunecare în sens pozitiv. În timpul celei de a doua faze mișcarea este obținută ca soluția următorului sistem de ecuații diferențiale:

$$\begin{cases} m\ddot{U}_T + (K_T - \mu W)U_T = F_T - \mu F_N \\ U_T(0) = V_{0T} \sqrt{\frac{m}{K_T + \mu W}} + \frac{F_T + \mu F_N}{K_T + \mu W} \\ \dot{U}_T(0) = 0 \end{cases}$$

Rezultă:

$$U_T(t) = V_{0T} \sqrt{\frac{m}{K_T + \mu W}} \cos\left(\sqrt{\frac{K_T - \mu W}{m}} t\right) + \frac{F_T - \mu F_N}{K_T - \mu W}$$

Există atunci un moment t_1^{punct} astfel că masa se găsește la vârful conului de frecare. La acest moment se verifică că:

$$U_T(t_1^{punct}) = \frac{F_N}{W}$$

Fie $V_{0T} \sqrt{\frac{m}{K_T + \mu W}} \cos\left(\sqrt{\frac{K_T - \mu W}{m}} t_1^{punct}\right) = 0$ sau $A = K_T F_N - W F_T = 0$. Ceea ce

implică $t_1^{punct} = \sqrt{\frac{m}{K_T - \mu W}} \frac{\pi}{2}$. La acest moment avem:

$$\dot{U}_T(t_1^{punct}) = -V_{0T} \sqrt{\frac{K_T - \mu W}{K_T + \mu W}} > 0. \text{ În consecință la momentul } t_1^{punct} \text{ starea de}$$

echilibru rămâne la evoluția soluției de echilibru perturbată în viteze tangențiale pozitive.

Etapa 2

Se va arăta că evoluția particulei materiale cuprinde o succesiune de faze de alunecare și faze de mișcare fără contact. Fie t_i^{punct} un moment la care reacțiunea atinge vârful conului de frecare, cum s-a calculat la etapa 1. Evoluția ulterioară este atunci aceea a existenței unei faze de mișcare fără contact, un moment de ciocnire t_i^{imp} , o fază de alunecare apoi un nou moment t_{i+1}^{punct} .

De la momentul t_i^{punct} , relația (4.5) permite caracterizarea deplasării în viteză la momentul ciocnirii. Aceasta va fi:

$$U_T(t_i^{imp}) = \dot{U}_T(t_i^{punct}) \frac{\sin(a_1 t_i^{imp})}{a_1} + \frac{F_N}{W}, \text{ cu } \sin(a_1 t_i^{imp}) < 0$$

$$\dot{U}_T(t_i^{imp}) = \dot{U}_T(t_i^{punct}) \cos(a_1 t_i^{imp})$$

Evoluția masei materiale la plecarea de la momentul t_i^{imp} depinde de semnul vitezei tangențiale la momentul ciocnirii

$$\dot{U}_T\left(\dot{U}_T(t_i^{punct}), t_i^{imp}\left(\dot{U}_T(t_i^{punct})\right)\right) = \frac{dU_T\left(\dot{U}_T(t_i^{punct}), t_i^{imp}\left(\dot{U}_T(t_i^{punct})\right)\right)}{dt} \quad \text{pe}$$

care algoritmul NSCD o aproximează prin viteza calculată la ultimul pas de timp de mișcare fără contact și care este o aproximație de

$\dot{U}_T\left(V_T(t_i^{punct}), t_i^{imp}\left(V_T(t_i^{punct})\right)\right)$. Deplasarea care intervine în această expresie

U_T este definită de relația (4.2). Semnul acestei viteze notată prin $\dot{U}_T(t_i^{imp})$ depinde de coeficienții matricei de rigiditate.

Dacă $\dot{U}_T(t_i^{imp}) > 0$ alunecarea este pozitivă. În timpul acestei faze mișcarea particulei materiale este dată de soluția sistemului:

$$\begin{cases} m\ddot{U}_T + (K_T - \mu W)U_T = F_T - \mu F_N \\ U_T(0) = U_T(t_i^{imp}) \\ \dot{U}_T(0) = \dot{U}_T(t_i^{imp}) \end{cases} \quad (4.25)$$

Prin translatarea condițiilor inițiale se poate determina un $\beta < 0$ astfel că această problemă de mai sus este echivalentă cu:

$$\begin{cases} m\ddot{U}_T + (K_T - \mu W)U_T = F_T - \mu F_N \\ U_T(0) = \frac{F_N}{W} + \beta \\ \dot{U}_T(0) = 0 \end{cases} \quad (4.26)$$

Soluția acestui sistem este:

$$U_T(t) = \beta \cos\left(\sqrt{\frac{K_T - \mu W}{m}}t\right) + \frac{F_T - \mu F_N}{K_T - \mu W}$$

și masa materială atinge punctul conului de frecare la momentul t_{i+1}^{punct} dacă relația următoare este satisfăcută:

$$U_T(t_{i+1}^{punct}) = \frac{F_N}{W}.$$

Se obține în consecință $t_{i+1}^{punct} = \sqrt{\frac{m}{K_T - \mu W}} \frac{\pi}{2}$.

$$\text{Rezultă } \dot{U}_T(t_{i+1}^{punct}) = -\eta \sqrt{\frac{K_T - \mu W}{m}} > 0$$

Dacă viteza la momentul ciocnirii este pozitivă masa materială atinge punctul conului de frecare cu o viteză strict pozitivă. Dacă $\dot{U}_T(t_i^{imp}) < 0$ alunecarea este pozitivă. În timpul acestei faze, mișcarea este soluția sistemului:

$$\begin{cases} m\ddot{U}_T + (K_T + \mu W)U_T = F_T + \mu F_N \\ U_T(0) = U_T(t_i^{imp}) \\ \dot{U}_T(0) = \dot{U}_T(t_i^{imp}) \end{cases}$$

a cărei soluție este:

$$U_T(t) = \left(U_T(t_i^{imp}) - \frac{F_T + \mu F_N}{K_T + \mu W} \right) \cos\left(\sqrt{\frac{K_T + \mu W}{m}}t\right) + \dot{U}_T(t_i^{imp}) \sqrt{\frac{m}{K_T + \mu W}} \sin\left(\sqrt{\frac{K_T + \mu W}{m}}t\right) + \frac{F_T + \mu F_N}{K_T + \mu W}$$

Această expresie arată existența unui moment \hat{t}_i astfel că $\dot{U}_T(\hat{t}_i) = 0$. $N_N(\hat{t}_i)$ este atunci strict negativă. Această fază de alunecare negativă se continuă print-o fază

de alunecare pozitivă. Evoluția este descrisă de un sistem analog cu (4.26). Rezultă, că dacă viteza la momentul de ciocnire este negativă masa materială atinge punctul conului de frecare cu o viteză strict pozitivă.

Oricare ar fi semnul vitezei la momentul ciocnirii există, deci un moment t_{i+1}^{punct} pentru care viteza tangențială este pozitivă. Există un moment t_{i+1}^{imp} , deci evoluția sistemului este constituită dintr-o succesiune de faze de mișcare fără contact și de alunecare.

Etapa 3

Fie t_i^{punct} și t_{i+1}^{punct} două momente consecutive astfel încât $U_T\left(t_j^{punct} = \frac{F_N}{W}\right)$, $j = i, i + 1$, $\dot{U}_T\left(t_{i+1}^{punct}\right) < \dot{U}_T\left(t_i^{punct}\right)$.

Dacă $\dot{U}_T\left(t_i^{imp}\right) > 0$ mișcarea particulei materiale este de forma:

$$U_T(t) = \dot{U}_T\left(t_i^{punct}\right) \frac{\sin\left(a_1 t_i^{imp}\right)}{a_1} \cos\left(\sqrt{\frac{K_T - \mu W}{m}} t\right) + \sqrt{\frac{m}{K_T - \mu W}} \dot{U}_T\left(t_i^{punct}\right) \cos\left(a_1 t_i^{imp}\right) \sin\left(\sqrt{\frac{K_T - \mu W}{m}} t\right) + \frac{F_T - \mu F_N}{K_T - \mu W}$$

Din etapa 2, există t_{i+1}^{punct} astfel că $U_T\left(t_{i+1}^{punct}\right) = \frac{F_N}{W}$. La acest moment expresia vitezei este următoarea:

$$\dot{U}_T\left(t_{i+1}^{punct}\right) = \dot{U}_T\left(t_i^{punct}\right) \left\{ -\sqrt{\frac{K_T - \mu W}{m}} \frac{\sin\left(a_1 t_i^{imp}\right)}{a_1} \sin\left(\sqrt{\frac{K_T - \mu W}{m}} t_{i+1}^{punct}\right) + \cos\left(a_1 t_i^{imp}\right) \cos\left(\sqrt{\frac{K_T - \mu W}{m}} t_{i+1}^{punct}\right) \right\}$$

Dar $\sqrt{\frac{K_T - \mu W}{m}} < a_1$ și $\sin\left(a_1 t_i^{imp}\right) < 0$ devine

$$\begin{aligned} & \dot{U}_T\left(t_{i+1}^{punct}\right) < \dot{U}_T\left(t_i^{punct}\right) \\ & \left\{ -\sin\left(a_1 t_i^{imp}\right) \sin\left(\sqrt{\frac{K_T - \mu W}{m}} t_{i+1}^{punct}\right) + \cos\left(a_1 t_i^{imp}\right) \cos\left(\sqrt{\frac{K_T - \mu W}{m}} t_{i+1}^{punct}\right) \right\} \\ & < \dot{U}_T\left(t_i^{punct}\right) \cos\left(a_1 t_i^{imp} + \sqrt{\frac{K_T - \mu W}{m}} t_{i+1}^{punct}\right) < \dot{U}_T\left(t_i^{punct}\right) \end{aligned} \quad (4.27)$$

Dacă $\dot{U}_T\left(t_i^{imp}\right) < 0$ evoluția este descrisă de sistemul (4.27) și, ca și în cazul precedent această problemă este echivalentă cu:

$$\begin{cases} m\ddot{U}_T + (K_T + \mu W)U_T = F_T + \mu F_N \\ U_T(0) = \frac{F_N}{W} + \dot{U}_T(t_i^{punct}) \frac{\sin(a_1 t_i^{imp})}{a_1} + \beta; \beta > 0 \\ \dot{U}_T(0) = 0 \end{cases}$$

Soluția este dată de:

$$U_T(t) = \left(\dot{U}_T(t_i^{punct}) \frac{\sin(a_1 t_i^{imp})}{a_1} + \beta \right) \cos\left(\sqrt{\frac{K_T + \mu W}{m}} t\right) + \frac{F_T - \mu F_N}{K_T + \mu W}$$

Rezultă existența unui moment \hat{t}_i astfel că viteza se anulează. Această fază de alunecare negativă este urmată de o fază de alunecare pozitivă a cărei condiții inițiale sunt date:

$$(U_T(0), \dot{U}_T(0)) = \left(-\dot{U}_T(t_i^{punct}) \frac{\sin(a_1 t_i^{imp})}{a_1} - \beta + \frac{F_T + \mu F_N}{K_T + \mu W}, 0 \right)$$

Deplasarea corespunzătoare acestei faze devine:

$$U_T(t) = -\left(\dot{U}_T(t_i^{punct}) \frac{\sin(a_1 t_i^{imp})}{a_1} + \beta \right) \cos\left(\sqrt{\frac{K_T - \mu W}{m}} t\right) + \frac{F_T - \mu F_N}{K_T - \mu W}$$

Masa materială atinge vârful conului de frecare la momentul

$$t_{i+1}^{punct} = \sqrt{\frac{m}{K_T - \mu W}} \frac{3\pi}{2} \text{ și avem:}$$

$$\begin{aligned} \dot{U}_T(t_{i+1}^{punct}) &= -\left(\dot{U}_T(t_i^{punct}) \frac{\sin(a_1 t_i^{imp})}{a_1} + \beta \right) \sqrt{\frac{K_T - \mu W}{m}} \\ &< -\dot{U}_T(t_i^{punct}) \frac{\sin(a_1 t_i^{imp})}{a_1} \sqrt{\frac{K_T - \mu W}{m}} \\ &< \frac{\dot{U}_T(t_i^{punct})}{a_1} \sqrt{\frac{K_T - \mu W}{m}} < \dot{U}_T(t_i^{punct}) \end{aligned} \quad (4.28)$$

Ceea ce arată că oricare ar fi semnul vitezei la momentul ciocnirii, masa materială atinge vârful conului de frecare cu o viteză pozitivă $\dot{U}_T(t_{i+1}^{punct}) < \dot{U}_T(t_i^{punct})$.

Etapa 4

Fie t_{i+1}^{punct} un moment astfel că $U_T(t_{i+1}^{punct}) = \frac{F_N}{W}$, i starea numărului de cicluri de alunecare fără contact. Atunci $\lim_{i \rightarrow +\infty} \dot{U}_T(t_{i+1}^{punct}) = 0$.

Din etapa 3, expresia vitezei la momentul t_{i+1}^{punct} depinde de semnul vitezei la momentul ciocnirii, dar expresiile (4.27) și (4.28) arată că se poate găsi pentru fiecare i un γ_i astfel că:

$$\dot{U}_T(t_{i+1}^{punct}) < \gamma_i \dot{U}_T(t_i^{punct})$$

Rezultă:

$$\dot{U}_T(t_{i+1}^{punct}) < \gamma_i \dot{U}_T(t_i^{punct}) \text{ cu } \gamma = \sup_{i \in \mathbb{N}} \gamma_i < 1$$

În consecință $\lim_{i \rightarrow +\infty} \dot{U}_T(t_{i+1}^{punct}) = 0$.

Etapa 5 Concluzii

În urma unei perturbații în viteză tangențială negativă poziția de echilibru este alunecarea iminentă, etapele 1 și 2 arată că masa trece printr-o succesiune de faze de mișcare fără contact și de alunecare. Etapele 3 și 4 arată că atunci când masa materială se găsește într-un punct al conului de frecare viteza tangențială tinde spre zero când timpul tinde la infinit. Rezultă că:

$$\lim_{t \rightarrow +\infty} |U_T(t) - U_T^e| = 0 \text{ și } \lim_{t \rightarrow +\infty} |U_N(t)| = 0$$

$$\text{Starea de echilibru în contact cu zbor } \underline{U}^{zbor} = \left(0, \frac{F_N}{W}\right), \quad \underline{N}^{zbor} = 0$$

caracterizată de $A = 0$ și $\mu = \frac{K_T}{W}$ este stabilă în sens Lyapunov.

În cele ce urmează demonstrăm următoarea relația:

$$\forall \varepsilon > 0, \exists \eta(\varepsilon) > 0, \|V_0\| < \eta \Rightarrow \|U(t) - U^{zbor}\| < \varepsilon$$

Evoluția masei materiale în contact cu zbor va fi aceeași pentru perturbațiile în viteză normală compatibile cu legăturile unilaterale și pentru perturbațiile în viteză tangențială pozitivă, este suficient de demonstrat următoarea relație:

$$\forall \varepsilon > 0, \exists \eta(\varepsilon) > 0, |V_{0T}| < \eta \Rightarrow |U_T(t) - U_T^{zbor}| < \varepsilon \quad (4.29)$$

Pentru perturbațiile în viteze tangențiale negative dorim să demonstrăm că relația 4.29 este îndeplinită. Echilibrul în contact cu zbor este dat de către $U^{zbor} = \left(0, \frac{F_N}{W}\right)$

și $N^{zbor} = 0$. După o perturbație V_{0T} negativă, prima fază de alunecare este soluția ecuației diferențiale:

$$\begin{cases} m\ddot{U}_T + 2K_T U_T = \frac{WF_T + K_T F_N}{W} \\ U_T(0) = \frac{F_N}{W} \\ \dot{U}_T(0) = V_{0T} < 0 \end{cases}$$

a cărei soluție este:

$$U_T(t) = V_{0T} \sqrt{\frac{m}{2K_T}} \sin\left(\sqrt{\frac{2K_T}{m}} t\right) + \frac{F_N}{W},$$

viteza se anulează pentru $\hat{t} = \sqrt{\frac{m}{2K_T}} \frac{\pi}{2}$. Pentru $A = 0$ și $\mu = \frac{K_T}{W}$ domeniul admisibil

al reacțiilor normale corespunde la \mathfrak{R}^- . În consecință, există o stare de echilibru $(\tilde{U}^e, \tilde{N}^e)$ astfel încât $\tilde{N}^e = N(\hat{t})$. Pentru orice $t > \hat{t}$ viteza este identic nulă și oricare ar fi $t > \hat{t}$ avem:

$$\left| U_T^{zbor} - U_T(t) \right| = \left| U_T^{zbor} - U_T(\hat{t}) \right| < -V_{0T} \sqrt{\frac{m}{2K_T}}$$

Pentru orice $\varepsilon > 0$ relația 4.29 este satisfăcută cu $\eta = \frac{\varepsilon}{2} \sqrt{\frac{2K_T}{m}}$.

Pentru perturbațiile în viteză tangențială pozitivă arătăm îndeplinirea condițiilor cerute. Se consideră o perturbație tangențială V_{0T} pozitivă, astfel există un moment de impact $t_1^{imp} > 0$.

Evoluția masei materiale la plecarea de la momentul t_1^{imp} depinde de semnul vitezei tangențiale $\dot{U}_T(t_1^{imp})$. Dacă viteza la momentul impactului $\dot{U}_T(t_1^{imp})$ este negativă evoluția pe un interval la dreapta lui t_1^{imp} verifică ecuația diferențială:

$$\begin{cases} m\ddot{U}_T + 2K_T U_T = \frac{WF_T + K_T F_N}{W} \\ U_T(0) = U_T(t_1^{imp}) \\ \dot{U}_T(0) = \dot{U}_T(t_1^{imp}) < 0 \end{cases} \quad (4.30)$$

Deplasarea și viteza la momentul impactului sunt date de:

$$U_T(t_1^{imp}) = V_{0T} \frac{\sin(a_1 t_1^{imp})}{a_1} + \frac{F_N}{W},$$

$$\dot{U}_T(t_1^{imp}) = V_{0T} \cos(a_1 t_1^{imp})$$

și soluția sistemului 4.29 verifică:

$$U_T(t) = V_{0T} \frac{\sin(a_1 t_1^{imp})}{a_1} \cos\left(\sqrt{\frac{2K_T}{m}} t\right) + V_{0T} \cos(a_1 t_1^{imp}) \sqrt{\frac{m}{2K_T}} \sin\left(\sqrt{\frac{2K_T}{m}} t\right) \quad (4.31)$$

Există atunci un moment \hat{t} astfel încât $\dot{U}_T(\hat{t}) = 0$. Domeniul admisibil al reacțiunilor normale fiind încă \mathfrak{R}^- , există o stare de echilibru $(\tilde{U}^e, \tilde{N}^e)$ astfel încât $\tilde{N}^e = N(\hat{t})$. Pentru orice $t > \hat{t}$ viteza este identic nulă și astfel:

$$\forall t > \hat{t}, |U_T^{zbor} - U_T(t)| = |U_T^{zbor} - U_T(\hat{t})| < v_{0T} \left(\frac{1}{a_1} + \sqrt{\frac{m}{2K_T}} \right)$$

Pentru orice $\varepsilon > 0$, relația 4.29 este satisfăcută cu $\eta = \frac{\varepsilon}{2} \frac{a_1 \sqrt{2K_T}}{\sqrt{2K_T} + a_1 \sqrt{m}}$. Dacă viteza la momentul impactului $\dot{U}_T(t_1^{imp})$ este pozitivă, faza de alunecare pozitivă care urmează t_1^{imp} se face la viteză constantă $\dot{U}_T(t_1^{imp})$. Există atunci un moment t_2^{punct} astfel încât $U_T(t_2^{punct}) = \frac{FN}{W}$ cu $\dot{U}_T(t_2^{punct}) = \dot{U}_T(t_1^{imp}) > 0$, apoi un moment de impact $t_2^{imp} > t_2^{punct}$.

Fie t_i^{imp} și t_{i+1}^{imp} cele două momente de impact consecutive. Arătăm că există un moment de impact t_j^{imp} astfel încât $\dot{U}_T(t_{j-1}^{imp}) > 0$ și $\dot{U}_T(t_j^{imp}) < 0$. Presupunem că pentru orice $i < l$, $\dot{U}_T(t_j^{imp}) > 0, j = i, i + 1$. Avem:

$$\dot{U}_T(t_{i+1}^{imp}) = \dot{U}_T(t_i^{imp}) \cos(a_1 t_{i+1}^{imp}) < \dot{U}_T(t_i^{imp})$$

În consecință, valoarea vitezei între cele două faze consecutive de alunecare pozitivă se diminuează. În timpul oricărei faze de alunecare viteza este constantă și masa atinge punctul conului de frecare la momentul t_{j+1}^{punct} cu viteza $\dot{U}_T(t_{j+1}^{punct}) = \dot{U}_T(t_j^{imp})$. În plus, deplasarea tangențială satisface:

$$U_T(t) = \dot{U}_T(t_j^{imp})t + U_T(t_j^{imp})$$

Atunci durata alunecării pozitive este:

$$\Delta t_{j+1}^{punct} = - \frac{\dot{U}_T(t_j^{imp}) \sin(a_1 t_{j+1}^{imp})}{\dot{U}_T(t_{j+1}^{imp}) a_1}$$

Rezultă: $\Delta t_{i+2}^{punct} < \Delta t_{i+1}^{punct}$. Durata mișcării fără contact este identică pentru fiecare din faze, există un moment de impact $t_l^{imp} \in \left[\frac{\pi}{a_1}, \frac{3\pi}{2a_1} \right] + 2k\pi, k \in \mathbf{N}$. Prin urmare $\dot{U}_T(t_l^{imp}) < 0$. Plecând de la momentul t_l^{imp} masa este în alunecare negativă dată de sistemul:

$$\begin{cases} m\ddot{U}_T + 2K_T U_T = \frac{WF_T + K_T F_N}{W} \\ U_T(0) = U_T(t_1^{imp}) = \dot{U}_T(t_{l-1}^{imp}) \frac{\sin(a_1 t_1^{imp})}{a_1} + \frac{F_N}{W} \\ \dot{U}_T(0) = \dot{U}_T(t_1^{imp}) = \dot{U}_T(t_{l-1}^{imp}) \cos(a_1 t_1^{imp}) < 0 \end{cases}$$

Soluția este:

$$U_T(t) = \dot{U}_T(t_{l-1}^{imp}) \frac{\sin(a_1 t_1^{imp})}{a_1} \cos\left(\sqrt{\frac{2K_T}{m}} t\right) + \dot{U}_T(t_{l-1}^{imp}) \cos(a_1 t_1^{imp}) \sqrt{\frac{m}{2K_T}} \sin\left(\sqrt{\frac{2K_T}{m}} t\right) + \frac{WF_T + K_T F_N}{2K_T W}$$

de unde se deduce că există un moment \hat{t} astfel încât viteza se anulează. În acest moment, reacțiunea normală $N_N(\hat{t})$ corespunde la o stare de echilibru deoarece domeniul admisibil al reacțiunilor normale este \mathfrak{R}^- . În consecință, viteza rămâne nulă pentru orice $t > \hat{t}$. Rezultă că pentru orice $t > \hat{t}$:

$$\begin{aligned} |U_T^{zbor} - U_T(t)| &= |U_T^{zbor} - U_T(\hat{t})| \\ &< \left| \dot{U}_T(t_{l-1}^{imp}) \frac{\sin(a_1 t_1^{imp})}{a_1} \cos\left(\sqrt{\frac{2K_T}{m}} \hat{t}\right) + \dot{U}_T(t_{l-1}^{imp}) \cos(a_1 t_1^{imp}) \sqrt{\frac{m}{2K_T}} \sin\left(\sqrt{\frac{2K_T}{m}} \hat{t}\right) \right| \\ &< V_{0T} \left| \prod_{j=1}^{l-1} \frac{\sin(a_1 t_j^{imp})}{a_1} \cos\left(\sqrt{\frac{2K_T}{m}} \hat{t}\right) + \prod_{j=1}^{l-1} \cos(a_1 t_j^{imp}) \sqrt{\frac{m}{2K_T}} \sin\left(\sqrt{\frac{2K_T}{m}} \hat{t}\right) \right| \\ &< V_{0T} \left(\frac{1}{a_1} + \sqrt{\frac{m}{2K_T}} \right). \end{aligned}$$

Oricare ar fi $\varepsilon > 0$ relația 4.29 este satisfăcută cu $\eta = \frac{\varepsilon}{2} \frac{a_1 \sqrt{2K_T}}{\sqrt{2K_T} + a_1 \sqrt{m}}$.

Toate stările de echilibru în alunecare pozitivă caracterizate prin $A=0$ și $\mu = \frac{K_T}{W}$ care au o reacțiune normală strict negativă sunt nestabile.

În orice vecinătate a poziției de echilibru se poate găsi o perturbație V_{0T} pozitivă astfel că dinamica sistemului în vecinătatea acestei stări se îndepărtează de poziția de echilibru.

Arătam că soluția sistemului ajunge întotdeauna în vecinătatea stării de echilibru în contact cu zbor caracterizată de $U^{zbor} = \left(0, \frac{F_N}{W}\right)$, $N^{zbor} = 0$, sau altfel, oricare ar fi $\varepsilon > 0$ și $\eta > 0$, există $|V_{0T}| < \eta$ astfel încât $|U_T^e - U_T(t)| > \varepsilon$ ceea ce arată că:

$$|U_T^{zbor} - U_T(t)| < \varepsilon \quad (4.32)$$

U^{zbor} fiind la distanța finită față de U^e obținută din 4.32 care va demonstra rezultatul.

Fie atunci o poziție de echilibru în tendință de alunecare cu o perturbație a vitezei tangențiale V_{0T} pozitivă infinezimală. Amintim că pentru $A = 0$ și $\mu = \frac{K_T}{W}$ masa alunecă în sens pozitiv cu o viteză constantă V_{0T} . Există atunci un moment $t_1^{punct} > 0$ astfel că masa se găsește într-un punct al conului. Masa zboară și există un moment t_1^{imp} astfel că masa intră în contact. Relațiile 4.4 și 4.5 furnizează deplasarea tangențială la momentul impactului:

$$U_T(t_1^{imp}) = V_{0T} \frac{\sin(a_1 t_1^{imp})}{a_1} + \frac{F_N}{W}$$

$$\dot{U}_T(t_1^{imp}) = V_{0T} \cos(a_1 t_1^{imp})$$

Evoluția masei materiale după impact depinde de semnul vitezei tangențiale $\dot{U}_T(V_{0T}, t_1^{imp}(V_{0T}))$. Presupunem că $\dot{U}_T(t_1^{imp}) < 0$. În timpul fazei de alunecare negativă evoluția este descrisă de sistemul 4.30. Soluția este dată de expresia 4.31. Aceasta arată că există un moment \hat{t} astfel încât $\dot{U}_T(\hat{t}) = 0$. Ansamblul domeniului admisibil al reacțiunii normale fiind \mathfrak{R}^- , există o stare de echilibru $(\tilde{U}^e, \tilde{N}^e)$ pentru care $N(\hat{t}) = \tilde{N}^e$. În consecință, $\dot{U}_T(t) \equiv 0$ pentru orice $t > \hat{t}$.

V_{0T} fiind infinezimală rezultă:

$$\forall t > \hat{t}, |U_T(t) - U_T^e| = |U_T(\hat{t}) - U_T^e|$$

$$= \left| V_{0T} \frac{\sin(a_1 t_1^{imp})}{a_1} \cos\left(\sqrt{\frac{2K_T}{m}} \hat{t}\right) + V_{0T} \cos(a_1 t_1^{imp}) \sqrt{\frac{m}{2K_T}} \sin\left(\sqrt{\frac{2K_T}{m}} \hat{t}\right) - \frac{N_N^e}{W} \right|$$

$$> V_{0T} \left| \frac{\sin(a_1 t_1^{imp})}{a_1} \cos\left(\sqrt{\frac{2K_T}{m}} \hat{t}\right) + \cos(a_1 t_1^{imp}) \sqrt{\frac{m}{2K_T}} \sin\left(\sqrt{\frac{2K_T}{m}} \hat{t}\right) \right|.$$

Rezultă:

$$\forall t > \hat{t}, |U_T(t) - U_T^{zbor}| = |U_T(\hat{t}) - U_T^{zbor}|$$

$$< V_{0T} \left| \frac{\sin(a_1 t_1^{imp})}{a_1} \cos\left(\sqrt{\frac{2K_T}{m}} \hat{t}\right) + \cos(a_1 t_1^{imp}) \sqrt{\frac{m}{2K_T}} \sin\left(\sqrt{\frac{2K_T}{m}} \hat{t}\right) \right| < V_{0T} \left(\frac{1}{a_1} + \sqrt{\frac{m}{2K_T}} \right)$$

Există deci $\eta > 0$ astfel încât relația 4.32 este verificată deoarece este suficient de

$$\text{ales } \eta = \frac{\varepsilon}{2} \frac{a_1 \sqrt{2K_T}}{\sqrt{2K_T} + a_1 \sqrt{m}}.$$

Se presupune că $\dot{U}_T(t_1^{imp}) > 0$. Masa alunecă în sens pozitiv și viteza constantă $\dot{U}_T(t_1^{imp}) > 0$ atinge conul de frecare. Fie t_l^{imp} un moment de impact cu $\dot{U}_T(t_l^{imp}) < 0$. Atunci există un moment \hat{t} astfel că $\dot{U}_T(t) \equiv 0$ și pentru orice $t > \hat{t}$. Perturbația inițială fiind infinitesimală rezultă:

$$\forall t > \hat{t}, |U_T(t) - U_T^e| > |U_T(\hat{t}) - U_T^e|$$

$$= \left| V_T(t_{l-1}^{imp}) \frac{\sin(a_1 t_l^{imp})}{a_1} \cos\left(\sqrt{\frac{2K_T}{m}} \hat{t}\right) + V_T(t_{l-1}^{imp}) \cos(a_1 t_l^{imp}) \sqrt{\frac{m}{2K_T}} \sin\left(\sqrt{\frac{2K_T}{m}} \hat{t}\right) - \frac{N_N^e}{W} \right|$$

$$> V_{0T} \left| \prod_{j=1}^{l-1} \cos(a_1 t_j^{imp}) \left\{ \frac{\sin(a_1 t_l^{imp})}{a_1} \cos\left(\sqrt{\frac{2K_T}{m}} \hat{t}\right) + \cos(a_1 t_l^{imp}) \sqrt{\frac{m}{2K_T}} \sin\left(\sqrt{\frac{2K_T}{m}} \hat{t}\right) \right\} \right|$$

Ca și în cazul situației anterioare:

$$\forall t > \hat{t}, |U_T(t) - U_T^{zbor}| = |U_T(\hat{t}) - U_T^{zbor}| < V_{0T} \left(\frac{1}{a_1} + \sqrt{\frac{m}{2K_T}} \right)$$

În consecință există $\eta > 0$ astfel încât relația 4.32 este verificată pentru

$$\eta = \frac{\varepsilon}{2} \frac{a_1 \sqrt{2K_T}}{\sqrt{2K_T} + a_1 \sqrt{m}}. \text{ Aceasta arată că traiectoria punctului material ce rezultă din}$$

condițiile inițiale din vecinătatea echilibrului în tendință de alunecare intră într-un timp finit în vecinătatea poziției de zbor.

Orice stare de echilibru este stabilă în sens Lyapunov pentru $A = 0$ cu $\mu = \frac{K_T}{W}$ fie dacă $A = 0$ fie dacă $A > 0$ oricare ar fi μ .

Această afirmație se evidențiază în câteva etape pentru evidențierea tuturor condițiilor necesare în studiul stabilității Lyapunov a sistemului analizat.

Stabilim următoarea implicație:

$$\forall \varepsilon > 0, \exists \eta(\varepsilon) > 0, \|V_0\| < \eta, \Rightarrow \|U^e - U(t)\| < \varepsilon \quad (4.33)$$

Etapă 1

Se stabilește relația 4.33 pentru perturbațiile în viteză tangențială V_{0T} negativă.

Înainte de toate se face următoarea remarcă: deoarece $A > 0$ cu $\mu < \frac{K_T}{W}$, faza de alunecare negativă care urmează unei perturbații în viteze tangențiale negative poate fi chiar ea însăși urmată de o fază de alunecare pozitivă. În consecință, masa poate atinge punctul conului de frecare apoi zboară. Ca să evităm această situație se determină un parametru $\eta > 0$ astfel încât pentru orice $V_{0T} \in (-\eta, 0)$ situația precedentă se exclude.

Presupunem că faza de alunecare negativă este urmată de o fază de alunecare pozitivă. Există un \hat{t} astfel încât $\dot{U}_T(\hat{t}) = 0$ cu $N_N(\hat{t}) < 0$. În timpul fazei de alunecare negativă evoluția mișcării masei este descrisă de:

$$\begin{cases} m\ddot{U}_T + (K_T + \mu W)U_T = F_T + \mu F_N \\ U_T(0) = \frac{F_N}{W} + \frac{N_N^e}{W} \\ \dot{U}_T(0) = V_{0T} < 0 \end{cases} \quad (4.34)$$

a cărei soluție este:

$$U_T(t) = \left(\frac{A}{W(K_T + \mu W)} + \frac{N_N^e}{W} \right) \cos\left(\sqrt{\frac{K_T + \mu W}{m}} t \right) + V_{0T} \sqrt{\frac{m}{K_T + \mu W}} \sin\left(\sqrt{\frac{K_T + \mu W}{m}} t \right) + \frac{F_T + \mu F_N}{K_T + \mu W}$$

Există deci un moment \tilde{t} pentru care $\dot{U}_T(\tilde{t}) = 0$. Rezultă că dacă nu există stare de echilibru $(\tilde{U}^e, \tilde{N}^e)$ astfel ca $\tilde{N}^e = N(\hat{t})$ mișcarea ce trece peste o fază de alunecare pozitivă este dată de:

$$\begin{cases} m\ddot{U}_T + (K_T - \mu W)U_T = F_T - \mu F_N \\ U_T(0) = U_T(\tilde{t}) \\ \dot{U}_T(0) = 0 \end{cases}$$

$$\text{cu } U_T(\tilde{t}) < -\frac{A}{W(K_T - \mu W)} + \frac{F_N}{W}$$

Soluția este:

$$U_T(t) = \left(U_T(\tilde{t}) - \frac{F_T - \mu F_N}{K_T - \mu W} \right) \cos\left(\sqrt{\frac{K_T - \mu W}{m}} t \right) + \frac{F_T - \mu F_N}{K_T - \mu W}$$

Se spune că masa se oprește din alunecare înainte de a atinge punctul conului de frecare ceea ce înseamnă că există $\hat{t} > \tilde{t}$ astfel că

$$\dot{U}_T(\hat{t}) = 0 \text{ cu } U_T(\hat{t}) < \frac{F_N}{W} \quad (4.35)$$

Rezultă:

$$U_T(\hat{t}) < -U_T(\tilde{t}) + 2 \frac{F_T - \mu F_N}{K_T - \mu W}$$

$$< - \left\{ \frac{A}{W(K_T + \mu W)} + \frac{N_N^e}{W} \right\} - V_{0T} \sqrt{\frac{m}{K_T + \mu W}} - \frac{F_T - \mu F_N}{K_T - \mu W} + 2 \frac{F_T - \mu F_N}{K_T - \mu W}$$

Condiția 4.35 este satisfăcută dacă perturbația V_{0T} verifică:

$$V_{0T} > \sqrt{\frac{K_T + \mu W}{m}} \left\{ -\frac{2A}{W(K_T - \mu W)} + \frac{A}{W(K_T + \mu W)} \right\}$$

care dă explicit valoarea lui η .

Fie (U^e, N^e) o poziție de echilibru perturbată și V_{0T} o perturbație infinezimală în viteze tangențiale negative. Pentru $A > 0$ și $\mu < \frac{K_T}{W}$ se presupune pentru moment

$N_N^e \neq -\frac{A}{K_T - \mu W}$. În consecință, la această perturbație inițială $V_{0T} < 0$, masa este

în alunecare negativă și există un moment $\hat{t} > 0$ astfel încât $\dot{U}(\hat{t}) = 0$ cu $U_T(\hat{t})$ de forma 4.16. Perturbația fiind infinezimală există o stare de echilibru (U^e, N^e)

pentru care la momentul \hat{t} avem $N_N(\hat{t}) = \tilde{N}_N^e$.

Rezultă:

$$\begin{aligned} \forall t > \hat{t}, |U_T^e - U_T(t)| &= |U_T^e - U_T(\hat{t})| = U_T^e - U_T(\hat{t}) \\ &= \frac{F_N}{W} + \frac{N_N^e}{W} - \left(\frac{A}{W(K_T + \mu W)} + \frac{N_N^e}{W} \right) \cos \left(\sqrt{\frac{K_T + \mu W}{m}} \hat{t} \right) \\ &\quad - V_{0T} \sqrt{\frac{m}{K_T + \mu W}} \sin \left(\sqrt{\frac{K_T + \mu W}{m}} \hat{t} \right) - \frac{F_T + \mu F_N}{K_T + \mu W} \\ &= \frac{A}{W(K_T + \mu W)} + \frac{N_N^e}{W} - \left(\frac{A}{W(K_T + \mu W)} + \frac{N_N^e}{W} \right) \cos \left(\sqrt{\frac{K_T + \mu W}{m}} \hat{t} \right) \\ &\quad - V_{0T} \sqrt{\frac{m}{K_T + \mu W}} \sin \left(\sqrt{\frac{K_T + \mu W}{m}} \hat{t} \right) < -V_{0T} \sqrt{\frac{m}{K_T + \mu W}} \end{aligned} \quad (4.36)$$

Astfel, pentru orice $\varepsilon > 0$ relația 4.33 este verificată pentru $V_{0T} < 0$ cu

$$\eta = \frac{\varepsilon}{2} \sqrt{\frac{K_T + \mu W}{m}}.$$

Pentru cazul particular $N_N^e = -\frac{A}{K_T - \mu W}$ cu $A > 0$ și cu $\mu < \frac{K_T}{W}$. Există un moment

$\tilde{t} > 0$ astfel că $\dot{U}(\tilde{t}) = 0$ cu $U_T(\tilde{t})$ dat de relația 4.16. și $N_N(\tilde{t}) < -\frac{A}{K_T - \mu W}$. La

momentul \tilde{t} , masa alunecă în sens pozitiv. Există un moment $\hat{t} > \tilde{t}$ astfel că

$\dot{U}_T(\tilde{t}) = 0$ cu $U_T(\hat{t})$ soluția relației 4.19. Perturbația inițială V_{0T} fiind aleasă infinezimală, există $(\tilde{U}^e, \tilde{N}^e)$ astfel că $N_N(\hat{t}) = \tilde{N}_N^e$. Rezultă:

$$N_N(\hat{t}) = WU_T(\hat{t}) - F_N = WU_T(\tilde{t}) + 2W \frac{(F_N - \mu W)}{K_T - \mu W} - F_N$$

Dar $U_T(\tilde{t}) < \frac{F_N}{W} - \frac{A}{W(K_T - \mu W)}$, rezultă $N_N(\tilde{t}) > -\frac{A}{K_T - \mu W}$. Perturbația fiind infinezimală, avem $N_N(\hat{t}) < \frac{-A}{K_T + \mu W}$. Domeniul de admisibilitate al reacțiunii

normale este aici $\left[-\frac{A}{K_T - \mu W}, -\frac{A}{K_T + \mu W} \right]$ ceea ce arată că pentru orice $t > \hat{t}$,

$\dot{U}(t) = 0$.

Rezultă:

$$\begin{aligned} \forall t > \hat{t}, |U_T^e - U_T(t)| &= |U_T^e - U_T(\hat{t})| < U_T(\hat{t}) - U_T(\tilde{t}) \\ &= \left(U_T(\tilde{t}) - \frac{F_T - \mu F_N}{K_T - \mu W} \right) \cos \left(\sqrt{\frac{K_T - \mu W}{m}} \hat{t} \right) + \frac{F_T - \mu F_N}{K_T - \mu W} \\ &\quad - \left(-\frac{A}{W(K_T - \mu W)} + \frac{A}{W(K_T + \mu W)} \right) \cos \left(\sqrt{\frac{K_T + \mu W}{m}} \tilde{t} \right) \\ &- V_{0T} \sqrt{\frac{m}{K_T + \mu W}} \sin \left(\sqrt{\frac{K_T + \mu W}{m}} \tilde{t} \right) - \frac{F_T + \mu F_N}{K_T + \mu W} \\ &< - \left(U_T(\tilde{t}) - \frac{F_T - \mu F_N}{K_T - \mu W} \right) + \frac{F_T - \mu F_N}{K_T - \mu W} - \left(-\frac{A}{W(K_T - \mu W)} + \frac{A}{W(K_T + \mu W)} \right) \\ &- V_{0T} \sqrt{\frac{m}{K_T + \mu W}} - \frac{F_T + \mu F_N}{K_T + \mu W} < 2 \frac{F_T - \mu F_N}{K_T - \mu W} - 2V_{0T} \sqrt{\frac{m}{K_T + \mu W}} - 2 \frac{F_T + \mu F_N}{K_T + \mu W} \\ &- 2 \left(-\frac{A}{W(K_T - \mu W)} + \frac{A}{W(K_T + \mu W)} \right), \forall t > \hat{t}, |U_T^e - U_T(t)| < -2V_{0T} \sqrt{\frac{m}{K_T + \mu W}} \end{aligned}$$

Oricare ar fi $\varepsilon > 0$, relația 4.33 este verificată pentru $\eta = \varepsilon \sqrt{\frac{K_T + \mu W}{m}}$ pentru

$V_{0T} < 0$. Pentru $A = 0$ cu $\mu > \frac{K_T}{W}$ sau pentru $A > 0$ cu $\mu \geq \frac{K_T}{W}$ nici o restricție

pentru valorile perturbației V_{0T} nu este necesară. Pentru o alunecare negativă, reacțiunea normală descrește. În consecință, domeniul admisibil fiind

$\left(-\infty, -\frac{A}{K_T + \mu W} \right]$, care arată existența unei poziții de echilibru pentru care viteza se

anulează. Relația 4.36 este totdeauna valabilă. Aceasta permite stabilirea relației 4.33.

Pentru $A > 0$ cu $\mu < \frac{K_T}{W}$, relația 4.33 este valabilă pentru perturbațiile $V_{0T} \in (-\eta, 0)$ unde η este definit la începutul etapei 1. În funcție de mărimea lui V_{0T} fazele de alunecare negativă și pozitivă se succed. Există un moment \hat{t} astfel că pentru orice $t > \hat{t}$ viteza este identic nulă. În consecință relația 4.33 este satisfăcută.

Etapa 2

Stabilim relația 4.33 pentru perturbațiile în viteză tangențială V_{0T} pozitive. Amintim că dacă (U^e, N^e) este poziția de echilibru în contact cu zbor, o fază de mișcare fără contact urmează perturbației. Evoluția este atunci identică evoluției acestei soluții de echilibru perturbată în viteze normale negative. În consecință pentru această poziție de echilibru, rezultatul va fi prezentat în etapa 3.

Fie atunci (U^e, N^e) , $N_N^e \neq 0$ o soluție de echilibru perturbată cu o viteză pozitivă V_{0T} infinezimală. În primul rând se presupune că dacă $A > 0$, $N_N^e \neq -\frac{A}{K_T + \mu W}$. Masa alunecă atunci în sens pozitiv și există un moment $\hat{t} > 0$ astfel încât $\dot{U}_T(\hat{t}) = 0$. Perturbația fiind infinezimală, există o poziție de echilibru $(\tilde{U}^e, \tilde{N}^e)$ pentru care $N_N(\hat{t}) = \tilde{N}^e$. Atunci rezultă că oricare ar fi $t > \hat{t}$:

$$|U_T^e - U_T(t)| = |U_T^e - U_T(\hat{t})| = U_T(\hat{t}) - U_T^e \quad (4.37)$$

În funcție de coeficientul de frecare relațiile 4.11, 4.12 și 4.13 permit exprimarea inegalității 4.37 sub una din formele:

- Dacă $\mu < \frac{K_T}{W}$, oricare ar fi $t > \hat{t}$

$$\begin{aligned} |U_T^e - U_T(t)| &= U_T(\hat{t}) - U_T^e \\ &= \left(\frac{A}{W(K_T - \mu W)} + \frac{N_N^e}{W} \right) \cos \left(\sqrt{\frac{K_T - \mu W}{m}} \hat{t} \right) + V_{0T} \sqrt{\frac{m}{K_T - \mu W}} \sin \left(\sqrt{\frac{K_T - \mu W}{m}} \hat{t} \right) \\ &\quad + \frac{F_T - \mu F_N}{K_T - \mu W} - \frac{F_N}{W} - \frac{N_N^e}{W} < V_{0T} \sqrt{\frac{m}{K_T - \mu W}} \end{aligned}$$

Oricare ar fi $\varepsilon > 0$ relația 4.33 este verificată pentru $\eta = \frac{\varepsilon}{2} \sqrt{\frac{K_T - \mu W}{m}}$ și $V_{0T} > 0$.

- Dacă $\mu = \frac{K_T}{W}$ și oricare ar fi $t > \hat{t}$

$$|U_T^e - U_T(t)| = -\frac{A}{2mW} \hat{t}^2 + V_{0T} \hat{t} + \frac{F_N}{W} + \frac{N_N^e}{W} - \frac{F_N}{W} - \frac{N_N^e}{W}$$

Din relația 4.12 se deduce $\hat{t} = \frac{V_{0T}mW}{A}$. Astfel, oricare ar fi $t > \hat{t}$

$$|U_T^e - U_T(t)| = \frac{mW \cdot V_{0T}^2}{2A}$$

Oricare ar fi $\varepsilon > 0$ relația 4.33 este verificată pentru $\eta = \frac{1}{2} \sqrt{\frac{\varepsilon 2A}{mW}}$ și $V_{0T} > 0$.

- Dacă $\mu > \frac{KT}{W} \quad \forall t > \hat{t}$,

$$|U_T^e - U_T(t)| = \left(\frac{A}{W(\mu W - KT)} + \frac{N_N^e}{W} + V_{0T} \sqrt{\frac{m}{\mu W - KT}} \right) e^{\sqrt{\frac{\mu W - KT}{m}} \hat{t}} + \frac{F_T - \mu F_N}{KT - \mu W} - \frac{F_N}{W} - \frac{N_N^e}{W}$$

Perturbarea fiind suficient de mică momentul pentru care viteza se anulează va fi suficient de aproape de zero și atunci oricare ar fi $t > \hat{t}$

$$\begin{aligned} |U_T^e - U_T(t)| &= \left(\frac{A}{W(KT - \mu W)} + \frac{N_N^e}{W} + V_{0T} \sqrt{\frac{m}{\mu W - KT}} \right) - \left(\frac{A}{W(KT - \mu W)} + \frac{N_N^e}{W} \right) + o(V_{0T}^2) \\ &= V_{0T} \sqrt{\frac{m}{\mu W - KT}} + o(V_{0T}^2) \end{aligned}$$

Oricare ar fi $\varepsilon > 0$, relația 4.33 este verificată cu $\eta = \frac{\varepsilon}{2} \sqrt{\frac{\mu W - KT}{m}}$ pentru $V_{0T} > 0$. Se

consideră starea de echilibru cu tendința de alunecare negativă $N_N^e = -\frac{A}{KT + \mu W}$

pentru $A > 0$; există un moment $\hat{t} > 0$ astfel că $\dot{U}(\hat{t}) = 0$ cu

$U_T(\hat{t}) > \frac{F_N}{W} - \frac{A}{W(KT + \mu W)}$. Masa alunecă în sens negativ și există un moment $\hat{t} > \tilde{t}$

astfel că $\dot{U}(\hat{t}) = 0$ și $N_N(\hat{t})$ este egal la reacțiune cu o poziție de echilibru $(\tilde{U}^e; \tilde{N}^e)$.

De fapt,

$$\begin{aligned} N_N(\hat{t}) &= WU_T(\hat{t}) - F_N \\ &= -WU_T(\tilde{t}) + 2W \frac{F_T - \mu F_N}{KT - \mu W} - F_N \end{aligned}$$

Dar, $U_T(\tilde{t}) > \frac{F_N}{W} - \frac{A}{W(KT - \mu W)}$, rezultă $N_N(\hat{t}) < -\frac{A}{KT + \mu W}$. Pentru $A = 0$ cu $\mu > \frac{KT}{W}$ sau

$A > 0$ cu $\mu \geq \frac{KT}{W}$ domeniul de admisibilitate a reacțiunilor normale este

$$\left(-\infty; -\frac{A}{KT + \mu W} \right).$$

Pentru $A > 0$ cu $\mu < \frac{KT}{W}$ perturbația se presupune a fi infinitezimală; $N_N(\hat{t}) > -\frac{A}{KT - \mu W}$ ceea ce implică că $N_N(\hat{t})$ aparține domeniului admisibil al reacțiunilor normale. În consecință, rezultă că oricare ar fi $t > \hat{t}$

$$|u_T^e - u_T(t)| = |u_T^e - u_T(\hat{t})| < u_T(\tilde{t}) - u_T(\hat{t})$$

Mărimile $u_T(\tilde{t})$ și $u_T(\hat{t})$ se obțin la fel ca și în cazul precedent datorită relațiilor 4.11, 4.12, 4.13 și 4.22.

- Dacă $\mu < \frac{KT}{W}$ oricare ar fi $t > \hat{t}$

$$\begin{aligned} |u_T^e - u_T(t)| &= u_T(\hat{t}) - u_T^e \\ &= \left(\frac{A}{W(KT - \mu W)} + \frac{N_N^e}{W} \right) \cos\left(\sqrt{\frac{KT - \mu W}{m}} \hat{t}\right) + v_{OT} \sqrt{\frac{m}{KT - \mu W}} \sin\left(\sqrt{\frac{KT - \mu W}{m}} \hat{t}\right) \\ &\quad + \frac{F_T - \mu F_N}{KT - \mu W} - \frac{F_N}{W} - \frac{N_N^e}{W} < v_{OT} \sqrt{\frac{m}{KT - \mu W}} \end{aligned}$$

Oricare ar fi $\varepsilon > 0$, relația 4.33 este verificată cu $\eta = \varepsilon \sqrt{\frac{KT - \mu W}{m}}$ pentru $v_{OT} > 0$.

- Dacă $\mu = \frac{KT}{W}$, oricare ar fi $t > \hat{t}$

$$\begin{aligned} |u_T^e - u_T(t)| &< u_T(\tilde{t}) - u_T(\hat{t}) \\ &< u_T(\tilde{t}) - \left(u_T(\tilde{t}) - \frac{F_T + \mu F_N}{KT + \mu W} \right) \cos\left(\sqrt{\frac{(KT + \mu W)}{m}} \hat{t}\right) - \frac{F_T + \mu F_N}{KT + \mu W} \\ &< 2u_T(\tilde{t}) - 2\frac{F_T + \mu F_N}{KT + \mu W} \\ &< \frac{v_{OT}^2 m W}{A} + \frac{2F_N}{W} - \frac{2A}{W(KT + \mu W)} - 2\frac{F_T + \mu F_N}{KT + \mu W} < \frac{v_{OT}^2 m W}{A} \end{aligned}$$

În consecință, oricare ar fi $\varepsilon > 0$ relația 4.33 este verificată cu $\eta = \frac{1}{2} \sqrt{\frac{\varepsilon 2A}{mW}}$ pentru $v_{OT} > 0$.

- Dacă $\mu > \frac{KT}{W}$, perturbația fiind suficient de mică, momentul pentru care viteza se anulează va fi suficient de aproape de zero.

Deplasarea $u_T(\tilde{t})$ soluția lui 4.13 la momentul pentru care $\dot{U} = 0$, se scrie:

$$u_T(\tilde{t}) = \left(\frac{A}{W(KT - \mu W)} - \frac{A}{W(KT + \mu W)} + v_{OT} \sqrt{\frac{m}{\mu W - KT}} \right) e^{\sqrt{\frac{\mu W - KT}{m}} \tilde{t}} + \frac{F_T - \mu F_N}{KT - \mu W}$$

care se rescrie:

$$u_T(\tilde{t}) = \frac{A}{W(K_T - \mu W)} - \frac{A}{W(K_T + \mu W)} + v_{0T} \sqrt{\frac{m}{\mu W - K_T}} + \frac{F_N - \mu F_N}{K_T - \mu W} + o(v_{0T}^2)$$

$u_T(\hat{t})$ este soluția unei probleme similare problemei 4.34 cu condițiile inițiale $(u_T(0), \dot{u}_T(0)) = (u_T(\tilde{t}), 0)$ și este:

$$u_T(\hat{t}) = \left(u_T(\tilde{t}) - \frac{F_T - \mu F_N}{K_T + \mu W} \right) \cos\left(\sqrt{\frac{K_T + \mu W}{m}} \hat{t} \right) + \frac{F_T + \mu F_N}{K_T + \mu W}$$

Rezultă că oricare ar fi $t > \hat{t}$,

$$\begin{aligned} |u_T^e - u_T(t)| &< u_T(\tilde{t}) - u_T(\hat{t}) \\ &< 2u_T(\tilde{t}) - 2\frac{F_T + \mu F_N}{K_T + \mu W}; \text{ și astfel oricare ar fi } t > \hat{t} \end{aligned}$$

$$\begin{aligned} |u_T^e - u_T(t)| &< 2 \left(\frac{A}{W(K_T - \mu W)} - \frac{A}{W(K_T + \mu W)} + v_{0T} \sqrt{\frac{m}{\mu W - K_T}} + \frac{F_T - \mu F_N}{K_T - \mu W} \right) \\ &\quad - 2\frac{F_T + \mu F_N}{K_T + \mu W} + o(v_{0T}^2) < 2v_{0T} \sqrt{\frac{m}{\mu W - K_T}} + o(v_{0T}^2) \end{aligned}$$

Astfel pentru orice $\varepsilon > 0$ relația 4.33 este verificată cu $\eta = \varepsilon \sqrt{\frac{\mu W - K_T}{m}}$ pentru $v_{0T} > 0$

În consecință relația 4.33 este satisfăcută pentru toate soluțiile de echilibru caracterizate de $A = 0$ cu $\mu > \frac{K_T}{W}$ și $A > 0$, μ oarecare.

Rezultatele au fost stabilite pentru o perturbație infinitesimală. Cu toate acestea dacă perturbația $v_{0T} \in (0, \eta)$, unde oricare ar fi $\eta > 0$ există un moment astfel că pentru oricare $t > \hat{t}$ viteza este identic nulă. În consecință relația 4.33 rămâne adevărată.

Etapa 3

Stabilim relația 4.33 pentru perturbațiile în viteză normală v_{0N} .

Se consideră o poziție de echilibru perturbată în viteză normală v_{0N} compatibilă cu legătura unilaterală. Se presupune că această perturbație este infinitesimală. Există o fază de mișcare fără contact urmată de un moment de impact $t^{imp} > 0$. Perturbația fiind suficient de mică momentul de impact va fi suficient de apropiat de zero. Relațiile 4.2 dau mișcarea fără contact:

$$\begin{aligned} u_N(t) &= \left(-\frac{a_1 a_1^2 + a_2 a_2^2}{2} t + v_{0N} \right) t + o(t^3), \\ u_T(t) &= \left(\frac{a_1 \varphi_1 a_1^2 + a_2 \varphi_2 a_2^2}{2} \right) t^2 + u_T^e + o(t^3) \end{aligned}$$

Masa materială intră atunci în contact la momentul $t^{imp} = -\frac{2V_{0N}}{a_1 a_1^2 + a_2 a_2^2}$.

La acest moment componentele tangențiale ale deplasării și vitezei verifică relațiile:

$$u_T(t^{imp}) = u_T^e + o(v_{0N}^2),$$

$$\dot{u}_T(t^{imp}) = -2 \frac{a_1 \varphi_1 a_1^2 + a_2 \varphi_2 a_2^2}{a_1 a_1^2 + a_2 a_2^2} v_{0N} + o(v_{0N}^2) = v v_{0N} + o(v_{0N}^2)$$

În consecință, aceasta revine la a considera o soluție de echilibru perturbată la momentul t^{imp} de o viteză tangențială $\dot{u}_T(\tilde{t})$ infimizezimală. În funcție de semnul acesteia etapa 1 și etapa 2 permit rezolvarea problemei. Dacă perturbația $V_{0N} \in (-\eta, 0)$ și $\eta > 0$ relația 4.33 este verificată.

Remarca făcută la începutul etapei 2 pune la dispoziție o poziție de echilibru în contact cu zbor, perturbată în viteze tangențiale v_{0T} pozitive; raționamentul ce permite obținerea relației 4.33 este analog celui precedent. Din relațiile 4.5 la momentul de impact t^{imp} componentele tangențiale ale deplasării și vitezei sunt date de relațiile:

$$u_T(t^{imp}) = u_T^e + o(v_{0T}^2),$$

$$\dot{u}_T(t^{imp}) = 2 \frac{\varphi_T^1 a_1^2 - \varphi_T^2 a_2^2}{a_2^2 - a_1^2} v_{0T} + o(v_{0T}^2) < 0$$

Pornind de la momentul t^{imp} problema se rezumă la starea unei poziții de echilibru perturbată cu o viteză tangențială $\dot{u}_T(t^{imp})$ negativă. Etapa 1 permite demonstrarea existenței unui moment $t > t^{imp}$ astfel încât viteza este identic nulă pentru orice $t > \hat{t}$. Rezultă că oricare ar fi $t > \hat{t}$,

$$\begin{aligned} |u_T^e - u_T(t)| &= |u_T^e - u_T(\hat{t})| < |u_T^e - u_T(\tilde{t})| + |u_T(\tilde{t}) - u_T(\hat{t})| \\ &< -\dot{u}_T(\tilde{t}) \sqrt{\frac{m}{K_T + \mu W}} + o(v_{0T}^2) < -2 \frac{\varphi_T^1 a_1^2 - \varphi_T^2 a_2^2}{a_2^2 - a_1^2} v_{0T} + o(v_{0T}^2) \end{aligned}$$

Astfel, oricare ar fi $\varepsilon > 0$, relația 4.33 este verificată cu $\eta = \frac{a_2^2 - a_1^2}{\varphi_T^2 a_2^2 - \varphi_T^1 a_1^2} \varepsilon$ pentru

$v_{0T} > 0$. Acest rezultat rămâne valabil pentru perturbațiile $V_{0T} \in (0, \eta)$, unde η este pozitiv.

Etapa 4

Concluzie: există $\eta > 0$ astfel încât oricare ar fi $\|V_0\| < \eta$ relația 4.33 este verificată.

Starea de echilibru în tendințe de alunecare pozitivă caracterizată de $A < 0$ și $\mu > \frac{K_T}{W}$ este instabilă.

Reamintim că pentru $A < 0$ și $\mu > \frac{K_T}{W}$ există două soluții de echilibru: una cu tendința de alunecare pozitivă, alta la zbor. Arătăm că poziția de echilibru este instabilă și că traiectoria pentru toate perturbațiile acestui echilibru oscilează în jurul poziției de zbor. Condiția de instabilitate se obține dacă relația următoare va fi satisfăcută: oricare ar fi $\varepsilon > 0$ și $\eta > 0$ există $|V_{0T}| < \eta$ rezultă: $|U_T^e - U_T(t)| > \varepsilon$.

Etapa 1

Fie o perturbație inițială V_{0T} , există un moment t_1^{punct} astfel că $U_T(t_1^{punct}) = \frac{F_N}{W}$ cu $\dot{U}_T(t_1^{punct}) > 0$.

Se consideră poziția de echilibru cu tendință de alunecare pozitivă caracterizată de $U^e = \left(0, \frac{F_N}{W} + \frac{N_N^e}{W}\right)$ cu $N_N^e = -\frac{A}{K_T - \mu W}$ care este perturbată cu o viteză tangențială V_{0T} pozitivă infinezimală. La dreapta originii mișcarea este descrisă de problema 4.10 și soluția este dată de:

$$U_T(t) = \frac{V_{0T}}{2} \sqrt{\frac{m}{\mu W - K_T}} \left(e^{\sqrt{\frac{\mu W - K_T}{m}} t} - e^{-\sqrt{\frac{\mu W - K_T}{m}} t} \right) + \frac{F_T - \mu F_N}{K_T - \mu W}$$

de unde se deduce:

$$\dot{U}_T(t) = \frac{V_{0T}}{2} \left(e^{\sqrt{\frac{\mu W - K_T}{m}} t} + e^{-\sqrt{\frac{\mu W - K_T}{m}} t} \right) > 0$$

Există prin urmare un moment t_1^{punct} cu

$$\dot{U}_T(t_1^{punct}) \in \left(0, V_{0T} \sqrt{\frac{\mu W - K_T}{m}} e^{\sqrt{\frac{\mu W - K_T}{m}} t_1^{punct}} \right). \text{ Se alege } V_{0T} \text{ mic, ceea ce}$$

implică deci că $\dot{U}_T(t_1^{punct})$ este la fel de mic. La dreapta momentului t_1^{punct} există o fază de mișcare fără contact apoi un moment de impact t_1^{imp} .

Etapa 2

Arată că evoluția particulei materiale cuprinde o succesiune de faze de mișcare fără contact și faze de alunecare. Dacă în plus, t_j^{punct} , $j = i, i+1$ sunt două momente consecutive se spune că reacțiunea atinge punctul conului,

$\dot{U}_T(t_{i+1}^{punct}) < \dot{U}_T(t_i^{punct})$. Pornind de la momentul t_1^{punct} evoluția este descrisă de:

$$\begin{cases} m\ddot{U}_N + K_N U_N + W U_T = F_N \\ m\ddot{U}_T + W U_N + K_T U_T = F_T \\ U_N(0) = 0, U_T(0) = \frac{F_N}{W} \\ \dot{U}_N(0) = 0, \dot{U}_T(0) = \dot{U}_T(t_1^{punct}) \end{cases} \quad (4.38)$$

Există un moment de impact t_1^{imp} . Considerăm următoarea familie de probleme dinamice:

$$\begin{cases} m\ddot{\hat{U}}_N + K_N \hat{U}_N + W \hat{U}_T = F_N \\ m\ddot{\hat{U}}_T + W \hat{U}_N + K_T \hat{U}_T = F_T \\ \hat{U}_N(0) = 0, \hat{U}_T(0) = \frac{F_N}{W} \\ \dot{\hat{U}}_N(0) = 0, \dot{\hat{U}}_T(0) = \varsigma \end{cases} \quad (4.39)$$

unde ς tinde spre zero.

Soluția \hat{U} a problemei 4.39 converge uniform pe orice interval închis $[0, \hat{T}]$ spre soluția \tilde{U} a problemei ce urmează:

$$\begin{cases} m\ddot{\tilde{U}}_N + K_N \tilde{U}_N + W \tilde{U}_T = F_N \\ m\ddot{\tilde{U}}_T + W \tilde{U}_N + K_T \tilde{U}_T = F_T \\ \tilde{U}_N(0) = 0, \tilde{U}_T(0) = \frac{F_N}{W} \\ \dot{\tilde{U}}_N(0) = 0, \dot{\tilde{U}}_T(0) = 0 \end{cases} \quad (4.40)$$

Rezultă că, deoarece $\dot{U}_T(t_1^{punct})$ este suficient de mic, în timpul fazei de mișcare fără contact, soluția U a problemei 4.38 este apropiată de soluția \tilde{U} a problemei 4.40. Astfel, la momentul de impact t_1^{imp} componentele tangențiale ale deplasării și vitezei satisfac relațiile:

$$\begin{aligned} \hat{U}_T(t_1^{imp}) &= \frac{F_N}{W} + \varsigma \\ \hat{V}_T(t_1^{imp}) &= -\dot{U}_T(t_1^{punct}) \end{aligned}$$

ς negativ se apropie de zero. Viteza tangențială la momentul t_1^{imp} fiind negativ alunecarea care urmează este soluția ecuației:

$$\begin{cases} m\ddot{U}_T + (K_T + \mu W)U_T = F_T + \mu F_N \\ U_T(0) = \frac{F_N}{W} + \varsigma \\ \dot{U}_T(0) = -\dot{U}_T(t_1^{punct}) \end{cases}$$

dată prin:

$$U_T(t) = \left(\frac{A}{W(K_T + \mu W)} + \varsigma \right) \cos\left(\sqrt{\frac{K_T + \mu W}{m}} t \right) - \dot{U}_T(t_1^{punct}) \sqrt{\frac{m}{K_T + \mu W}} \sin\left(\sqrt{\frac{K_T + \mu W}{m}} t \right) + \frac{F_T + \mu F_N}{K_T + \mu W} \quad (4.41)$$

Relația 4.41 arată existența unui moment pentru care $\dot{U}_T(\hat{t}_1) = 0$. $\dot{U}_T(t_1^{punct})$ fiind infinezimal, $U_T(\hat{t}_1)$ se apropie de vârful conului. Deoarece la acest moment nu există poziție de echilibru, masa alunecă în celălalt sens. În timpul acestei a doua faze de alunecare, evoluția este dată de:

$$\begin{cases} m\ddot{U}_T + (K_T - \mu W)U_T = F_T - \mu F_N \\ U_T(0) = U_T(\hat{t}_1) \\ \dot{U}_T(0) = 0 \end{cases}$$

unde

$$U_T(\hat{t}_1) = \left(\frac{A}{W(K_T + \mu W)} + \varsigma \right) \cos\left(\sqrt{\frac{K_T + \mu W}{m}} \hat{t}_1 \right) - \dot{U}_T(t_1^{punct}) \sqrt{\frac{m}{K_T + \mu W}} \sin\left(\sqrt{\frac{K_T + \mu W}{m}} \hat{t}_1 \right) + \frac{F_T + \mu F_N}{K_T + \mu W}$$

Soluția este:

$$U_T(t) = \frac{1}{2} \left(U_T(\hat{t}_1) - \frac{F_T - \mu F_N}{K_T - \mu W} \right) \left(e^{\sqrt{\frac{\mu W - K_T}{m}} t} + e^{-\sqrt{\frac{\mu W - K_T}{m}} t} \right) + \frac{F_T - \mu F_N}{K_T - \mu W}$$

De unde se deduce:

$$\dot{U}_T(t) = \frac{1}{2} \sqrt{\frac{\mu W - K_T}{m}} \left(U_T(\hat{t}_1) - \frac{F_T - \mu F_N}{K_T - \mu W} \right) \left(e^{\sqrt{\frac{\mu W - K_T}{m}} t} - e^{-\sqrt{\frac{\mu W - K_T}{m}} t} \right) > 0$$

În consecință există un moment t_2^{punct} astfel încât punctul material se găsește în vârful conului. Acest moment se caracterizează prin $U_T(t_2^{punct}) = \frac{F_N}{W}$.

Fie

$$\frac{1}{2} \left(U_T(\hat{t}_1) - \frac{F_T - \mu F_N}{K_T - \mu W} \right) e^{\sqrt{\frac{\mu W - K_T}{m}} t_2^{punct}} = -\frac{1}{2} \left(U_T(\hat{t}_1) - \frac{F_T - \mu F_N}{K_T - \mu W} \right) e^{-\sqrt{\frac{\mu W - K_T}{m}} t_2^{punct}} + \frac{A}{W(K_T - \mu W)}$$

de unde se deduce:

$$\dot{U}_T(t_2^{punct}) = \sqrt{\frac{\mu W - K_T}{m}} \left[\left(U_T(\hat{t}_1) - \frac{F_T - \mu F_N}{K_T - \mu W} \right) e^{\sqrt{\frac{\mu W - K_T}{m}} t_2^{punct}} - \frac{A}{W(K_T - \mu W)} \right]$$

În consecință există un moment t_2^{punct} astfel încât punctul material se găsește în

vârful conului. Acest moment se caracterizează prin: $U_T(t_2^{punct}) = \frac{F_N}{W}$. Fie

$$\frac{1}{2} \left(U_T(\hat{t}_1) - \frac{F_T - \mu F_N}{K_T - \mu W} \right) e^{\sqrt{\frac{\mu W - K_T}{m}} t_2^{punct}} = -\frac{1}{2} \left(U_T(\hat{t}_1) - \frac{F_T - \mu F_N}{K_T - \mu W} \right) e^{-\sqrt{\frac{\mu W - K_T}{m}} t_2^{punct}} + \frac{A}{W(K_T - \mu W)}$$

Ceea ce implică:

$$\dot{U}_T(t_2^{punct}) = \sqrt{\frac{\mu W - K_T}{m}} \left[\left(U_T(\hat{t}_1) - \frac{F_T - \mu F_N}{K_T - \mu W} \right) e^{\sqrt{\frac{\mu W - K_T}{m}} t_2^{punct}} - \frac{A}{W(K_T - \mu W)} \right]$$

Dar t_2^{punct} este aproape zero și depinde de V_{0T} . Rezultă:

$$\begin{aligned} \dot{U}_T(t_2^{punct}) &= \sqrt{\frac{\mu W - K_T}{m}} \left[U_T(\hat{t}_1) - \frac{F_T - \mu F_N}{K_T - \mu W} - \frac{A}{W(K_T - \mu W)} \right] + O(t_2^{punct}) \\ &< \sqrt{\frac{\mu W - K_T}{m}} \end{aligned}$$

$$\begin{aligned} &\left[\frac{A}{W(K_T + \mu W)} + \varsigma + \dot{U}_T(t_1^{punct}) \sqrt{\frac{m}{K_T + \mu W}} + \frac{F_T + \mu F_N}{K_T + \mu W} - \frac{F_T - \mu F_N}{K_T - \mu W} - \frac{A}{W(K_T - \mu W)} \right] + O(V_{0T}) \\ &< \sqrt{\frac{\mu W - K_T}{K_T + \mu W}} \dot{U}_T(t_1^{punct}) + O(V_{0T}) < \dot{U}_T(t_1^{punct}) + O(V_{0T}) \end{aligned}$$

Plecând de la momentul t_2^{punct} , e suficient să se continue în mod similar și se arată că fazele de mișcare fără contact și de alunecare se succed cu $\dot{U}_T(t_{i+1}^{punct}) < \dot{U}_T(t_i^{punct})$.

Etapa 3

Fie t_{i+1}^{punct} un moment astfel încât $U_T(t_{i+1}^{punct}) = \frac{F_N}{W}$. Atunci $\lim_{i \rightarrow +\infty} \dot{U}_T(t_{i+1}^{punct}) = 0$.

Din etapa precedentă, expresia vitezei la care particula se găsește în vârful conului satisface pentru toate $i > 1$:

$$\dot{U}_T(t_{i+1}^{punct}) < \sqrt{\frac{\mu W - K_T}{K_T + \mu W}} \dot{U}_T(t_i^{punct}) + O(V_{0T})$$

$$< \left(\frac{\mu W - K_T}{\sqrt{K_T + \mu W}} \right)^i \dot{U}_T(t_1^{punct}) + O(V_{0T})$$

Dar $\sqrt{\frac{\mu W - K_T}{K_T + \mu W}} < 1$. În consecință, $\lim_{i \rightarrow +\infty} \dot{U}_T(t_{i+1}^{punct}) = 0$

Etapa 4

Concluzii:

Urmează o perturbație inițială v_{0T} pozitivă infinitesimală, etapele precedente arată ca particula materială trece printr-o succesiune de faze de alunecare și de mișcare fără contact. Dependența continuă printr-un raport dat pentru care dinamica converge uniform spre soluția problemei 4.40 corespunzătoare poziției de echilibru de zbor perturbat.

În consecință oricare ar fi perturbația în viteze tangențiale pozitive, traiectoria separă vecinătatea poziției de echilibru în tendința de alunecare pozitivă pentru oscilații în jurul poziției de echilibru de zbor; ceea ce dovedește rezultatul de instabilitate.

Concluzii

- Pozițiile de echilibru în tendințe de alunecare cu o reacțiune nenulă sunt fie stabile în sens Lyapunov fie instabile, aceasta depinde de parametrii sistemului. Starea de echilibru în contact cu zbor pentru care mișcarea sistemului este una stabilă este unică.
- Atunci când această stare de echilibru este unică ea este asimptotică stabilă. În plus, dacă coexistă cu alte stări de echilibru ea este stabilă în sens Lyapunov. În sfârșit, stările de echilibru în contact blocat sunt toate stabile în sens Lyapunov.
- Tabelul de mai jos prezintă rezultatele de stabilitate a tuturor stărilor de echilibru în funcție de parametrii A și μ .

Tabelul 4.2

	$\mu < \frac{K_T}{W}$	$\mu = \frac{K_T}{W}$	$\mu > \frac{K_T}{W}$
$A < 0$	- 1 soluție de decolare	- 1 soluție de decolare	- o soluție de zbor - 1 soluție în tendință de alunecare pozitivă
$A = 0$	- 1 soluție în contact cu zbor	- 1 soluție în contact cu zbor - o infinitate de soluții în tendințe de alunecare pozitive	- 1 soluție în contact cu zbor - o infinitate de soluții în contact blocat
$A > 0$	- 2 soluții în tendință de alunecare pozitivă și negativă - o infinitate de soluții în contact blocat	- o soluție în tendință de alunecare negativă - o infinitate de soluții în contact blocat	- 1 soluție în tendință de alunecare negativă - o infinitate de soluții în contact blocat

În cele ce urmează se va completa rezultatele teoretice de stabilitate obținute prin aplicarea metodei iterative „NSCD”.

4.4 Simulări numerice

Alegem succesiv un ansamblu de parametrii caracteristici stărilor de echilibru corespunzătoare tabelului 4.1. rezultatele prezentate sunt obținute cu mărimile următoare[62]:

- Matricea de rigiditate

$$K = \begin{bmatrix} 2 & 1 \\ 1 & 1 \end{bmatrix}$$

- Forța exterioară F

$$\begin{cases} F = (1,2) & \text{pentru } A < 0 \\ F = (1,1) & \text{pentru } A = 0 \\ F = (2,1) & \text{pentru } A > 0 \end{cases}$$

- Coeficientul de frecare se ia:

$$\begin{cases} \mu = 0,25 & \text{pentru } \mu < \frac{K_T}{W} \\ \mu = 1 & \text{pentru } \mu = \frac{K_T}{W} \\ \mu = 1,25 & \text{pentru } \mu > \frac{K_T}{W} \end{cases}$$

- Masa punctului material se va lua egală cu unu.

Stabilitatea stărilor de echilibru

Problema dinamică (4.1) admite o stare de echilibru unică U^e , dacă se notează prin $A = K_T F_N - W F_T$ atunci pot interveni următoarele situații:

- Dacă $A < 0$ - pentru $\mu \leq \frac{K_T}{W}$ soluția de echilibru de zbor este unică,
- pentru $\mu > \frac{K_T}{W}$ există două soluții de echilibru, una de zbor și una de alunecare pozitivă.
- Dacă $A = 0$ - pentru $\mu \leq \frac{K_T}{W}$ există o soluție unică de echilibru în contact neted,
- pentru $\mu = \frac{K_T}{W}$ există o infinitate de soluții de alunecare,
- pentru $\mu > \frac{K_T}{W}$ există o soluție de echilibru de contact neted

și o infinitate de soluții de contact blocat.

- Dacă $A > 0$ există o infinitate de soluții de contact blocat și una sau două poziții de echilibru de alunecare.

Pentru fiecare din cazurile rezultate s-a studiat dinamica provenită din vecinătățile date de propozițiile de echilibru corespunzătoare. Toate calculele s-au efectuat cu perturbații în spațiul fazelor.

Cazul $A < 0$

Deoarece mărimea A este strict negativă sistemul posedă întotdeauna o soluție de zbor. Sistemul dinamic se reduce la un sistem de ecuații diferențiale de ordinul doi. Astfel, există avantajul determinării analitice a soluției și analizarea stabilității sale cu metode obișnuite.

Acest exemplu este important deoarece permite aprecierea caracterului nedisipativ al algoritmului descris la studiul stabilității. Soluția aproximativă obținută cu metoda „NSCD”- modificată este analogă cu soluția exactă.

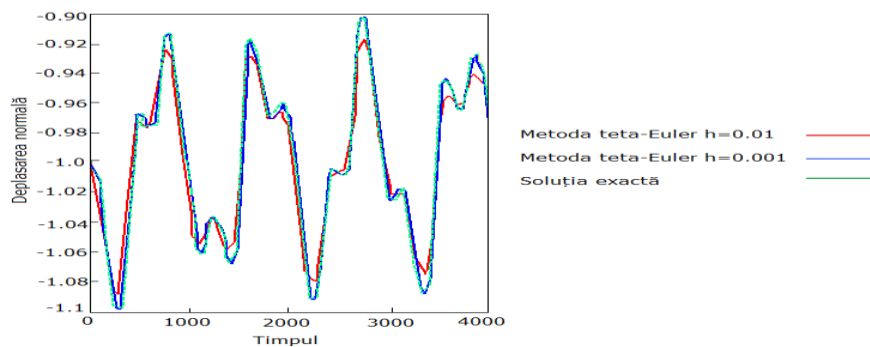


Fig. 4.4

În ceea ce privește analiza stabilității, metoda numerică dă un rezultat vizibil mai apropiat de soluția exactă.

Dacă $\mu > \frac{K_T}{W}$ sistemul are în plus față de soluția de echilibru de zbor, o soluție de echilibru în tendință de alunecare pozitivă.

Echilibrul este caracterizat prin: $(U_N^e = 0, U_T^e = 0, N_N^e = -4, N_T^e = -5)$. Se observă din figura de mai jos dinamica, deci condițiile inițiale sunt: $(U_N(0) = U_N^e, U_T(0) = U_T^e, \dot{U}_N(0) = 0, \dot{U}_T(0) = V_{0T})$.

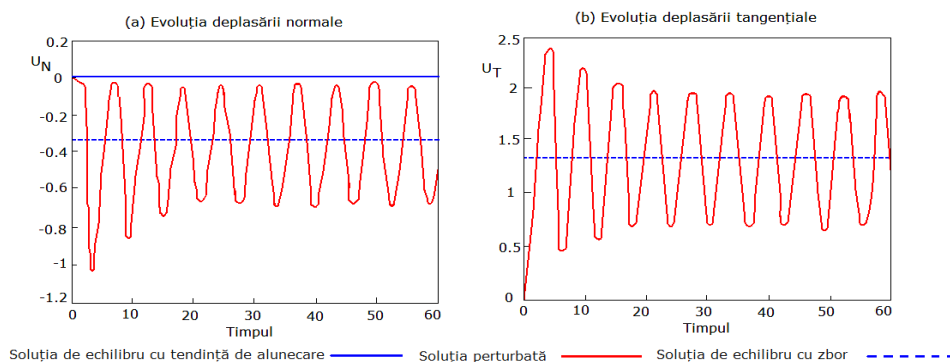


Fig. 4.5 Instabilitatea poziției de echilibru cu tendință de alunecare în sens pozitiv pentru

$$A < 0 \text{ și } \mu > \frac{K_T}{W}$$

Sistemul este lăsat în vecinătatea soluției de echilibru în tendință de alunecare și apoi oscilează după un timp finit în jurul soluției de zbor.

Cazul $A = 0$

Dacă $\mu < \frac{K_T}{W}$ există o poziție unică de echilibru în contact de zbor. Poziția

de echilibru este definită prin $(U_N^e = 0, U_T^e = 0.5, N_N^e = 0, N_T^e = 0)$

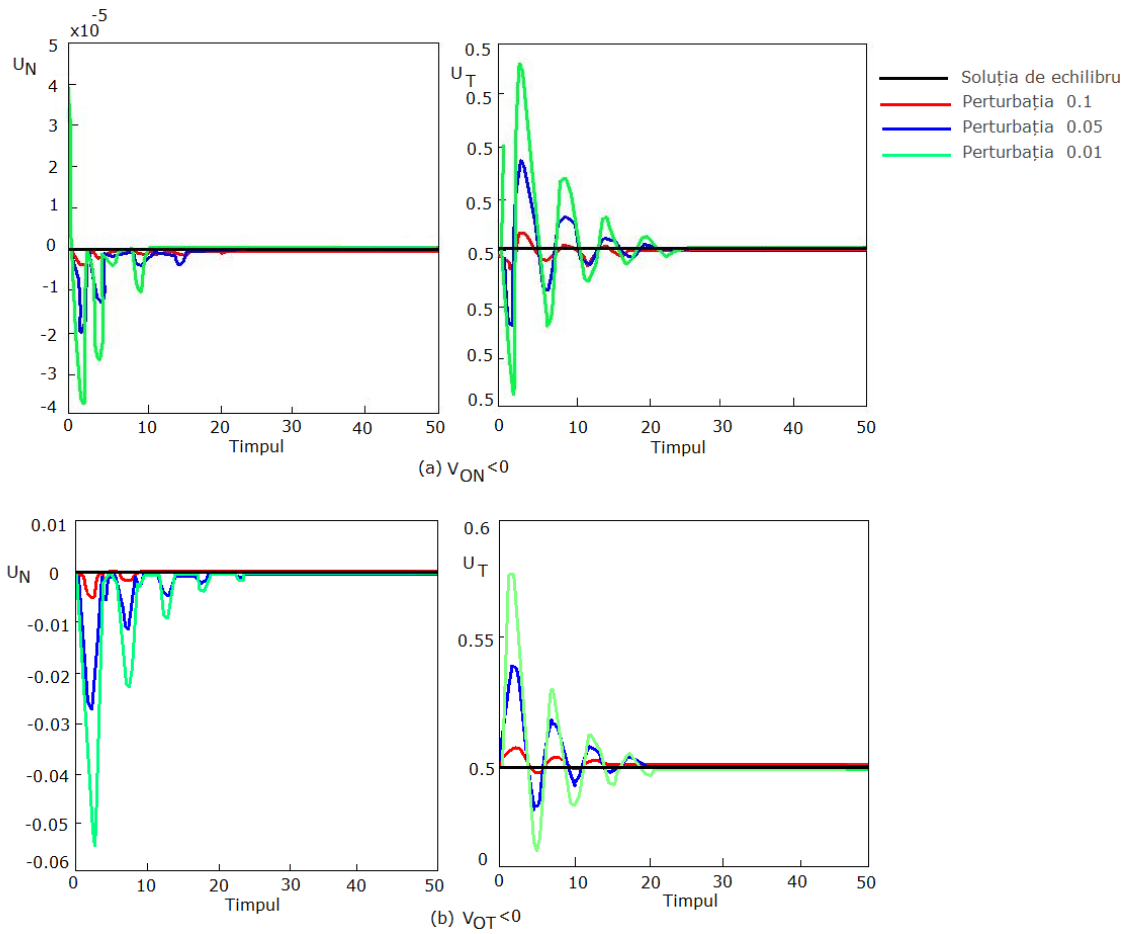


Fig.4.6 Stabilitatea asimptotică a vârfului de con pentru

$$A = 0 \text{ și } \mu < \frac{K_T}{W}$$

Curbele din figura de mai sus arată dinamica pentru stările inițiale date $(U_N(0) = 0, U_T(0) = U_T^e, \dot{U}_N(0) = V_{0N}, \dot{U}_T(0) = 0)$ ce iau succesiv valorile, $V_{0N} = 0.1; 0.05; 0.01$ apoi $(U_N(0) = 0, U_T(0) = U_T^e, \dot{U}_N(0) = 0, \dot{U}_T(0) = V_{0T})$ ia succesiv valorile $V_{0T} = 0.1; 0.05; 0.01$. Toate combinațiile stărilor perturbative $(U_{0N}, U_{0T}, V_{0N}, V_{0T})$ dau rezultate calitativ asemănătoare. Soluția în contact cu zbor este atunci asimptotic stabilă. [62]

Dacă $\mu = \frac{K_T}{W}$ ansamblul stărilor de echilibru sunt instabile cu excepția punctului situat pe con ce corespunde unei stări de alunecare dar cu o reacțiune nulă care este asimptotic stabilă. Se consideră o poziție în tendință de alunecare pozitivă $(U_N^e = 0, U_T^e = 0, N_N^e = -1, N_T^e = -1)$

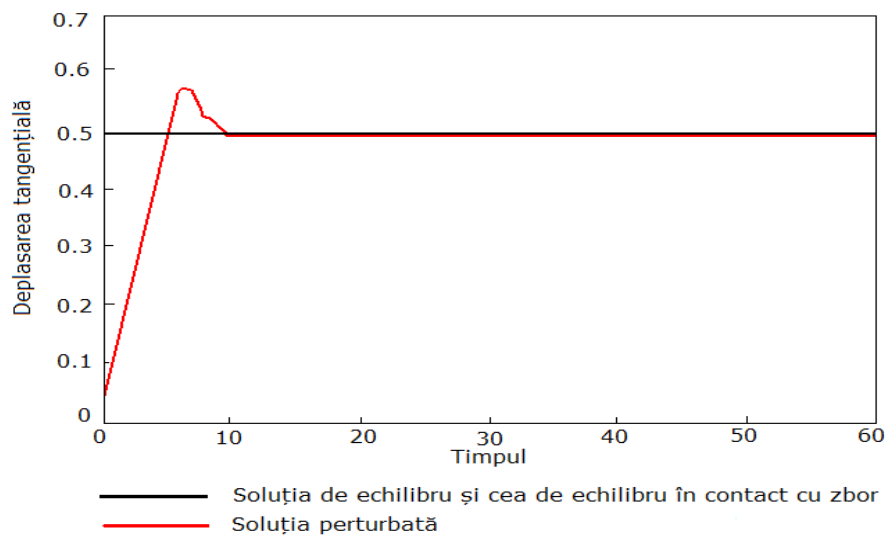


Fig. 4.7 Instabilitatea stării de echilibru cu tendință de alunecare pentru

$$A = 0 \text{ și } \mu = \frac{K_T}{W}$$

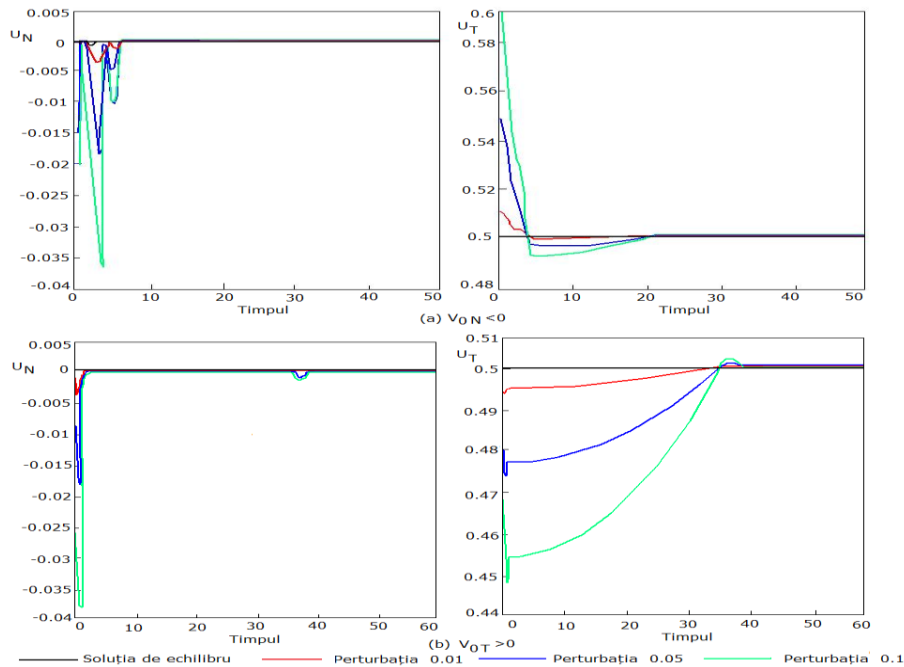


Fig.4.8 Stabilitatea asimptotică a vârfului de con pentru

$$A = 0 \text{ și } \mu = \frac{K_T}{W}$$

Această figură prezintă traiectoria obținută pentru condițiile inițiale $(U_N(0) = 0, U_T(0) = U_T^e, \dot{U}_N(0) = 0, \dot{U}_T(0) = V_{0T})$; se depărtează de starea inițială și se va opri într-un punct situat pe conul de frecare. Acest rezultat este observat pentru o perturbație V_{0T} mică.

Invers, pentru toate condițiile inițiale situate în vecinătatea punctului de pe conul de frecare traiectoriile poziției de echilibru $(U_N^e = 0, U_T^e = 0,5, N_N^e = 0, N_T^e = 0)$ tind spre zero așa cum se vede din figura 4.8.[62]

Punctul conului de frecare este stabil în sens Lyapunov și toate celelalte stări de echilibru sunt instabile.

Dacă $\mu > \frac{K_T}{W}$ toate stările de echilibru sunt în contact blocat ceea ce ne permite să afirmăm că toate pozițiile punctelor situate pe conul lui Coulomb sunt stabile în sens Lyapunov. Oricare ar fi tipul perturbației în cazul soluției de echilibru aflată în tendință de alunecare $(U_N^e = 0, U_T^e = 0,5, N_N^e = 0, N_T^e = 0)$ sunt calitativ identice.[64]

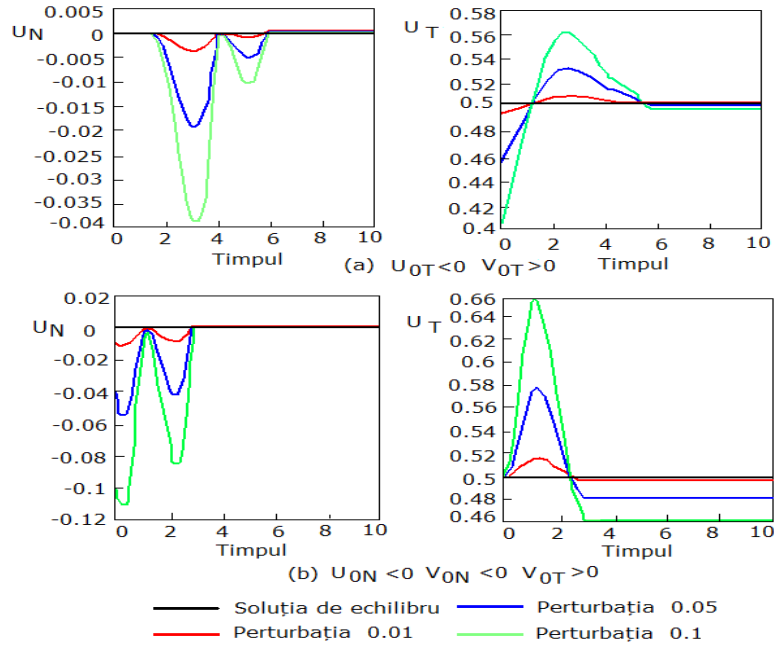


Fig. 4.9 Stabilitatea Lyapunov a punctului de con pentru

$$A = 0 \text{ și } \mu > \frac{K_T}{W}$$

Aceste figuri obținute pentru perturbațiile deplasărilor tangențiale și a vitezelor tangențiale, [62],[63] respectiv ale deplasărilor normale și ale vitezelor normale arată afirmația de mai sus.

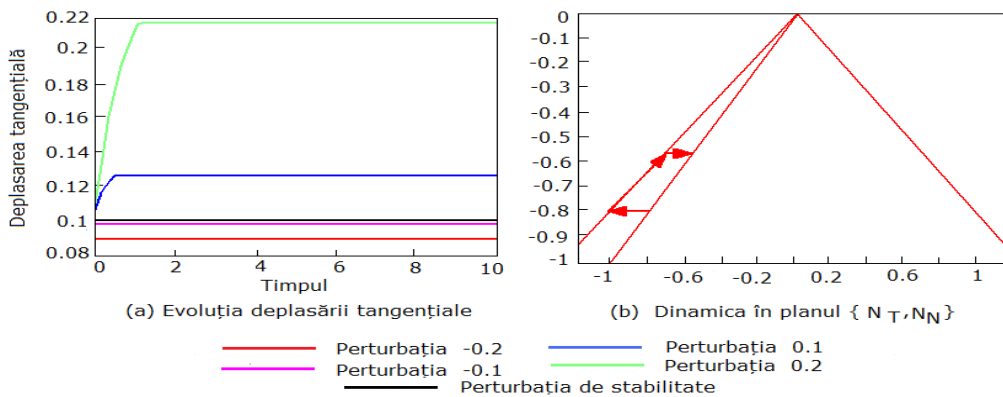


Fig. 4.10 – Stabilitatea Lyapunov a unei soluții de echilibru în contact blocat ca urmare a unei perturbații cu viteză tangențială pozitivă $A = 0$ și $\mu > \frac{K_T}{W}$

Dinamica stării de contact blocat este reprezentată în figura 4.10a corespunzător perturbațiilor în viteze tangențiale. Oricare ar fi alte tipuri de perturbație rezultatele vor fi identice.

Cazul $A > 0$

Atunci când mărimea A este strict pozitivă ansamblul stărilor de echilibru corespund în planul $\{N_T, N_N\}$ la un segment deschis stărilor de contact blocat cu una sau două poziții în tendință de alunecare. Experimentul numeric arată că aceste stări sunt întotdeauna stabile în sens Lyapunov.

Pentru orice tip de perturbație dinamica sistemului e calitativ identică așa cum rezultă din figura 4.11a

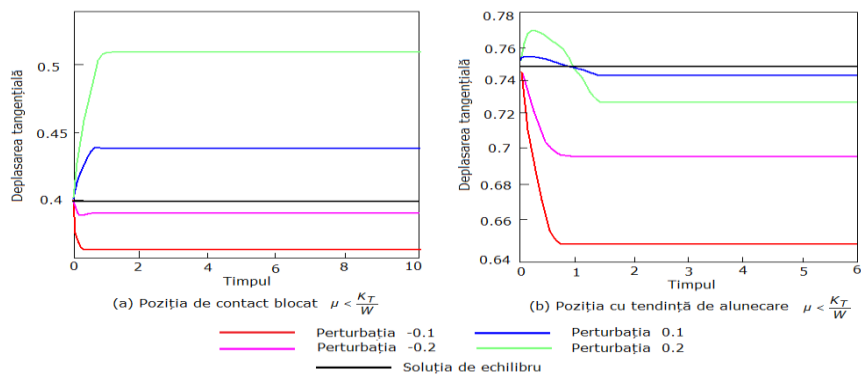


Fig. 4.11- Stabilitatea stărilor de echilibru: $A > 0$

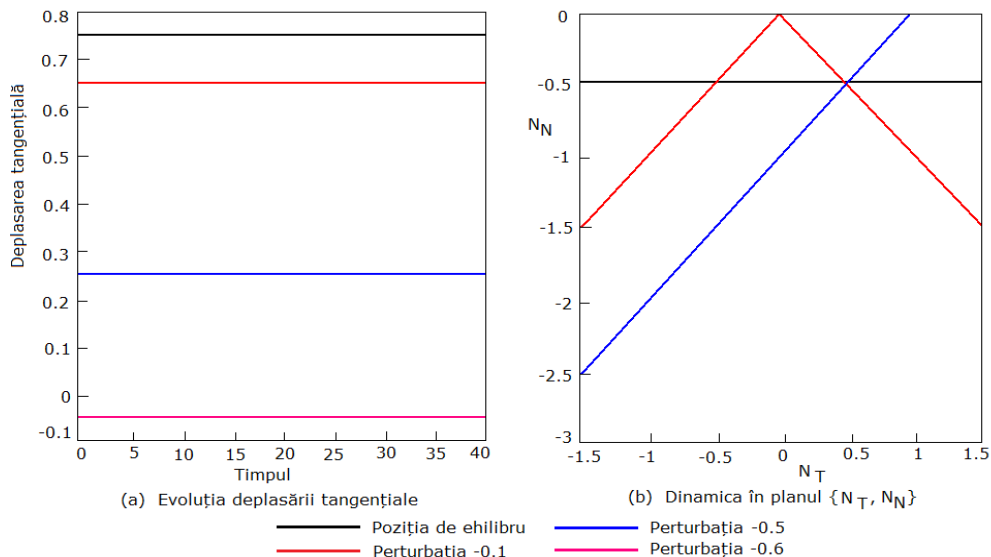


Fig. 4.12 – Stabilitatea unei poziții de echilibru cu contact blocat urmată de o perturbație $U_{0T} < 0 \quad A > 0 \quad \mu = K_T/W$

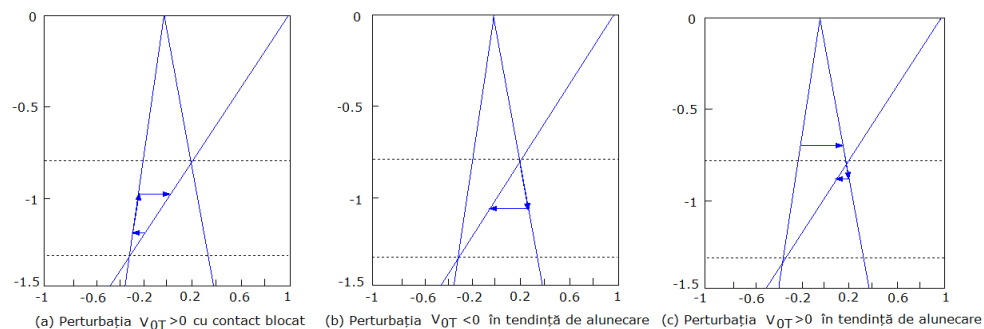


Fig.4.13 – Influența traiectoriei în funcție de stările inițiale în planul $\{N_T, N_N\}$

Aceste rezultate sunt obținute pentru o poziție de echilibru $(U_N^e = 0, U_T^e = 0,4, N_N^e = -1,6, N_T^e = 0,4)$ în contact blocat care au fost perturbate pentru diferite valori ale vitezei tangențiale. Figura 4.12.b reprezintă dinamica poziției de echilibru blocat $(U_N^e = 0, U_T^e = 0,75, N_N^e = -1,25, N_T^e = 0,75)$ pentru perturbațiile în viteză tangențială. Se obțin curbe analoge pentru alte poziții de echilibru în tendință de alunecare. Este interesant de vizualizat dinamica sistemului în planul $\{N_T, N_N\}$. Perturbațiile în viteze tangențiale la poziția de echilibru sunt prezentate în figura 4.13. Starea inițială din figura 4.13.a $(U_N^e = 0, U_T^e = 0,9, N_N^e = -1,1, N_T^e = 0,9)$ corespunde la o stare de contact blocat. Se perturbă această poziție cu $v_{0T} = 0,2$. Dinamica poziției de echilibru în tendință de alunecare $(U_N^e = 0, U_T^e = 1,2, N_N^e = -0,8, N_T^e = 0,2)$ este succesiv perturbată cu $v_{0T} = -0,2$, apoi $v_{0T} = 0,2$ și sunt reprezentate în figurile 4.13. b și c. Aceste diagrame permit observarea influenței perturbațiilor și în particular legătura între schimbările bruște ale reacțiunii și semnul perturbațiilor inițiale. Se constată că traiectoria se oprește într-o poziție de echilibru corespunzătoare la ansamblul stărilor de echilibru caracterizate de aceleași valori ale lui A și μ .

4.5 Contribuții personale

- S-a studiat existența și unicitatea soluțiilor asociate ecuațiilor de evoluție a problemei P_U - sistem de tip Klarbring în cazul contactului cu frecare precum și existența unei soluții locale analitice.
- Pentru analiza stărilor de echilibru pentru problema P'_U în cazul ciocnirii plastice s-a utilizat metoda secțiunii de intersecție a dreptei cu conul de frecare Coulomb
- S-a studiat stabilitatea stărilor de echilibru pentru un sistem dinamic discretizat utilizând metoda Lyapunov și algoritmul iterațiilor succesive NSCD.

5. CONCLUZII. CONTRIBUȚII PERSONALE

- Prezentarea stadiului actual al cercetărilor sistemelor mecanice cu legături unilaterale și frecare, elementelor principale caracteristice mișcărilor sistemelor vibratoare utilizând noțiunea de legătură unilaterală.
- Pe baza proprietăților deduse pentru funcția legăturii unilaterale s-au clasificat mișcările cu sau fără contact prelungit ale sistemelor vibratoare
- Descrierea principalelor metode de aproximare utilizate pentru analiza evoluției și stabilității sistemelor clasice liniar elastice cu condiții la limita contactului unilateral și frecare Coulomb, metoda teta, schema Paoli-Schatzman și schema Newmark adaptată la cazul sistemelor mecanice cu contact
- Punerea în evidență a legii de frecare Coulomb în formularea variațională, exprimarea ecuațiilor de mișcare pentru sistemul Klarbring
- Exprimarea ecuației de mișcare cu ajutorul teoriei distribuțiilor prin considerarea spațiului vectorial al distribuțiilor $S([0, T]; \mathbb{R}^n)$
- Prezentarea modelului Coulomb extins care ține cont de efectul „stick-slip” și efectul Stribeck
- Descrierea modelului LuGre generalizat cunoscut și ca modelul stării unice elasto-plastice
- S-a studiat efectul vibrației rapide numite „dither” – semnal de superpoziție, pe o clasă de sisteme cu frecare. Interacțiunea gradelor de libertate microscopice și macroscopice au fost considerate în investigațiile analitice și numerice.
- Modelul LuGre, modelul elasto-plastic care este mai riguros, sunt considerate modele ale frecării. Din expresiile analitice sunt obținute două tipuri de semnale de superpoziție numite viteză de excitație de tip puls pătratic și forță de excitație sinusoidală.
- Caracteristicile frecării efective prezintă tendința asemănătoare caracteristicilor de amortizare liniar vâscoasă la viteză foarte mică. Caracteristicile vitezei inferioare a frecării efective depinde mai ales de forța de frecare Coulomb și de caracteristicile semnalului de superpoziție. Viteza inferioară a forței de frecare descrește cu creșterea puterii excitației rapide. În plus, o alegere favorabilă a caracteristicilor semnalului de superpoziție poate completa sau șterge parțial panta negativă a caracteristicilor vitezei de frecare.
- Pentru câteva valori ale parametrilor asociate cu modelul amortizării asperităților se poate observa o a doua zonă a pantei negative în frecarea efectivă în funcție de caracteristicile vitezei alături de efectul Stribeck. Stabilitatea traiectoriei vitezei sistemului cu frecare a fost prezentat ținând seama de caracteristicile semnalului de superpoziție indus frecării efective.

-
- S-a elaborat schema logică a algoritmului NSCD pentru metoda contactului dinamic neneted [62]
 - Sunt prezentate principiile teoretice care stau la baza construirii șirurilor de aproximații ale vitezelor necesare determinării soluției problemei P_U
 - S-a realizat o schema de discretizare în viteze[63] privind contactul cu frecare a unei particule materiale din R^2
 - S-a arătat că variația vitezei de aproximare este mărginită pe un interval
 - S-a studiat existența și unicitatea soluțiilor asociate ecuațiilor de evoluție a problemei P_U - sistem de tip Klarbring în cazul contactului cu frecare precum și existența unei soluții locale analitice.
 - Pentru analiza stărilor de echilibru pentru problema P'_U în cazul ciocnirii plastice s-a utilizat metoda secțiunii de intersecție a dreptei cu conul de frecare Coulomb
 - S-a studiat stabilitatea stărilor de echilibru pentru un sistem dinamic discretizat utilizând metoda Lyapunov și algoritmul iterațiilor succesive NSCD.
 - Întocmirea unei bibliografii complete pentru tema studiată.

ANEXA I[34]

Fie J o funcție convexă, semicontinuă inferior pe \mathfrak{R}^n în $\mathfrak{R} \cup \{+\infty\}$. Se notează $\partial J(u)$ ansamblul gradientilor lui J în $u:0$

$$r \in \partial J(u) \Leftrightarrow r \in \mathfrak{R}^n \quad J(v) \geq J(u) + \langle r, v - u \rangle, \quad \forall v \in \mathfrak{R}^n \quad (\text{A.1})$$

Un exemplu de funcție convexă care va fi utilizată este funcția indicator a unui ansamblu convex închis $K \subset \mathfrak{R}^n$ notată I_K și definită de:

$$I_K(v) = \begin{cases} 0 & \text{dacă } v \in K \\ +\infty & \text{dacă nu} \end{cases}$$

Subdiferențiala funcției indicator K este un con convex închis:

$$\partial I_K(u) = \left\{ r \in \mathfrak{R}^n, \forall v \in K, \langle r, v - u \rangle \leq 0 \right\}$$

Apelând funcția conjugată a lui J , funcția J^* pe \mathfrak{R}^n în $\mathfrak{R} \cup \{+\infty\}$ definită de:

$$J^*(r) = \sup_{v \in \mathfrak{R}^n} \{ \langle r, v \rangle - J(v) \} \text{ funcția conjugată a lui } I_K \text{ este dată de:}$$

$$I_K^*(r) = \sup_{v \in \mathfrak{R}^n} \{ \langle r, v \rangle - I_K(v) \} = \sup_{v \in K} \langle r, v \rangle$$

I_K^* este de asemenea numită funcție convexă de sprijin a lui K .

Proprietatea A.1

Fie J convexă, semicontinuă inferior, atunci $J^{**} = (J^*)^* = J$ este asimilată cu următoarele expresii:

- (i) $r \in \partial J(u)$
- (ii) $J(u) + J^*(r) = \langle r, u \rangle$
- (iii) $u \in \partial J^*(r)$

ANEXA II[57]**CONVERGENȚA ȘIRULUI DE APROXIMAȚII****Teorema lui Helly – Banach**

Fie $(V_K)_{K \geq 0}$ un șir în $BV([0, T]; \mathbb{R}^n)$ spunem că:

$$\exists M > 0, \forall t \in [0, T], \forall K \in \mathbb{N}, \|V_K(t)\| \leq M;$$

$$\exists M' > 0, \forall K \in \mathbb{N}, var(V_K; [0, T]) \leq M'$$

Atunci există un șir extras $(V_{K_k})_{k \geq 0}$ și $V \in BV([0, T]; \mathbb{R}^n)$ spunem că:

$$\forall t \in [0, T], \lim_{k \rightarrow +\infty} V_{K_k}(t) = V(t)$$

$$\forall \varphi \in C^0([0, T]; \mathbb{R}^n), \lim_{k \rightarrow +\infty} \int_{[0, T]} \varphi \dot{V}_{K_k} = \int_{[0, T]} \varphi \dot{V}$$

În virtutea celor de mai sus, este posibilă stabilirea propoziției de mai jos:

Propoziția AII.1

Fie $(U_K)_{K \geq 1}$ șirul de aproximații definit, atunci există un subșir $(U_{K_k})_{k \geq 0}$ care:

$$(i) U_{K_k} \rightarrow U \text{ uniform pe } [0, T]$$

$$(ii) \dot{U}_{K_k}^+ \rightarrow \dot{U}^+ \text{ pentru oricet } \epsilon \in [0, T] \text{ individual al unei multimifinite}$$

$$(iii) \ddot{U}_{K_k} \rightarrow \ddot{U} \text{ pe } \mathcal{M}([0, T]; \mathbb{R}^n)$$

Demonstrație:

Estimările obținute permit aplicarea teoremei Helly – Banach pentru un șir \dot{U}_K^+ pentru a deduce existența lui $V \in BV([0, T]; \mathbb{R}^n)$, astfel că:

$$\forall t \in [0, T], \lim_{k \rightarrow +\infty} \dot{U}_{K_k}^+(t) = V(t)$$

$$\forall \varphi \in C^0([0, T]; \mathbb{R}^n), \lim_{k \rightarrow +\infty} \int_{[0, T]} \varphi \ddot{U}_{K_k}^+ = \int_{[0, T]} \varphi \dot{V}$$

Deoarece: $U(t) = U_0 + \int_0^t V(s) ds$ rezultă teorema de convergență Lebesgue: $U_{K_k} \rightarrow U$

uniform pe $[0, T]$. Pe de altă parte: $\forall t \in]0, T[; \dot{U}^+(t) = V(t+)$ pentru creșterea finită. Cum $V(t)$ și $V(t+)$ coincid pe $[0, T]$ exceptând punctele unei submulțimi numărabile pe $[0, T]$, se deduce teorema.

ANEXA III[37]

Ideile noi caracteristice sistemului dinamic arată că P_U este soluția remarcată de J.J. Moreau și M. Jean.

Se observă că este posibilă perturbarea unei stări de echilibru în contact blocat printr-o deplasare finită fără ca această perturbație a datelor Cauchy să nu fie urmată de mișcare (figura 4.12).

Definiții

Se perturbă datele problemei 4.1 care devine P'_U . Se găsește $U \in S([0, \hat{T}]; \mathbb{R}^2)$ și $N \in M([0, \hat{T}]; \mathbb{R}^2)$ astfel că:

$$\begin{aligned} U(0) &= U_0, \dot{U}^+(0) = V_0 \\ m\ddot{U} + KU &= F + \varepsilon\xi + N \\ U_N &\leq 0, N_N \leq 0, U_N N_N = 0 \\ \forall V \in C^0([0, \hat{T}]; \mathbb{R}), \int_{[0, \hat{T}]} |N_T, V - \dot{U}_T^+| - \mu N_N (|V| - |\dot{U}_T^+|) &\geq 0 \\ U_N(t) = 0 &\Rightarrow \dot{U}_N^+(t) = 0 \end{aligned} \tag{AIII.1}$$

F este constantă, ε un parametru mic iar ξ o forță care s-a ales analitic.

Se poate spune că problema IV.41 este bine pusă. Astfel, problema 4.1 este problema AIII.1 cu $\xi = 0$. Prin urmare există stări de echilibru ale lui AIII.1 cu $\xi = 0$.

- Spunem că răspunsul U^e este stabil la perturbații identice, dacă există $\varepsilon > 0$ astfel încât răspunsul U^e corespunzător problemei 4.1 să fie un răspuns al problemei AIII.1.
- Spunem că o stare de echilibru este stabilă Coulomb dacă reacțiunea corespunzătoare N^e este situată strict în interiorul conului lui Coulomb.

Propoziția III.1

O stare de echilibru este stabilă Coulomb dacă și numai dacă este stabilă la perturbații identice.

Demonstrarea acestei propoziții este ușoară din considerente pur geometrice. Originalitatea provine din noile noțiuni de stabilitate.

Demonstrație

Fie U^e o soluție Coulomb stabilă. Arătăm că această soluție este stabilă la perturbații identice. Rezultatele obținute care dau ansamblul stărilor de echilibru în funcție de parametrii permit să afirmăm fie că A este nul pentru coeficientul de frecare strict superior lui $\frac{K_T}{W}$, fie A este stric pozitiv cu un coeficient de frecare oarecare.

Se fixează o valoare a reacțiunii normale N_N^e în ansamblul reacțiunilor admisibile și asociată deplasării U^e . Spunem că (U^e, N^e) este stabilă la perturbații identice, înseamnă că există ξ astfel că (U^e, N^e) este o stare de echilibru simultan pentru problema 4.1 și AIII.1.

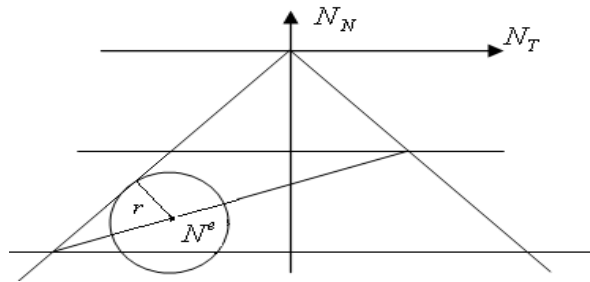


Fig.AIII.1 - Exempu de descoperire a lui ε pentru $A > 0$ și $\mu < K_T/W$

Reacțiunea normală corespunzătoare valorii lui U^e pentru problema statică asociată problemei AIII.1 este dată de:

$$KU^e = F + N + \varepsilon \xi(t) \text{ cu } \begin{cases} U_N^e = 0 \\ U_T^e = \frac{F_N + N_N^e}{W} \end{cases}$$

Deci:

$$\begin{cases} N_N(t) = N_N^e - \varepsilon \xi_N(t) \\ N_T(t) = N_T^e - \varepsilon \xi_T(t) \end{cases} \quad (\text{AIII.2})$$

Astfel există r_{max} astfel încât sfera (N^e, r_{max}) , aici un cerc situat în planul $\{N_T, N_N\}$ este conținut strict în interiorul conului Coulomb. Raza este dată de:

$$r_{max}^2 = \min \left\{ \min_{N_N < 0} (f^-(N_N)), \min_{N_N < 0} (f^+(N_N)) \right\} \text{ cu}$$

$$\begin{cases} f^-(N_N) = (N_N - N_N^e)^2 + \left(\mu N_N - \left(\frac{A}{W} + \frac{K_T}{W} N_N^e \right) \right)^2 \\ f^+(N_N) = (N_N - N_N^e)^2 + \left(-\mu N_N - \left(\frac{A}{W} + \frac{K_T}{W} N_N^e \right) \right)^2 \end{cases}$$

Reacțiunile trebuie astfel să satisfacă:

$$(N_N(t) - N_N^e)^2 + (N_T(t) - N_T^e)^2 < r_{max}^2, \text{ oricare ar fi } t.$$

Fie din relațiile AIII.2:

$$r_{max}^2 > \varepsilon^2 \left(1 + \left(\frac{K_T}{W} - 1 \right)^2 \xi_N(t)^2 + \xi_T(t)^2 - 2 \left(\frac{K_T}{W} - 1 \right) \xi_N(t) \xi_T(t) \right)$$

Funcția ξ fiind analitică pe intervalul $[0, \hat{T}]$, există pentru toate momentele t constantele M_N , M_T , Min_N și Min_T astfel încât oricare ar fi $t \in [0, \hat{T}]$ rezultă:

$$\begin{cases} |\xi_N(t)| \leq M_N \\ |\xi_T(t)| \leq M_T \end{cases} \quad \begin{cases} \xi_N^2(t) < Min_N \\ \xi_T^2(t) < Min_T \end{cases}$$

Există atunci ε astfel încât:

$$\varepsilon < \frac{r_{max}}{\sqrt{\left(1 + \left(\frac{K_T}{W} - 1 \right)^2 Min_N + Min_T - 2 \left(\frac{K_T}{W} - 1 \right) M_N M_T \right)}}$$

Dacă o soluție U^e este stabilă Coulomb ea este stabilă și la perturbații identice.

Reciproc, se presupune că U^{e1} este stabilă la perturbații identice. Se arată atunci că această poziție este stabilă Coulomb. Din definiție U^{e1} este soluția problemei:

$$\begin{cases} KU^{e1} = F + N^{e1} \\ U_N^{e1} \leq 0, N_N^{e1} \leq 0, N_N^{e1} U_N^{e1} = 0 \\ |N_T^{e1}| \leq -\mu N_N^{e1} \end{cases}$$

și de asemenea soluția problemei:

$$\begin{cases} KU^{e1} = F + \varepsilon \xi + N^{e2} \\ U_N^{e1} \leq 0, N_N^{e2} \leq 0, N_N^{e2} U_N^{e1} = 0 \\ |N_T^{e2}| \leq -\mu N_N^{e2} \end{cases}$$

Presupunem că U^{e1} nu este stabilă Coulomb. Atunci din definiție: fie

$$|N_T^{e1}| = -\mu N_N^{e1}, \text{ fie } N^{e1} = 0, \text{ de unde se deduce:}$$

- Dacă $N_T^{e1} = -\mu N_N^{e1}$ $\varepsilon(\xi_T - \xi_N) + (N_T^{e2} - \mu N_N^{e2}) = 0$
- Dacă $N_T^{e1} = \mu N_N^{e1}$ $\varepsilon(\xi_T + \xi_N) + (N_T^{e2} + \mu N_N^{e2}) = 0$
- Dacă $N^{e1} = 0$ $\varepsilon(\xi_T + \xi_N) + (N_T^{e2} + \mu N_N^{e2}) = 0$

Se poate găsi întotdeauna o perturbație ξ astfel încât $N_T^{e2} - \mu N_N^{e2} > 0$ și $N_T^{e2} + \mu N_N^{e2} > 0$. Reacțiunile sunt atunci în exteriorul conului Coulomb. Ceea ce este

o contradicție. Deci dacă U^{e1} este stabilă la perturbații identice este stabilă Coulomb.

Teoremă[66]

Dacă există o stare stabilă Coulomb atunci orice stare de echilibru fără zbor este o stare de echilibru Coulomb.

Demonstrație

Dacă poziția de echilibru considerată este stabilă Coulomb rezultatul este demonstrat mai sus., în plus există o stare stabilă Coulomb astfel încât există o poziție corespunzătoare tendinței de alunecare. Nu rămâne de studiat decât cazul unde soluția de echilibru nu este stabilă Coulomb, se spune că este în tendință de alunecare caracterizată de o mărime A strict pozitivă.

Se pornește de la o soluție de echilibru în tendință de alunecare a problemei 4.1 pentru care condițiile inițiale sunt ale problemei AIII.1. Se dorește a se arăta că există $\varepsilon > 0$ și un moment \hat{t} astfel încât pentru toate $t > \hat{t}$ reacțiunea este strict în interiorul conului Coulomb. Pentru a demonstra existența acestui moment se utilizează algoritmul „NSCD” considerând un sistem dinamic discret. Se poate concluziona că acest rezultat trece la limită la problema continuă.

Se arată înainte de toate, demonstrația în cazul unde perturbația $\varepsilon\xi$ este constantă. Calculele se dovedesc în acest caz a fi efectuate complet analitic.

1. Cazul unei forțe ξ constante

Se prezintă cazul unei perturbații a echilibrului printr-o forță constantă. În figura următoare se arată evoluția mișcării pornind de la poziția de echilibru în tendință de alunecare pozitivă urmată de o perturbație în forță $\varepsilon\xi$ unde s-a ales un parametru ε suficient de mic.

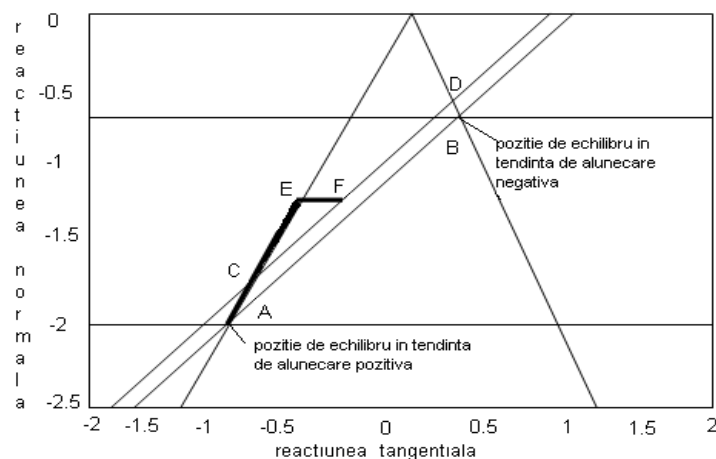


Fig. AIII.2

Poziția de echilibru: $A > 0; \mu < \frac{K_T}{W}$

Poziția de echilibru inițială este reprezentată prin punctul A. Ansamblul de poziții de echilibru corespunzătoare la o forță F dată a problemei 4.1 este dreapta [AB] și mulțimea stărilor de echilibru corespunzătoare sarcinii suplimentare $F + \varepsilon\xi$ este reprezentată de dreapta [CD]. Soluția problemei 4.1 cuprinde alunecarea în care reacțiunea variază de la punctul A la E și trece prin punctul C cu o viteză maximă. Viteza se anulează în punctul E care nu este o poziție de echilibru. Avem prin urmare un salt al reacțiunii tangențiale. Particula se află atunci strict în interiorul conului Coulomb – punctul F.

Aceasta se verifică simplu. Mișcarea care pleacă de la punctul A este descrisă de:

$$\begin{cases} m\ddot{U}_T + (K_T - \mu W)U_T = (F_T + \varepsilon\xi_T) - \mu(F_N + \varepsilon\xi_N) \\ U_T(0) = U_T^e = \frac{F_T + \mu N_N^e}{K_T} = \frac{F_N + N_N^e}{W} \\ \dot{U}_T(0) = 0 \end{cases}$$

cu $N_N^e = -\frac{A}{K_T - \mu W}$

Se introduc următoarele notații:

$$G_N = F_N + \varepsilon\xi_N \text{ și } G_T = F_T + \varepsilon\xi_T$$

Soluția este:

$$U_T(t) = \frac{\varepsilon(\mu\xi_N - \xi_T)}{K_T - \mu W} \cos\left(\sqrt{\frac{K_T - \mu W}{m}}t\right) + \frac{G_T - \mu G_N}{K_T - \mu W}$$

Faza de alunecare se oprește la momentul $\hat{t} = \sqrt{\frac{m}{K_T - \mu W}}\pi$. ε a fost ales suficient

de mic; există \tilde{N}^e astfel încât $N(\hat{t}) = \tilde{N}^e$.

Se remarcă faptul că viteza este maximă la momentul $t = \sqrt{\frac{m}{K_T - \mu W}} \frac{\pi}{2}$.

Reacțiunea va fi atunci:

$$\begin{cases} N_N(\hat{t}) = -\frac{\tilde{A}}{K_T + \mu W} \\ N_T(\hat{t}) = \mu N_N(\hat{t}) \end{cases}$$

cu

$$\tilde{A} = K_T(F_N + \varepsilon\xi_N) - W(F_T + \varepsilon\xi_T)$$

Aceasta corespunde coordonatelor punctului E. Rezultatul este același pentru o poziție de echilibru în tendință de alunecare negativă la o perturbație cu o forță $\varepsilon\xi$.

2. Cazul unei forțe ξ analitice

Se fixează pasul de timp h și se consideră iterațiile succesive ale algoritmului utilizând metoda „NSCD” la un sistem dinamic discret. Se alege o perturbație astfel încât acesta să fie inițial în alunecare și se arată că există un moment la capătul căruia evoluția sistemului intră în interiorul buclei de contact

blocat. Din tabelul 4.1 trebuie arătat că există un indice $i \in N$ astfel că relațiile de mai jos sunt satisfăcute:

$$\begin{cases} \tilde{F}_T^{i+1} - \mu \tilde{F}_N^{i+1} < 0 \\ \tilde{F}_T^{i+1} + \mu \tilde{F}_N^{i+1} > 0 \end{cases}$$

Este suficient de ales ε suficient de mic pentru ca sistemul să rămână în echilibru.

Se consideră poziția de echilibru în tendință de alunecare pozitivă. De asemenea se amintește că această poziție este caracterizată de o mărime A strict pozitivă și un coeficient de frecare strict inferior lui $\frac{K_T}{W}$. Rezultă:

$$U^e = \left| 0, \frac{F_T + \mu N_N^e}{K_T} = \frac{F_N + N_N^e}{W} \right|; \quad N_N^e = -\frac{A}{K_T - \mu W}$$

Se alege o perturbație a acestui echilibru printr-o forță exterioară $\varepsilon \xi$ care conduce la o fază de alunecare pozitivă. Se arată că există un indice i astfel că alunecarea încetează, se spune că există un indice $i \in N$ ce verifică relația:

$$\tilde{F}_T^{i+1} - \mu \tilde{F}_N^{i+1} < 0 \quad (\text{AIII.3})$$

Avem:

$$\begin{aligned} \tilde{F}_T^{i+1} - \mu \tilde{F}_N^{i+1} &= m \dot{U}_T^i - h(K_T - \mu W) U_T^i + h(F_T - \mu F_N) + \frac{\varepsilon h}{2} (\xi_T^{i+1} + \xi_T^i - \mu (\xi_N^{i+1} + \xi_N^i)) \\ &= m \dot{U}_T^i - h(K_T - \mu W) U_T^e + h(F_T - \mu F_N) + h^2(\mu W - K_T) \sum_{j=2}^i \dot{U}_T^j \\ &\quad + \frac{\varepsilon h}{2} (\xi_T^{i+1} + \xi_T^i - \mu (\xi_N^{i+1} + \xi_N^i)) \end{aligned}$$

Dar,

$$\begin{aligned} (K_T - \mu W) U_T^e &= K_T \left(\frac{F_T}{K_T} - \frac{\mu A}{K_T(K_T - \mu W)} \right) - \mu W \left(\frac{F_N}{W} - \frac{A}{W(K_T - \mu W)} \right) \\ &= -(F_T - \mu F_N) \end{aligned}$$

Rezultă:

$$\tilde{F}_T^{i+1} - \mu \tilde{F}_N^{i+1} = m \dot{U}_T^i + h^2(\mu W - K_T) \sum_{j=2}^i \dot{U}_T^j + \frac{\varepsilon h}{2} (\xi_T^{i+1} + \xi_T^i - \mu (\xi_N^{i+1} + \xi_N^i))$$

Viteza este mărginită.

Există două constante pozitive Min și Max astfel că în timpul alunecării pozitive avem: $Min \leq \dot{U}_T^j \leq Max$, $j = 2, \dots, i$. Forța ξ fiind analitică pe $[0, \hat{T}]$ există două constante M_N și M_T astfel încât $|\xi_N| \leq M_N$ și $|\xi_T| \leq M_T$. Astfel,

$$\tilde{F}_T^{i+1} - \mu \tilde{F}_N^{i+1} \leq \underbrace{mMax + h^2(\mu W - K_T)(i-1)Min + \varepsilon h(M_T + \mu M_N)}_{\kappa^+}$$

Inegalitatea AIII.3 este verificată dacă mărimea κ^+ este negativă, dacă indicele i satisface:

$$i > 1 + \frac{\varepsilon h(M_T + \mu M_N) + mMax}{Minh^2(K_T - \mu W)}$$

În plus, se alege parametrul ε suficient de mic astfel încât, $\varepsilon < \frac{2\mu A}{(K_T - \mu W)(M_T + \mu M_N)}$, deplasarea tangențială la iterația i verifică relația:

$$U_T^i < \frac{F_N}{W} - \frac{A}{W(K_T + \mu W)}. \text{ Rezultă:}$$

$$\begin{aligned} \tilde{F}_T^{i+1} + \mu \tilde{F}_N^{i+1} &= m\dot{U}_T^i - h(K_T + \mu W)U_T^i + h(F_T + \mu F_N) + \frac{\varepsilon h}{2}(\xi_T^{k+1} + \xi_T^k + \mu(\xi_N^{k+1} + \xi_N^k)) \\ &> mMin - \frac{2h\mu A}{K_T - \mu W} \end{aligned}$$

h fiind ales suficient de mic, semnul lui $\tilde{F}_T^{i+1} + \mu \tilde{F}_N^{i+1}$ este pozitiv. În consecință la iterația $i+1$ se intră în bucla de contact.

Se consideră următoarea poziție de echilibru în tendință de alunecare negativă caracterizată de o mărime A strict pozitivă. Avem:

$$U^e = \left| 0, \frac{F_T - \mu N_N^e}{K_T} \right| = \left| 0, \frac{F_N + N_N^e}{W} \right|; \quad N_N^e = -\frac{A}{K_T + \mu W}$$

Urmare acestei perturbații particula materială este în alunecare negativă. La fel ca și mai sus, viteza fiind mărginită, există două constate pozitive min și max astfel că în timpul alunecării negative avem: $-min \leq \dot{U}_T^j \leq -max$; $j = 2, \dots, i$. Alunecarea se oprește dacă există $i \in N$ astfel încât:

$$\tilde{F}_T^{i+1} + \mu \tilde{F}_N^{i+1} > 0 \quad (\text{AIII.4})$$

Rezultă:

$$\begin{aligned} \tilde{F}_T^{i+1} + \mu \tilde{F}_N^{i+1} &= m\dot{U}_T^i - h(K_T + \mu W)U_T^i + h(F_T + \mu F_N) + \frac{\varepsilon h}{2}(\xi_T^{i+1} + \xi_T^i + \mu(\xi_N^{i+1} + \xi_N^i)) \\ &= m\dot{U}_T^i - h(K_T + \mu W)U_T^e + h(F_T + \mu F_N) + h^2(\mu W - K_T) \sum_{j=2}^i \dot{U}_T^j \\ &\quad + \frac{\varepsilon h}{2}(\xi_T^{i+1} + \xi_T^i + \mu(\xi_N^{i+1} + \xi_N^i)) \\ &= m\dot{U}_T^i + h^2(\mu W - K_T) \sum_{j=2}^i \dot{U}_T^j + \frac{\varepsilon h}{2}(\xi_T^{i+1} + \xi_T^i + \mu(\xi_N^{i+1} + \xi_N^i)) \\ &> \underbrace{-mmin + h^2(\mu W + K_T)(i-1)max - \varepsilon h(M_T + \mu M_N)}_{\kappa^-} \end{aligned}$$

Inegalitatea AIII.4 este verificată dacă cantitatea κ^- este pozitivă știind că indicele i satisface:

$$i > \frac{\varepsilon h(M_T + \mu M_N) + m \min}{h^2(K_T + \mu W) \max} + 1$$

Dacă $\mu < \frac{K_T}{W}$, prin alegerea lui ε suficient de mic astfel încât

$$\varepsilon < \frac{2\mu A}{(K_T + \mu W)(M_T + \mu M_N)},$$

$$\dot{U}_T^i > \frac{F_N}{W} - \frac{A}{W(K_T - \mu W)}.$$

$$\begin{aligned} \tilde{F}_T^{i+1} - \mu \tilde{F}_N^{i+1} &< -h(K_T + \mu W)U_T^i + h(F_T + \mu F_N) + h\varepsilon(M_T + \mu M_N) \\ &< -m \max + \frac{2h\mu A}{K_T + \mu W} \end{aligned}$$

h fiind ales suficient de mic, iar semnul lui $\tilde{F}_T^{i+1} - \mu \tilde{F}_N^{i+1}$ este negativ. În consecință, la iterația $i+1$ se intră în bucla de contact.

$$\text{Dacă } \mu = \frac{K_T}{W},$$

$$\begin{aligned} \tilde{F}_T^{i+1} - \mu \tilde{F}_N^{i+1} &< -\frac{hA}{W} + h\varepsilon(M_T + \mu M_N) \\ &< h\left(-\frac{A}{W} + \varepsilon(M_T + \mu M_N)\right) \end{aligned}$$

Este suficient să alegem ε suficient de mic, astfel încât $\varepsilon < \frac{A}{W(M_T + \mu M_N)}$ pentru care cantitatea $\tilde{F}_T^{i+1} - \mu \tilde{F}_N^{i+1}$ să fie negativă.

$$\text{Dacă } \mu > \frac{K_T}{W},$$

$$\begin{aligned} \tilde{F}_T^{i+1} - \mu \tilde{F}_N^{i+1} &< -h(K_T + \mu W)U_T^i + h(F_T + \mu F_N) + \frac{\varepsilon h}{2}(\xi_T^{i+1} + \xi_T^i + \mu(\xi_N^{i+1} + \xi_N^i)) \\ &< -h(K_T + \mu W)\left(\frac{F_N}{W} - \frac{A}{W(K_T + \mu W)}\right) + h(F_T + \mu F_N) + h\varepsilon(M_T + \mu M_N) \\ &< h\left(\frac{2A\mu}{K_T + \mu W} + \varepsilon(M_T + \mu M_N)\right) \end{aligned}$$

Considerând ε suficient de mic astfel încât $\varepsilon < \frac{2A\mu}{(K_T + \mu W)(M_T + \mu M_N)}$, iar

$$\tilde{F}_T^{i+1} - \mu \tilde{F}_N^{i+1} \text{ să fie negativă.}$$

Concluzie

Există un număr de iterații $i \in N$ pentru care viteza se anulează și reacțiunea normală este egală cu cea a unei stări de echilibru a problemei AIII.1. Masa intră strict în interiorul conului Coulomb. Rezultatul de convergență ne permite să afirmăm că acest rezultat nu depinde de timp.

Dacă ε este ales suficient de mic sistemul rămâne în echilibru.

Cazuri numerice

Se prezintă traiectoria în planul $\{N_T, N_N\}$ astfel că evoluția deplasării tangențiale pentru o perturbație în forțe conform noțiunilor stabilite la perturbații identice introduse anterior, amintim că această noțiune e definită pentru stări de echilibru în contact fără zbor caracterizate de $A = 0$ cu $\mu > \frac{K_T}{W}$ și $A > 0$.

Prezentăm rezultatele obținute pentru pozițiile de echilibru în tendință de alunecare. În primul moment, perturbația este o forță constantă, apoi, se alege perturbația unei funcții analitice în timp.

Forța constantă

Perturbația stării de echilibru corespunde pentru o forță constantă $\varepsilon\xi$ ce ia succesiv valorile $\xi (-1,0)$, $(-2,0)$ și $(-3,0)$ dacă se perturbă poziția de echilibru în tendință de alunecare pozitivă; $(0,-1)$, $(0,-2)$, $(0,-3)$ pentru poziția de echilibru în tendință de alunecare negativă. Parametrul ε este egal cu $0,1$.

Ansamblul stărilor de echilibru corespunzătoare la o sarcină $F + \varepsilon\xi$ este reprezentată în funcție de valoarea lui ξ prin intersecția dreptelor cu domeniul de admisibilitate a reacțiunilor corespondente. Dinamica în planul $\{N_T, N_N\}$ este reprezentată în roșu, albastru și verde în funcție de valorile perturbației.

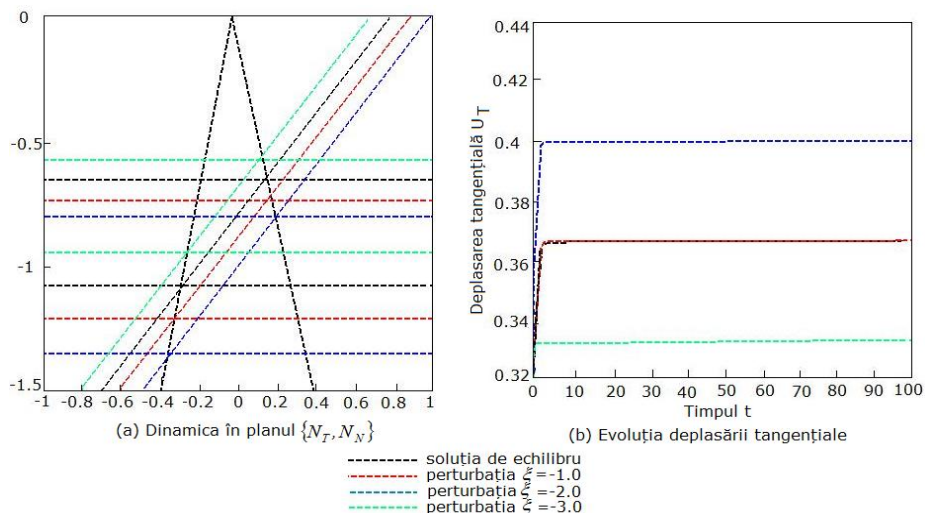


Fig. AIII.3 - Stabilitatea stării de echilibru perturbată aflată în tendință de alunecare pozitivă

$$\text{cu } A > 0 \text{ și } \mu < \frac{K_T}{W}$$

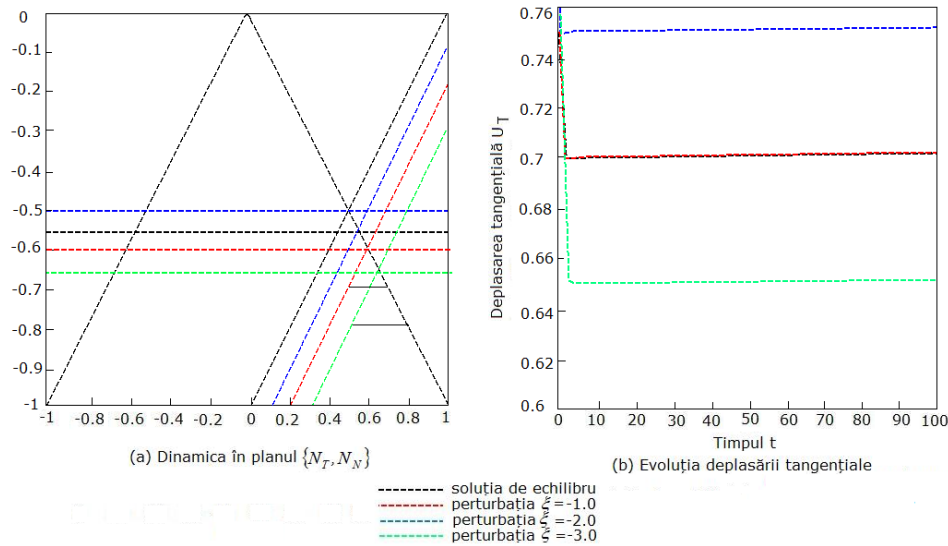


Fig. AIII.4 - Stabilitatea stării de echilibru perturbată aflată în tendință de alunecare negativă

$$\text{cu } A > 0 \text{ și } \mu = \frac{K_T}{W}$$

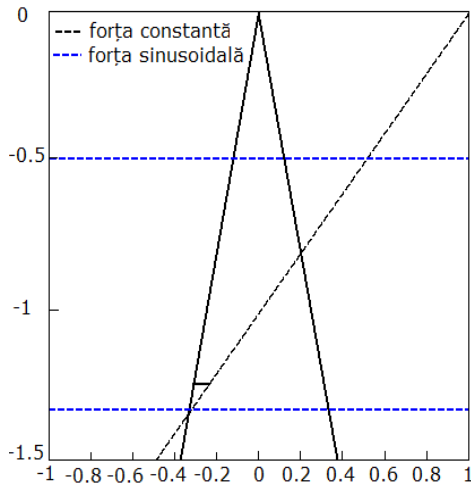
Aceste figuri prezintă evoluția poziției de echilibru în tendință de alunecare pozitivă $(U_N^e = 0, U_T^e = 0.33, N_N^e = -1.34, N_T^e = -1.59)$, respectiv în tendință de alunecare negativă $(U_N^e = 0, U_T^e = 0.75, N_N^e = -0.5, N_T^e = 0.5)$ caracterizate de $A > 0$, $\mu < \frac{K_T}{W}$ respectiv $A > 0$, $\mu = \frac{K_T}{W}$ urmată de o perturbație în forță $\varepsilon\xi$. La sfârșitul unei perioade de timp finit mișcarea se oprește la o stare stabilă Coulomb reprezentată prin simbolul „O” corespunzător unei poziții de echilibru a sistemului supus la forța $F + \varepsilon\xi$. Saltul între soluția de perturbație și soluția de echilibru este constant la capătul timpului finit. (fig. AIII.3b și fig. AIII.4b).

Forța analitică sau analitică pe porțiuni

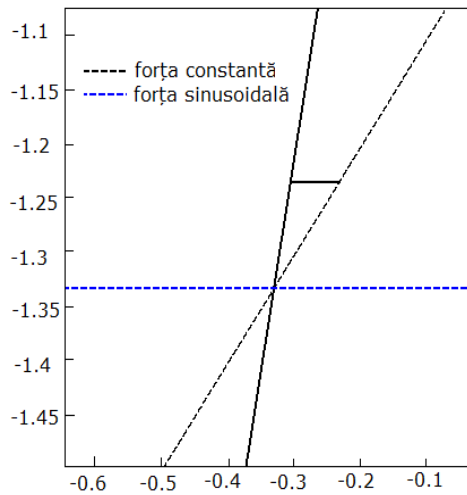
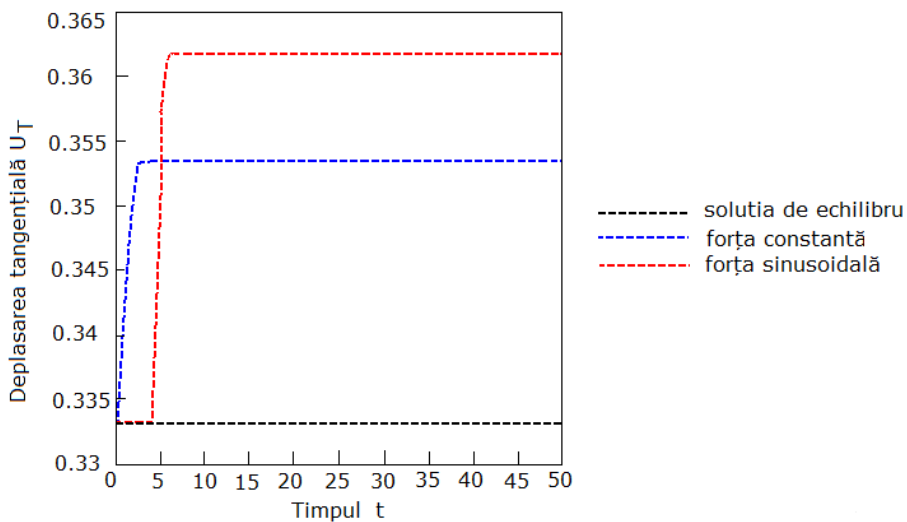
Se prezintă o perturbație a unei poziții de echilibru în tendință de alunecare de către o forță exterioară $\varepsilon\xi$. Se alege o astfel de perturbație a pozițiilor de echilibru în tendință de alunecare pozitivă și negativă cu două forțe ξ astfel încât componenta normală este o funcție treaptă și o funcție sinusoidală, deci componenta tangențială este o funcție identic nulă.

Parametrul ε este considerat ca fiind egal cu 0.1. Figurile AIII.5 respectiv AIII.6 prezintă reprezentarea poziției de echilibru în tendință de alunecare pozitivă $(U_N^e = 0, U_T^e = 0.33, N_N^e = -1.33, N_T^e = -0.33)$, respectiv în tendință de alunecare negativă $(U_N^e = 0, U_T^e = 0.75, N_N^e = -0.5, N_T^e = 0.5)$ caracterizată de $A > 0$, $\mu < \frac{K_T}{W}$

respectiv $A > 0$, $\mu = \frac{K_T}{W}$ urmată de o perturbație în forță $\varepsilon\xi$. La sfârșitul perioadei timpului finit saltul între starea de echilibru și traiectorie este constant pentru fiecare perturbație iar reacțiunea este strict în interiorul conului de frecare într-o stare stabilă Coulomb.



(a) Dinamica în planul

(b) Porțiune mărită a dinamicii în planul $\{N_T, N_N\}$ 

(c) Evoluția deplasării tangențiale

Fig.AIII.5 –Stabilitatea stării de echilibru perturbată aflată în tendință de alunecare pozitivă pentru $A > 0$ și $\mu < \frac{K_T}{W}$

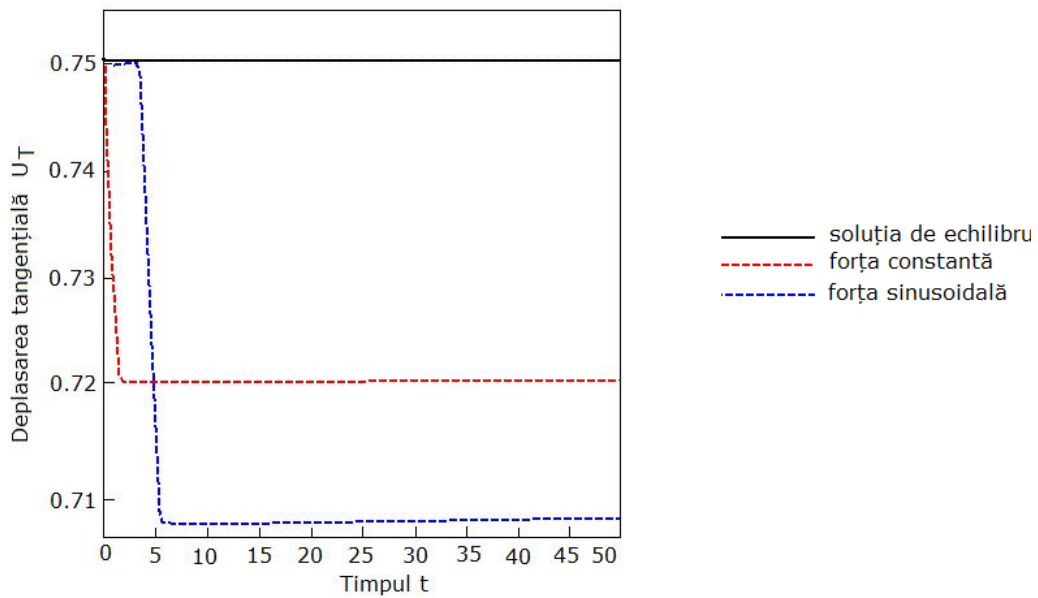
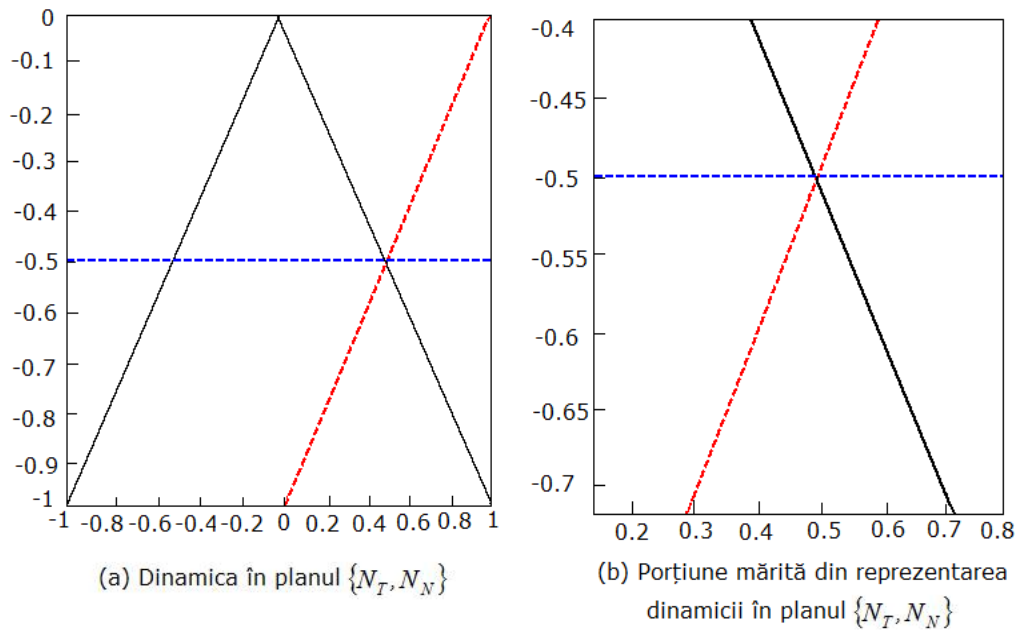


Fig.AIII.6 - Stabilitatea stării de echilibru perturbată aflată în tendință de alunecare negativă pentru $A > 0$ și $\mu = \frac{K_T}{W}$

Concluzii

Obiectivul acestui studiu este analiza stabilității stărilor de echilibru a unui sistem simplu în prezența contactului unilateral și al frecării Coulomb.

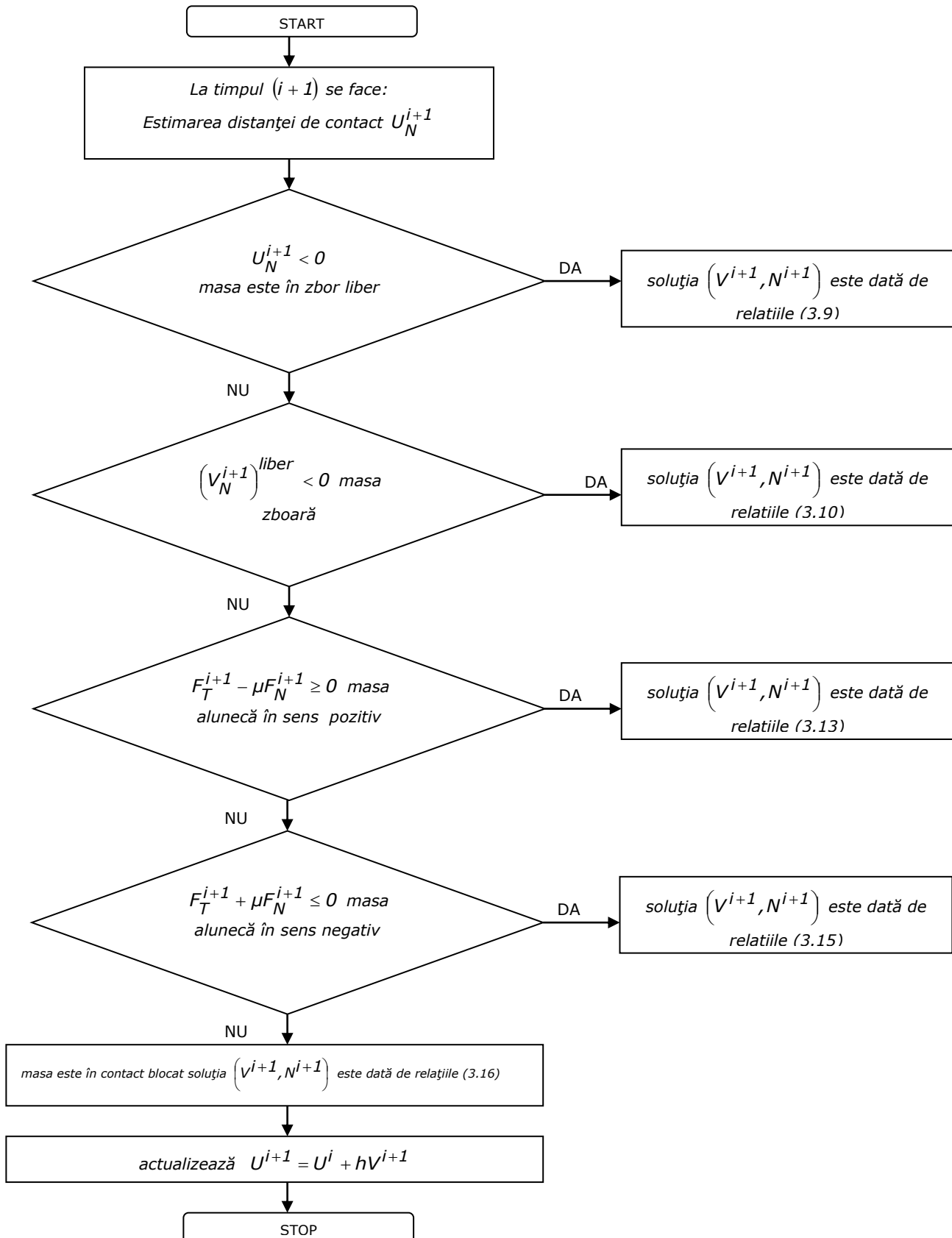
S-a obținut un rezultat de existență pentru care datele sunt funcții integrabile.

Pentru a se putea construi o aproximație compatibilă cu metoda NSCD – Contactului Dinamic Neneted se arată că se poate extrage un subsir convergent spre o soluție a problemei. Amintim argumentele utilizate: extragerea subsirului și limita acestuia care este soluția problemei continue care furnizează existența, dar nu și unicitatea soluției.

Ansamblul stărilor de echilibru au fost determinate în funcție de parametrii sistemului. Stabilitatea a fost studiată prin integrarea directă a sistemelor de ecuații diferențiale plecând de la vecinătățile date ale echilibrului. Se insistă asupra a trei aspecte calitative ale rezultatelor de stabilitate obținute:

- Pozițiile de echilibru în tendință de alunecare au o reacțiune nenulă; sunt fie stabile fie instabile; aici depind de parametrii sistemului.
- Singura stare de echilibru asimptotic stabilă este starea de echilibru în contact cu zbor și care este singura pentru care se obține unicitatea soluției de echilibru. Dacă coexistă cu alte stări de echilibru, este stabilă în sens Lyapunov.
- Toate stările de echilibru în contact blocat sunt stabile în sens Lyapunov.

ANEXA IV
Schema logică a algoritmului NSCD



```

program NSCD;  {$N+} {$I-}
const a=2;
var n,j,k:integer;
var l:word;
var h,teta,m,u,detmt,t,fn,ft:real;
var ftildan,vn,un,ut,vt,ftildat,vlibern,vlibert,utilda,nn,nt:array [1..1] of double;
var I:array[1..a,1..a]of integer;
mr,mt,mtt,mad,minv:array[1..a,1..a]of real;
var fisier :text;
begin
write('introdu numarul maxim de iteratii n=');readln(n);
write('introdu valoarea pasului h=');readln(h);
write('introdu valoarea lui teta=');readln(teta);
write('introdu valoarea lui masei m=');readln(m);
write('introdu valoarea coeficientului de frecare u=');readln(u);
I[1,1]:=1;I[1,2]:=0;I[2,1]:=0;I[2,2]:=1;
writeln('introdu elementele matricii de rigiditate mr');
for j:=1 to a do
for k:=1 to a do begin
write('mr['j','j','k,']=');readln(mr[j,k]); end;
{writeln('calculeaza matricea mt'); }
for j:=1 to a do
for k:=1 to a do
begin
mt[j,k]:=m*i[j,k]+h*h*teta*mr[j,k];
{writeln('mt['j','j','k,']=',mt[j,k]);}
end;
{writeln('Determinantul matricii mt este:');}
detmt:=mt[1,1]*mt[2,2]-mt[1,2]*mt[2,1];
{writeln('detmt=',detmt); }
{writeln('transpusa matricii mt este mtt:');}
mtt[1,1]:=mt[1,1];mtt[1,2]:=mt[2,1];mtt[2,1]:=mt[1,2];mtt[2,2]:=mt[2,2];
for j:=1 to a do
for k:=1 to a do
{writeln('mtt['j','j','k,']=',mtt[j,k]);
writeln('mad adjuncta matricii mt este:');}
mad[1,1]:=mtt[2,2];mad[1,2]:=mtt[2,1];mad[2,1]:=mtt[1,2];mad[2,2]:=mtt[1,1];
for j:=1 to a do
for k:=1 to a do
{writeln('mad['j','j','k,']=',mad[j,k]);
for j:=1 to a do
for k:=1 to a do }
begin
minv[j,k]:=mad[j,k]/detmt;
{writeln('minv['j','j','k,']=',minv[j,k]);}
end;
l:=0;
vn[l]:=0;un[l]:=1; fn:=2;ft:=2;vt[l]:=0;ut[l]:=0; t:=0;
{crearea unui fisier de rezultate}
ASSIGN(fisier,'rezultate.txt');

```

```

rewrite(fisier) ; append(fisier);
for l:=0 to n do begin
ftildan[l+1]:=m*vn[l]-h*mr[1,1]*un[l]+h*(teta*fn+(1-teta)*fn);
{writeln('fti1n=',fti1n);}
ftildat[l+1]:=m*vt[l]-h*mr[2,2]*ut[l]+h*(teta*ft+(1-teta)*ft);
{ writeln('fti1t=',fti1t); }
vlibern[l+1]:= minv[1,1]*ftildan[l+1];{ writeln('v1libern=',v1libern);}
vlibert[l+1]:= minv[2,2]*ftildat[l+1];{ writeln('v1libernt',v1libert);}
utilda[l+1]:=un[l]+h*(teta*vlibern[l+1]+(1-teta)*vn[l]);
writeln('utilda['+l+1,']=',utilda[l+1]);
writeln(fisier,t,un[l]);
if utilda[l+1]<0 then begin writeln('masa zboara liber, solutiile sunt');
vn[l+1]:=vlibern[l+1];writeln('vn=', vn[l+1]);
vt[l+1]:=vlibert[l+1]; writeln('vt=',vt[l+1]);
nn[l+1]:=0; writeln('nn=',nn[l+1]);
nt[l+1]:=0; writeln('nt=',nt[l+1]);
writeln(fisier,' masa zboara liber solutiile sunt:
',vn[l+1],vt[l+1],nn[l+1],nt[l+1]);
End
else if vlibern[l+1]<0 then begin writeln('masa zboara, solutiile sunt');
vn[l+1]:=vlibern[l+1];writeln('vn=', vn[l+1]);
vt[l+1]:=vlibert[l+1]; writeln('vt=',vt[l+1]);
nn[l+1]:=0;writeln('nn=',nn[l+1]);
nt[l+1]:=0; writeln('nt=',nt[l+1]);
writeln(fisier,' masa zhoara, solutiile sunt:
',vn[l+1],vt[l+1],nn[l+1],nt[l+1]);
end
else if ftildat[l+1]-u*ftildan[l+1]>=0 then begin
writeln('masa aluneca in sens pozitiv, solutiile sunt');
vn[l+1]:=0; writeln('vn=', vn[l+1]);
vt[l+1]:=(ftildat[l+1]+u*ftildan[l+1])/(mt[2,2]+u*mt[1,2]);
writeln('vt=', vt[l+1]);
nn[l+1]:=(mt[1,2]*vt[l+1]-ftildan[l+1])/h; writeln('nn=',nn[l+1]);
nt[l+1]:=-u*nn[l+1]; writeln('nt=',nt[l+1]);
writeln(fisier,' masa aluneca in sens pozitiv, solutiile sunt:
',vn[l+1],vt[l+1],nn[l+1],nt[l+1]);
end
else if ftildat[l+1]+u*ftildan[l+1]<=0 then begin
writeln('masa gliseaza in sens negativ, solutiile sunt');
vn[l+1]:=0; writeln('vn=', vn[l+1]);
vt[l+1]:=(ftildat[l+1]-u*ftildan[l+1])/(mt[2,2]-u*mt[1,2]);
writeln('vt=', vt[l+1]);
nn[l+1]:=(mt[1,2]*vt[l+1]-ftildan[l+1])/h;
writeln('nn=',nn[l+1]);
nt[l+1]:=u*nn[l+1];
writeln('nt=',nt[l+1]);
writeln(fisier,' masa aluneca in sens negativ, solutiile sunt:
',vn[l+1],vt[l+1],nn[l+1],nt[l+1]);
end
else begin writeln('masa blocata, solutiile sunt');
vn[l+1]:=0; writeln('vn=',vn[l+1]);

```

```

        vt[l+1]:=0; writeln('vt=',vt[l+1]);
        nn[l+1]:=-ftildat[l+1]/h;
        writeln('nn=',nn[l+1]);
        nt[l+1]:=-ftildat[l+1]/h;
        writeln('nt=',nt[l+1]);
    writeln(fisier,' masa este blocata, solutiile sunt: ',vn[l+1],vt[l+1],nn[l+1],nt[l+1]);
    end;
    t:=t+h;
end;
un[l+1]:=un[l]+h*vn[l+1];
l:=l+1;
close(fisier);
end.

```

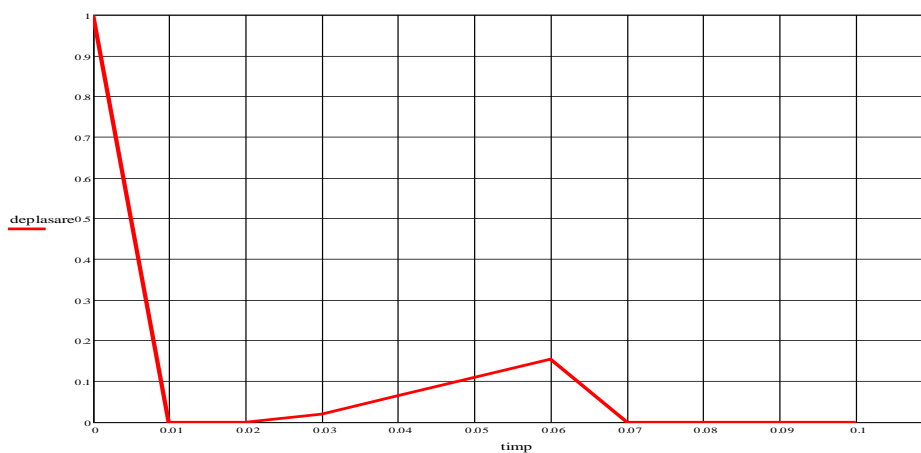
Date obținute în fișierul REZULTATE

```

t=0.0E+0000 u(t)=1.00000000000000E+0000
masa aluneca in sens pozitiv, solutiile sunt:
    vn(t)=0.00000000000000E+0000
    vt(t)=1.99977502530956E-0002
    Nn(t)=9.99887512655270E-0005
    Nt(t)=-1.24985939081909E-0004
t=1.0E-0002 u(t)=0.00000000000000E+0000
masa aluneca in sens pozitiv, solutiile sunt:
    vn(t)=0.00000000000000E+0000
    vt(t)=6.49904388287143E-0002
    Nn(t)=-1.99967504780586E+0000
    Nt(t)=2.49959380975732E+0000
t=2.0E-0002 u(t)=0.00000000000000E+0000
masa aluneca in sens pozitiv, solutiile sunt:
    vn(t)=0.00000000000000E+0000
    vt(t)=1.09778111288625E-0001
    Nn(t)=-1.99945110944356E+0000
    Nt(t)= 2.49931388680445E+0000
t=3.0E-0002 u(t)=1.99977502530956E-0002
masa aluneca in sens pozitiv, solutiile sunt:
    vn(t)=0.00000000000000E+0000
    vt(t)=1.54110869427465E-0001
    Nn(t)=-1.99922944565286E+0000
    Nt(t)=2.49903680706608E+0000
t= 4.0E-0002 u(t)=6.49904388287143E-0002
masa este blocata, solutiile sunt:
    vn(t)=0.00000000000000E+0000
    vt(t)=0.00000000000000E+0000
    Nn(t)=-1.73013088314499E+0001
    Nt(t)=-1.73013088314499E+0001
t=5.0E-0002 u(t)=1.09778111288625E-0001
masa este blocata, solutiile sunt:
    vn(t)=0.00000000000000E+0000
    vt(t)=0.00000000000000E+0000

```

$N_n(t) = -2.00000000000021E+0000$
 $N_t(t) = -2.00000000000021E+0000$
 $t = 6.0E-0002$ $u(t) = 1.54110869427465E-0001$
 masa este blocata, solutiile sunt:
 $v_n(t) = 0.00000000000000E+0000$
 $v_t(t) = 0.00000000000000E+0000$
 $N_n(t) = -2.00000000000000E+0000$
 $N_t(t) = -2.00000000000000E+0000$
 $t = 7.0E-0002$ $u(t) = 0.00000000000000E+0000$
 masa este blocata, solutiile sunt:
 $v_n(t) = 0.00000000000000E+0000$
 $v_t(t) = 0.00000000000000E+0000$
 $N_n(t) = -2.00000000000000E+0000$
 $N_t(t) = -2.00000000000000E+0000$
 $t = 8.0E-0002$ $u(t) = 0.00000000000000E+0000$
 masa este blocata, solutiile sunt:
 $v_n(t) = 0.00000000000000E+0000$
 $v_t(t) = 0.00000000000000E+0000$
 $N_n(t) = -2.00000000000000E+0000$
 $N_t(t) = -2.00000000000000E+0000$
 $t = 9.0E-0002$ $u(t) = 0.00000000000000E+0000$
 masa este blocata, solutiile sunt:
 $v_n(t) = 0.00000000000000E+0000$
 $v_t(t) = 0.00000000000000E+0000$
 $N_n(t) = -2.00000000000000E+0000$
 $N_t(t) = -2.00000000000000E+0000$
 $t = 1.0E-0001$ $u(t) = 0.00000000000000E+0000$
 masa este blocata, solutiile sunt:
 $v_n(t) = 0.00000000000000E+0000$
 $v_t(t) = 0.00000000000000E+0000$
 $N_n(t) = -2.00000000000000E+0000$
 $N_t(t) = -2.00000000000000E+0000$



BIBLIOGRAFIE

- [1] P. ALART, A.CURNIER. *A mixed formulation for frictional contact problems prone to Newton like solution methods*. Comp. Meth. Appl. Mech. Engng., 92, pages 353 – 375, 1991.
- [2] T.D. BABEU, OANA PETCOVICIU. *The Active Fracture Model And Fractal Flow Behavior*. Proceedings of the International Symposium, Research and Education in an Innovation Era, Engineering Processes and Technologies, "Aurel Vlaicu" University, Arad, Romania, November 16-18, 2006, pag.395-400, Ed. Universităţii Aurel Vlaicu, Arad, 2007.
- [3] T.D. BABEU, OANA PETCOVICIU. *The Present Stage of Fractal Theory Application In Fracture Mechanics*. Proceedings of the International Symposium, Research and Education in an Innovation Era, Engineering Processes and Technologies, "Aurel Vlaicu" University, Arad, Romania, November 16-18, 2006, pag. 390-394, Ed. Universităţii Aurel Vlaicu, Arad, 2007.
- [4] T.D. BABEU, OANA PETCOVICIU. *Fractal dimension and fracture rough*. Modeling and Optimization in the Machines Building Field, MOCM-13, vol.4, pag.39-42, Ed. Alma Mater, Bacau, 2007.
- [5] I. BABUŠKA, R. NARASIMHAN. *The Babuška – Brezzi condition and patch test: an example*. Comput. Meth. Appl. Mech. Eng, 140, pages 183 – 199, 1977.
- [6] P. BALLARD. *The Dynamics of Discrete Mechanical System with Perfect Unilateral Constraints*. Arch. Rational. Mech. Anal, 154, 2000, 199-274.
- [7] P. BALLARD, S. BASSEVILLE. *Existence and uniqueness for dynamical contact with Coulomb friction: A model problem*. Mathematical Modelling and Numerical Analysis, 2004, p.à paraître.
- [8] I. BLEKHMAN. *Forming properties of nonlinear mechanical systems by means of vibration.*, Proceedings of IUTAM/IFTOMM Symposium in Synthesis of Nonlinear Dynamical Systems, 24-25 August, Riga, Latvia, 1998, 1-11.
- [9] I.I BLEKHMAN. *Vibrational Mechanics-Nonlinear Dynamics Effects, General Approach, Applications.*, World Scientific, Singapore, 2000.
- [10] S. BARBARIN. *Instabilité et frottement en élasticité: Application à un problème d'ondes de contraintes, Thésé de mécanique*. Université d'Aix-Marseille II, 1997.
- [11] CRISTINA BASARABĂ-OPRIȚESCU. *Simulări numerice pentru mișcări cu constrângeri mecanice și ciocniri*. Teză de doctorat, 2007, Timișoara, Ed. Politehnica.
- [12] J. BASS. *Cours de Mathématiques*. Masson, Paris, 1971.
- [13] F. BEN BELGACEM, Y. RENARD. *Hybrid finite element methods for Signorini's problem*. Math. Comp., vol.72 pages 1117 – 1145, 2003.
- [14] L. BRÎNDEU. *Mișcări periodice ale unui sistem liniar*. Simpozion de Mecanisme și Transmisii Mecanice, 2, Reșița, pag. 448+453, 1976.
- [15] L. BRINDEU, VOICHIȚA HULE, OANA PETCOVICIU., *Model dynamic al cionirii considerând propagarea undelor de tensiune în corpul deformabil.*, Analele Universității din Oradea, secțiunea Mecanică, CD, pag. 29, 2003.
- [16] L. BRINDEU, VOICHIȚA HULE, OANA PETCOVICIU. *Dynamic Model of Impact, Considering the Propagation of the Stress Waves in the Deformable Body.*, Buletinul Științific al Universității Politehnica din Timișoara, seria Mecanica, TOM 48, fascicola 1, 2003.

- [17] C.C. CANUDAS DE WIT, H. OLSSON, K.J. ASROM, P. LISCHINSKY, *A new model for control of systems with friction.*, IEEE Transaction on Automatic Control 40 (3), 1995, 419-425.
- [18] X. CHATEAU, Q.S. NGUYEN. *Buckling of Elastic Structures in Unilateral Contact with or without Friction.* Eur. J. Mech. A/Solids, 10 (1), 1991, 71-89.
- [19] X. CHATEAU. *Sur quelques problèmes liés à la modélisation mécanique de l'emboutissage*, Thèse de mécanique, Ecole Polytechnique, 1992.
- [20] S. CHATTERJEE, T.K. SINGHA, S.K. KARMAKAR. *Non-trivial effect of fast vibration on the dynamics of a class of non-linearly damped mechanical system.*, Journal of Sound and Vibration, 260 (4), 2003, 711-730.
- [21] P.W. CHRISTENSEN, J.S. PANG. *Frictional Contact Algorithms Based on Semismooth Newton Methods.* M. Fukushima and L.Qi(editors). Reformulation – Nonsmooth, Piecewise Smooth, Semismooth and Smoothing Methods, Kluwer Academic Publisher, Dordrecht, pages 81 – 116, 1998.
- [22] A PINTO DA COSTA. *Instabilidades e Bifurcação es em Sistemas de Comportamento Não-Suave*, Thèse de mécanique, Universidade Técnica de Lisboa, 2001.
- [23] AL. DĂNOIU. *Contribuții la studiul dinamicii și vibrațiilor unor organe de lucru ale mașinilor agricole.* Teză de doctorat, Universitatea "Politehnica" Timișoara, 2003.
- [24] Z. DOSTĂL, J. HASLINGER, R. KUČERA. *Implementation of the fixed point method in contact problems with Coulomb based on dual splitting type technique*, journal of computational and Applied Mathematics, pages 245 – 256, 140, 2001.
- [25] P. DUPONT, V. HAYWARD, B. ARMSTRONG, F. ALPETER., *Single state elasto-plastic friction models.*, IEEE Transaction on Automatic Control 47 (5), 2002, 787-792.
- [26] G. DUVANT, J.L. LIONS. *Les inéquations en mécanique et en physique.* Dunond Paris, 1972.
- [27] N. FAUR. *Elemente finite.* Editura Politehnica, Timișoara, 2002.
- [28] B. FEENY, A. GURAN, N. HINRICHS, K. POPP. *A historical review on dry friction and stick slip phenomena*, American Society of Mechanical Engineers, Applied Mechanics Review 51 (5), 1998, 321-341.
- [29] B.B. FEENY, F.C. MOON. *Quenching stick-slip chaos with dither.*, Journal of Sound and Vibration, 237 (1), 2000, 173-180.
- [30] ELMER FRANZ-JOSEF. *Nonlinear dynamics of dry friction.*, Journal of Physics: A 30, 1997, 6057-6063.
- [31] ADELINA GEORGESCU. *The asymptotic treatment of the differential equation of applied mathematics.* Chapman&&Hall, London, 1995.
- [32] D.A. HAESSING, B. FRIEDLAND., *On the modeling and simulation of friction.*, American Society of Mechanical Engineers, Journal of Dynamic Systems, Measurement, and Control, 32 (3), 1991, 167-196.
- [33] A. Halanay. *Teoria calitativă a ecuațiilor diferențiale.* Editura Academiei Române, București, 1963.
- [34] J. HASLINGER. *Approximation of Signorini problem with friction obeying Coulomb's law.* Math. Methods Appl. Sci., 5, pages 422-437, 1983.
- [35] P. HILD, P. LABORDE. *Quadratic finite element methods for unilateral contact problems.* Applied Numerical Mathematics, pages 401-421, 41, 2002.
- [36] S.L. IPRI, H. ASADA. *Tuned dither for friction suppression during force-guided robotic assembly.*, International Conference on Intelligent Robots and Systems, 5-9 August, Pittsburgh, PA, USA, 1995.

- [37] M. JEAN. *The Non-Smooth Contact Dynamics Method.*, Comput. Methods Appl. Mech. Engrg., 177, 1999, 235-257.
- [38] N. KIKUCHI, J.T. ODEN. *Contact problems in elasticity: a study of variational inequalities and finite element methods.* SIAM, Philadelphia, 1988.
- [39] A. KLARBRING, A. MIKELIC, M. SHILLOR. *Frictional contact problems with normal compliance.* Int. J. Engng. Sci., 26 N^o 8, pages 811-832, 1988.
- [40] A. KLARBRING. *Examples of Non-Uniqueness and Non-Existence of Solutions to Quasistatic Contact Problems with Friction,* Ing. Arch, 60, 1990, 529-541.
- [41] P. LABORDE, Y. RENARD. *Fixed point strategies for elastostatic frictional contact problems.* Soumis, 2003.
- [42] G. LEBEAU, M. SCHATZMAN. *A wave problem in a half-space with a unilateral constraint at the boundary.* J. Diff. Eqs., pages 55, 309-361, 1984.
- [43] F. LEBON. *Contact problems with friction: models and simulations.* Simulation Modelling practice and theory, 11, pages 449-463, 2003.
- [44] J.A.C. MARTINS, A. PINTO DA COSTA. *Stability of Finite-Dimensional Nonlinear Elastic Systems with Unilateral Contact and Friction.*, Int. J. Sol. Struc., 37, 2000, 2519-1564.
- [45] J.A.C. MARTINS, M. RAOUS. *Friction and Stabilities.*, CISM Courses and Lectures No.457, Springer Wien New York, 2002.
- [46] F. MOIROT. *Etude de la stabilité d'un état d'équilibre en présence de frottement de Coulomb,* Thèse de mécanique, Ecole Polytechnique, 1998.
- [47] M.D.P. MONTEIRO-MARQUES. *Differential Inclusions in Nonsmooth Mechanical Problems, Shocks and Dry Friction,* Birkhäuser, Basel, Boston, Berlin, 1993.
- [48] J.J. MOREAU *Sur les lois de frottement, de plasticité et de viscosité.* C.R. Acad. Sci., Paris, sér A, 271, 1970, 608-611.
- [49] J.J. MOREAU *Standard inelastic shocks and the dynamics of unilateral constraints.*, G. Del. Piero and F. Maceri Eds, Springer-Verlag, Wien-New-York, 1983.
- [50] J.J. MOREAU. *Liaisons unilatérales sans frottement et chocs inélastiques.* C.R.A.S. série II, 296 pages 1473-1476, 1983.
- [51] J.J. MOREAU. *Une formulation du contact avec frottement sec, application au calcul numérique.* C.R.A.S. série II, 302 N^o 13, pages 799-801, 1986.
- [52] J.J. MOREAU *Unilateral Contact and Dry Friction in Finite Freedom Dynamics Nonsmooth Mechanics and Applications,* CISM, Courses and Lectures No.302 (J.J. Moreau and P.D. Panagiotopoulos Eds), Springer-Verlag, Wien-New-York, 1988, 1-88.
- [53] CRISTINA OPRIȚESCU, OANA PETCOVICIU, M.I. TOADER. *consideration on the Simulation of Contact with Friction for Rigid Bodies.* Sesiunea de comunicări științifice a catedrei de mecanică tehnică și mecanisme, SIMEC 2009, pag. 194-197, Ed. Matrix Rom, București, ISSN: 1842-8045.
- [54] CRISTINA OPRIȚESCU, OANA PETCOVICIU, M.I. TOADER. *Applications on the application of MEF to simulate the contact with friction.* Annual Symposium of the Institute of Solid Mechanics „SISOM”, 2009.
- [55] L. PAOLI. *Time discretization of vibro-impact.* Phil. Trans. R. Soc. Lond. A., 359, pages 2405-2428, 2001.
- [56] L. PAOLI, M. SCHATZMAN. *Schéma numérique pour un modèle de vibrations avec contraintes unilatérales et perte d'énergie aux impacts, en dimension finie.* C. R. Acad. Sci. Paris, Sér. I, 1993, 317, 211- 215.
- [57] L. PAOLI, M. SCHATZMAN. *Approximation et existence en vibro-impact.* C. R. Acad. Sci. Paris, Sér. I, 1999, 329, 1103-1107.

- [58] J.C. PAUMIER, Y. RENARD. *Surface perturbation of an elastodynamic contact problem with friction*. European Journal of Applied Mathematics, vol. 14, 2003, 465-483.
- [59] OANA PETCOVICIU. *Noțiuni fundamentale ale analizei fractale*. Știință și inginerie, vol.10, pag 199-202, Ed. AGIR, București 2006.
- [60] OANA PETCOVICIU, T.D. BABEU. *Studiul rupturii metalelor cu ajutorul fractalului*. Buletinul AGIR nr.2/2007, pag. 189-190, Ed. AGIR, 2007.
- [61] OANA PETCOVICIU, T.D. BABEU. *Analiza fractală a suprafețelor rugoase*. Mecanica solidelor – culegerea lucrărilor științifice, CNMS XXXI, pag. 385-388, Ed. U.T.M., Chișinău, 2007.
- [62] OANA PETCOVICIU, CRISTINA OPRIȚESCU, M.I. TOADER. *On some condition of contact study with friction for composite materials*, 2nd International Conference „Advanced Composite Materials Engineering” COMAT 2008, 9-11 October 2008, Brașov, Romania, vol.1A, pag. 68-73, ISSN 1844-9336.
- [63] OANA PETCOVICIU, CRISTINA OPRIȚESCU, M.I. TOADER. *Simulation methods in mechanical contact with friction*. Annual Session Scientific Papers IMT Oradea, FELIX SPA, 2009.
- [64] OANA PETCOVICIU, CRISTINA OPRIȚESCU, M.I. TOADER. *Considerations on the Dynamic of mechanical System with unilateral links. Methods of simulation*. National Conference on Mechanics of Solids, București, 2009.
- [65] Y. RENARD. *A uniqueness criterion for the Signorini problem with Coulomb friction*. 4th Contact Mechanics International Symposium, Hannover, 2005.
- [66] M. SCHATZMAN *A Class of Nonlinear Differential Equations of Second Order in Time Nonlinear*, Ana Theory Meth and Appli., 2, 1978, 355-373.
- [67] M. SCHATZMAN *Uniqueness and Continuous Dependence on Data for a One Dimensional Impact Problems*. Mathematical and Computational Modelling, 28, 4-8, 1998, 1-18.
- [68] A. SIGNORINI. *Questioni de elasticita non linearizzata e semi-linearizzata*. Rend de Matematica, Rome, 1959.
- [69] GH. SILAȘ, L. BRÎNDEU. *Considerații privind folosirea funcției legăturii unilaterale în studiul ciocnirii*. A IV-a Conferință de vibrații în construcția de mașini, pag. 299-305, Timișoara, 1982; 4th Conference on Vibration in Mechanical Engineering pag. 67-72, Timișoara, November, 1982.
- [70] D.E. STEWART *An Implicit Time-Stepping Scheme for a Rigid-Body Dynamics with Inelastic Collisions and Coulomb Friction.*, Int. J. Num. Meth. Eng, 39, 1996, 2673-2691.
- [71] D.E. STEWART *Convergence of a Time-Stepping Scheme for a Rigid-Body Dynamics and Resolution of Painlevé’s Problem.*, Arch. Rational Mech. Ana, 145, 1998, 215-260.
- [72] P.P. TEODORESCU. *Mechanical System. Clasical models*. 1, Springer, 2006.
- [73] P.P. TEODORESCU, W KECS. *Aplicații ale teoriei distribuțiilor în mecanică*. Editura Academiei Române, București, 1970.
- [74] J.J. THOMSEN. *Using fast vibrations to quench friction-induced oscillations.*, Journal of Sound and Vibration, 228 (5), 1999, 1079-1102.
- [75] M.I. TOADER. *Contribuții la aplicarea analizei funcționale în studiul vibrațiilor sistemelor mecanice*. Teză de doctorat, Timișoara, 1980.
- [76] R. VOINEA, D. VOICULESCU, F.P. SIMION. *Introducere în mecanica solidului cu aplicații în inginerie.*, Editura Academiei RSR, București, 1989.
- [77] D. VOLA, E. PRATT, M. RAOUS, M. JEAN *Consistent Time Discretization for a Dynamical Frictional Contact Problem and Complementarity Techniques.*, Revue Européenne des elements finis, 7, 1998, 149-162.
- [78] D. VOLA, M. RAOUS, J.A.C. MARTINS. *Friction and Instability of Steady Sliding: Squeal of a Rubber/Glass Contact.*, Int. j. Numer. Meth. Engrg., 46, 1999, 1699-172